

**R. Gardemeister**

**HIEGORAKEISTEN MAALAJIEN GEOLOGISIA JA GEOTEKNISIÄ  
TUTKIMUSTULOKSIA**

**Geotekniikan laboratorio, tiedonanto 8**

**Otaniemi heinäkuu 1973**

**Valtion teknillinen tutkimuskeskus**



R. Gardemeister

**Hienorakeisten maalajien geologisia ja geoteknisiä  
tutkimustuloksia**

**Geotekniikan laboratorio, tiedonanto 8**  
**Otaniemi heinäkuu 1973**

**VALTION TEKNILLINEN TUTKIMUSKESKUS**

ISBN 951-38-0046-6

## TIIIVISTELMÄ

Valtion teknillisen tutkimuskeskuksen geotekniikan laboratorio on useiden vuosien aikana kognut aineistoa suomalaisten hienorakeisten maalajien geoteknisten ja insinöörigeologisten ominaisuuksien selvittämiseksi. Geotekniset tutkimukset ovat käsitteet ns. indeksiominaisuksien sekä lujuus- ja painumaominaisuksien määritysten. Kerrostumien geologinen ajoitus on suoritettu siitepölyanalyysillä minkä lisäksi on havaittu sedimenttien makroskooppinen rakenne. Lisäksi on tutkittu maa-aineksen happamuutta sekä määritetty huokosveden likimääräinen suolaisuus.

Tutkimukset ovat käsitteet useita kymmeniä näytesarjoja. Tässä julkaisussa esitetään 48 näytesarjan laboratorio- ja kentätulokset. Tutkimusaineiston analysointi sekä insinöörigeologiset johtopäätökset esitetään erillisessä julkaisussa.

Koska nyt julkaistavaa kuva-aineistoa on käsitelty myös muussa yhteydessä, on kuvissa käytetty englannin kielistä terminologiaa. Merkittävimpien sanojen suomalaiset vastineet ovat seuraavat:

clay	savi
constant	vakio
modulus exponent	moduuliekspONENTTI
modulus number	moduuliluku
ooze	lieju
organic clay	liejusavi
pressure	jännitys
sensitivity	sensitiivisyys
shear strength	leikkauslujuus
silt	siltti
swedish fallcone test	kartickoe
swedish weight sounding	painokairaus
unconfined compression test	puristuskoe
unit weight	tilavuuspaino
vane test, field	siipikairaus, kenttä
water content	vesipitoisuus
humus	eloperäinen aines
soil	maalaji
borehole	kairauspiste
description of the soils	maalajikuvaus
site	paikkakunta
work	työ

## SISÄLLYSLUETTELO

	sivu
TIIVISTELMÄ.....	1
SISÄLLYSLUETTELO.....	2
MERKINNÄT.....	4
1. AINEISTO.....	5
2. TUTKIMUSMENETELMÄT.....	7
2.1 Geologiset määritykset.....	7
2.2 Kemiaiset tutkimukset.....	8
2.21 Happamuusaste.....	8
2.22 Huokosveden suolaisuus.....	8
2.23 Humuspitoisuus.....	10
2.3 Geotekniset tutkimukset.....	10
2.31 Luokitusominaisuudet.....	10
2.32 Lujuusominaisuudet.....	10
2.33 Painumisominaisuudet.....	11
3. TUTKIMUSKOHTEET.....	16
3.1 Espoo, Kauklahti.....	16
3.2 Espoo, Martinkylä.....	18
3.3 Espoo, Otaniemi.....	20
3.4 Haapajärvi.....	22
3.5 Helsinki, Kipparlahti.....	24
3.6 Helsinki, Malmi.....	26
3.7 Helsinki, Pukinmäki.....	28
3.8 Hyvinkää.....	30
3.9 Iisalmi.....	32
3.10 Inkoo, Degerby.....	34
3.11 Joensuu.....	36
3.12 Jyväskylä.....	38
3.13 Jämsä.....	40
3.14 Järvenpää.....	42
3.15 Karhula.....	44
3.16 Kemi mlk. ....	46
3.17 Kestilä.....	48
3.18 Koivulahti.....	50
3.19 Kouvolan kaupunki.....	52
3.20 Kuopio.....	54
3.21 Lahti.....	56
3.22 Lapua.....	58

	sivu
3.23 Loimaa.....	60
3.24 Lokalahti.....	62
3.25 Nurmijärvi.....	64
3.26 Oulu.....	66
3.27 Peräseinäjoki.....	68
3.28 Pori.....	70
3.29 Porvoo.....	72
3.30 Raisio, Autolava.....	74
3.31 Raisio, Krookila.....	76
3.32 Raisio, Ristimäki.....	78
3.33 Raisio, Siirinpelto.....	80
3.34 Riihimäki.....	82
3.35 Ryttylä.....	84
3.36 Saimaan kanava.....	86
3.37 Salo, Ohikulkutie.....	88
3.38 Salo, Salonkylä.....	90
3.39 Sipoo.....	92
3.40 Sipoo.....	94
3.41 Somero, Joensuu.....	96
3.42 Somero, Kirkkonkylä.....	98
3.43 Somero, Pajulanjoki.....	100
3.44 Tampere.....	102
3.45 Turku.....	104
3.46 Vihti.....	106
3.47 Viiala.....	108
3.48 Vöyri.....	110
KIRJALLISUUS.....	113

MERKINNÄT

Li	Litorinasedimentti
An	Ancylussedimentti
Yo	Yoldiasedimentti
Ba	Baltian jäätijärven sedimentti
≈	turve
+	lieju
+	liejusavi
+	savi
	hiesu
-	hieta
::	hiekka
*	kiviä
~~~~	moreeni
—○—	Betula
—□—	Alnus
—△—	Picea
—●—	Pinus
Ca	Carpinus
Co	Corylus
F	Fraxius
T	Tilia
U	Ulmus
Q	Quercus
C	vakio
I <sub>p</sub>	plastisuusluku
p	jännitys, kp/cm <sup>2</sup>
P <sub>c</sub>	ödometrikokeen perusteella määritetty esikuormitus, kp/cm <sup>2</sup>
P <sub>o</sub>	laskettu tehokas esikuormitus, kp/cm <sup>2</sup>
S	huokosveden suolaisuus, %
W	tutkimuspisteessä havaittu vesipinta
w	vesipitoisuus kuivapainosta, %
w <sub>L</sub>	juoksuraja
w <sub>P</sub>	kieritysraja
v	moduuliluku (ensimmäinen kuormitusvaihe)
v <sub>re</sub>	moduuliluku (toistokuormitus)
w	moduuliekspONENTTI (ensimmäinen kuormitusvaihe)

## 1. AINEISTO

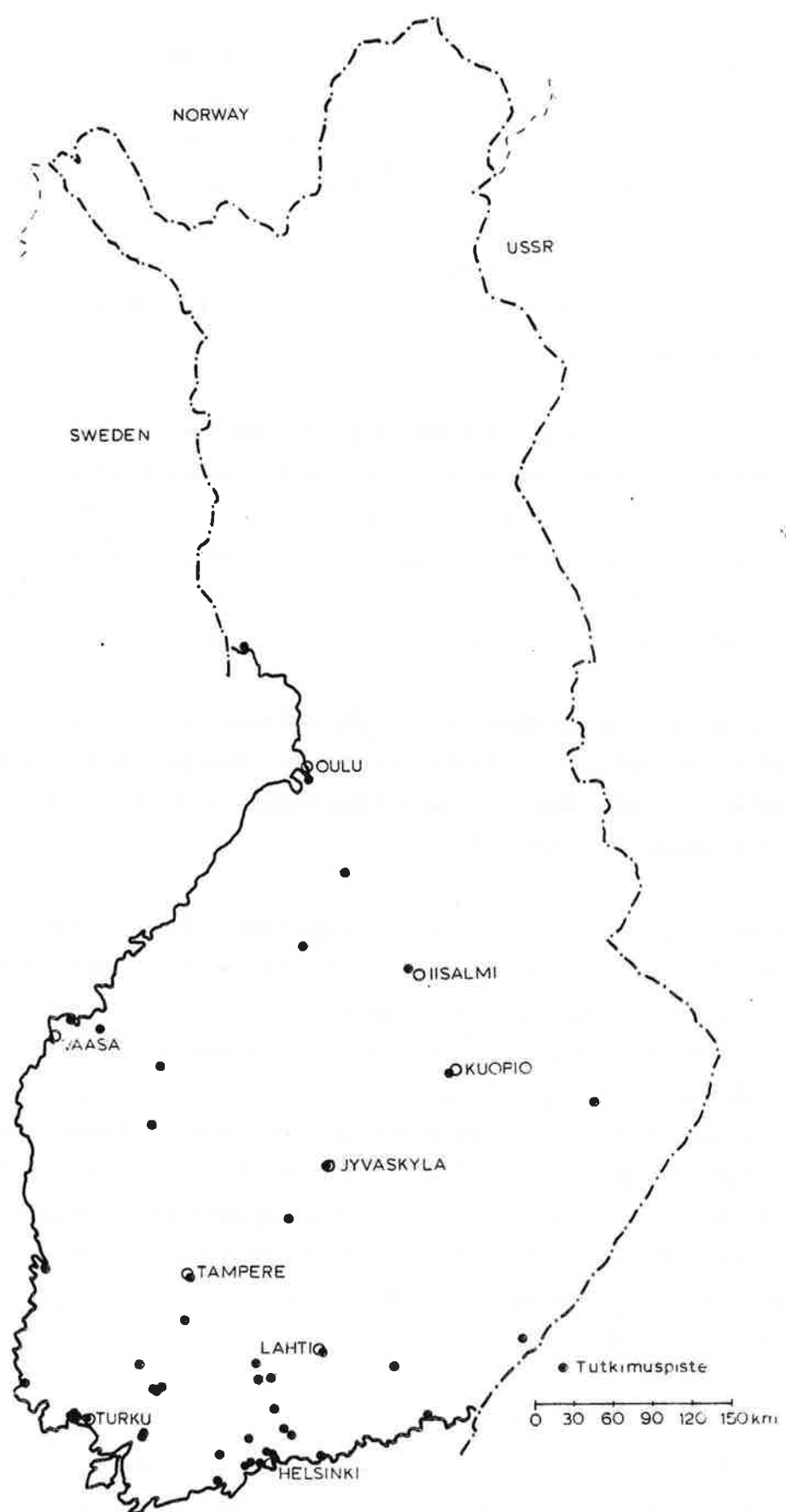
Tässä julkaisussa käsiteltävä hienorakeisten maalajien aineisto on koottu maastotutkimuksista, joita Valtion teknillisen tutkimuskeskuksen geotekniikan laboratorio on suorittanut tilaajien toimesta. Tilaajina on ollut mm. valtion laitoksia (Tie- ja vesirakennushallitus, Vesihallitus, Rakennushallitus), kaupungeja ja kuntia sekä yksityisiä alan toimistoja. Tämän lisäksi on geotekniikan laboratorio omasta aloitteestaan täydentänyt tutkimusta niiltä Suomen alueilta, joista ei muuten ole ollut saatavana näyteaineistoa. Tutkimukset on suoritettu pääasiassa vuosina 1966...1972.

Kertyneestä näyteaineistosta on valittu 48 tutkimuspistettä, joiden on katsottu edustavan Suomessa yleisesti esiintyviä hienorakeisia maalajeja. Kyseisten maalajien esiintymisalueista johtuu, että tutkimusaineisto keskittyy lukumääräisesti Etelä- ja Lounais-Suomeen sekä yleensä rannikkoalueille (kuva 1). Tutkimuspaiikkakuntaa edustaa yleensä yksi tutkimuspiste. Muutamissa tapauksissa on samalta paikkakunnalta valittu useampia tutkimuspisteitä.

Kussakin tutkimuspisteessä on suoritettu painokairaus ja siipikairaus sekä otettu häiriintymättömät näytteet. Lisäksi on vaattu maanpinnan korkeus tutkimuspisteen kohdalla. Painokairaus on suoritettu Suomen geoteknillisen yhdistyksen laatiman kairausoppaan mukaisesti [12].

Häiriintymättömät näytteet on otettu Ruotsin geoteknillisen instituutin kehittämällä mäntäkairoilla ST I ja ST II. Kairoilla saadaan kolme sisähalkaisijaltaan 50 mm:n suuruista ja 170 mm:n pituista näytettä. Näytteenotto mäntäkairalla on yleensä aloitettu kuivakuoren alaosasta ja ulotettu karkearakeiseen pohjakerrokseen saakka. Näytteenottosyvydet on valittu siten, että on saatu ns. jatkuva näyte tai otettu näytettä noin 50 cm syvyytsmetriä kohden. Paksujen kerrosten ollessa kysymyksessä näytteenottoväliä on harvennettlu kahteen metriin. Kuiva-kuoriosasta näytteet on otettu tavallisesti koekuopasta metallipurkkeihin. Näytteet on siirretty pehmoustetuissa kuljetuslaatikoissa laboratorioon, jossa ne on säilytetty viileässä kosteushuoneessa. Laboratoriotutkimukset on pyritty aloittamaan heti näytteiden saavuttua.

Tutkimustuloksia esittävissä piirustuksissa on ilmoitettu pistekohtaisesti kairausrei'issä havaittu vesipinta, jota ei aina voida pitää pohjavesipintana. Pohjavesipintaa ei ole pyritty selvittämään yksityiskohtaisesti sen määritysvaikeuden johdosta. Tutkimuspisteiden sijainnit on ilmoitettu valtakunnallisessa koordinaatistossa 20 metrin tarkkuudella peruskartalta (1:20 000) mittamalla.



Kuva 1. Tutkimuspisteiden sijainti.

## 2. TUTKIMUSMENETELMÄT

### 2.1 Geologiset määritykset

Suurimmasta osasta näytesarjoja on suoritettu geologinen ajoitus siitepölytutkimuksilla. Preparaattien valmistuksessa on käytetty ns. fluorivetymenetelmää [1]. Muutamista yksittäisistä näytesarjoista on lisäksi suoritettu pääpiirteittäiset piilevääanalyysit siitepölyajoituksen tarkistamiseksi. Piileväpreparaatit on valmistettu  $H_2O_2$ -käsittelyllä käyttäen sideaineena Hyraxia.

Siitepölytutkimuksen analysointiväli on syvyyssuunnassa ollut tavallisimmin  $0,5\cdots 1$  m. Yksityiskohtaisempi siitepölytutkimus olisi paksuhkojen savikerrosten osalta vienyt huomattavasti aikaa ja se olisi ollut tutkimuksen luonne huomioon ottaen epätaloudellista.

Kuten tunnetaan, saviaineeksesta suoritetut siitepölyanalyysit eivät kuvasta välistömästi paikallista kasvustoa. Pölystön muodostumiseen vaikuttavat mm. sedimentaatioaltaassa esiintyvät virtaukset ja vesisyvyys sekä vallitsevat tuulet. Huomattava vaikutus on tuulien aiheuttamalla siitepölyjen kaukolennolla.

Näyteaineistosta suoritettujen siitepölyanalyysien perusteella voidaan todeta, että pölytiheys postglasiaalisissa kerrostumissa on ollut suhteellisen suuri. Sen sijaan myöhäisglasiaalisissa kerrostumissa on yleensä pölyä vähän. Tämän vuoksi myöhäisglasiaalisten sedimenttien siitepölystöstä on tehtävä varoen johdotätköksiä. Haittatekijöiden johdosta siitepölyanalyysia ei ole käytetty yksinomaisenä stratigrafisena jakoperusteenä, vaan sitä on käytetty yhdessä muiden tutkimustulosten kanssa. Kun otetaan huomioon tämän tutkimuksen luonne, voidaan siitepölyanalyysia kuitenkin pitää hyvinä apuvälineenä stratigrafisessa tarkastelussa.

Mikroskooppisten tutkimusten lisäksi on näytteistä tutkittu pääpiirteittäinen makroskooppinen rakenne. Havainnot on yleensä suoritettu geoteknillisten tutkimusten yhteydessä jääneistä kuivista näytekappaleista. Lisäksi havaintoja on tehty myös luonnontilaisista näytteistä.

Siitepölyanalyysia, sedimenttien makroskooppista rakennetta sekä osittain geoteknillisiä tutkimustuloksia hyväksikäytäen on suoritettu kerrostumien stratigrafinen jaottelu: Litorina-, Ancylus-, Yoldia- sekä Baltian jääjärven sedimentit. Näistä käytetään vastaavasti lyhenteitä Li, An, Yo ja Ba.

## 2.2 Kemiaiset tutkimukset

### 2.21 Happamuusaste

Näytteiden happamuusaste ( $p^H$ ) on määritetty tislatun veden ja kostean maanäytteen suspensiosta. Määritysväli on syvyyssuunnassa ollut yleisimmin noin 0,5...1 m. Happamuusaste on määritetty samasta näytteestä, josta on tutkittu huokosveden suolaisuus. Näytteen käsittely on ollut tällöin seuraava: Kosteushuoneessa säilytettyä luonnonkosteariä on punnittu määrä, joka on sisältänyt 10 g huokosvettä. Näyte on sekoitettu huokosveden suhteen tislattuun veteen suhteessa 1:4. Puoli tuntia kestääneen sekoitusvaiheen jälkeen suspesiosta on välittömästi mitattu happamuus käyttäen  $p^H$ -mittaria malli Polymetron Type 39 C. Koska veden ja näytteen sekoitussuhde vaikuttaa vähäisessä määrin  $p^H$ -arvoihin [6], happamuusaste on mitattu vain yhden desimaalin tarkkuudella.

Sekoitussuhdetta huomattavampi vaikutus  $p^H$ -arvoihin on näytteenoton ja mittausten välisellä ajanjaksolla. Näytteiden vähäisen hapettumisen on katsottava alkaavan likipitään välittömästi näytteenoton jälkeen. Havainnot osoittavat lisäksi, että huolellisesti suljetut näytteet hapettuvat kosteushuoneessakin. Mikäli pyritään mahdollisimman luonnontilaisten  $p^H$ -arvojen määrittämiseen, mittaukset olisi suoritettava jo maastossa näytteenoton yhteydessä.

Koska näyteaineiston ensisijaisena tutkimustarkoituksena on ollut geoteknisten ominaisuuksien määrittäminen, ei  $p^H$ -arvoja ole mitattu maastossa. Mittausajankohta on eri syistä ollut 1...3 viikkoa näytteenotosta. Tänä aikana näytteet ovat olleet varastoituina kosteushuoneessa tiiviisti suljetuissa näytepurkeissa. Määritystä suoritettaessa tutkittava osanäyte on otettu suuremman näytteen keskiosasta poistaen mahdollisesti hapettuneet reunaosat. Näytteenoton ja  $p^H$ -mittausten välisen ajan vaikutusta saatuihin arvoihin ei ole tämän tutkimuksen yhteydessä selvitetty. Mittaustavan vuoksi saatuja  $p^H$ -arvoja on pidettävä likimäärisinä.

### 2.22 Huokosveden suolaisuus

Huokosveden suolaisuuden määrittämiseksi ovat eri tutkijat käyttäneet useita metodelmiä näytteiden esikäsittelyssä. Yleisimpiä niistä ovat näytteen suspensioinen, uuttaminen ja huokosveden puristaminen ulos näytteestä. Suolaisuus on määritetty yleisimmin joko titraamalla tai mittamalla nesteen sähköjohtokyky [7], [14].

Suspensoinnin ja uuttamisen haittapuoleksi on katsottu se, että sillä voidaan määrittää vain osa kokonaissuolapitoisuudesta [3]. Huokosveden ulospuristamista ovat käyttäneet mm. Talme, Pajuste. Wenner [15]. Menetelmällä on todettu saatavan huokosveden ulospuristamisen alkuvaiheessa suurempia suolaisuusarvoja kuin loppuvaiheessa. Luotettavimmat arvot on Ericsson [3] katsonut saavansa sulattamalla kuivan näyteaineksen natriumkarbonaatin kanssa ja määrittämällä edelleen käsittelystä näytteestä Cl-pitoisuuden.

Tämän tutkimuksen aineistosta on huokosveden suolaisuus tutkittu osittain yhdämällä mainittuja menetelmiä. Määritykset on suoritettu sitten, että kosteus-huoneessa säilytettyä luonnonkosteata näytettä on punnittu määrä, joka on sisältänyt 10 g huokosvettä. Näyte on sekoitettu tislattuun veteen suhteessa 1:4. Puoli tuntia kestääneen sekoituksen ja  $p^H$ -määritynnen jälkeen suspensio on sentrifukoitu sekä suodatettu Membran alipainesuodattimella. Kirkkaasta suodoksesta on mitattu sähköjohtokyky käyttäen johtokykymittaria WTW Type LF 54.

Huokosveden konsentraation laimenemisen johdosta on tuloksia laskettaessa mitatut johtokykyarvot ( $\mu S$ ) kerrottu viidellä. Tällöin on katsottu saatavan likipitään alkuperäistä konsentraatiota vastaavat arvot. Kokonaissuolapitoisuus (suolaisuus) on määritetty käytämällä Merentutkimuslaitoksen johtokyky- ja suolaisuustaulukkoja, jotka perustuvat Voipion ja Häsäsen tutkimuksiin [17]. Muunnettujen johtokykyarvojen kertoimiksi tulevat näiden taulukkojen mukaan 0,56...0,63.

Frillistapauksissa on lisäksi määritetty suodoksen kloridipitoisuus titraamalla.

Näytteiden esikäsittelyä suoritettaessa todettiin kirkkaan suodoksen johtokyvyn olevan selvästi suurempi kuin vastaavan suspension. Lisäksi suolaisuuden vaihtelurajat tulivat selvemmin näkyviin määritettäessä johtokyky suodoksesta.

Näytteen esikäsittelyn vaikutuksen vertaamiseksi on muutamissa tapauksissa johtokyky määritetty myös näytteestä ulos puristetusta huokosvedestä. Veden ulospuristaminen on suoritettu 3-akselilaitteen selliä käytäen. Tällöin on yleensä saatu hiukan suurempia suolaisuusarvoja kuin suodoksesta mittaamalla. Tämä osoittaa, että käytetyllä näytteen käsittelymenetelmällä ei saada täysin luonnontilaisia huokosveden suolaisuusarvoja.

Valittua menetelmää on käytetty mm. siksi, että tällöin on voitu suorittaa  $p^H$ - ja johtokykymittaukset samasta näytteestä. Valintaan on lisäksi vaikuttanut määritykseen tarvittavan näytteen pienius, sillä geoteknillisin tutkimuksiin varatuista näytteistä on ollut käytettäväissä vain murto-osa. Mikäli huokosvesi olisi

puristettu ulos saviaineksesta, olisi sitä varten tarvittu lisänäytteitä ja olisi jouduttu hankkimaan lisävälineistöä.

Valitun menetelmän ansiosta on pienehköllä työllä voitu käsitellä suuri näytemääri. Koska pyrkimyksenä on ollut saada pääpiirteittäinen yleiskuva hienorakeisten sedimenttien huokosveden suolaisuudesta, on menetelmän tarkkuuden katsottu riittävän tähän tarkoitukseen.

### 2.23 H u m u s p i t o i s u u s

Näytteiden sisältämän orgaanisen aineksen määrä (humuspitoisuus) on määritetty kolorimetrisesti "kromihapetusmenetelmää" käyttäen [6], [16]. Kuivattu näyte käsitellään tässä menetelmässä kaliumbikronaatilla ja rikkihapolla. Saadun liuoksen väriä verrataan kolorimetrillä tunnetut määrät humusta sisältävien liuosten väriin. Käytettyä menetelmää on pidetty riittävän tarkkana geotekniliisiä tutkimuksia varten.

### 2.3 Geotekniset tutkimukset

#### 2.31 L u o k i t u s o m i n a i s u u d e t

Luokitusominaisuksilla tarkoitetaan tässä yhteydessä ns. indeksiominaisuksia. Niihin luetaan rakeisuus, humuspitoisuus, vesipitoisuus, plastiset ominaisuudet, tiheys sekä tilavuuspaino. Humuspitoisuus on määritetty kohdan 2.23 mukaisesti. Muut luokitusominaisuudet on määritetty Suomessa yleisesti käytössä olevia geotekniliisiä laboratorio-ohjeita noudattaen [16]. Rakeisuuden määritysessä on käytetty ns. areometrimenetelmää. Määritysväli syvyyssuunnassa on vaihdellut näytesarjasta riippuen yleensä noin 0,5...1 metriin. Hyvin lyhyiden tai pitkien näytesarjojen osalta on kuitenkin käytetty tätä lyhyempää tai pidempää määritysväliä.

#### 2.32 L u j u u s o m i n a i s u u d e t

Tutkittujen maaleajien lujuusominaisuudet on määritetty maastossa siipikairalla sekä laboratoriossa puristus- ja kartiokokeilla. Siipikairaus on suoritettu Pohjoismaissa vakiintuneen käytännön mukaan [13]. Kairaus on suoritettu suojaputkella ja siiven suojakotelolla varustetulla kairatyyppillä. Momentin mittaus on suoritettu ns. momenttimittarilla. Leikkauslujuus on yleensä määritetty 0,5 m:n välein karkearakeiseen pohjakerrokseen asti. Paksumkojen kerrosten ollessa kysymyksessä on lujuuden määritysväli ollut tavallisesti yksi metri.

Puristuskokeet on suoritettu Geonor-tyyppistä, mekaanisella piirturilla varustettua kojetta käytäen. Myös kartiokoje on ollut Geonor-tyyppiä (kuva 2).

### 2.33 Painumisominaisuudet

Painumisominaisuudet on määritetty Suomessa yleisesti käytössä olevalla ödometri-laitteella (kuva 3). Laitteissa käytetyjen näytteiden korkeus on ollut 14 mm ja halkaisija 43,8 mm. Kuivakuorinäytteiden korkeus on ollut 20 mm ja halkaisija 99,6 mm.

Näytteitä on kuormitettu kolmessa vaiheessa, joita on nimitetty ensimmäiseksi kuormitusvaiheeksi, palautusvaiheksi ja toistokuormitusvaiheeksi. Käytetyt kuormituksset ovat olleet seuraavat:

Ensimmäinen kuormitusvaihe:

1. 0,06 kp/cm<sup>2</sup>
2. 0,12 "
3. 0,24 "
4. 0,48 "
5. 0,96 "
6. 1,92 "
7. 3,84 "
8. 7,68 "
9. 15,36 "

Palautusvaihe:

10. 0,96 kp/cm<sup>2</sup>
11. 0,12 "

Toistokuormitusvaihe:

12. 0,12 kp/cm<sup>2</sup>
13. 0,48 "
14. 1,92 "

Edellä lueteltua kuormitussarjaa (1-14) on käytetty normaalisti ja ylikonsolidoituneissa maalajeissa silloin, kun näytteet on otettu kuivakuoren alapuolelta, kun näytteenottosyvyys on ollut alle 5 m. Näytteenottosyvyyden ollessa yli 5 m koe on aloitettu kuormituksella 0,12 kp/cm<sup>2</sup>.

Jos näyte on ollut voimakkaasti ylikonsolidoitunutta kuvakuorta, on ensimmäisenä kuormituksena käytetty  $0,24 \text{ kp/cm}^2$ . Viimeinen kuormitus on tällöin ollut  $15,36 \text{ kp/cm}^2$ .

Ensimmäisen kuormitusvaiheen aikana on luettu näytteen kokoonpuristuminen (painenminen) kuormituslisäyksen jälkeen seuraavina ajankohtina:

6, 12, 18 ja 30 sekuntia, 1, 2, 4, 8, 15 ja 30 minuuttia, 1, 2, 4, (8) ja 24 tuntia.

Kunkin kuormituksen vaikutusajan pituus ensimmäisessä kuormitusvaiheessa on yleensä ollut noin 24 tuntia. Palautus- ja toistokuormitusvaiheessa kuormituksen muutokset ovat tapahtuneet näytteestä riippuen 1-2 kertaa vuorokaudessa.

Tuloksia käsiteltäessä on aikalukemien perusteella piirretty aika-painumakäyrä (kuva 4) sekä lopullisten painumien perusteella kuormitus-huokoslukukäyrä. Kuormituksen ja näytteen painuman vuorosuhdetta on approksimoitu kaavalla (1) [10]. Myöhemmin on tästä menetelmää soveltanut Suomessa mm. Korhonen [8].

$$\epsilon = a \cdot \left( \frac{p}{p_1} \right)^k + c \quad (1)$$

$$\epsilon = \frac{\Delta h}{h_0}$$

$\Delta h$  näytteen painuma (24 tunnin aikana) kuormituksella p

$h_0$  näytteen korkeus kokeen alussa

a muodonmuutosluku

p kuormitus (jännitys)

$p_1$  1  $\text{kp/cm}^2$

k jännityseksponeetti

c vakio

Tangenttimoduuli ja sen kertoimet on laskettu kaavaryhmällä (2)

$$E'_t = \frac{dp}{d\epsilon} \quad (2)$$

$$E'_t = v \cdot p_1 \cdot \left( \frac{p}{p_1} \right)^\omega$$

$$v = \frac{1}{a \cdot k} \quad (k \neq 1)$$

$$\omega = 1 - k$$

$E'_t$  tangenttimoduuli (kokoonpuristuvuusmoduuli)

$v$  moduuliluku

$\omega$  moduuliekspONENTTI

Kertoimet  $a$ ,  $k$ ,  $v$  ja  $\omega$  on määritetty ödometrikokeiden havaintotulosten perusteella tietokonetta käyttäen.

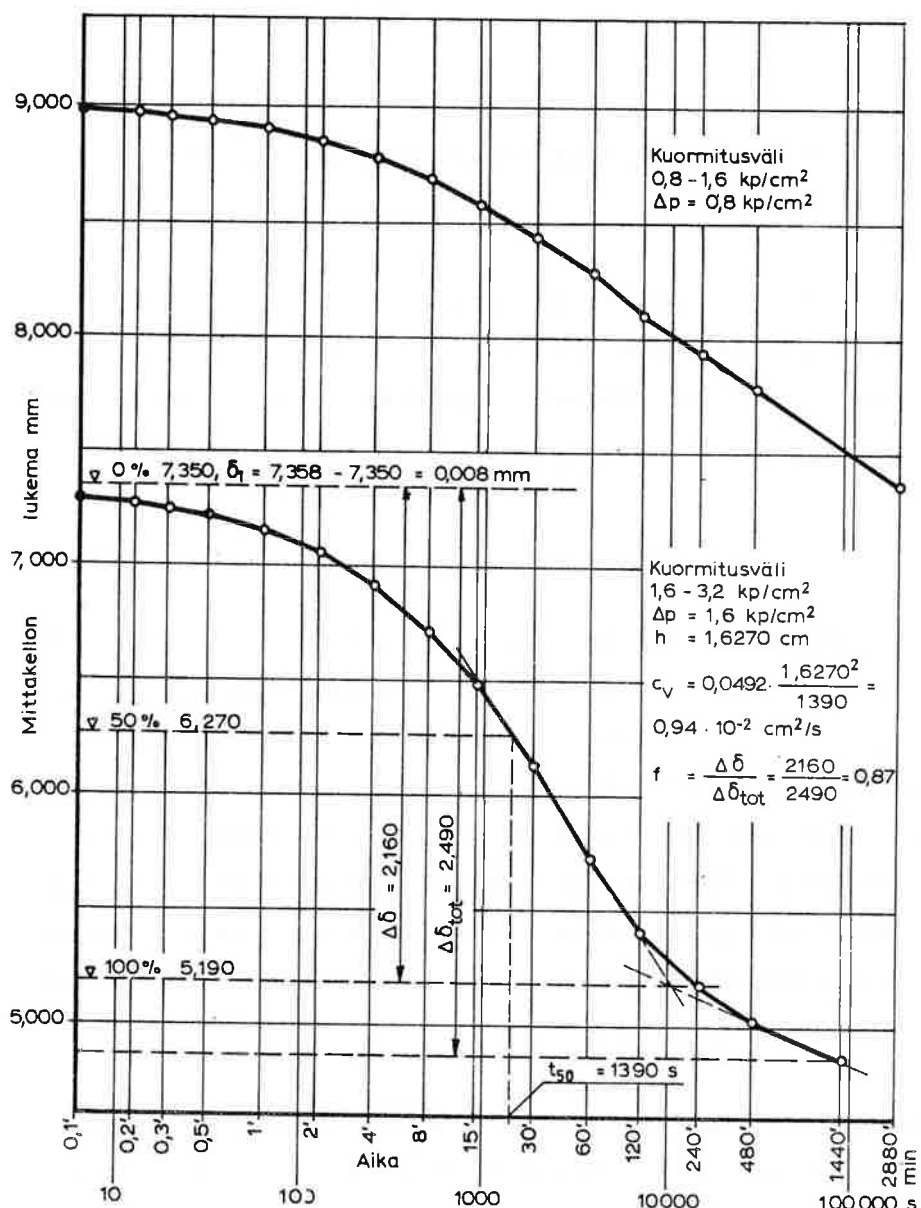
Savissa ja hienorakeisissa silttimaalajeissa kuormitus-huokoslukukäyrä voidaan usein korjata suoraksi puolilogaritmisesä mittakaavassa. Kokoonpuristuvuusmoduulin eksponentti on tällöin  $\omega = 1,00$ . Kaava (2) yksinkertaistuu tällöin muotoon (3)

$$E'_t = v \cdot p \quad (3)$$

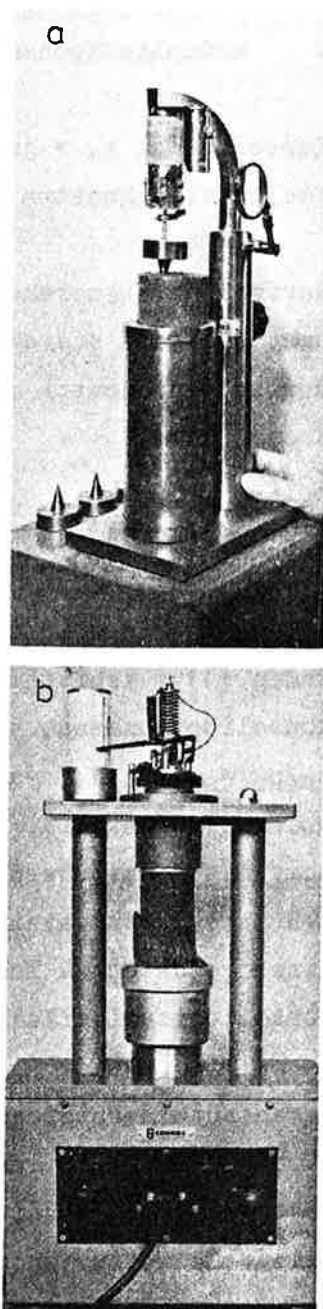
Maalajien konsolidoitumistilaa on pyritty arvioimaan sekä Kotziaksen [9] että Ohden [11] kehittämällä menetelmillä (kuvat 5 ja 6). Maalaja on pidetty alikonsolidoituneena, jos  $p_c/p_o < 0,8$ , normaalisti konsolidoituneena kun  $p_c/p_o = 0,8 \dots 1,2$  ja ylikonsolidoituneena kun  $p_c/p_o > 1,2$ . Aineistossa on lukuaisasti tapauksia, joissa kumpikaan menetelmä ei johda luotettavaan konsolidoitumiskuormituksen arvoon ( $p_c$ ). Tehokas kuormitus on laskettu maastotutkimusten yhteydessä havaitun vesipinnan perusteella. Koska tästä ei kaikissa tapauksissa voida pitää luotettavana pohjavesipintana, aiheutuu siitä lisää hajontaa konsolidoitumistilan määrittämisessä.

Saman tutkimuspisteen eri syvyysistä otettujen silttinäytteiden  $p_c/p_o$ -suhteet ovat vaihdelleet ilman johdonmukaisuutta. Tämän on katsottu johtuvan ensisijaisesti näytteiden häiriintymisestä. Tämän johdosta ei silttien konsolidoitumistilaa ole voitu johdonmukaisesti määrittää.

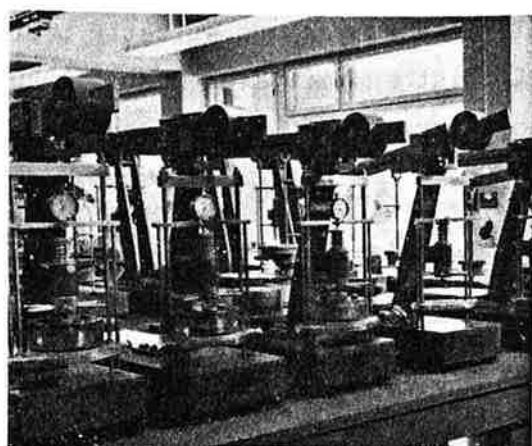
Painumisominaisuksia käsittelevissä kuvissa on esitetty tietokoneella lasketut kertoimet  $v$  ja  $\omega$ , vakio  $C$  sekä toistokuormituksen moduuliluku  $v_{re}$ . Lisäksi kuvista ilmenee vallitseva, tehokas kuormitus ( $p_o$ ) ja konsolidoitumiskuormitus (esikuormitus)  $p_c$ .



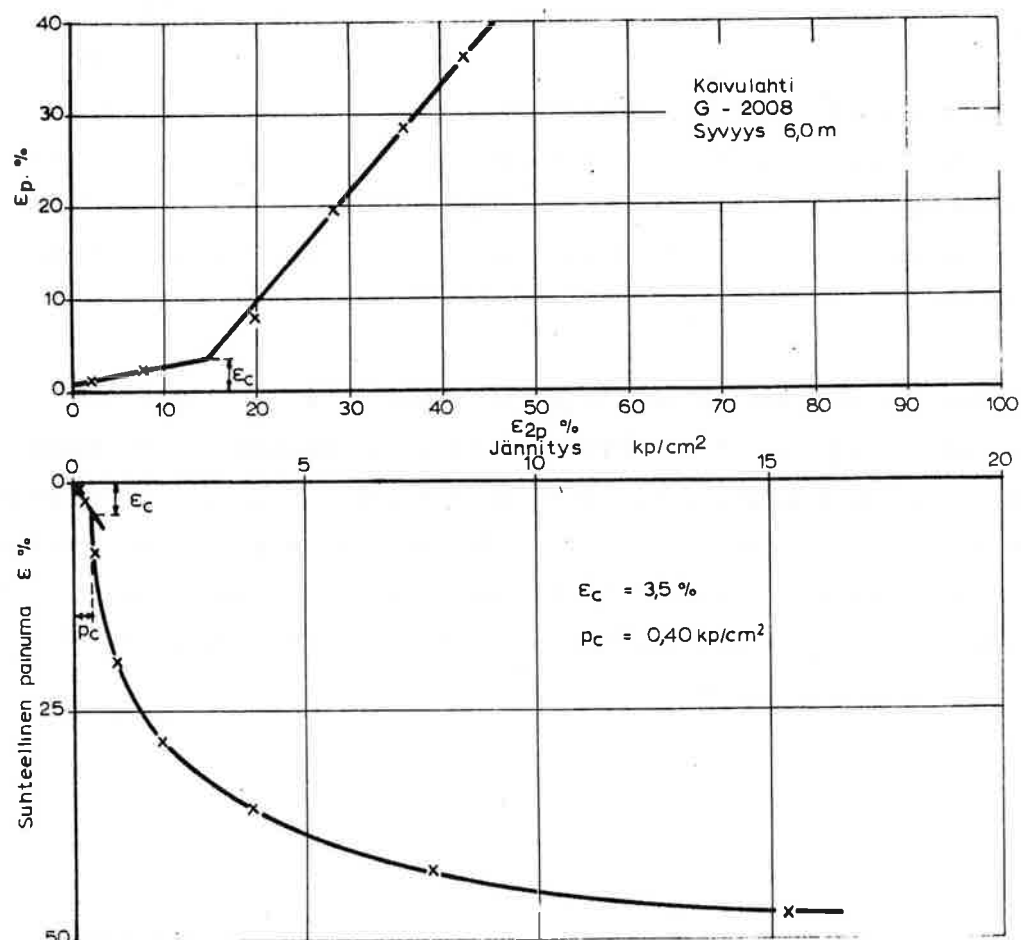
Kuva 4. Ödometrikokeen aika-painumakäyrä.



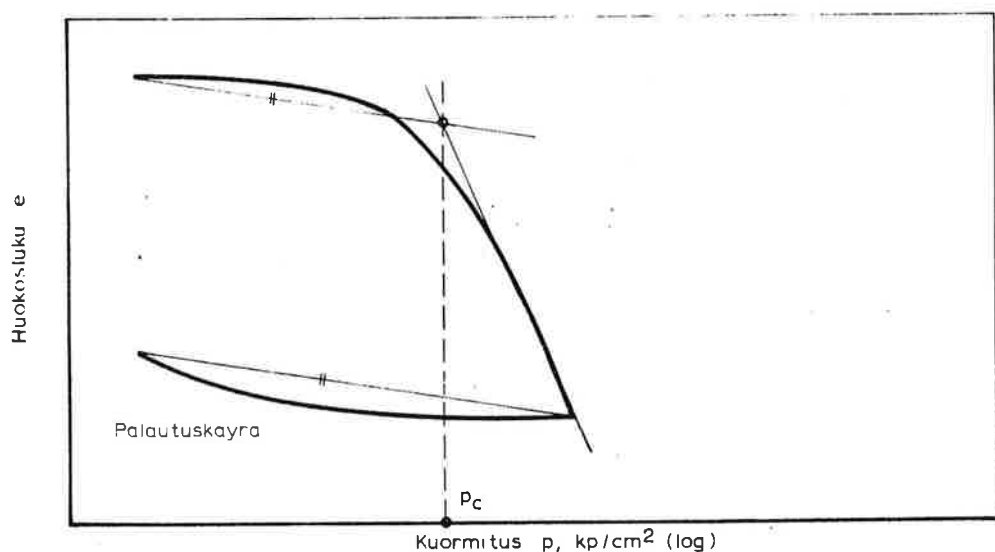
Kuva 2. Leikkauslu-  
juuden määritykseen  
käytetty kartiokoje (a)  
ja puristuskoje (b).



Kuva 3. Painumaominaisuusien  
määrittämiseen käytetty ödometri-  
malli.



Kuva 5. Esikuormituksen määrittäminen Kotziaksen menetelmällä.



Kuva 6. Esikuormituksen määrittäminen Ohden menetelmällä.

### 3. TUTKIMUSKOHTEET

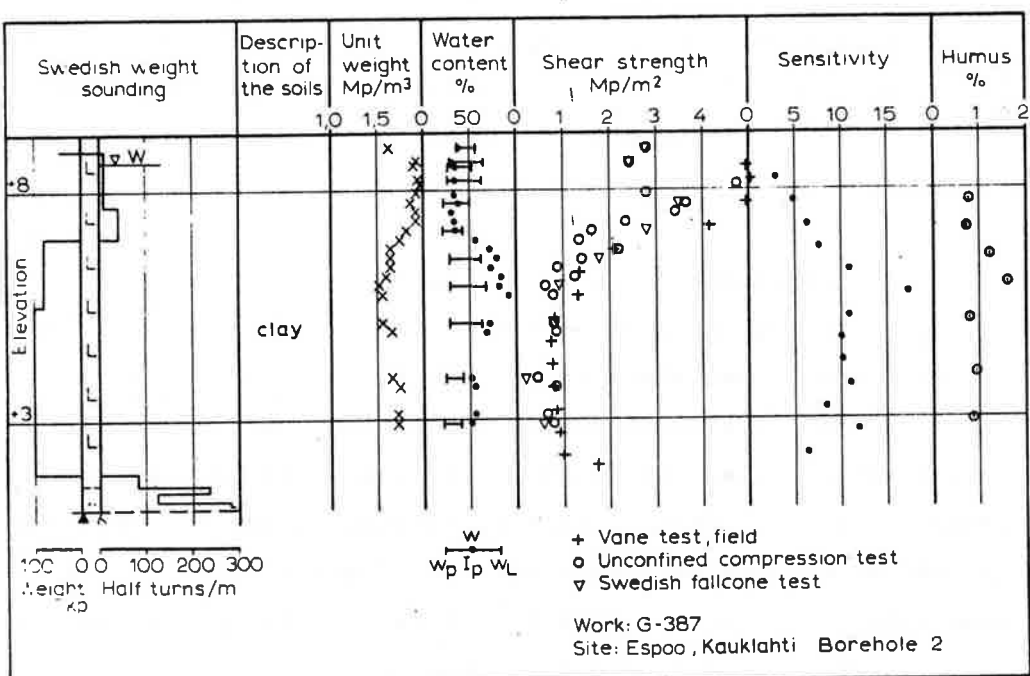
#### 3.1 Espoo, Kauklahti

x = 667538

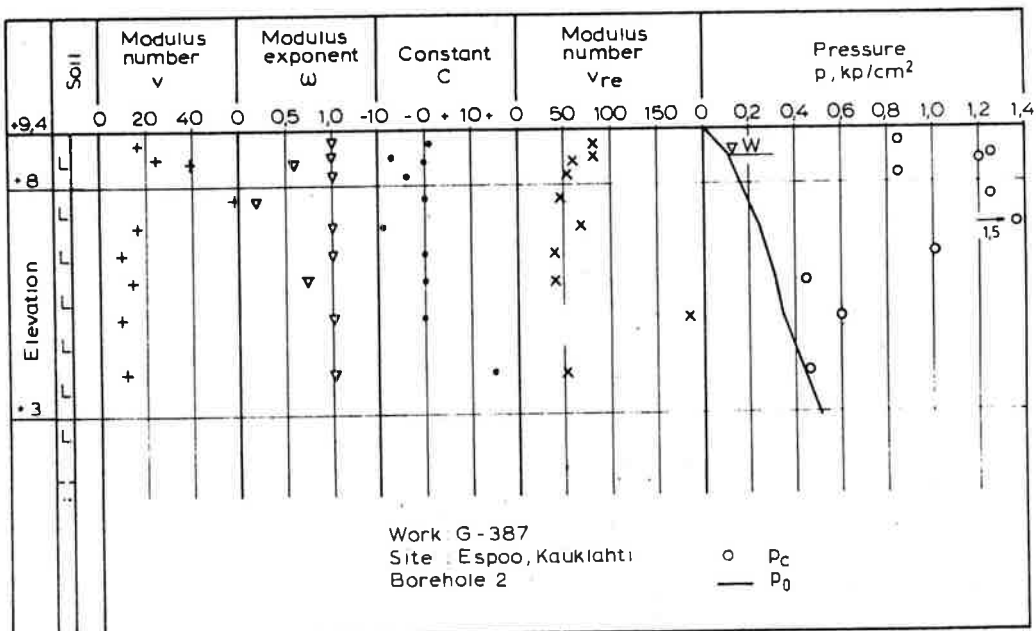
y = 24°/53314

Tutkimuskohde sijaitsee mäkialueiden välisessä rinnemaastossa, joka viettää kaakkoon. Maanpinnan korkeus on tutkimuspisteessä noin +9,5 m. Tutkimusaikana havaittu vesipinta on ollut noin 0,6 m:n syvyydessä maanpinnasta. Todellinen pohjavesipinta on ilmeisesti noin 2 m:n syvyydessä. Tutkimukset on suoritettu vuoden vaihteessa 1966-1967.

Savikerroksen paksuus vaihtelee tässä rinteessä noin 2-7 metriin. Tutkimuspisteessä on saven paksuus 7,5 m. Pintaosassa on voimakkaasti kehittynyt kuivakuori paksuudeltaan hiukan yli 2 m. Savi on pääosiltaan lihavaa, saviprosentti vaihtelee noin 50-80 prosenttiin. Kuivakuoriosa on ylikonsolidoitunutta sen alapuolisten pehmeämpien kerrosten ollessa normaalista konsolidoituneita. Konsoiliaatiorerroin ( $c_v$ ) vaihtelee kuivakuoren alapuolella noin  $1-4 \times 10^{-4} \text{ cm}^2/\text{s}$ .



Kuva 7. Luokitus- ja lujuusominaisuudet.



Kuva 8. Painumisominaisuudet.

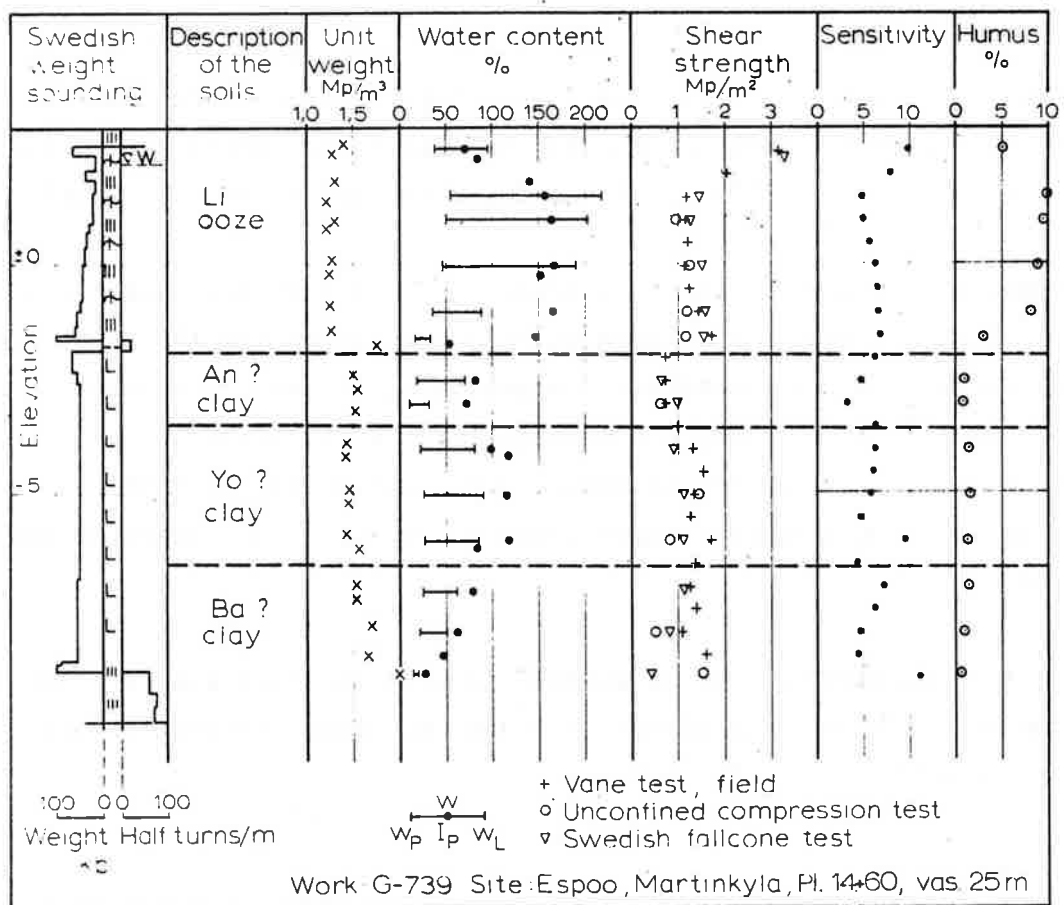
3.2 Espoo, Martinkylä

x = 667202

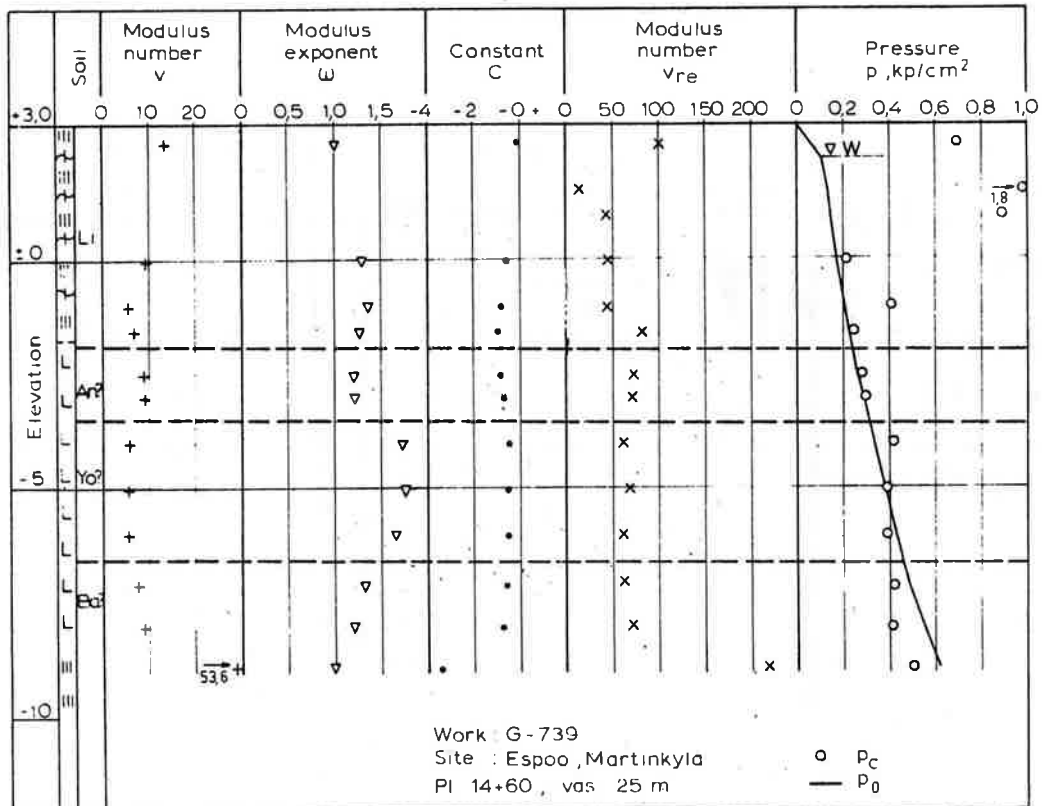
y = 24°/53842

Tutkimuskohde sijaitsee Martinkylän-Finnän paikallistien paalulla 14+60, 25 m vasempaan. Tutkimusalue on mäkien välistä, pinnaltaan lähes tasaista pelto-maastoa. Maanpinnan korkeus on tutkimuspisteessä +3 m. Tutkimusaikainen vesi-pinta on ollut noin 0,7 m:n syvyydessä maanpinnasta. Tutkimukset on suoritettu keväällä 1967.

Savikerrostuman kokonaispaksuus on tutkimuspisteessä noin 13 m. Kerrostuman yläosa on hyvin pehmeää liejua ja liejusavea (Litorinakerrostuma). Tämän alaosassa on ollut hietakerros, jonka alapuolin savi on lihavaa. Pohjaosistaan kerrostuma muuttuu hiesu- ja hietavaltaiseksi. Vesipitoisuuden perusteella esiintynee liejukerroksen alapuolella sekä *Ancylus*-, *Yoldia*- että *Baltian* jäätärvien kerrostumat. Kuivakuori puuttuu käytännöllisesti katsoen kokonaan. Noin 9 m:n syvyyteen saakka vaihtelevat konsolidaatiokertoimien ( $c_v$ ) arvot noin  $2\cdots 6 \times 10^{-5} \text{ cm}^2/\text{s}$ . Tämän alapuolella ovat  $c_v$ -arvot noin  $10^{-4} \text{ cm}^2/\text{s}$ . Ohutta pintaosaa lukuunottamatta kerrostuma on normaalisti konsolidoitunutta.



Kuva 9. Luokitus- ja lujuusominaisuudet.



Kuva 10. Painumisominaisuudet.

### 3.3 Espoo, Otaniemi

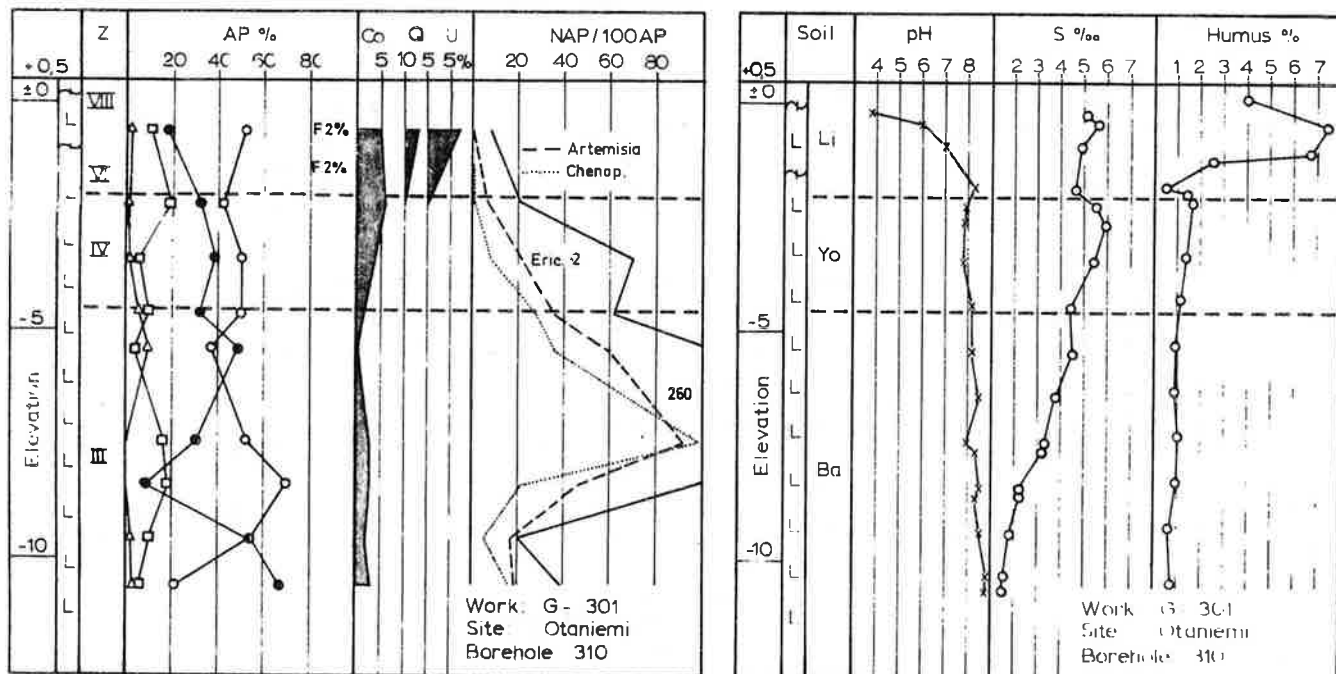
$x = 667538$

$y = 24^{\circ} / 54534$

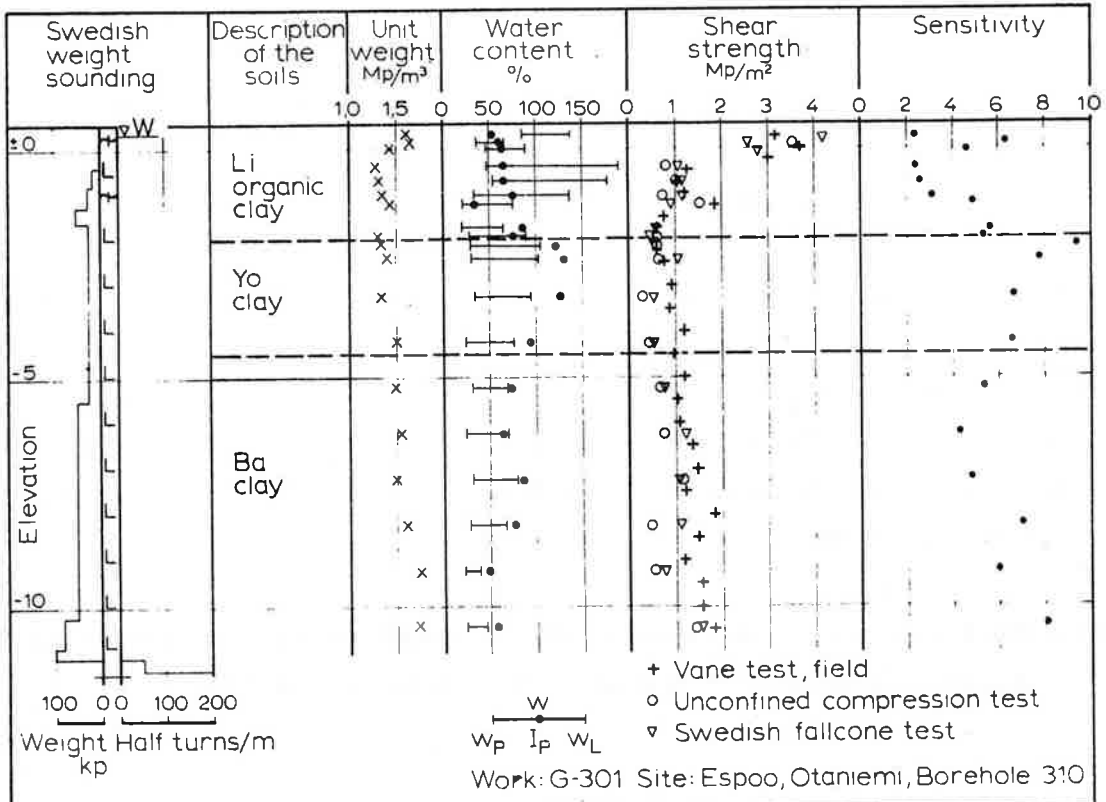
Tutkimuskohde sijaitsee geotekniikan laboratorion koealueella Laajalahden eteläpuoleisella vesijättöalueella. Maasto on tasaista ranta-alueutta, jossa maanpinnan korkeus on noin +0,5...1 m. Tutkimukset on suoritettu joulukuussa 1967.

Kerrostuman kokonaispaksuus on noin 12 m. Alueen alavuuden johdosta ei selvää kuivakuorta ole muodostunut. Pintaosa on litorinakautista liejua ja liejusavea. Tämän alapuolella on rakenteeltaan homogeenista, lihavaa Yoldiasavea, jonka savipitoisuus on 70...80 %. Pohjimmaisenä esiintyy kerrallinen lustosavi. Ancyluskerrosta ei harvan analyysivälön johdosta ole voitu yksikäsitteisesti osoittaa. Litorinakerroksen alapuolin suuri huokosveden suolaisuus johtunee ionien difuusiossa.

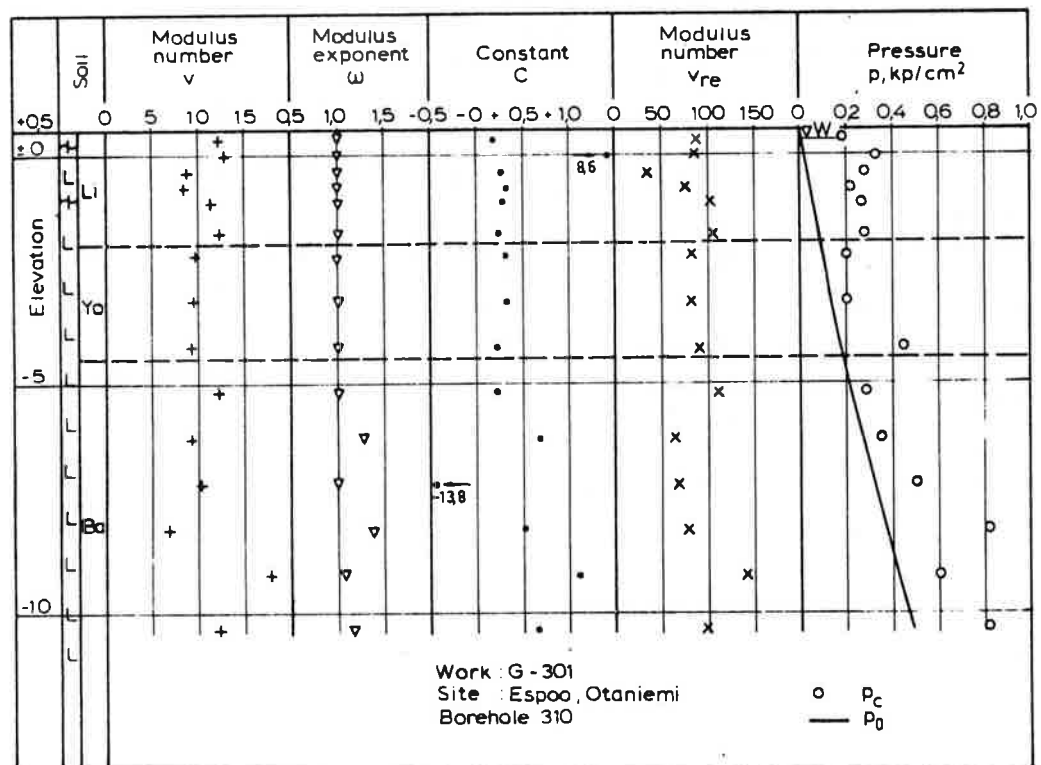
Kerrostuma on lujuudeltaan hyvin pehmeää ja sitä on pidettävä normaalisti konsoolidoituneena tai lievästi ylikonsolidoituneena. Konsolidaatiokerroin ( $c_v$ ) vaihtelee noin  $2 \times 10^{-4}$ ... $5 \times 10^{-5} \text{ cm}^2/\text{s}$ .



Kuva 11. Siitepölystö ja kemialliset määritykset.



Kuva 12. Luokitus- ja lujuusominaisuudet.



Kuva 13. Painumisominaisuudet.

### 3.4 Haapajärvi

$x = 706814$

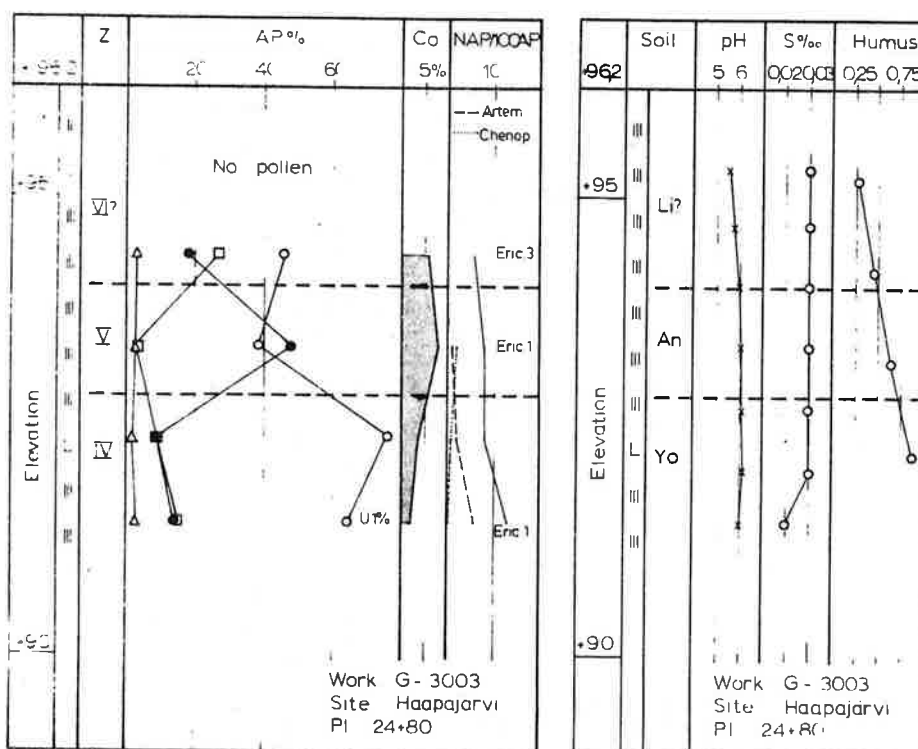
$y = 24^{\circ}/56698$

Tutkimuskohde sijaitsee Hautaperän maapadon paalulla 24+80 Haapajärvellä.

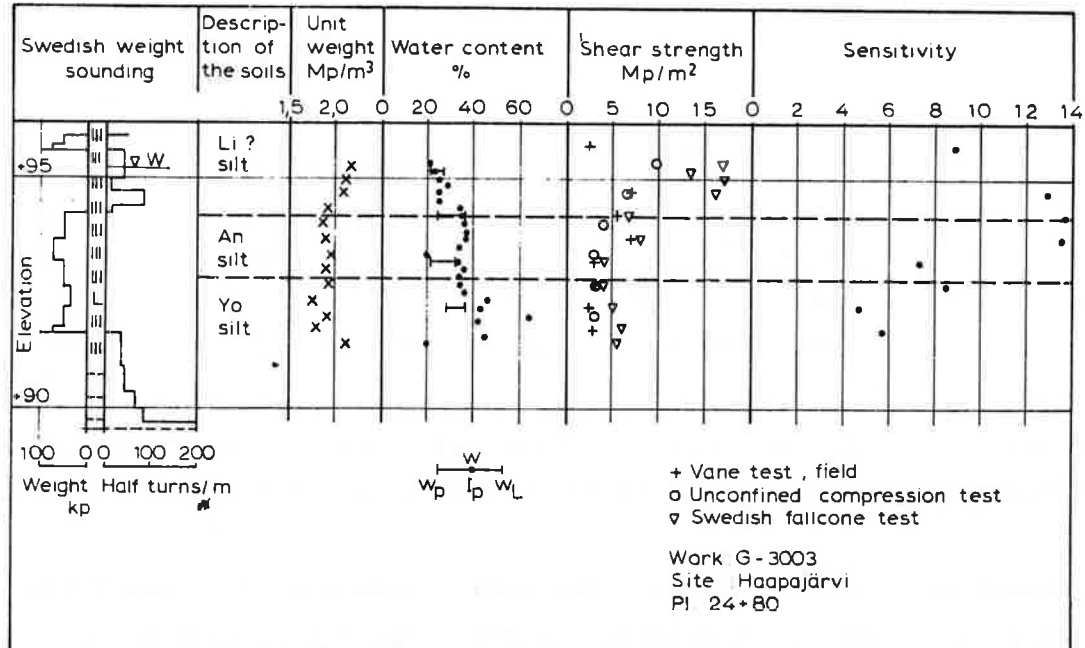
Kerrostuma käsittää mäkialueella sijaitsevan matalahkon silttipainanteen, maanpinnan korkeus on pisteen kohdalla noin +96 m.

Sillettikerrostuma on noin 5 m:n paksuinen ja se on rakenteeltaan käytännöllisesti katsoen homogenista. Tuoreen aineksen väri on heikosti punertavaa. Savilajiteen määrä vaihtelee noin 20...30 prosenttiin. Kerrossarja käsittää ilmeisesti Litorina-, Ancylus- ja Yoldiakerrokset. Mahdollinen Litorinakerros käsittää pintaosan (kuivakuoren), josta ei kuitenkaan ole riittävästi tuloksia kerrostuman ajoituksen selvittämiseksi.

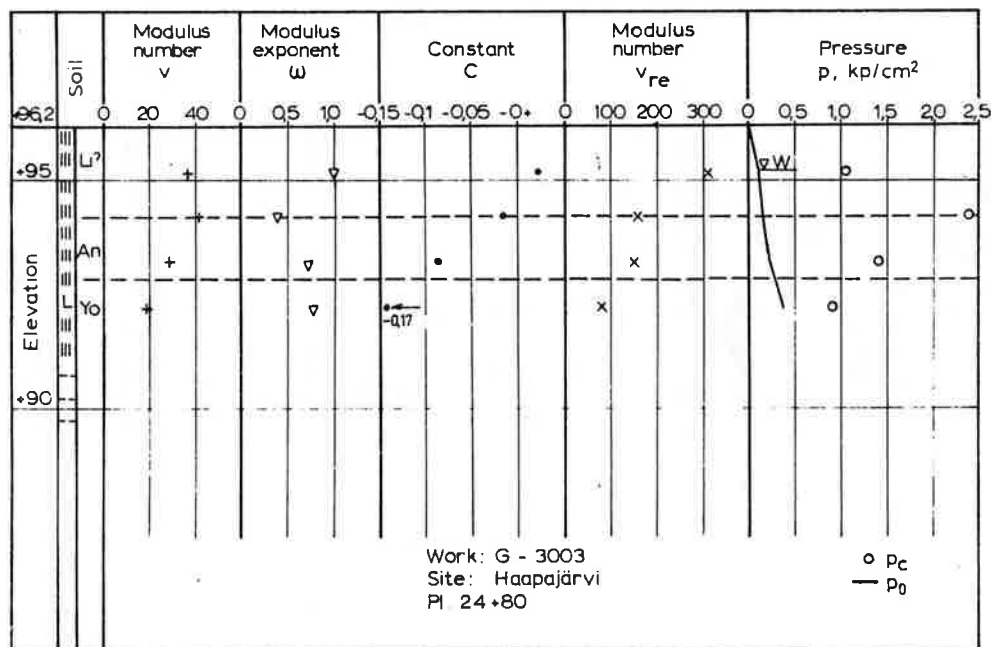
Huokosveden suolaisuus on hyvin pieni. Kerrostuma on kokonaisuudessaan ylikonsolidoitunutta. Tutkimukset on suoritettu marraskuussa 1969.



Kuva 14. Siitepölystö ja kemialliset määritykset.



Kuva 15. Luokitus- ja lujuusominaisuudet.



Kuva 16. Painumisominaisuudet.

3.5 Helsinki, Kipparlahti

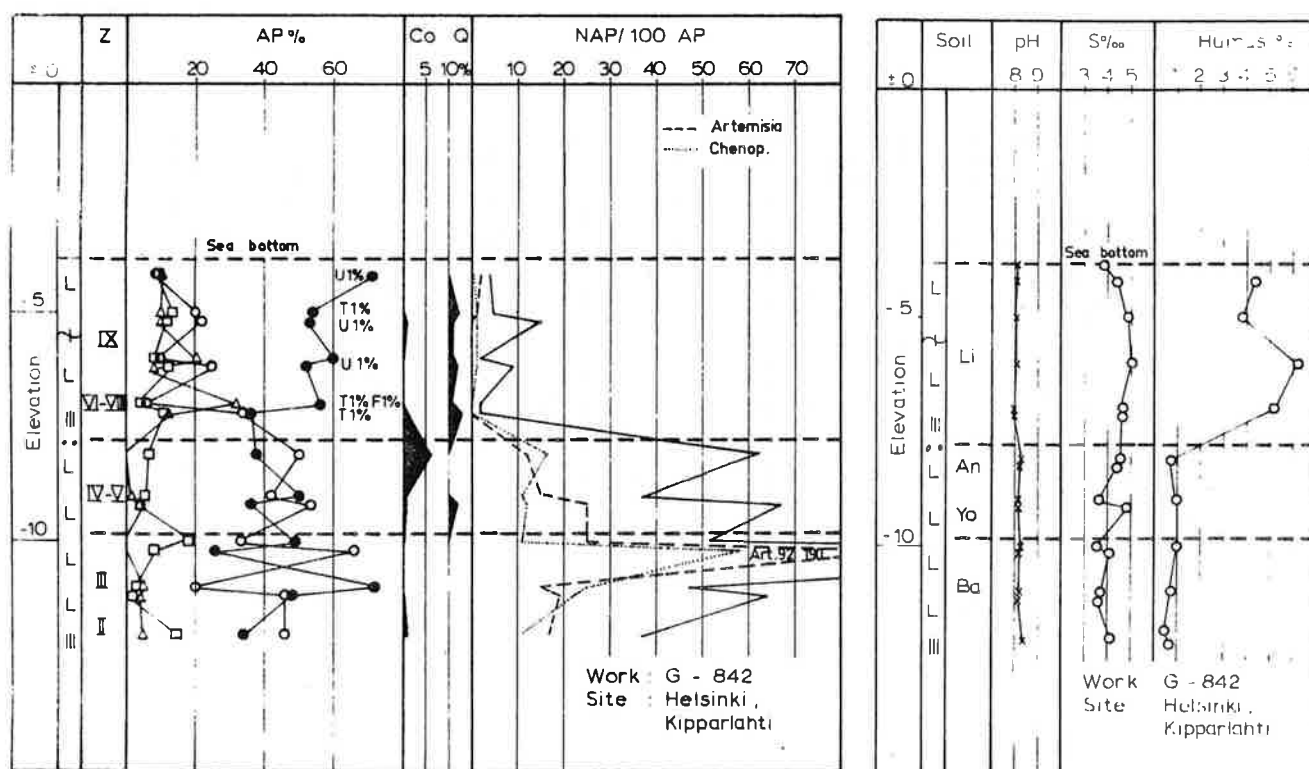
$x = 667592$

$y = 24^{\circ}/55690$

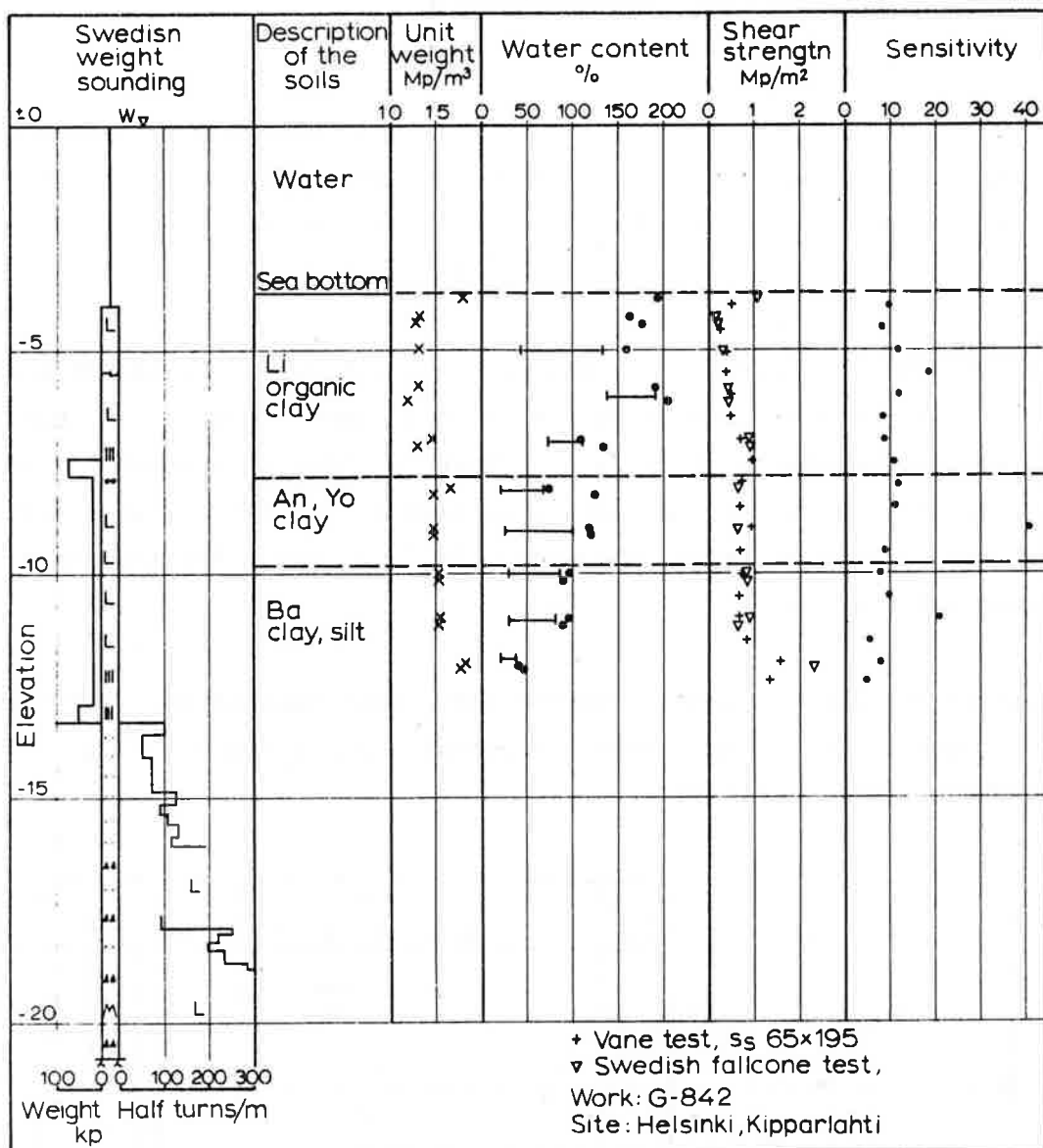
Tutkimuskohde sijaitsee Kulosaaren koillispuolella olevan Kipparlahden venelai-tureiden alueella. Vesisyvyys on tutkimuspisteen kohdalla ollut tutkimusaikana (lokakuussa 1968) noin 3,7 m.

Kerrossarjan yläosa käsittää noin 4 m paksun litorinakautisen liejusavikerroksen. Tämän alapuolella esiintyy todennäköisesti sekä *Ancylus*- että *Yoldiakerros*, joiden yhteispaksuus on kahden metrin suuruusluokkaa. Pohjimmaisen kerroksena on raken-teeltaan kerrallinen savi ja siltti. Litorinakerroksen alaosassa on 40 cm paksu hiekkakerros. Kerrossarjan siitepölystö on siinä määrin epähomogeeninen, että käytetyllä analysointivälillä ei voi tehdä luotettavia johtopäätöksiä.

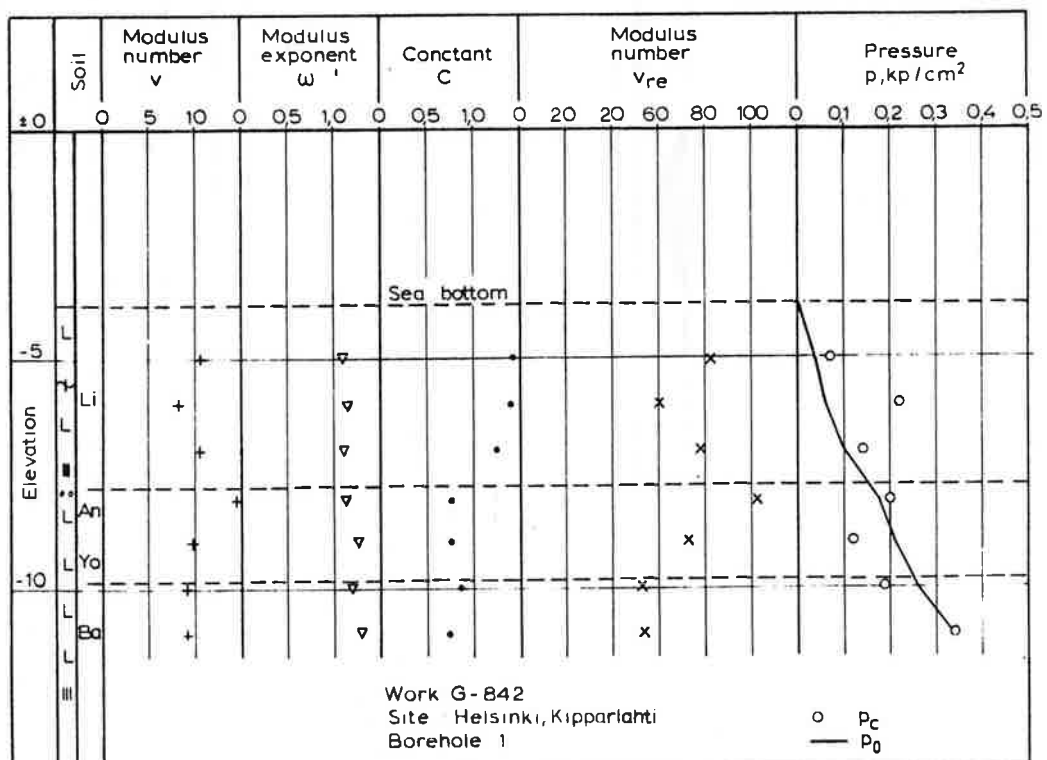
Pohjaosaan asti ulottuva huokosveden suuri suolaisuus johtunee diffuusiosta. Ker-rossarja on normaalista konsolidoitunutta  $c_v$ -arvojen vaihdellessa noin  $4 \dots 9 \times 10^{-5} \text{ cm}^2/\text{s}$ .



Kuva 17. Siitepölystö ja kemialliset määritykset.



Kuva 18. Luokitus- ja lujuusominaisuudet.



Kuva 19. Painumisominaisuudet.

3.6 Helsinki, Malmi

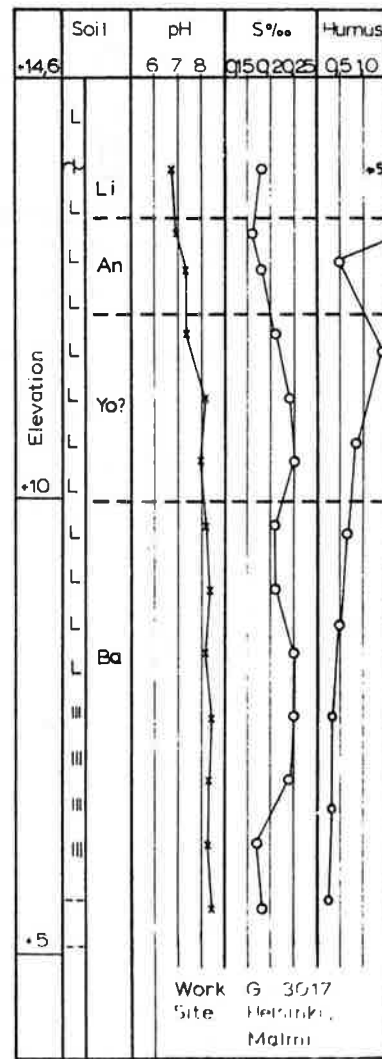
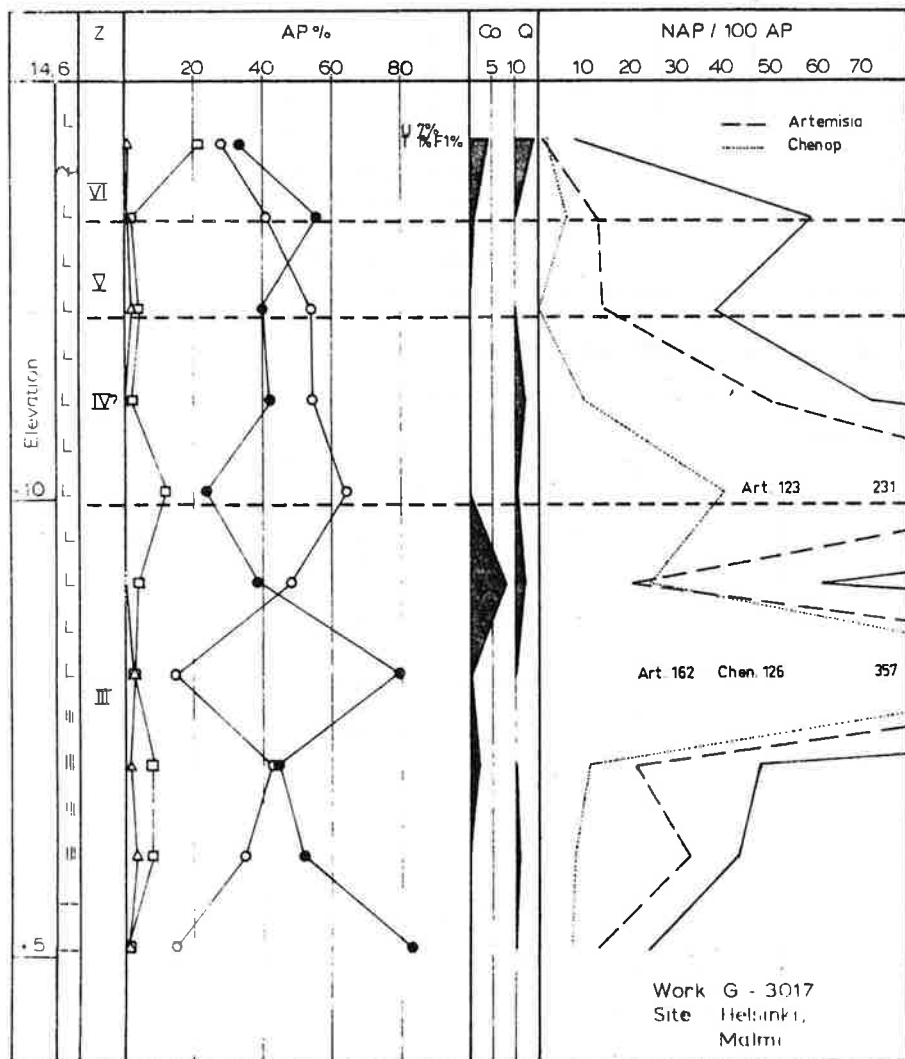
$x = 668228$

$y = 24^{\circ}/55738$

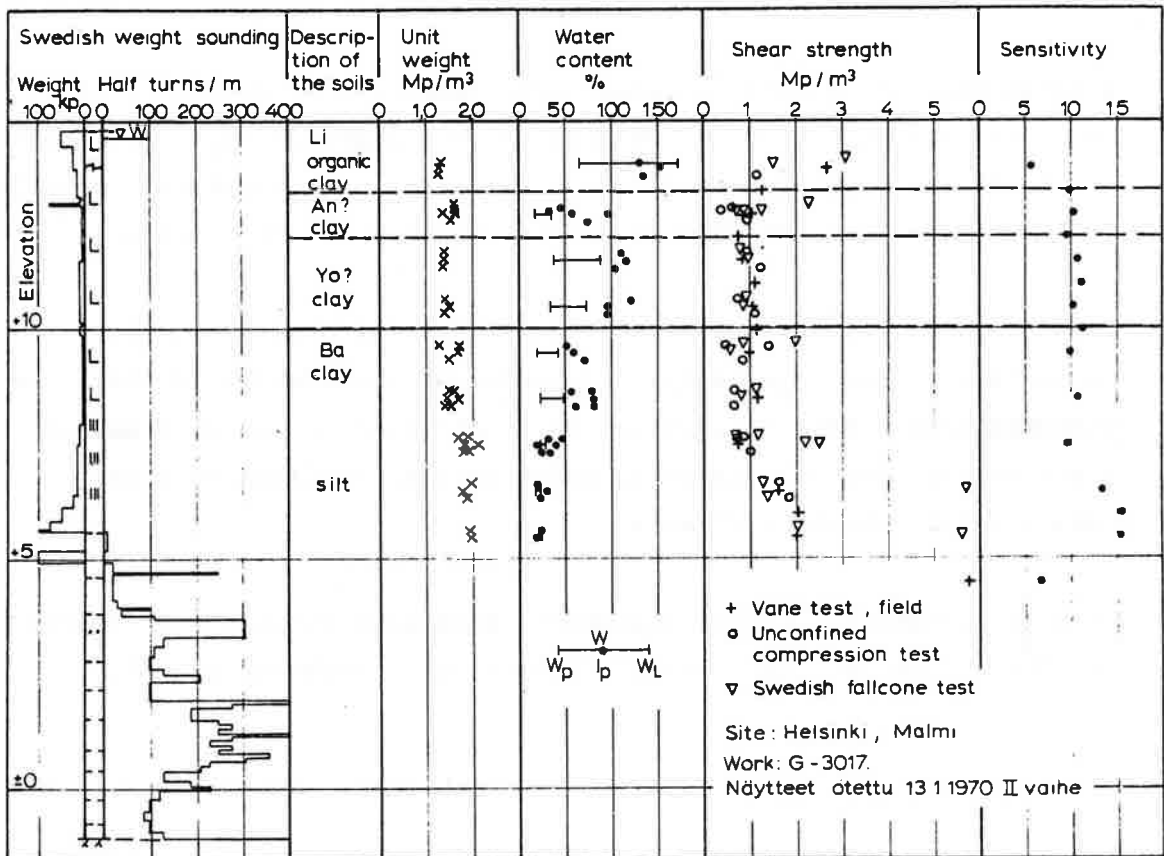
Tutkimuskohde sijaitsee Malmilla lentoaseman lounaispuoleisella peltoalueella, jossa maanpinnan korkeus on noin +15 m. Alueella esiintyy erittäin pehmeää savikerrosta. Kuivakuoren paksuus on noin 0,5 m.

Tutkimuspisteessä on savikerrostuman paksuus noin 10 m. Pintaosassa esiintyy noin 1,5 m liejusavea, jonka alapuolella on todennäköisesti sekä *Ancylus*- että *Yoldia*kerros. Näissä esiintyy paikoin heikkoa, lähinnä symmiktistä kerrallisuutta. Syvyysvälillä 6,5...10 m maalaji on hiesua ja siinä esiintyy diataktinen kerrallisuus, jossa on paikoin heikkoa häiriintymistä. Pohjaosa on täten Baltian jäärjärven sedimenttiä.

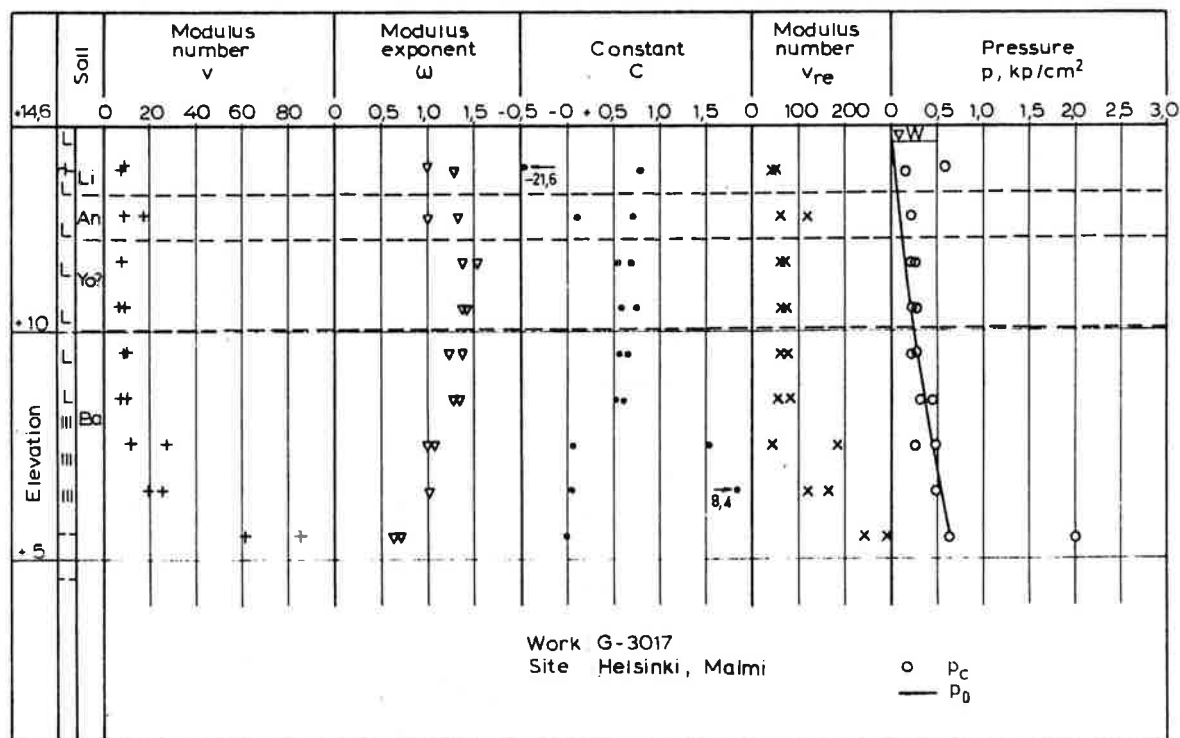
Huokosveden vähäinen suolaisuus vastaa sedimentin rakennetta. Kerrossarja on normaalista konsolidoitunutta  $c_v$ -arvojen ollessa noin  $2\ldots 5 \times 10^{-5} \text{ cm}^2/\text{s}$ . Tutkimukset on suoritettu tammikuussa 1970.



Kuva 20. Siitepölystö ja kemialliset määritykset.



Kuva 21. Luokitus- ja lujuusominaisuudet.



Kuva 22. Painumisominaisuudet.

3.7 Helsinki, Pukinmäki

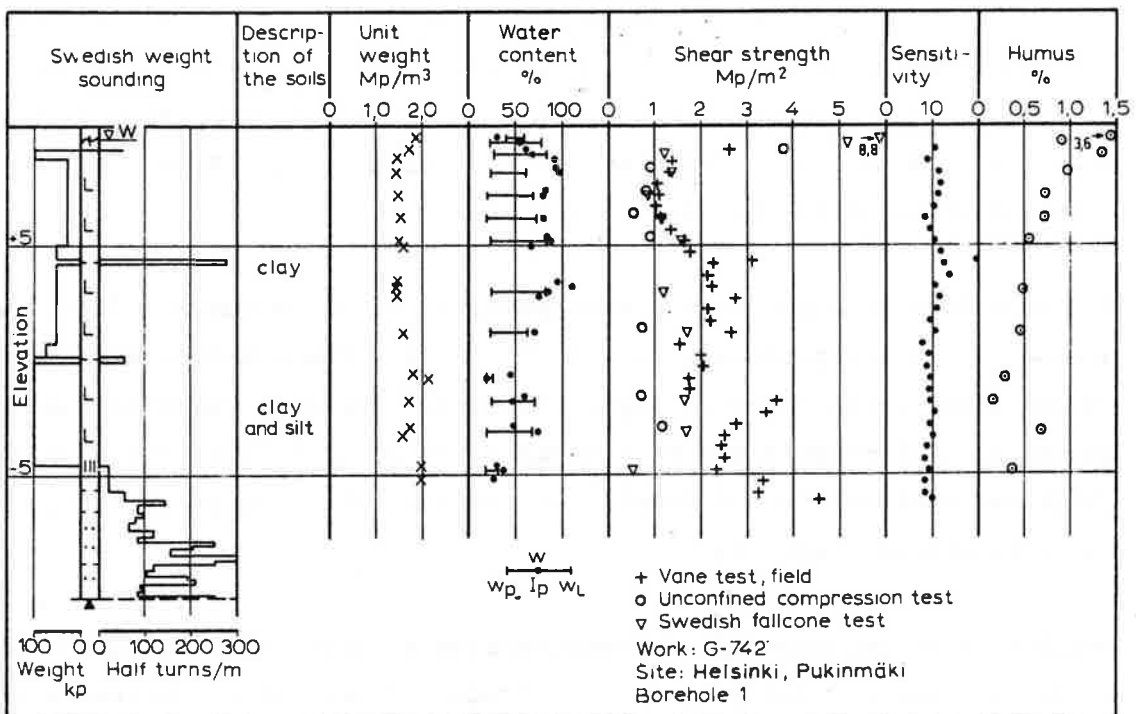
x = 668180

y = 24°/55520

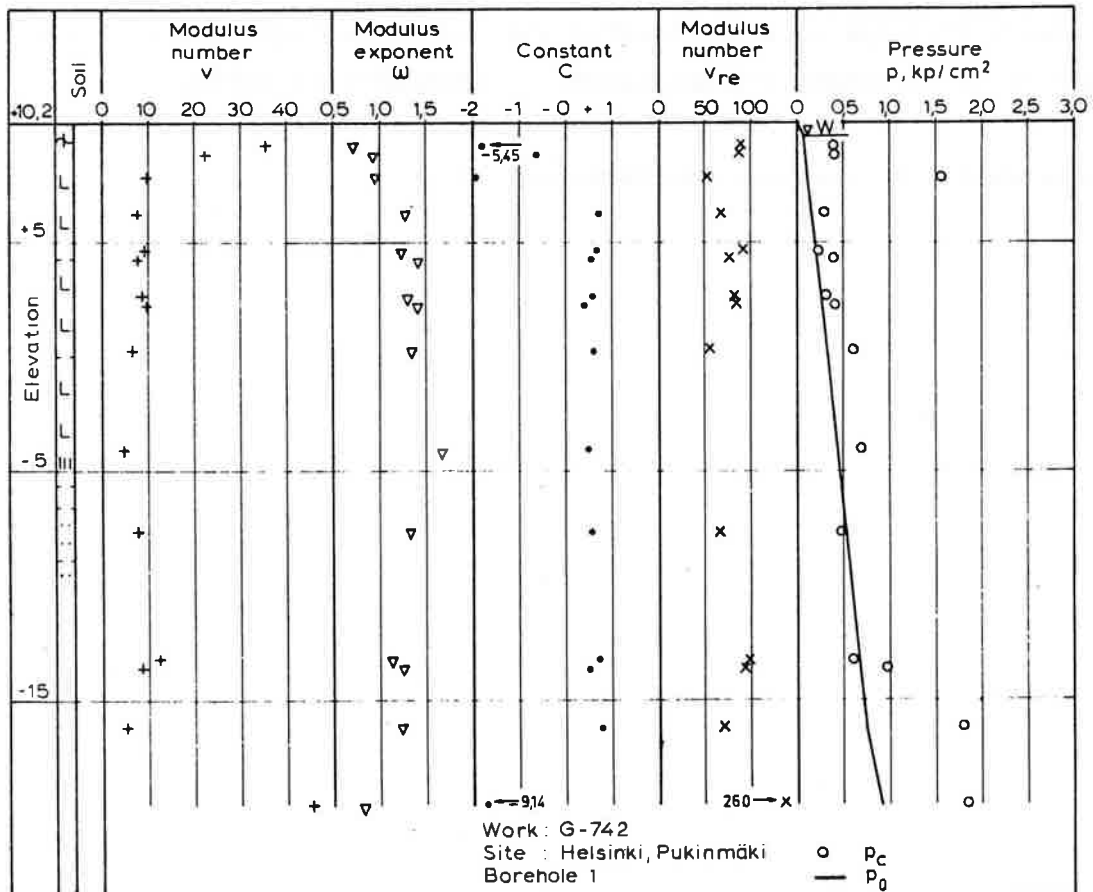
Tutkimuskohde sijaitsee Pukinmäen ostoskeskuksen alueella, jossa luonnontilainen maanpinta on likipitääen tasolla +10 m. Alueella esiintyy pehmeä savikerros, jonka paksuus vaihtelee noin 6...16 metriin. Tutkimuspisteen kohdalla on saven paksuus noin 15 m. Tämän alapuolella esiintyy löyhää hiekkaa.

Näytteistä ei ole suoritettu siitepölymääritystä eikä tutkittu huokosveden suo-  
laisutta. Lujuus- ja vesipitoisuusarvojen perusteella näyttää ilmeiseltä, että  
pintaosa noin 6 metrin syvyyteen olisi Aencylus- ja/tai Yoldiasavea. Tämän alapuo-  
linen kerros lienee lustosavea, mutta havaintoja saven rakenteesta ei tutkimusai-  
kana ole kuitenkaan suoritettu.

Savi on normaalisti konsolidoitunutta konsolidaatiokertoimen arvojen ollessa noin  
 $1 \dots 3 \times 10^{-4} \text{ cm}^2/\text{s}$ . Tutkimukset on suoritettu kesäkuussa 1967.



Kuva 23. Luokitus- ja lujuusominaisuudet.



Kuva 24. Painumisominaisuudet.

### 3.8 Hyvinkää

x = 671958

y = 24°/54546

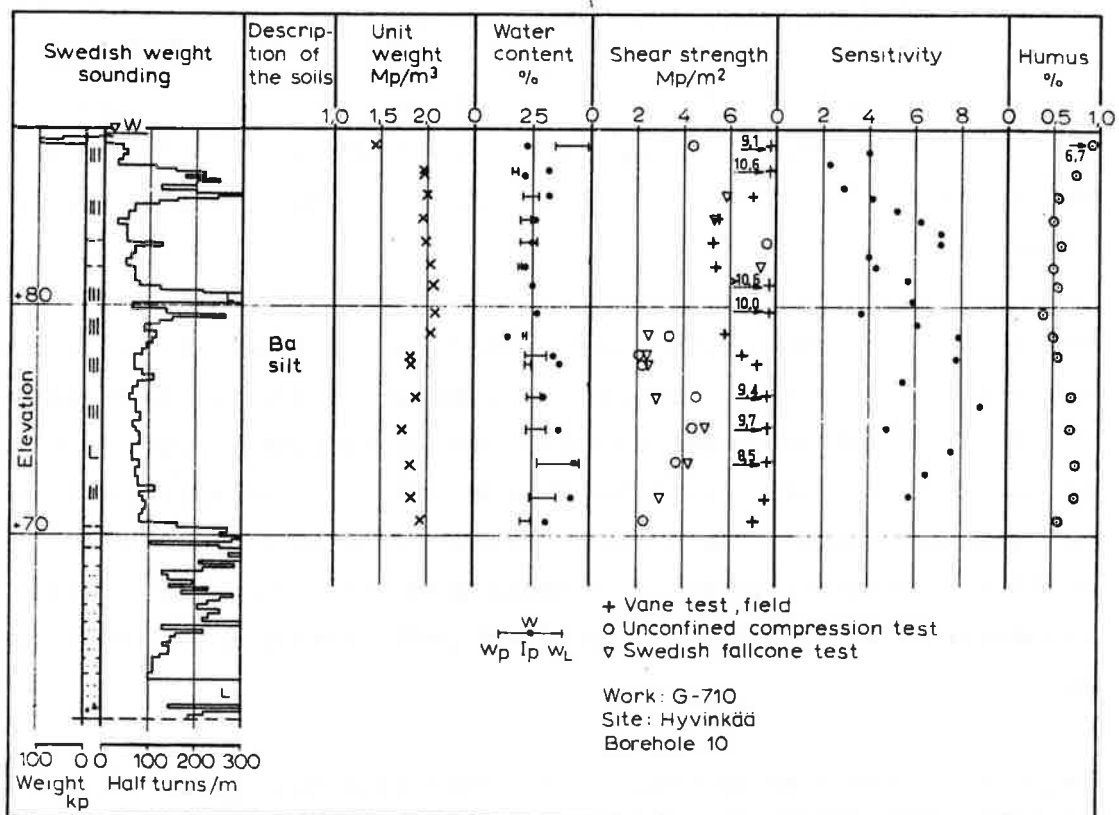
Tutkimuskohde sijaitsee noin 4 km Hyvinkäältä etelään olevan harjuselänteen länsisivulla. Maasto on harjun sivussa soistunutta, maanpinnan korkeus vaihtelee noin +88...89 metriin. Selänteeltä länteenpäin siirryttääessä karkea harjumateriaali muuttuu asteittain hienorakeiseksi.

Tutkimuspiste on noin 100 m:n etäisyydellä harjun reunasta. Tutkittu maalaji on hiesua, jonka savipitoisuus on noin 5...10 %. Tämän kerroksen paksuus on 17 m ja sen alapuolella esiintyy löyhää hiekkaa. Hiesu on rakenteeltaan kerrallista ja sen on sekä rakenteensa että sijaintinsa puolesta katsottu edustavan Baltian jääjärven sedimenttiä. Siitepölyanalyysia ei ole suoritettu eikä huokosveden suolaisutta ole tutkittu.

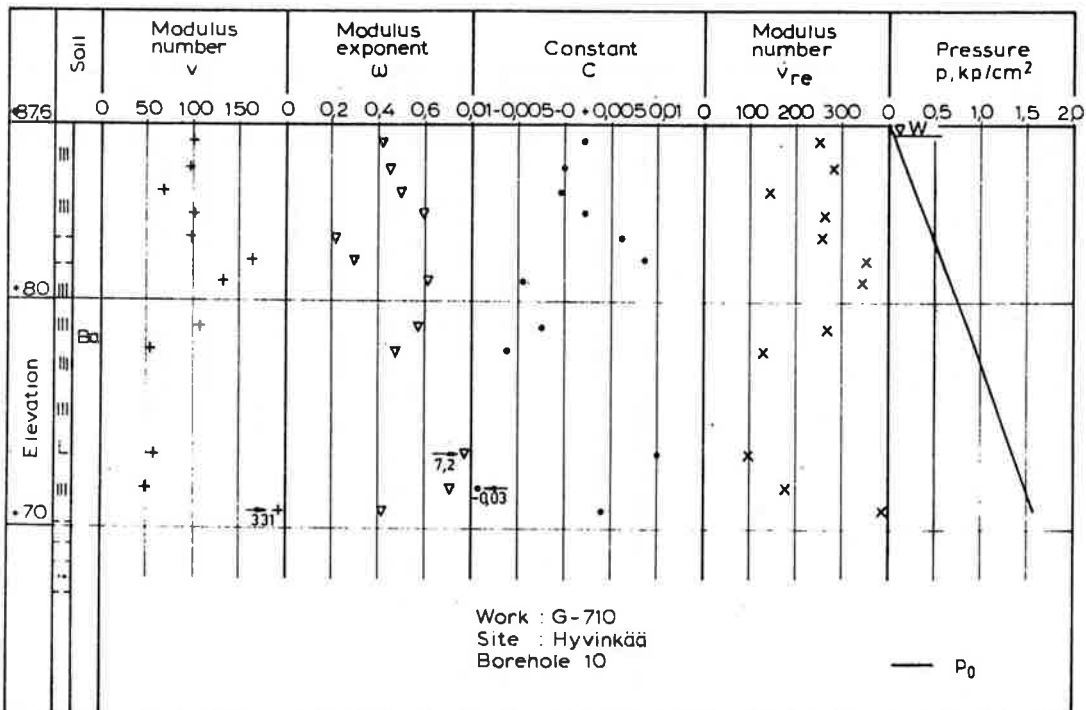
Sedimentin kerrallisuus ja karkearakeisuus kuvastuu mm. lujuusarvojen hajonnasta, sillä eri menetelmillä määritetyt leikkauslujuusarvot poikkeavat huomattavasti toisistaan. Tähän on vaikuttanut lisäksi maalajan häiriintymisherkkyys.

Tutkitun silttityyppisen maalajan konsolidoitumistilaan ( $p_c$ ) ei ole voitu luotettavasti määrittää käytössä olevilla menetelmillä. Tähän on myös vaikuttanut näytteiden häiriintyminen. Sedimentin rakenne ja geologiset olosuhteet huomioon ottaen se on kuitenkin todennäköisesti ylikonsolidoitunutta.

Tutkimukset on suoritettu marraskuussa 1966.



Kuva 25. Luokitus- ja lujuusominaisuudet.



Kuva 26. Painumisominaisuudet.

3.9 Iisalmi

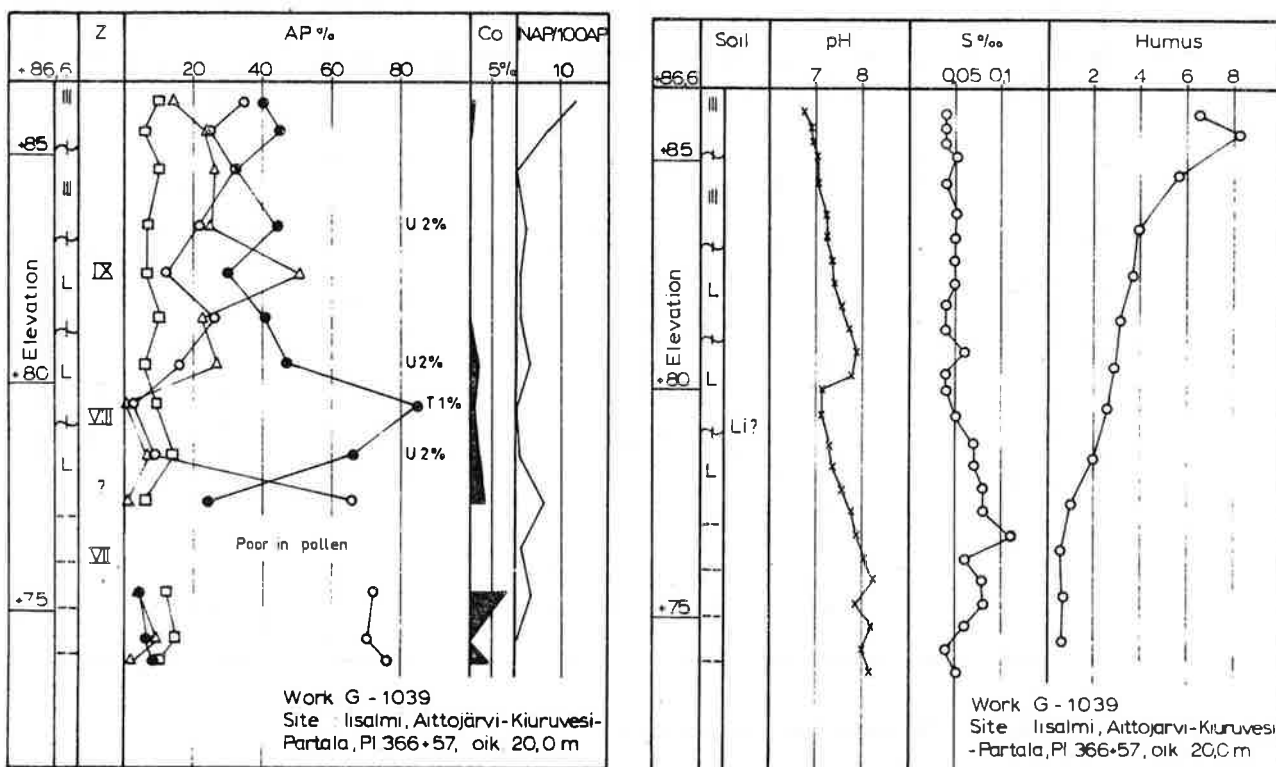
x = 705674

y = 27°/49769

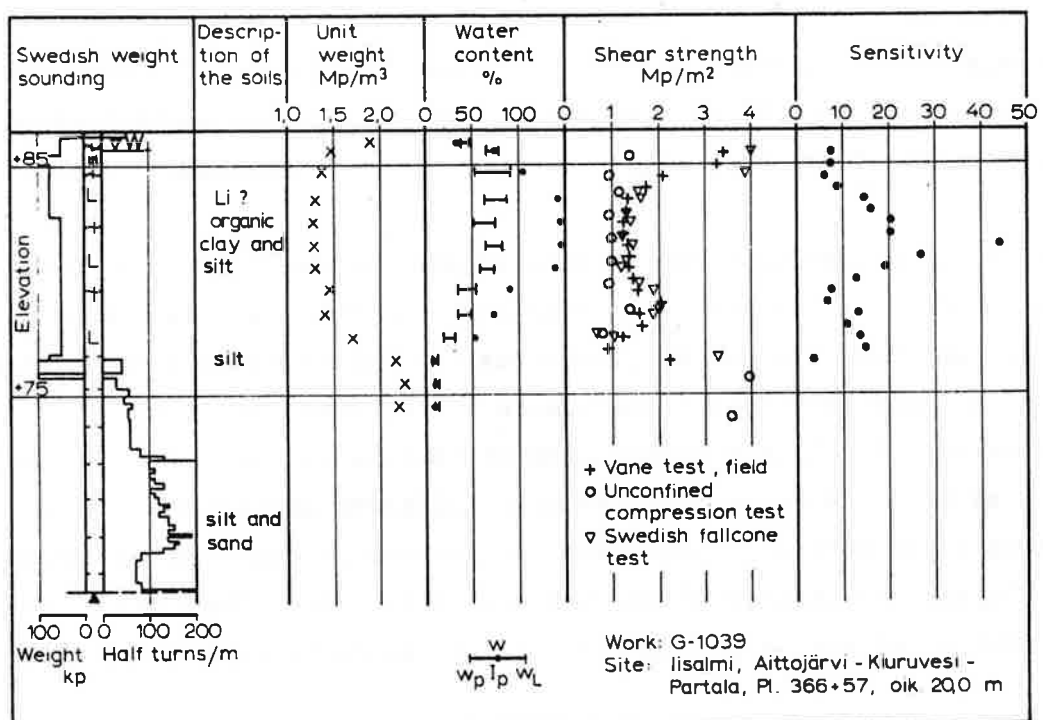
Tutkimuskohde sijaitsee Iisalmen kaupungissa tien Aittojärvi-Kiuruvesi-Partala paalulla 366+57. Maasto on matalaa vesijäätöalueutta lähellä paikallisen järven rantaa. Alueella esiintyy drumliineita, joiden välisessä painanteessa piste sijaitsee.

Tutkimuspiste edustaa Sisä-Suomen olosuhteissa pehmeää ja paksua sedimenttisarjaa. Noin 8 m:n syvyyteen asti maalaji on lähinnä liejusavea, jonka savipitoisuus on 20...40 %. Tämän alapuolella maalaji muuttuu hiedaksi, savipitoisuus on 5...15 %. Hiedan rakeisuuskäyrä muistuttaa "savimoreenia". Liejusavi on tuoreena ruskehtavaa, paikoin heikosti raitaista. Hietakerroksessa esiintyy pieniä kiviä. Sedimentti on ilmeisesti kerrostunut pääasiassa Litorinakautena. Sekä huokosveden suolaisuus että yksittäiset piilevääanalyysit viittaavat makeavetiseen järivialtaaseen.

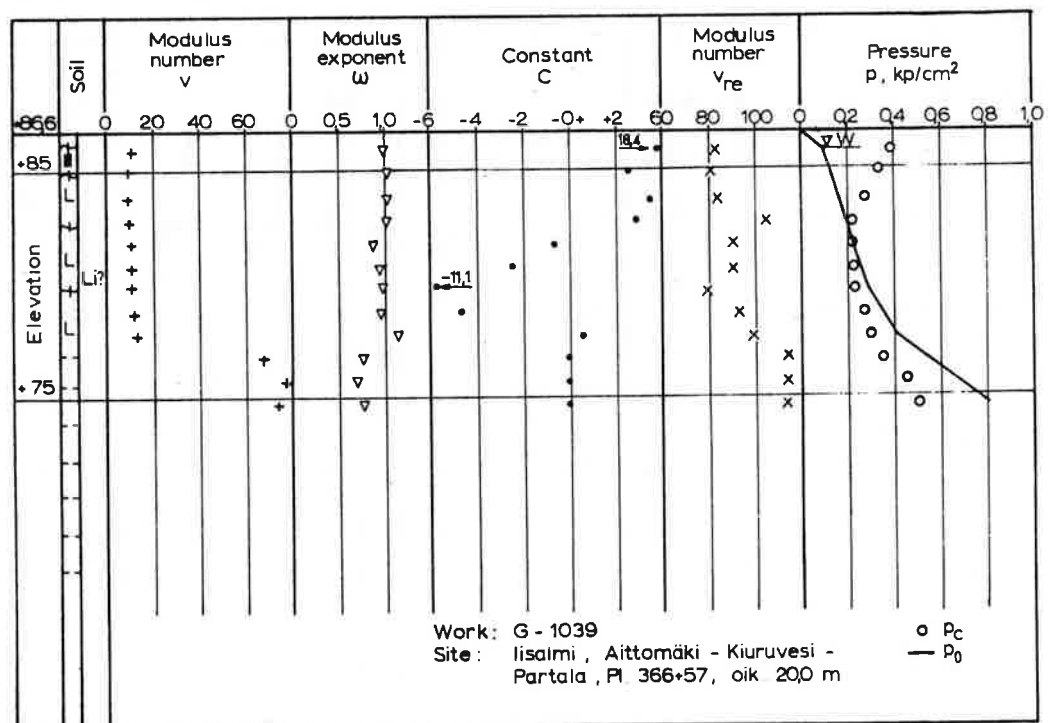
Maalajia on pidettävä normaalisti konsolidoituneena  $c_v$ -arvojen ollessa noin  $2 \times 10^{-4} \text{ cm}^2/\text{s}$ . Kerrostuman sensitivisyyys on osittain yli 20...30. Tutkimukset on suoritettu syyskuussa 1971.



Kuva 27. Siitepölystö ja kemialliset määritykset.



Kuva 28. Luokitus- ja lujuusominaisuudet.



Kuva 29. Painumisominaisuudet.

3.10 Inkoo, Degerby

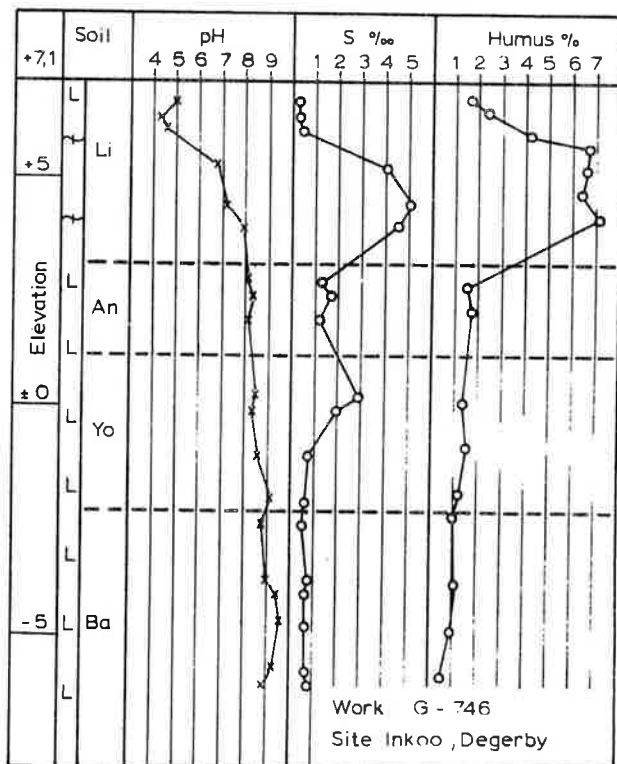
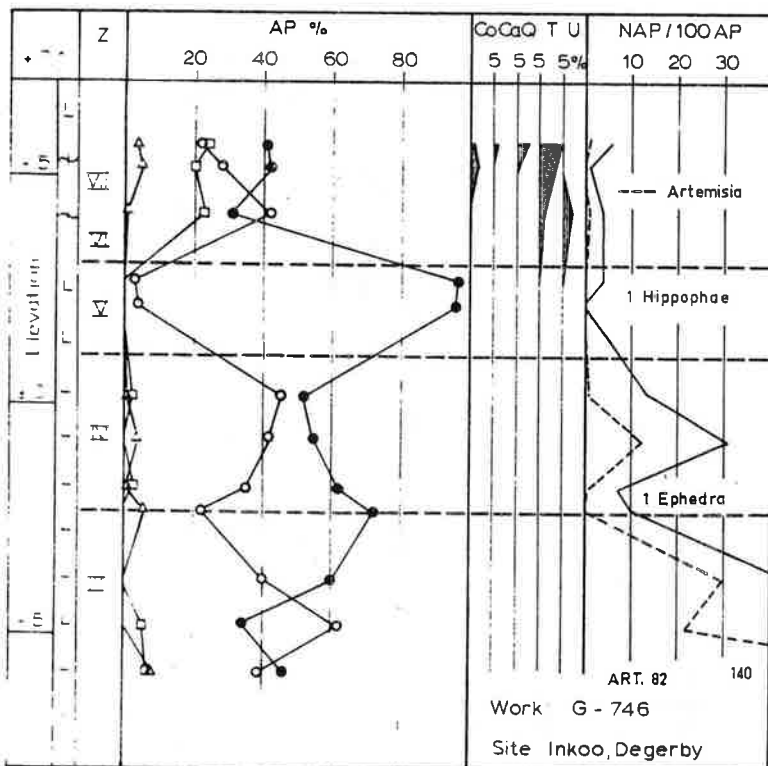
$x = 666316$

$y = 24^{\circ}/50872$

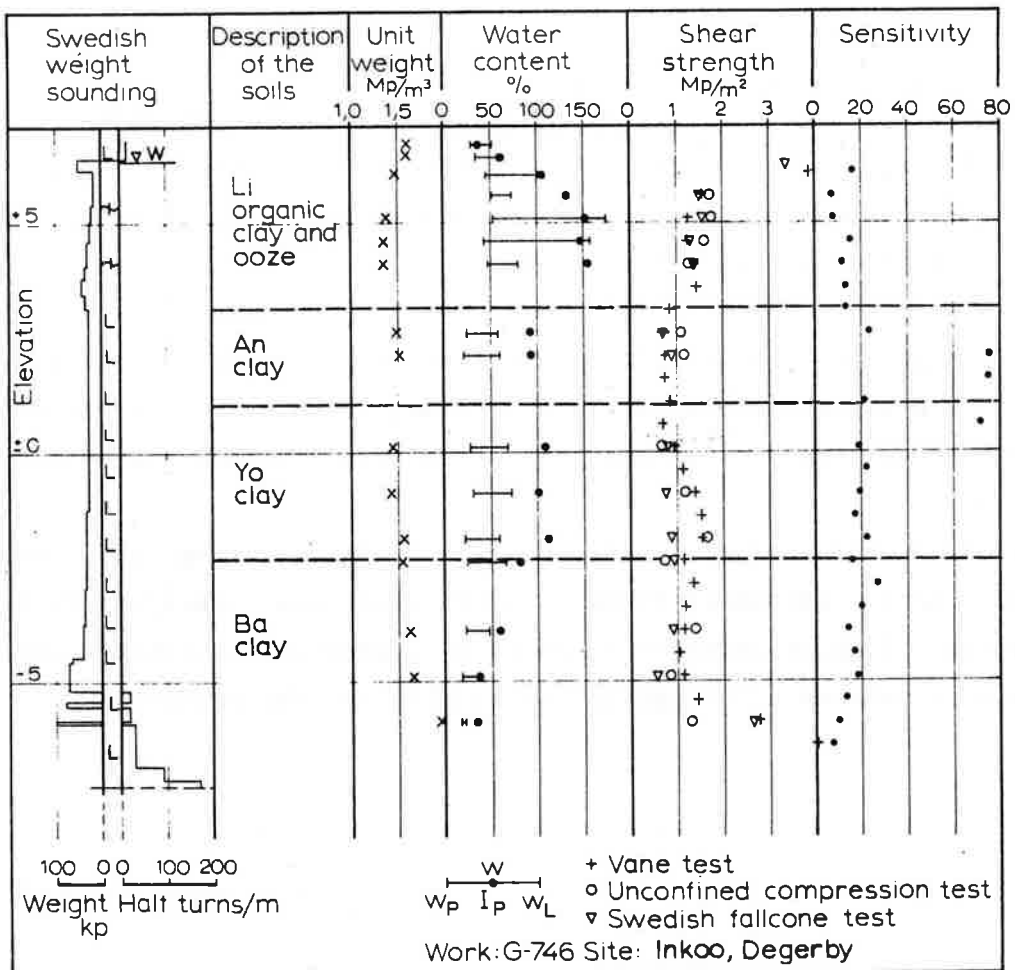
Näyttesarja on otettu kesäkuussa 1967 tieosan Pikkala-Degerby paalulta 224+60. Kohde on kumpareiden välinen painanne, jossa maanpinnan korkeus on noin +7 m. Sedimenttikerrostuman kokonaispaksuus on tutkimuspisteessä 14 m.

Siitepöly- ja piilevätutkimusten perusteella voidaan todeta, että kerrostuman yläosa (4 m) on litorinakautista liejusavea ja liejua. Tämän alapuolella on rakenteeltaan homogeeninen *Ancylus*kerrostuma, jossa maalaji on lihavaa savea. Noin 3,5 m paksussa Yoldiakerrostumassa on savipitoisuus 70...85 %. Kerroksen alaosassa esiintyy heikko symmiktinen kerrallisuus. Kerrossarjan pohjaosa (noin 4 m) käsittää kerrallisen Baltian jäärven sedimentin, jossa maalaji on laihaa savea ja hiesua. Huokosveden suolaisuus ja aineksen humuspitoisuus vastaavat "klassista käsitystä" ko. sedimentistä. Tätä Itämeren eri kehitysvaiheet sisältävä kerrossarja on pidettävä suhteellisen harvinaisena.

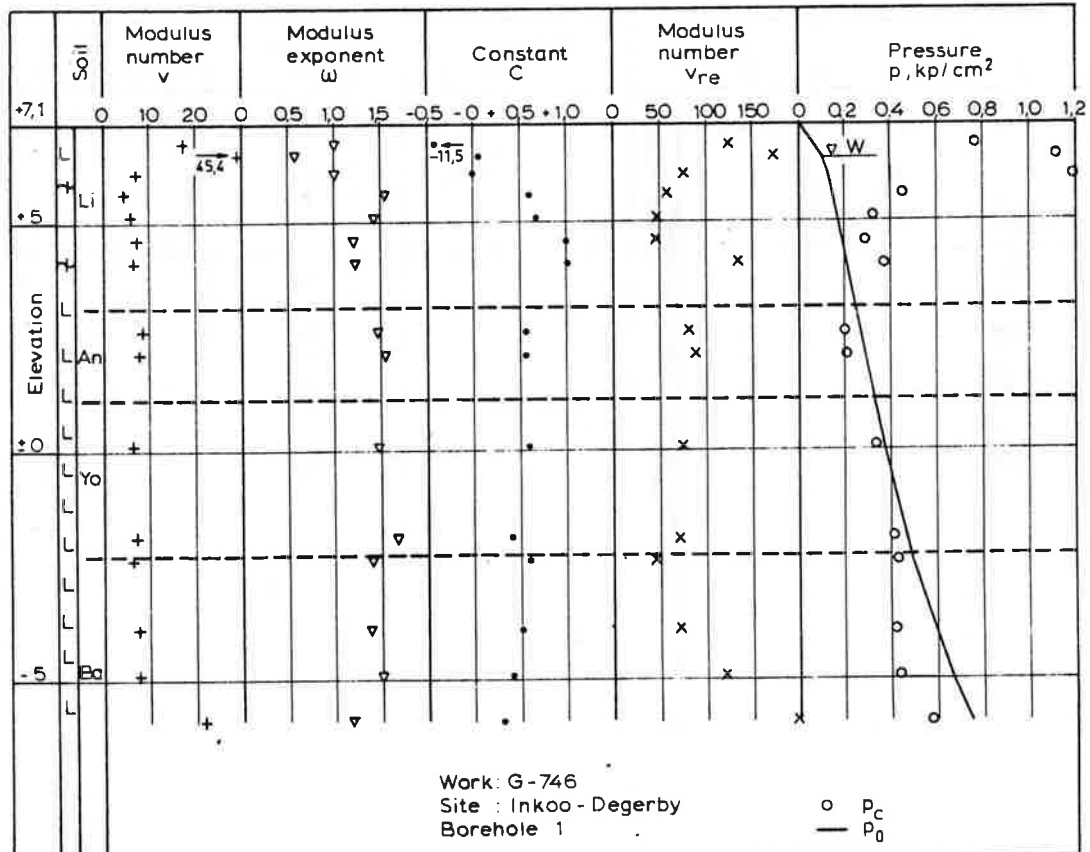
Geoteknisiltä ominaisuuksiltaan kerrostuma on hyvin "heikko". *Ancylus*- ja Yoldia-saven rajavyöhykkeessä on erittäin sensitiivinen kerros. Kerrostuma on normaalista konsolidoitunutta  $c_v$ -arvojen vaihdellessa pääosiltaan noin  $5\ldots30 \times 10^{-5} \text{ cm}^2/\text{s}$ . Pintaosan mahdollinen ylikonsoliduminen saattaa johtua humuksen vaikutuksesta sedimentin rakenteesseen.



Kuva 30. Siitepölystö ja kemialliset määritykset.



Kuva 31. Luokitus- ja lujuusominaisuudet.



Kuva 32. Painumisominaisuudet.

3.11 Joensuu

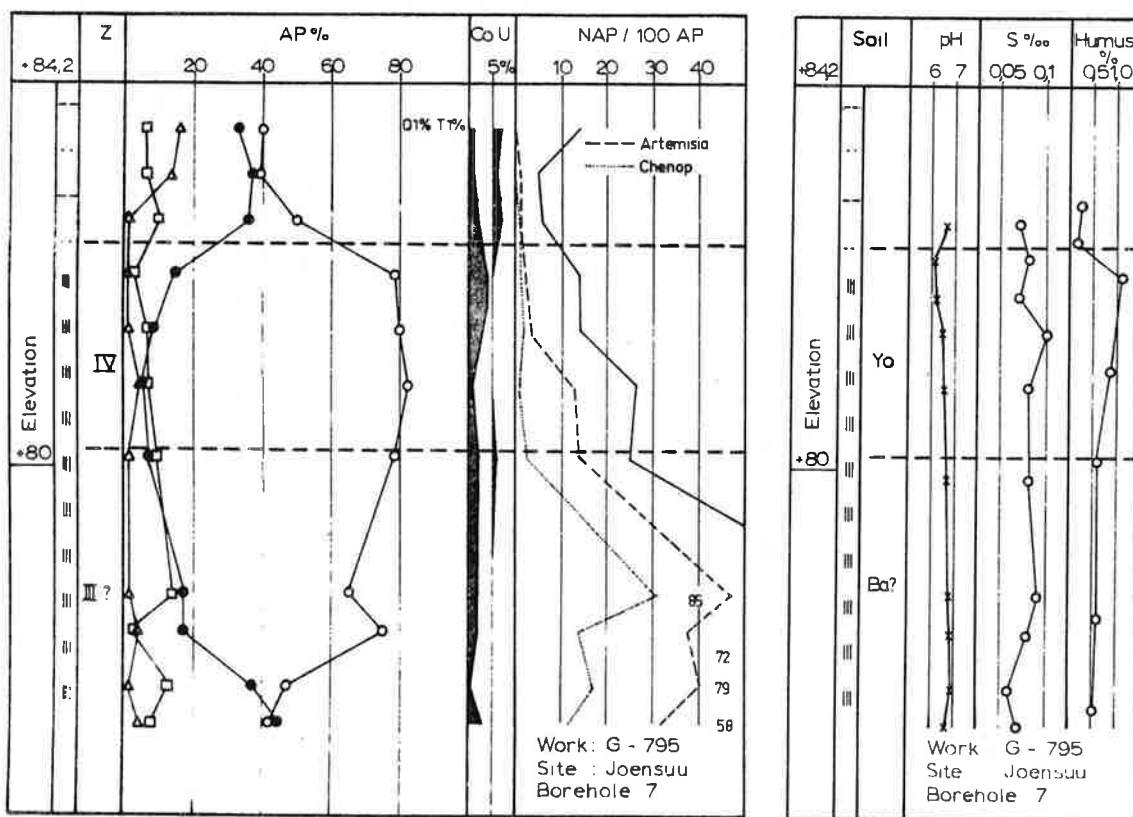
$x = 694704$

$y = 30^{\circ}/48828$

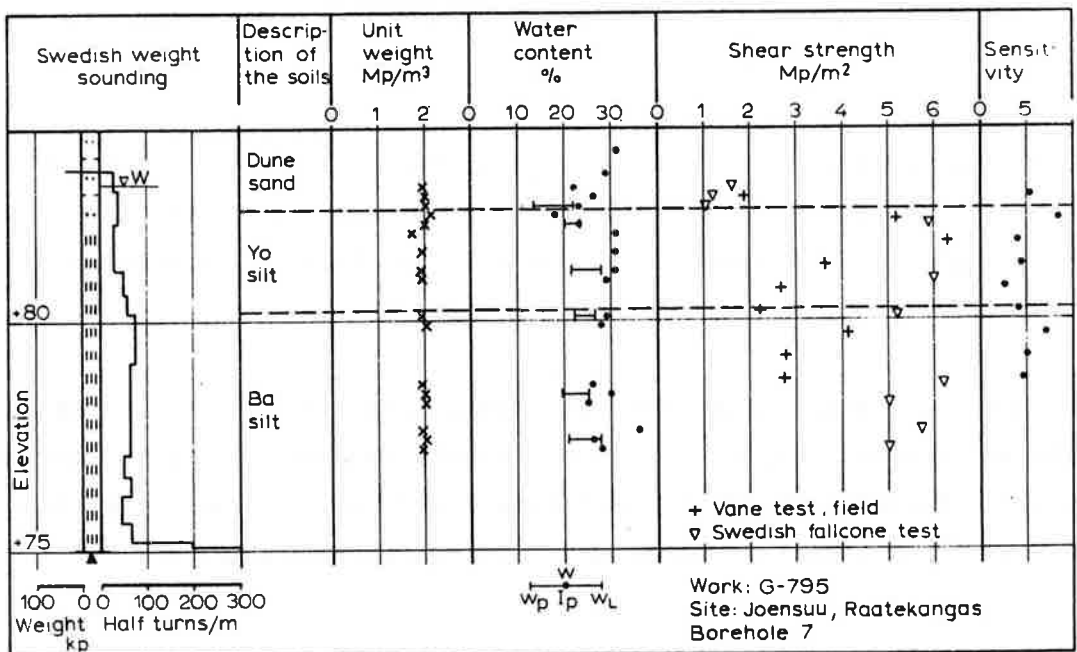
Tutkimuskohde sijaitsee Joensuun keskustasta noin 3 km pohjoiseen Raatekankaalla olevan lakkotehtaan pohjoispuolella. Maasto on tasaista, paikoin soistunutta kenttää, jonka korkeus on noin +84...85 m.

Kerrossarjan pintaosassa on 1,5 m paksu dyynihiekkakerros. Tämän alapuolella esiintyy noin 9 m:n syvyyteen ulottuva hiesukerros, jonka savipitoisuus on 15...25 %. Kerros edustaa sekä Baltian jäätärven että Yoldiavaiheen sedimenttiä.

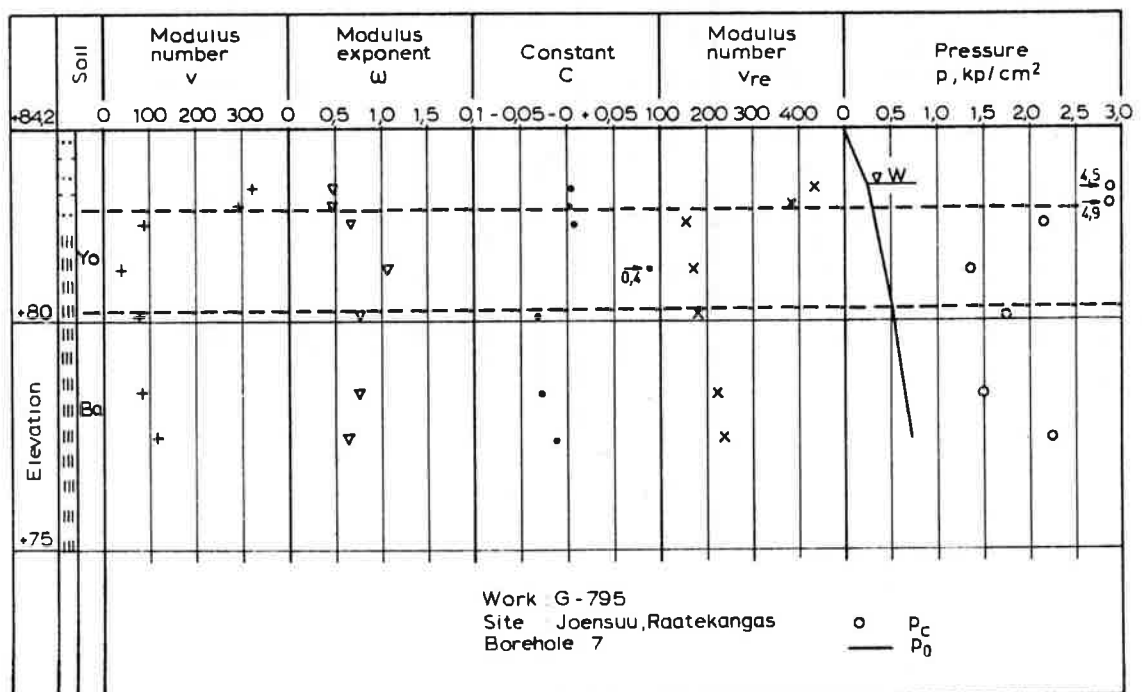
Maapohja on erittäin helposti häiriintyvä, mikä ilmenee mm. lujuusarvojen suuresta hajonnasta. Painumakokeiden tulokset osoittavat maalajin olevan ylikonsolidoitunutta. Tulkintavaikeuksien johdosta konsolidoitumistilan luotettava määrittäminen on vaikeaa. Tutkimukset on suoritettu maaliskuussa 1968.



Kuva 33. Siitepölystö ja kemialliset määritykset.



Kuva 34. Luokitus- ja lujuusominaisuudet.



Kuva 35. Painumisominaisuudet.

3.12 Jyväskylä

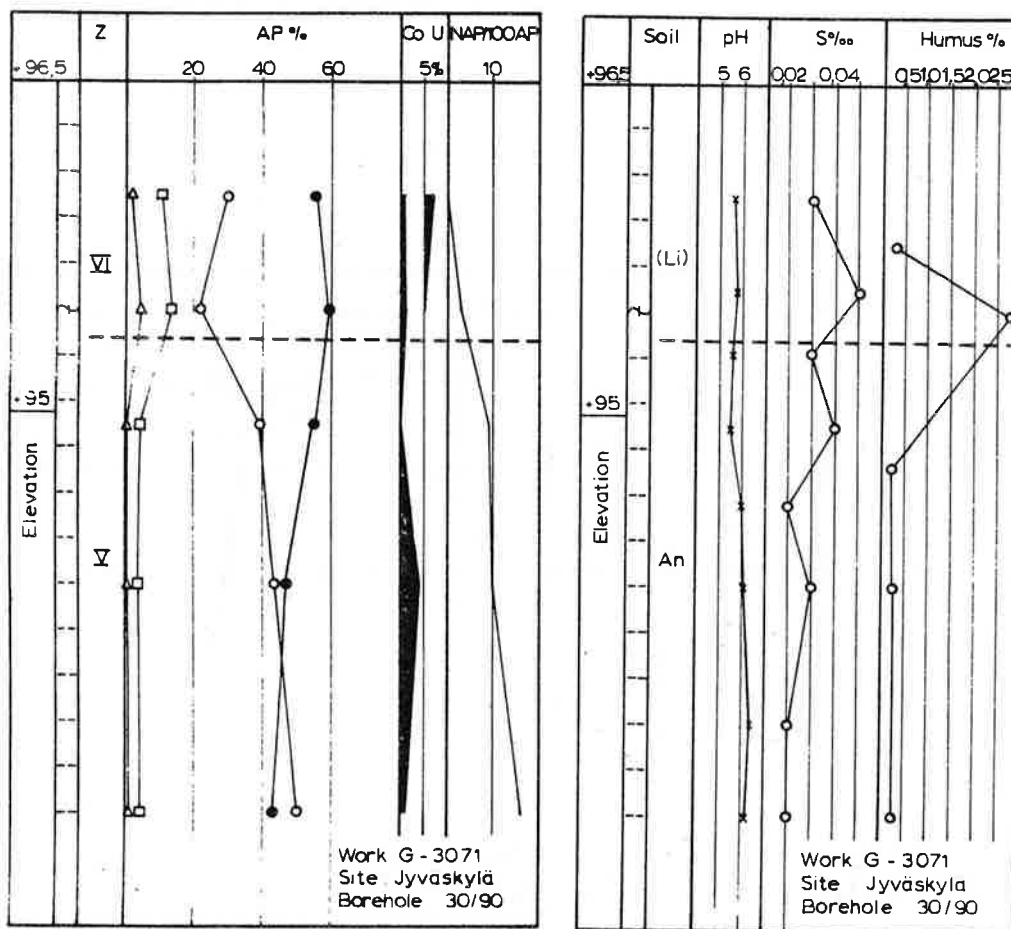
$x = 690646$

$y = 27^{\circ}/43656$

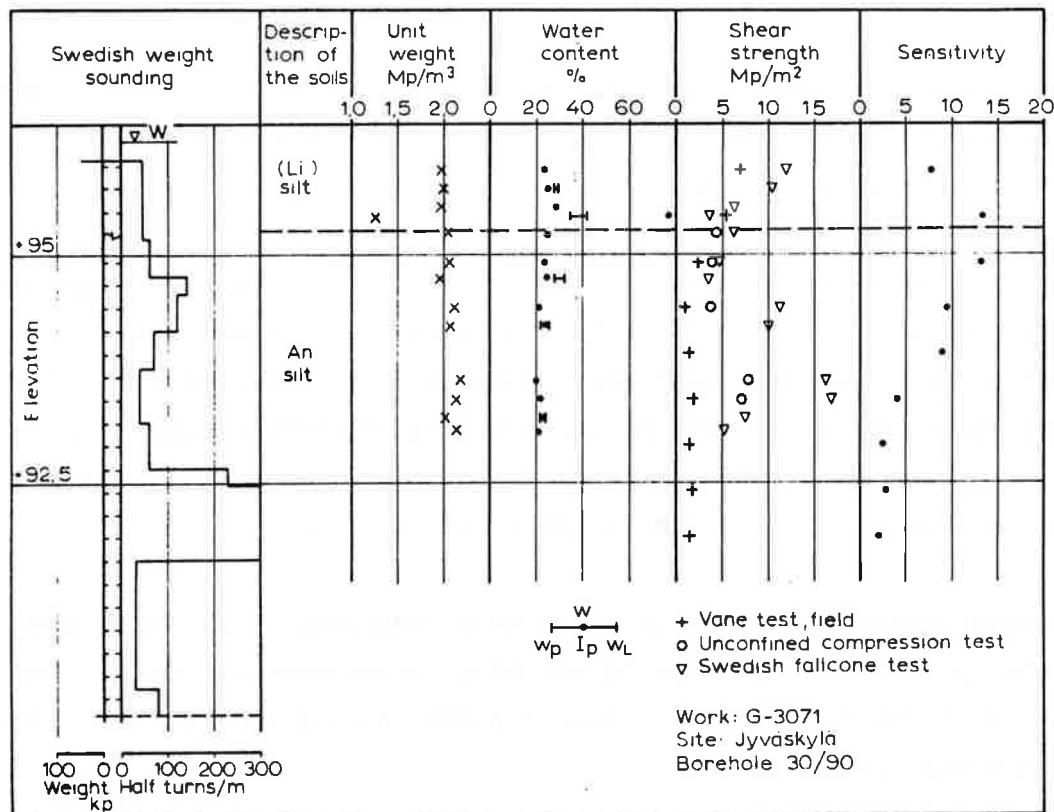
Tutkimusalue sijaitsee Jyväskylän kaupungin koillisosassa Sepälän teollisuusalueella ja se edustaa Keski-Suomen hietasedimenttejä. Maapohjan karkeuden johdosta on tutkimussyyvyyys vain noin 4,5 m.

Kerrostuman pintaosa on humuspitoista hietaa. Syvemmällä hietä on lähes humuksetonta, hiesupitoisuus vaihtelee 10...20 prosenttiin. Sedimentti on rakenteeltaan homogeenista. Materiaali on pääosiltaan ilmeisesti Yoldiasedimenttiä. Huokosveden suolaisuus on hyvin vähäistä.

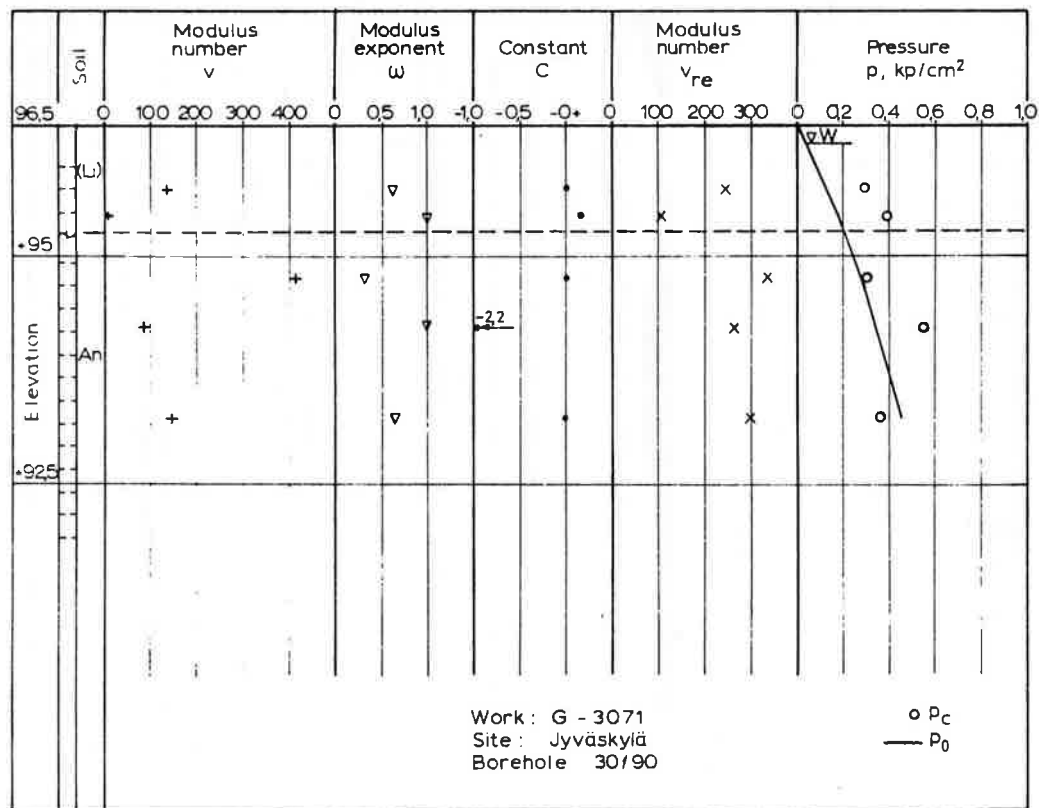
Maapohja on erittäin häiriintymisherkkää, mikä kuvastuu mm. leikkauslujuuden suuresta hajonnasta. Käytetyt lujuuden määritysmenetelmät eivät ilmeisesti soveltu kyseiseen hietamateriaaliin. Myöskään sen konsolidoitumistilan määrittämiseen eivät nykyisin tunnetut menetelmät soveltu riittävän hyvin.



Kuva 3c. Siitepölystö ja kemialliset määritykset.



Kuva 37. Luokitus- ja lujuusominaisuudet.



Kuva 38. Painumisominaisuudet.

3.13 Jämsä

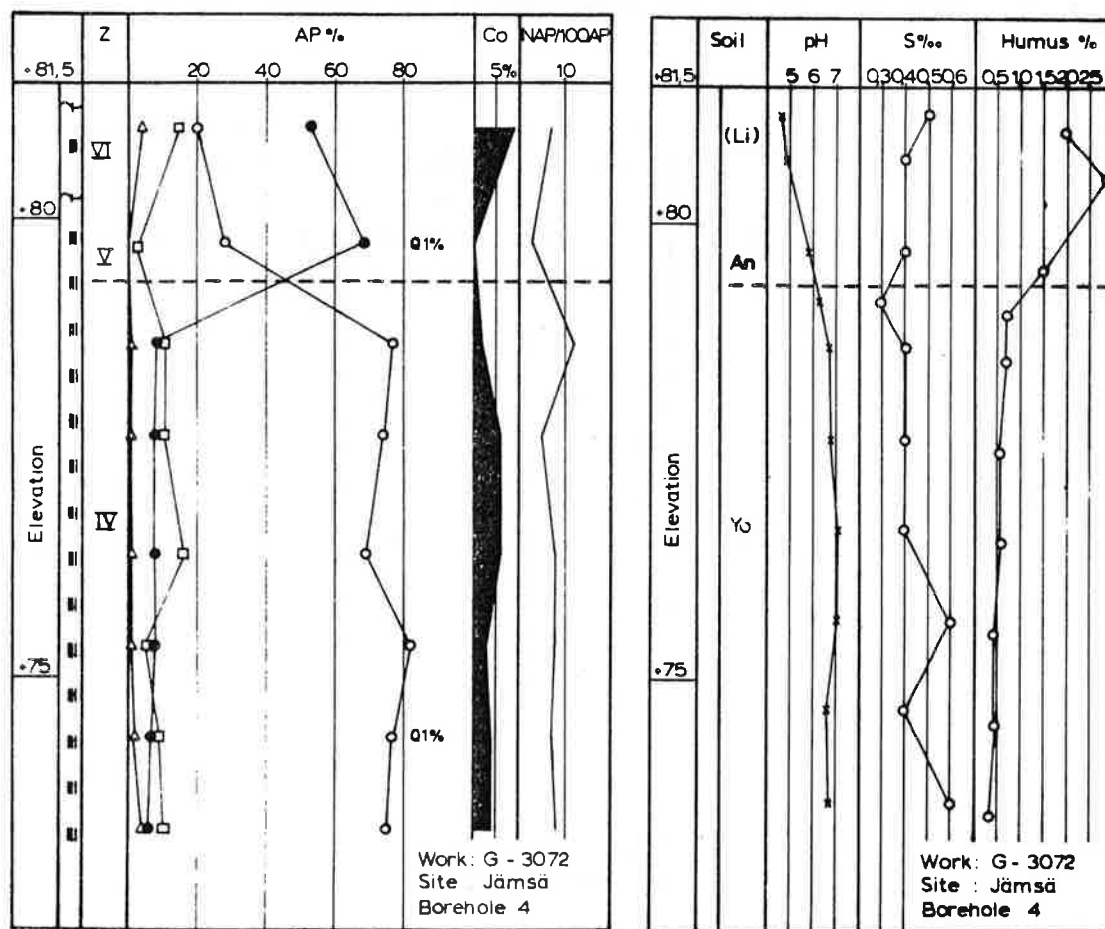
$x = 686232$

$y = 24^{\circ}/56388$

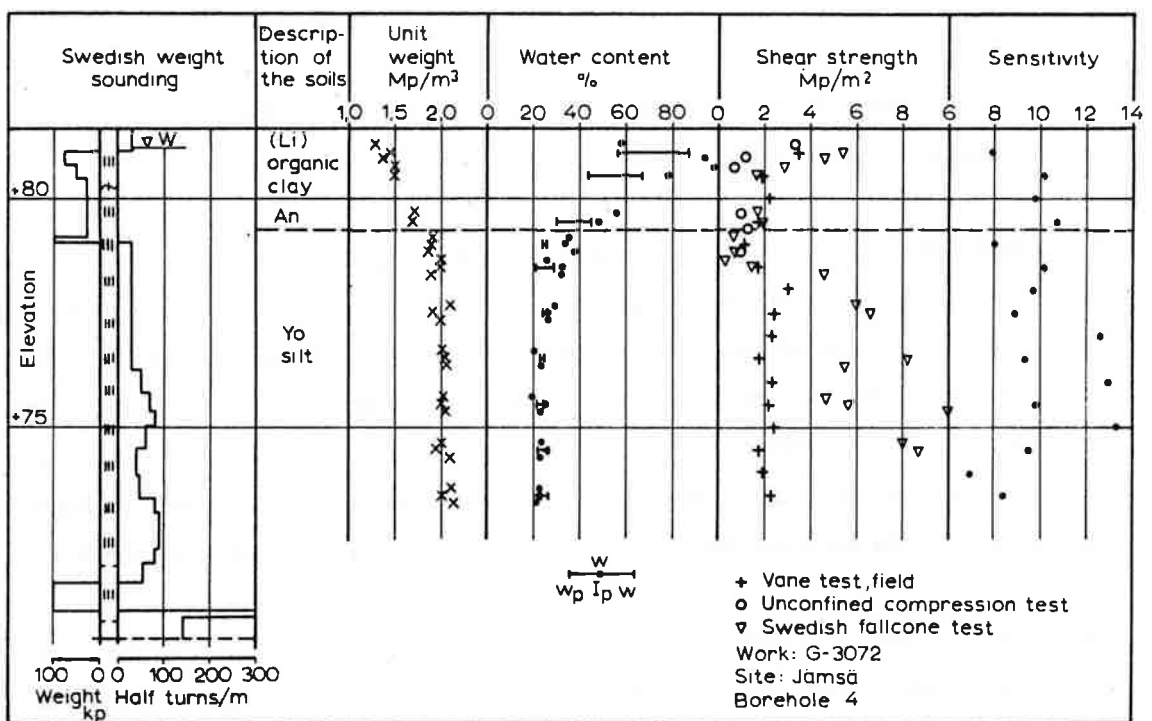
Tutkimuskohde sijaitsee Jämsän keskustan kaakkoispuolella ja se edustaa Jämsän ympäristössä esiintyviä hiesusedimenttejä. Hiesukerrostuman kokonaispaksuus vaihtelee tutkimuskohteen alueella noin 7...15 metriin.

Kerrostuman pintaosa on humuspitoista hiesua. Noin 5 metrin syvyyteen asti hiesun savipitoisuus on 10...25 %. Tätä syvemmällä ei hiesu sisällä savilajitetta käytännöllisesti katsoen lainkaan. Sedimentti on rakenteeltaan lähes homogeeninen, mutta paikoin siinä voidaan kuitenkin todeta hyvin heikkoa kerrallisuutta. Aines on pääosiltaan sedimentoitunut Yoldiavaiheen aikana. Pintaosassa on lisäksi ohuelti *Ancylus*- ja *Litorinakautista* sedimenttiä.

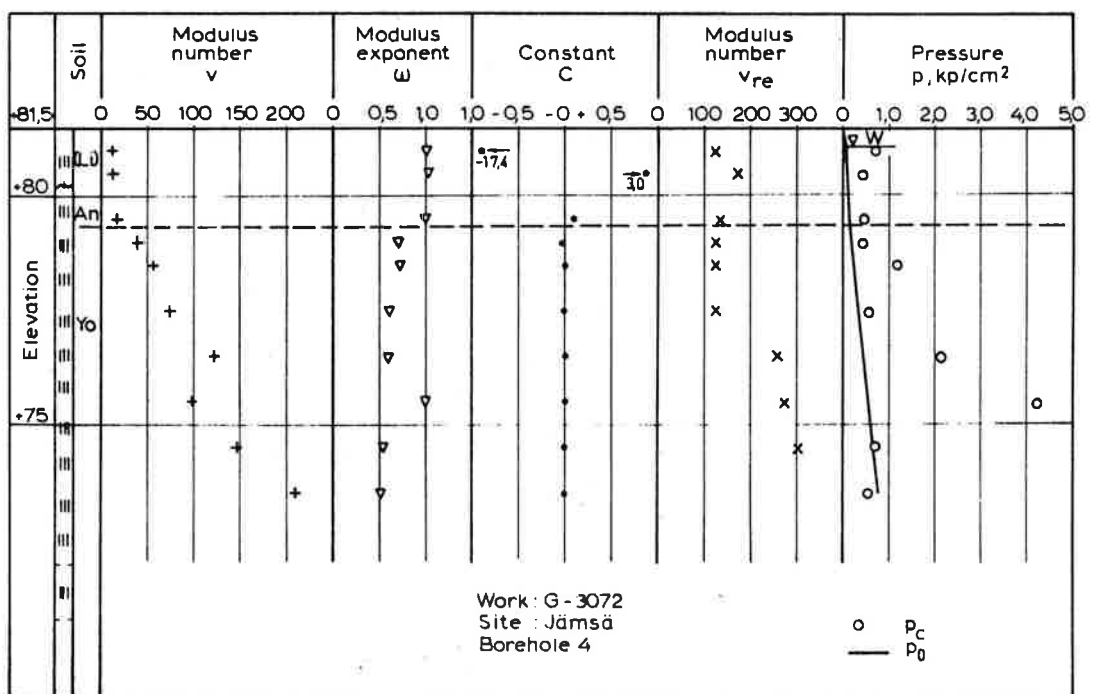
Maapohja on tunnetusti erittäin häiriintymisherkkää. Sekä tämän että aineksen karkeuden johdosta lujuusarvoissa esiintyy huomattavaa hajontaa. Sedimentin konsoolidoitumistilan määrittäminen luotettavasti ei ole mahdollista. Tutkimukset on suoritettu elokuussa 1970.



Kuva 39. Siitepölystö ja kemialliset määritykset.



Kuva 40. Luokitus- ja lujuusominaisuudet.



Kuva 41. Painumisominaisuudet.

3.14 Järvenpää

x = 671760

y = 24°/56404

Tutkimuskohde sijaitsee noin 5 km Järvenpään keskustasta koilliseen Keravanjoen länsipuolella. Etäisyys jokirantaan on noin 150 m. Näytteistä ei ole suoritettu siitepöly- eikä huokosvesianalyyseja. Geotekniset laboratorioutkimukset on tehty syyskuussa 1966.

Tutkimuspisteessä esiintyvän savikerroksen paksuus vaihtelee noin 5...11 metriin, tutkimuspisteen kohdalla se on 11 m. Tämän alapuolella esiintyy pääasiassa hietaa. Savi on raekooltaan pääasiassa lihavaa, savipitoisuus 50...70 %. Havaintoja saven rakenteesta ei ole suoritettu. Geoteknisten tulosten perusteella vaikuttaa siltä, että savi on noin 6...7 m:n syvyyteen lihavaa Yoldiasavea. Tämän alapuolinen materiaali lienee kerrallista Baltian jäätärven sedimenttiä. Kerrostuman kuivakuoriosa on 2...2,5 m, mitä on pidettävä paksuhkona.

Painumakokeiden tulokset osoittavat kerrossarjan olevan pääosiltaan ylikonsolidoitunutta. Pohjaosaa on pidettävä lähinnä normaalisti konsolidoituneena. Konsolidatiokertoimien arvot ovat kuivakuoriosassa noin  $1\cdots 3 \times 10^{-3} \text{ cm}^2/\text{s}$ . Tämän alapuolella ovat  $c_v$ -arvot vaihdelleet välillä  $10^{-3}\cdots 6 \times 10^{-4} \text{ cm}^2/\text{s}$ .



3.15 Karhula

$x = 671543$

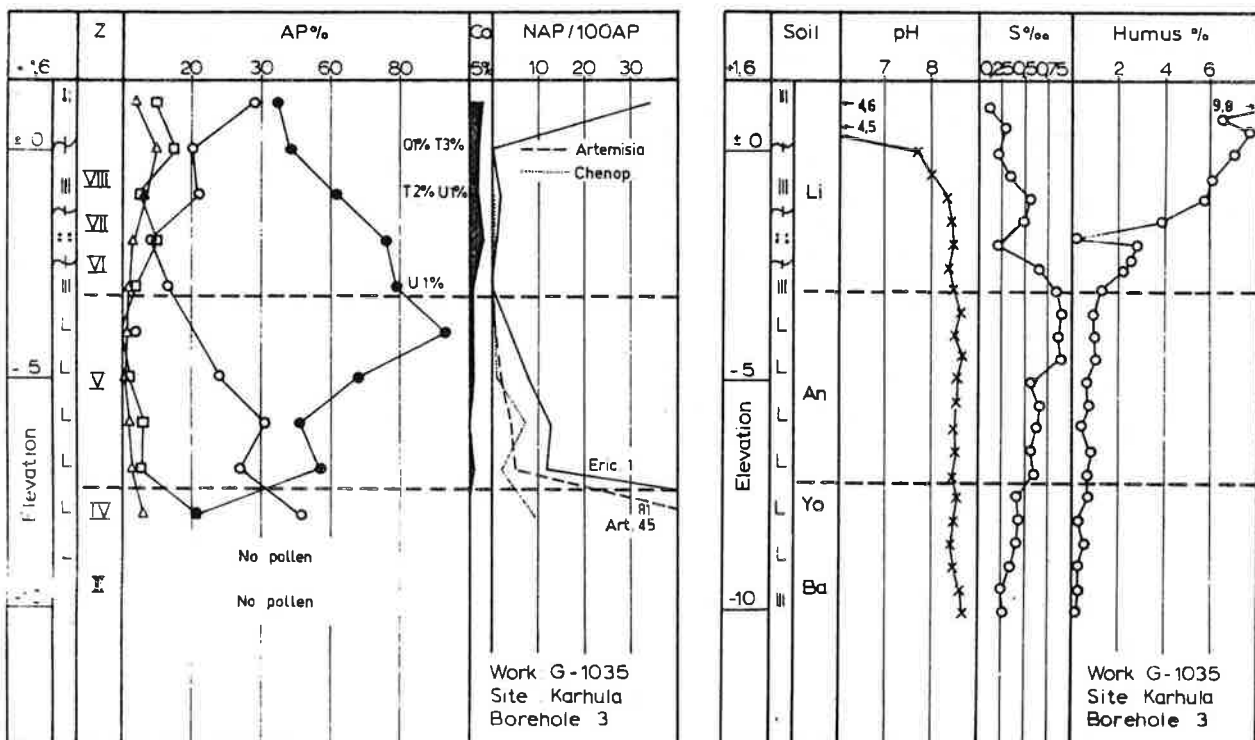
$y = 27^{\circ}/49982$

Tutkimuskohde sijaitsee noin 5 km Karhulasta koilliseen Salminlahden länsipuolella. Piste sijoittuu mäkialueiden väliselle savitasangolle, jossa maanpinnan korkeus on noin +1...+2 m. Tutkimukset on suoritettu toukokuussa 1971.

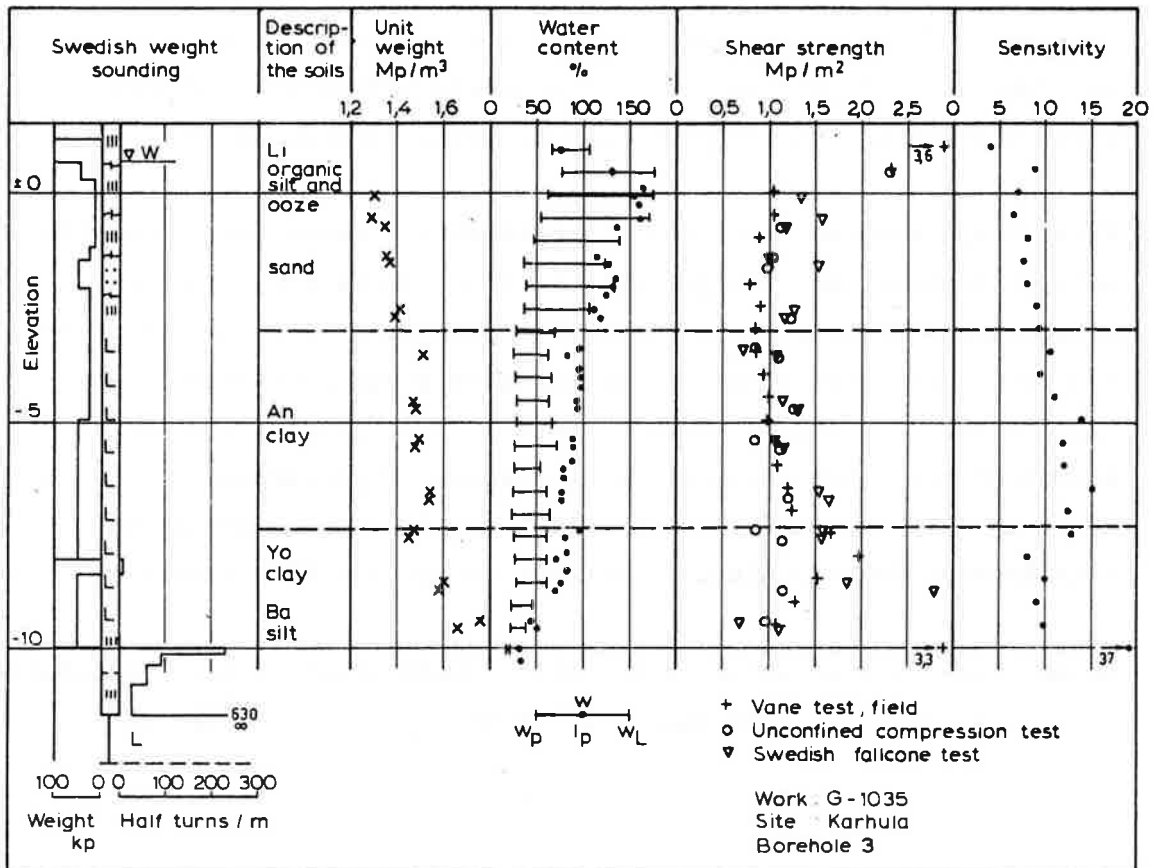
Kerrossarja muodostuu noin 12 m paksusta kerrostumasta, jonka pintaosa on 4,5 m:n syvyyteen Litorinaliejua ja -liejusavea. Suodatusmenetelmällä saatu kerrostuman huokosveden suolaisuus on huomattavasti pienempi kuin geologisten olosuhteiden perusteella olisi oletettavissa.

Noin 3,5 m:n syvyydessä esiintyy 0,5 m paksu hiekkakerros. Litorinakerrostuman alapuolella on rakenteeltaan homogeeninen Aencylussavi. Kerrostumien rajakohdassa sekä Aencylussavessa esiintyy tuoreena tummia raitoja ja täpliä. Aencylussaven alla on ohuehko, rakenteeltaan heikosti symmiktinen Yoldiasavi, joka muuttuu pohjaosassa selvästi kerralliseksi saveksi. Pohjaosan väri on tuoreena paikoin punertava. Lustot ovat noin  $15\cdots 30^{\circ}$  kulmassa vaakatasoon nähdyn.

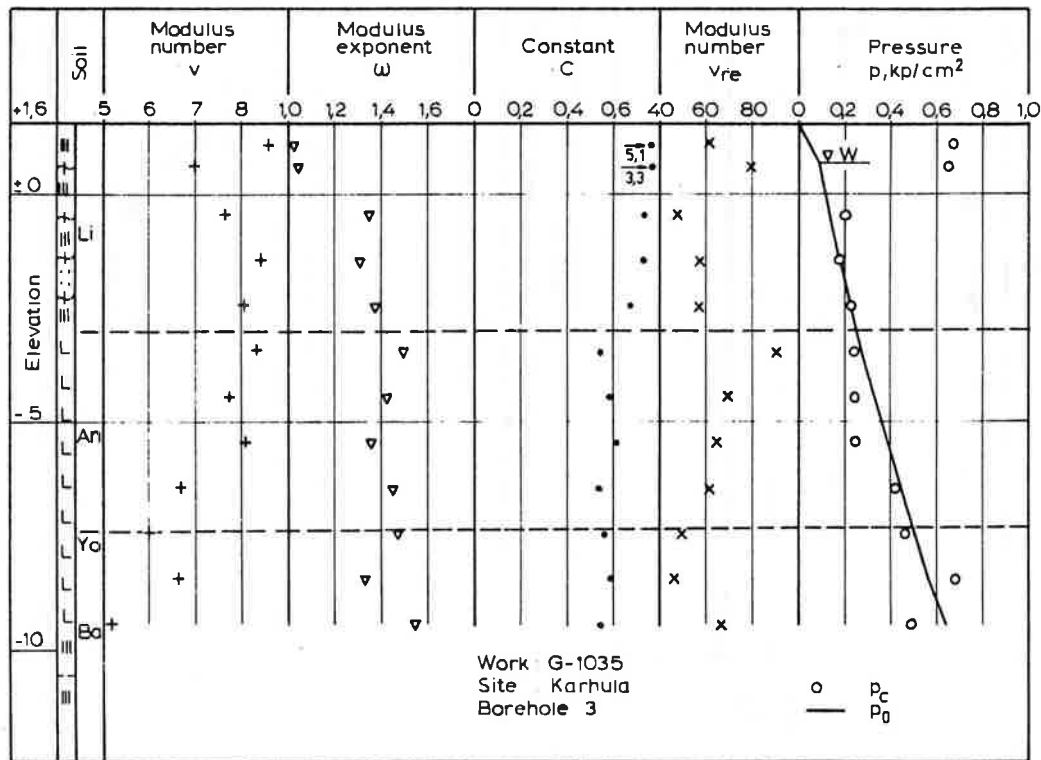
Kerrossarja on normaalisti konsolidoitunut lukuun ottamatta ohutta kivakuorta. Konsolidaatiokertoimen arvot vaihtelevat noin  $2\cdots 9 \times 10^{-5} \text{ cm}^2/\text{s}$ .



Kuva 44. Siitepölystö ja kemialliset määritykset.



Kuva 45. Luokitus- ja lujuusominaisuudet.



Kuva 46. Painumisominaisuudet.

3.16 Kemi mlk

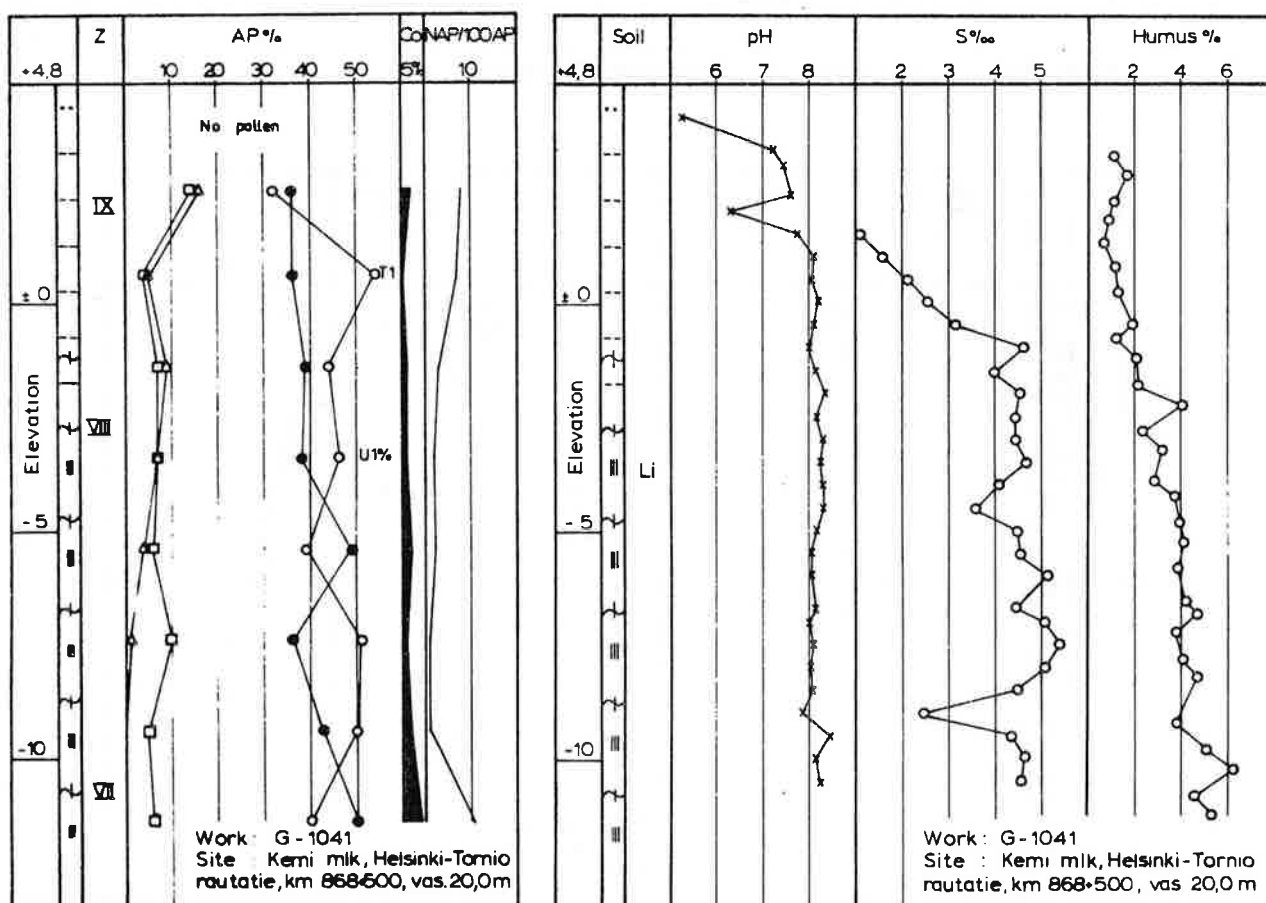
x = 730144

y = 24°/52214

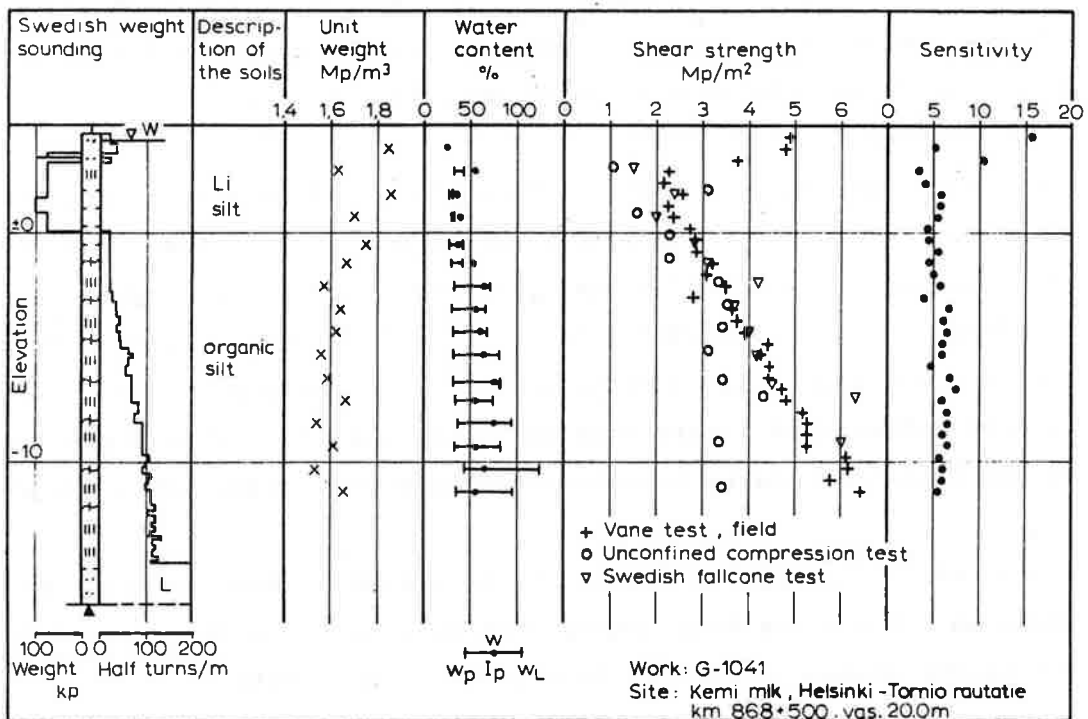
Tutkimuskohde sijaitsee Tornion rautatien varressa noin 5 km:n etäisyydellä meren rannasta. Ympäröivä maasto on laakeaa peltoalueutta maanpinnan korkeuden ollessa noin +5 m. Tutkimukset on suoritettu syyskuussa 1971.

Kerrossarja edustaa pelkästään Litorinamereen kerrostunutta sedimenttiä. Materi-aali on raekooltaan humuspitoista silttiä, jonka paksuus on noin 20 m. Hienora-keisin aines esiintyy noin 7 metristä alas päin. Sen savipitoisuus on 20...25 %. Pintaa kohden aines muuttuu hiedaksi sekä aivan pintakerroksessa hiekaksi. Maa-laji on tuoreena täysin mustaa. Noin 10 m:n syvyydestä alas päin esiintyy pohjaa kohden heikosti vahveneva mikrolustoisuus. Näytesarjassa esiintyi monin paikoin lähes pystyjä halkeamia, jotka olivat reunoiltaan hapettuneita. Humuspitoisuus sekä huokosveden suolaisuus vastaavat sedimentistä "oletettavia" arvoja.

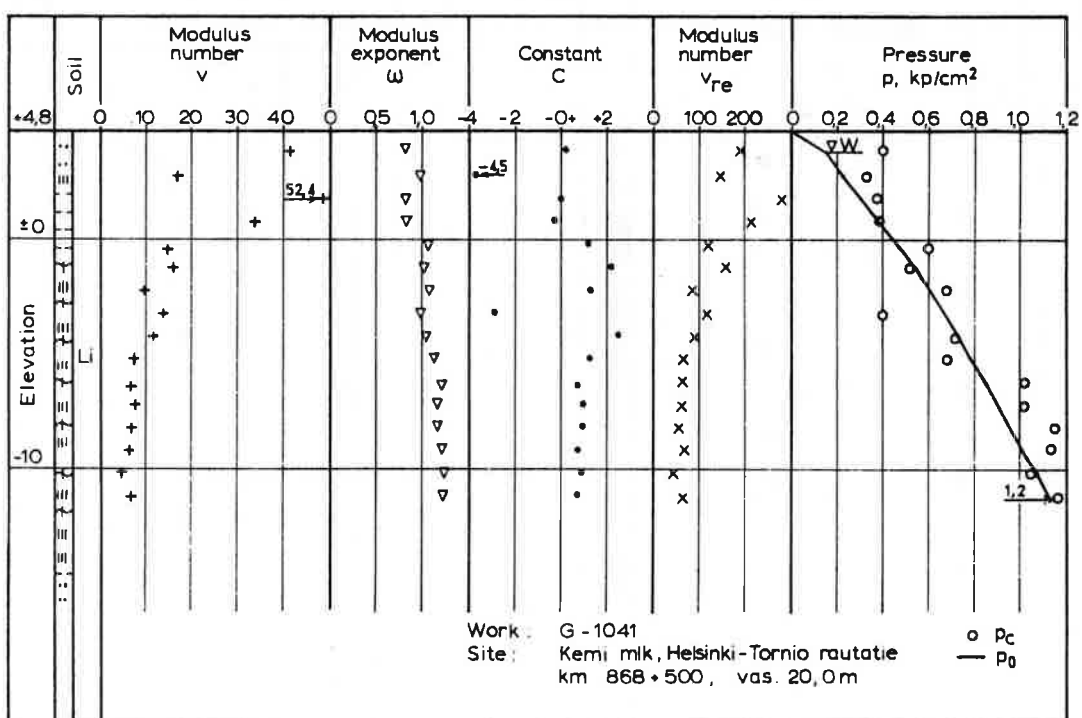
Ödometrikokeiden perusteella maalaji on normaalisti konsolidoitunutta savipitoisen pohjaosan  $c_v$ -arvojen vaihdellessa noin  $1\cdots 5 \times 10^{-4} \text{ cm}^2/\text{s}$ .



Kuva 47. Siitepölystö ja kemialliset määritykset.



Kuva 48. Luokitus- ja lujuusominaisuudet.



Kuva 49. Painumisominaisuudet.

3.17 Kestilä

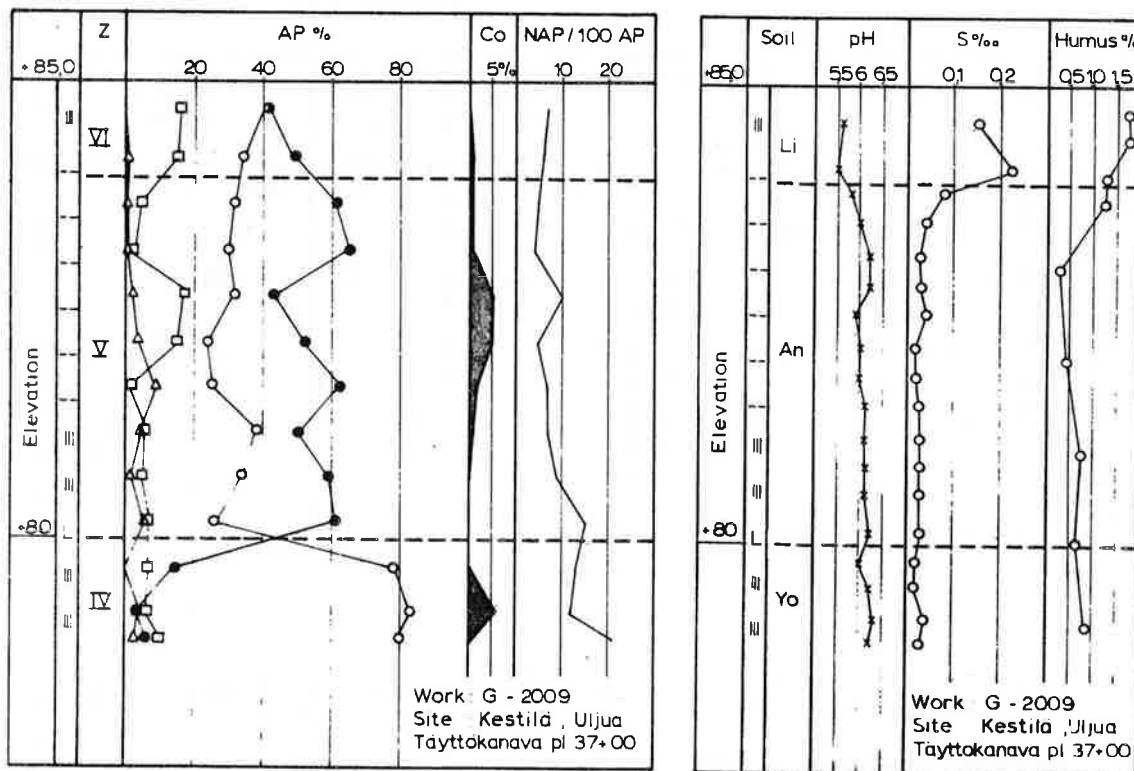
$x = 713192$

$y = 27^{\circ}/45956$

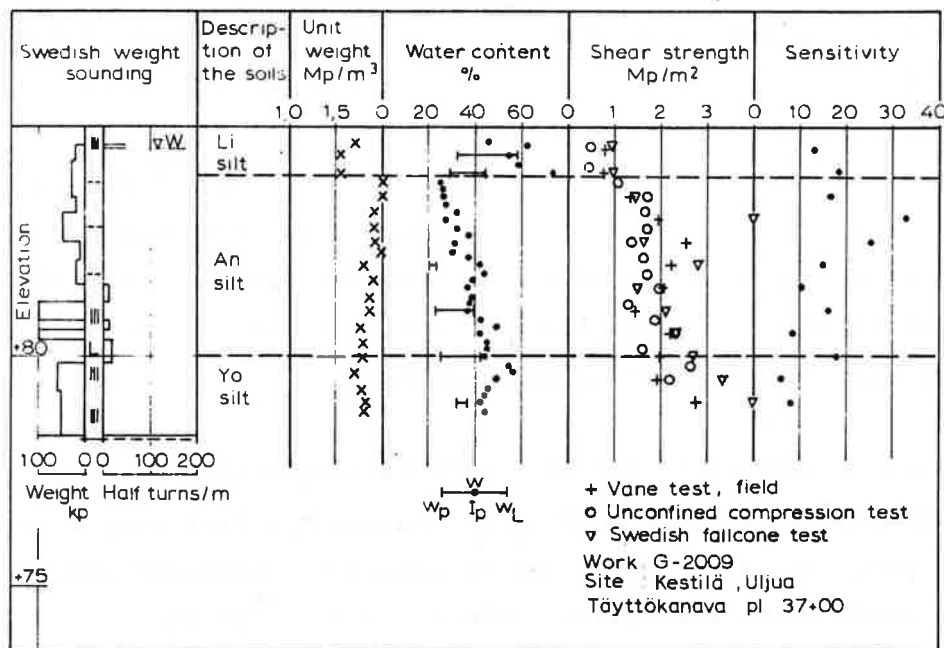
Näytesarja on otettu lokakuussa 1969 Uljuan tekoaltaan täyttökanavan paalulta 37+00. Maasto on tutkimuskohteessa ja sen lähialueella laakeata, pinnaltaan soistunutta, maanpinnan korkeus on noin +84...+85 m.

Kerrostuman pintaosa on noin metrin syvyyteen litorinakautista hiesua. Tämä on tuoreena tummaa ja siinä esiintyy hapettuneita, vaaleita laikkuja. Tämän alapuolella on noin 4 m paksu Aencylussedimentti, joka on rakenteeltaan homogeenista hietaa, hiesupitoisuuden ollessa 30...40 %. Pohjaosa muodostuu heikosti kerallisesta hiesusta ja savesta, joka on tuoreena punertavaa. Tämä edustaa Yoldia-vaiheen sedimenttiä. Kerrossarjan huokosvedestä mitattu suolaisuus on hyvin vähäinen lukuun ottamatta Litorinasedimentin pohjaosaa, jossa suolaisuus lisääntyy.

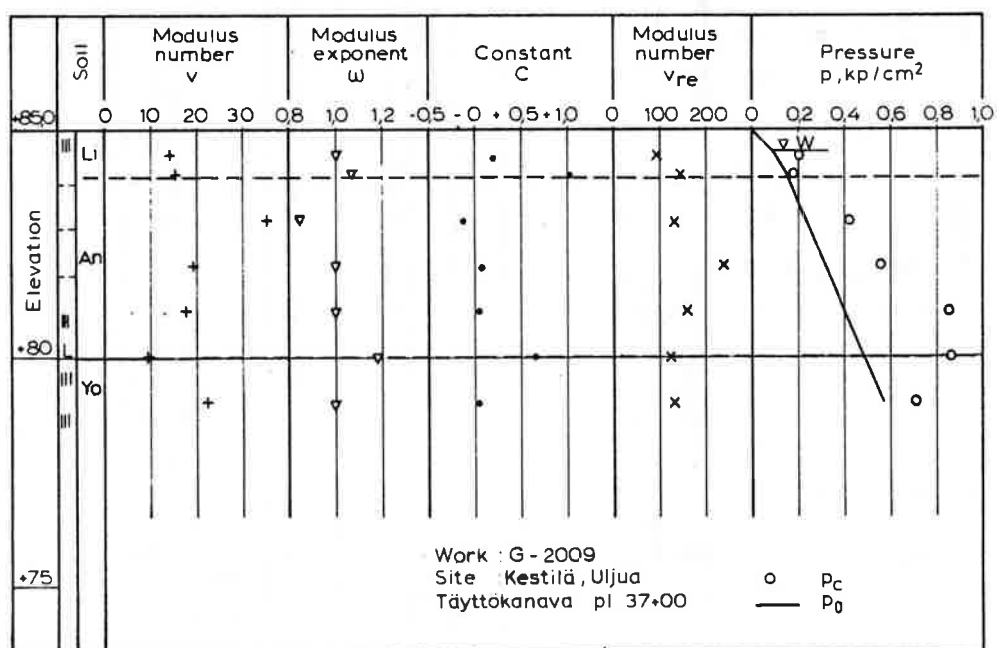
Koska sedimenttisarja on suhteellisen karkearakeista, esiintyy mm. lujuusarvoissa hajontaa. Hietainen Aencyluskerros on paikoin huomattavan sensitiivinen. Ödometrikokeiden mukaan on kerrostuma ylikonsolidoitunutta.



Kuva 50. Siitepölystö ja kemialliset määritykset.



Kuva 51. Luokitus- ja lujuusominaisuudet.



Kuva 52. Painumisominaisuudet.

3.18 Koivulahti

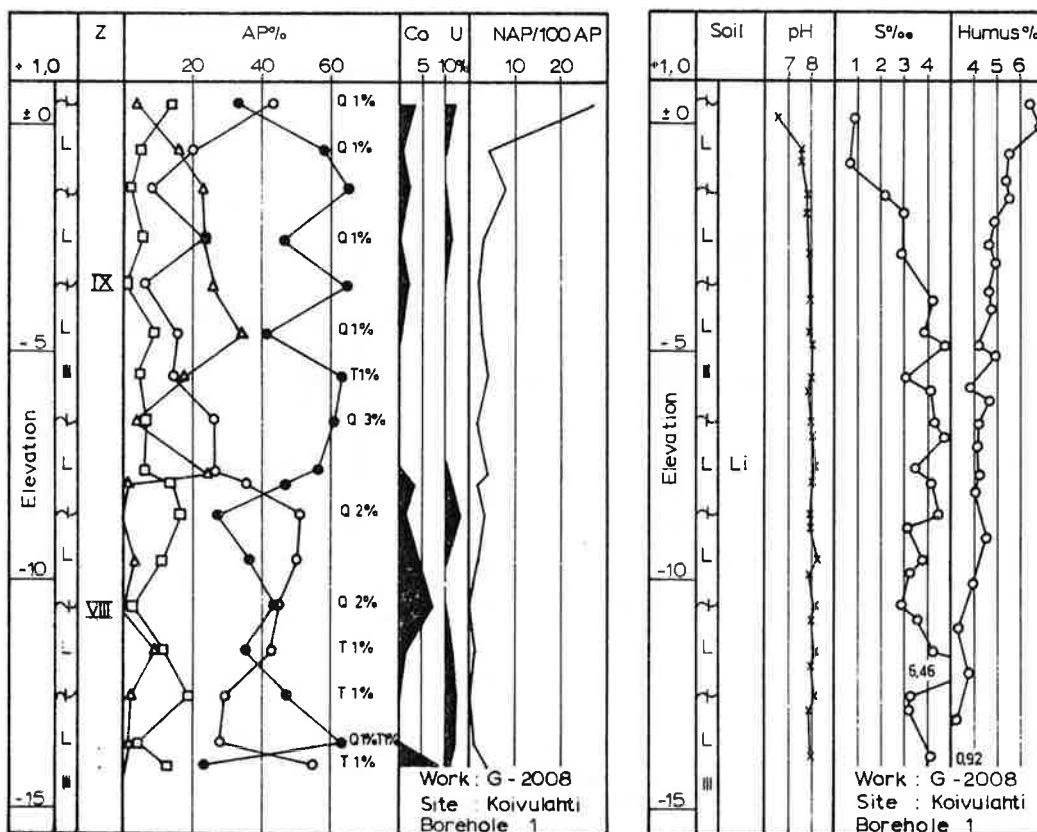
x = 700924

y = 21°/54304

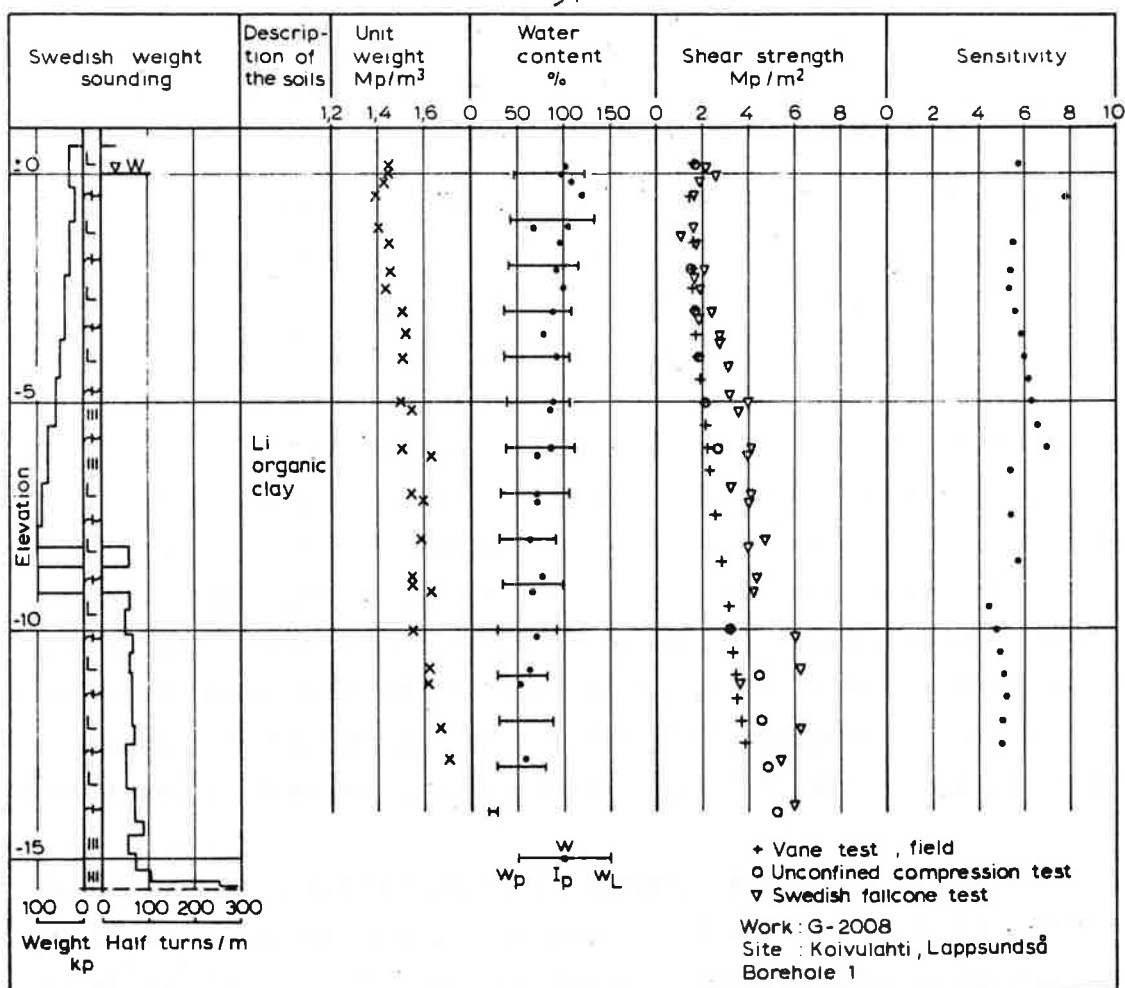
Tutkimuskohde sijaitsee Kyrönjoen suuosaan savikkoalueella. Tutkimuskohde on laakeaa peltomaastoa, maanpinnan korkeus on +1...+2 m. Tutkimukset on suoritettu syyskuussa 1969.

Sedimenttikerrostuma edustaa litorinakautista liejusavea kerrospaksuuden ollessa noin 16 m. Maalaji on tuoreena lähes mustaa ja siinä esiintyy monin paikoin pieniä, reunoiltaan hapettuneita halkeamia. Lisäksi maalaji sisältää pieniä kiotiloita ja niiden kappaleita. Savipitoisuus vaihtelee noin 25...35 prosenttiin. Kerrossarja on kokonaisuutena hyvin homogeeninen.

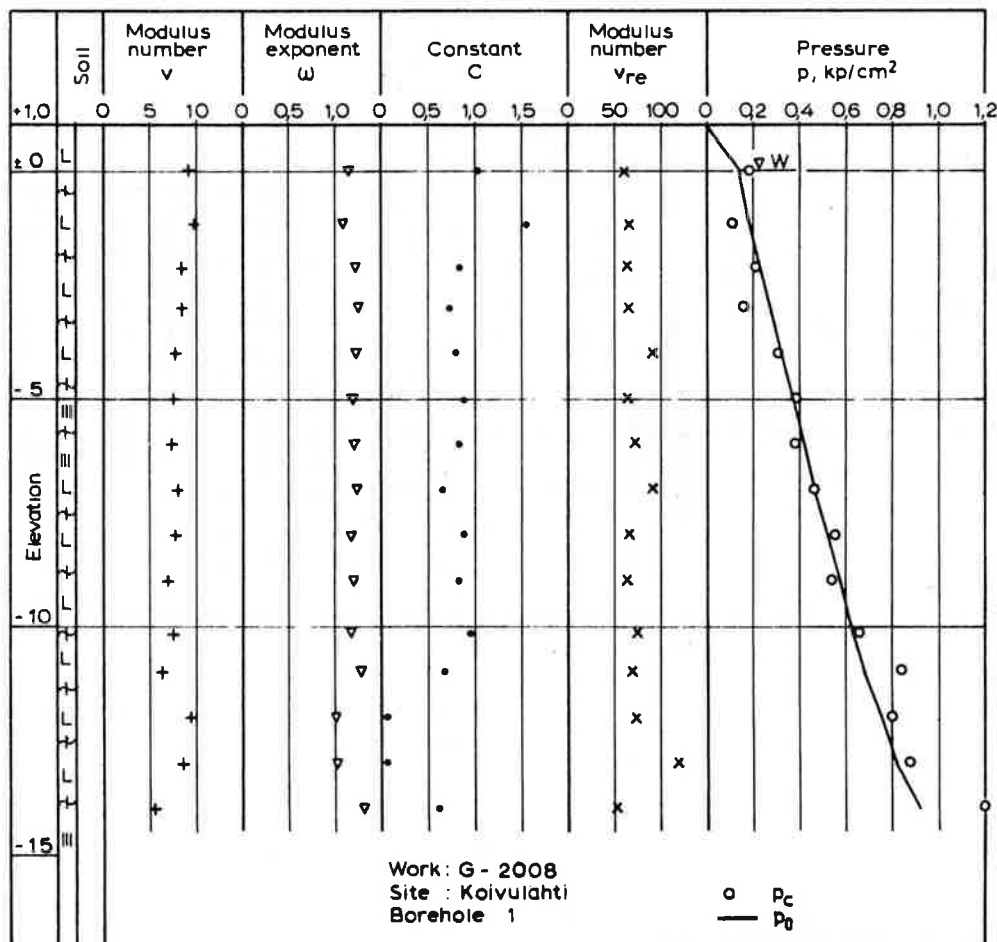
Lujuusominaisuksista on huomattava, että kartiokokeella on pehmeimmän kerroksen alapuolelta mitattu selvästi suurempia lujuusarvoja kuin siipikairalla. Ödometrikokeiden perusteella sedimentti on normaalisti konsolidoitunutta. Kokoonpuristuvuuskertoimien arvot vaihtelevat noin  $4\cdots 9 \times 10^{-5} \text{ cm}^2/\text{s}$ .



Kuva 53. Siitepölystö ja kemialliset määritykset.



Kuva 54. Luokitus- ja lujuusominaisuudet.



Kuva 55. Painumisominaisuudet.

3.19 Kouvola

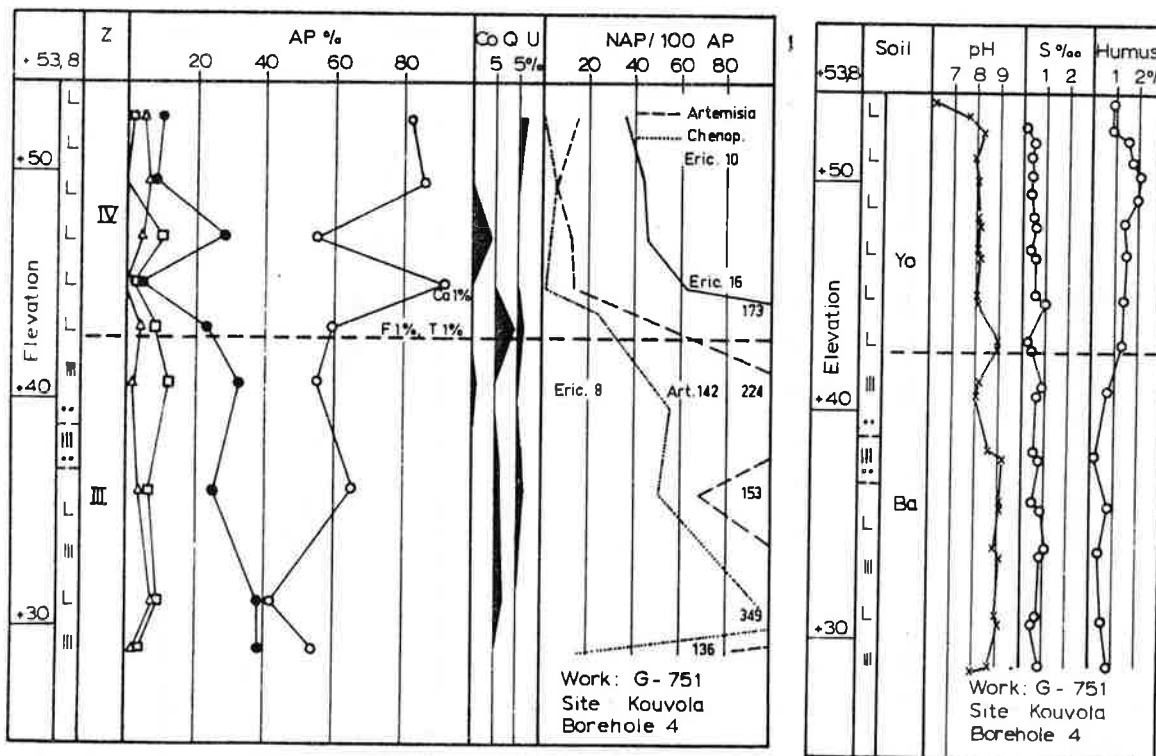
$x = 675046$

$y = 27^{\circ}/48102$

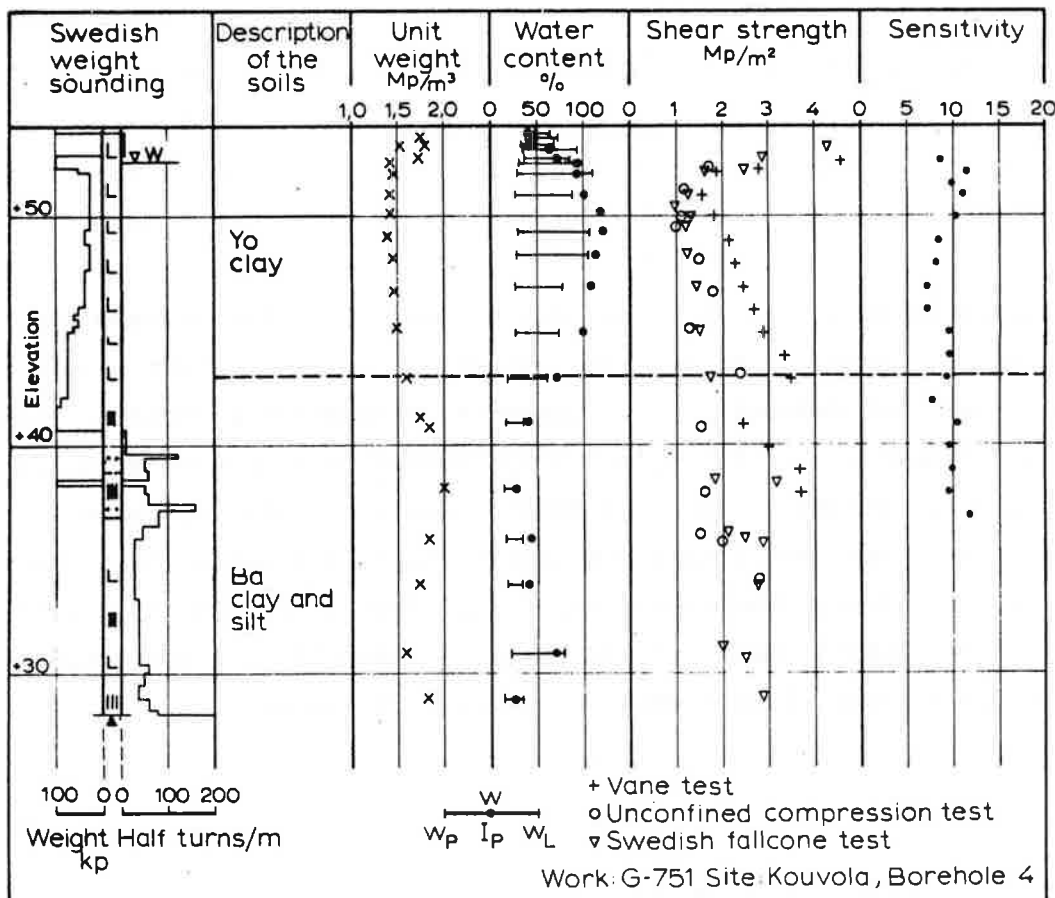
Tutkimuskohde sijaitsee noin 3 km Kouvolan keskustasta länteen olevalla laajah-kolla savialueella, jossa maanpinnan korkeus on likipitää +55 m. Pisteen etäisyyys I Salpausselkään on noin 1 km. Saven suurin todettu paksuus on tällä alueella noin 40 m. Tutkimukset on suoritettu heinäkuussa 1967.

Kerrossarjan paksuus on kyseisen pisteen kohdalla noin 25 m ja se käsittää kaksi ominaisuksiltaan erilaista kerrostumaa. Pohjaosa syvyydellä 11...25 m on kerallista laihaa savea ja hiesua, joka edustaa Baltian jäätäjärven sedimenttiä. Tässä kerrostumassa todetaan noin 14...17 m:n syvyydellä kaksi karkearakeista horisonttia, jotka lähempänä savialueen reunaa muodostavat yhden kerroksen. Nämä matalan veden kerrokset osoittanevat Baltian jäätäjärven purkautumisvaiheita; niitä on todettavissa laajalti lähiympäristössä. Kerrossarjan pintaosa on muodostunut rakenteeltaan homogeenisesta Yoldiasavesta, jonka savipitoisuus on 80...90 %.

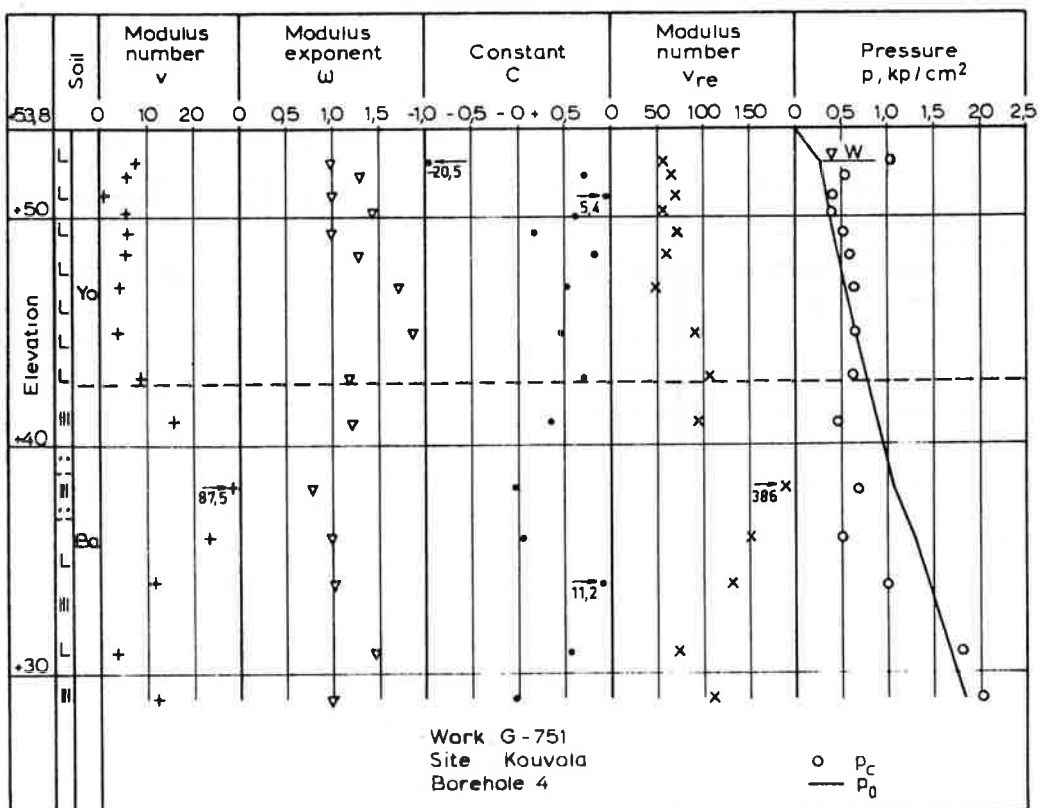
Kerrossarjaa on pidettävä normaalisti konsolidoituneena. Pohjaosan näennäinen alikonsolidointuminen sekä lujuusarvojen hajonta johtunee lähinnä näytteiden häiriintymisestä. Yoldiasaven  $c$ -arvot ovat noin  $5 \dots 9 \times 10^{-5} \text{ cm}^2/\text{s}$  ja pohjaosan lustosaven  $3 \times 10^{-3} \dots 8 \times 10^{-4} \text{ cm}^2/\text{s}$ .



Kuva 56. Siitepölystö ja kemialliset määritykset.



Kuva 57. Luokitus- ja lujuusominaisuudet.



Kuva 58. Painumisominaisuudet.

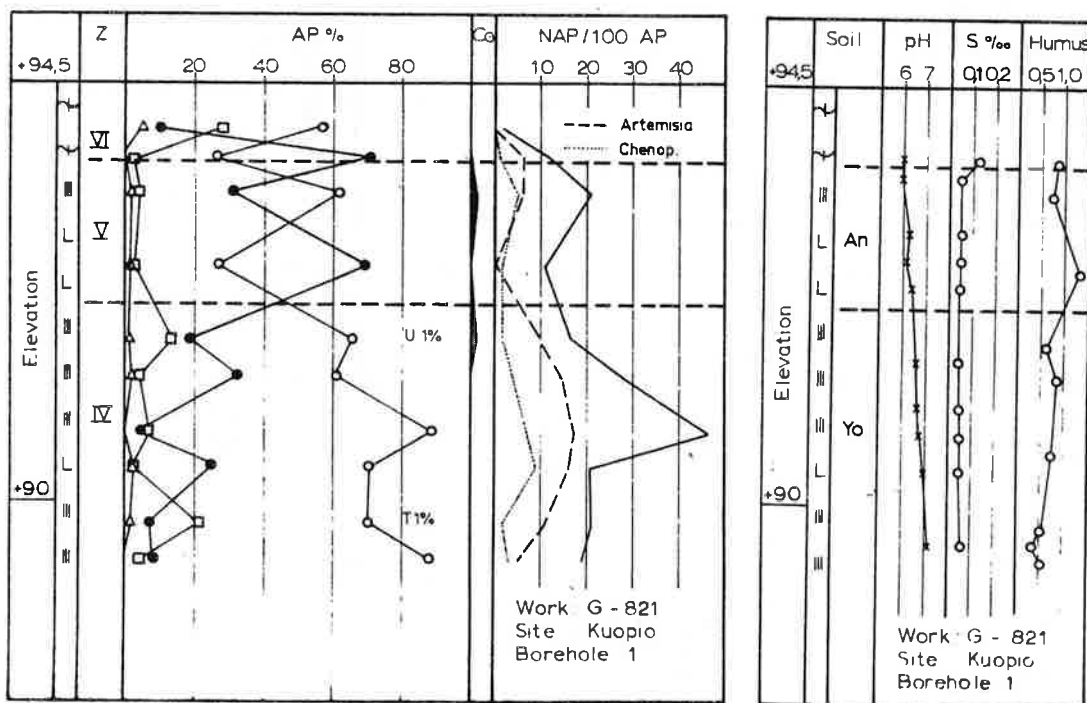
3.20 Kuopio

$x = 697554$

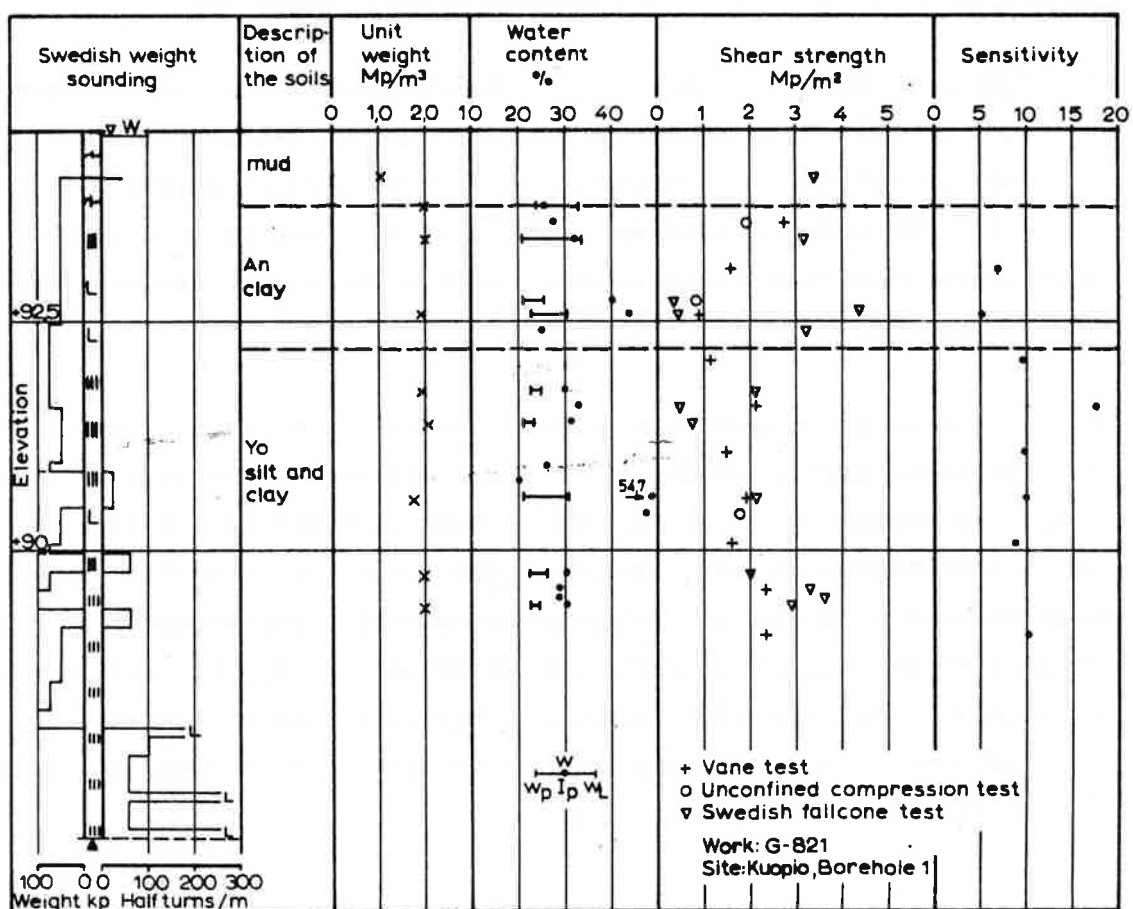
$y = 27^{\circ}/53236$

Tutkimuskohde sijaitsee Kuopiassa valtatie 5 osuudella Särkilahti-Puijonrinne paalulla 13+40. Tutkimusalue on moreenikumpareiden ympäröimää peltomaastoa, jossa maanpinnan korkeus on noin +94,5 m. Hienorakeisten sedimenttien paksuus tällä alueella on noin 2...7 m. Tutkimukset suoritettiin lokakuussa 1968.

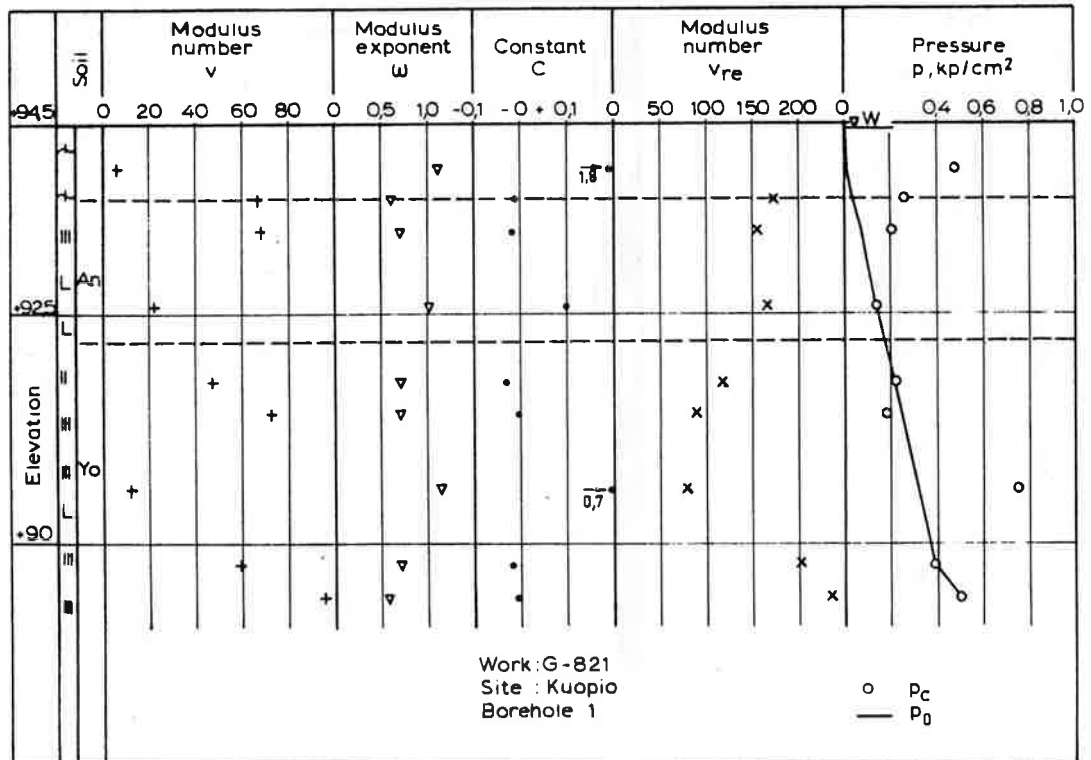
Tutkimuspisteessä on kerrossarjan paksuus noin 7 m. Pintaosassa olevan mutakerroksen alla on noin 1,5 m paksu Aencyluskerros (savea). Tämän alapuolella on savesta ja siltistä muodostunut Yoldiakerros. Kummatkin kerrostumat ovat raken-teeltaan homogeenisia. Maalajin humuspitoisuus ja huokosveden vähäinen suolaisuus edustavat materiaalille oletettavia arvoja. Koska näytteenotto on onnistuttu suorittamaan vain noin 5 m:n syvyyteen, ei pohjaosaa ole voitu analysoida. Geoteknisten tulosten huomattava hajonta johtuu pääasiassa silttipitoisten maalajien häiriintymisherkkydestä ja maalajin paikallisesta epähomogenisuudesta. Kerrostumaa voidaan pitää normaalisti konsolidoituneena.



Kuva 59. Siitepölystö ja kemialliset määritykset.



Kuva 60. Luokitus- ja lujuusominaisuudet.



Kuva 61. Painumisominaisuudet.

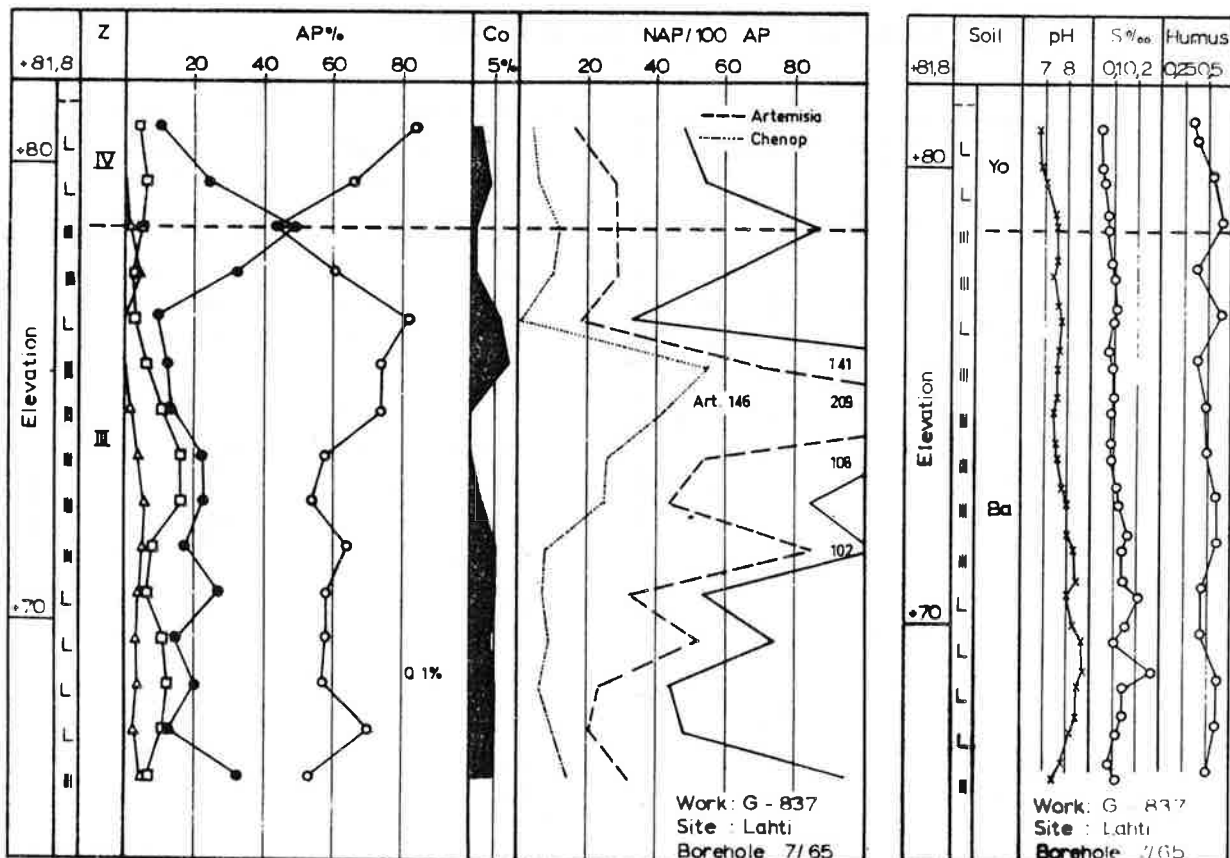
3.21 Lahti

x = 676318

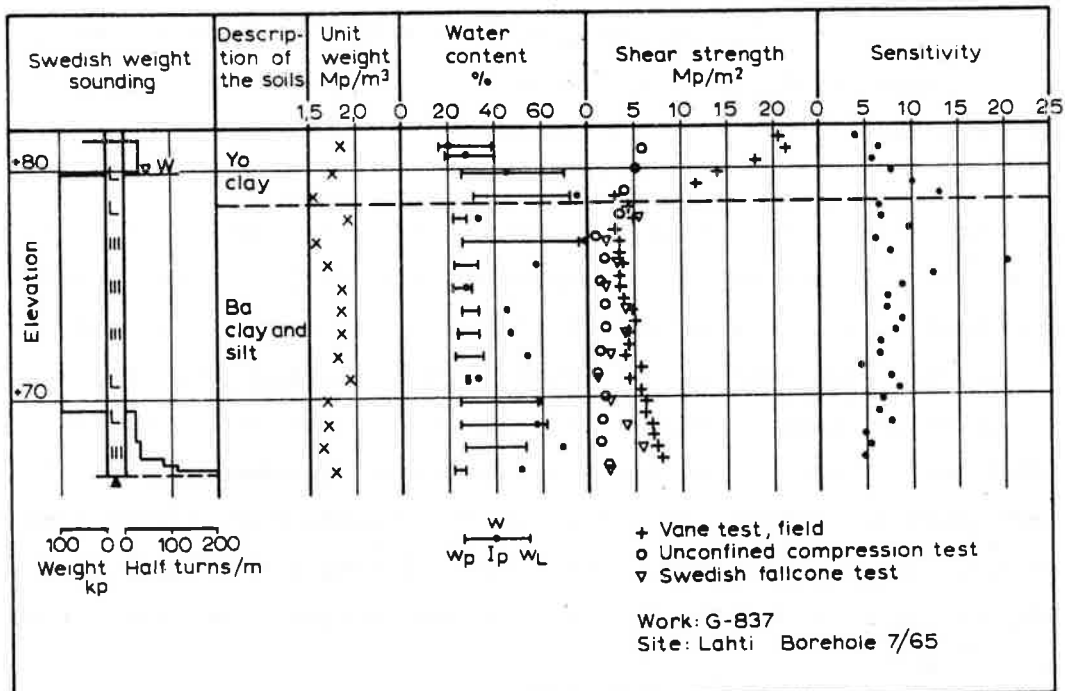
y = 27°/42756

Näytesarja on otettu syyskuussa 1968 Lahden rautatieaseman eteläpuolelta noin 0,5 km:n päästä I:n Salpausselän eteläreunasta. Tässä reunavyöhykkeessä esiintyy paksuja sedimenttikerrostumia, jotka ovat pääasiassa kerrallista savea ja silttiä. Tutkitun näytesarjan kohdalla kerrostuman paksuus on noin 15 m. Sementtoituminen on tapahtunut suoraan kallion pinnalle. Rakenteeltaan koko sedimenttisarja on kerrallista.

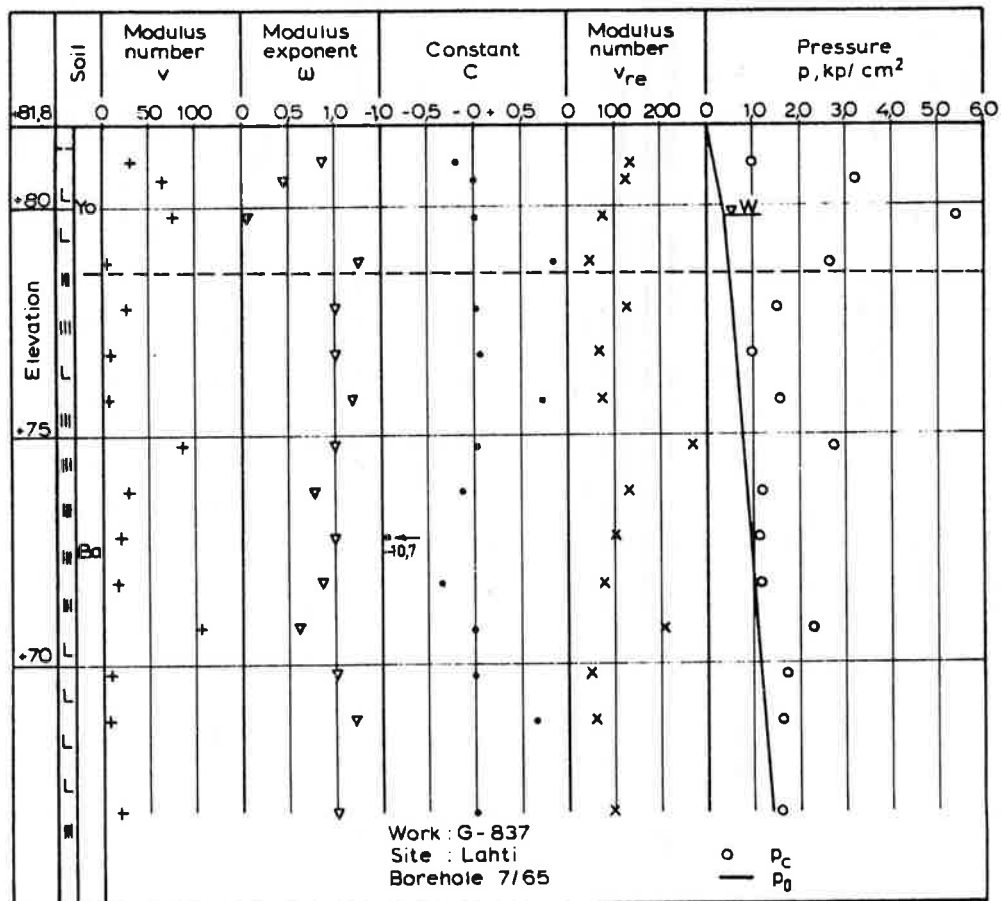
Pintaossa noin 3 m:n syvyyteen on Yoldiasavea, joka pääosiltaan on voimakkaasti ylikonsolidoitunutta kuivakuorta. Tämän alapuolin kerrostuma edustaa Baltian jäärjärven sedimenttiä. Kerrossarja muodostuu savi- ja siltipitoisuudeltaan vaihtelevista kerroksista, savipitoisuus vaihtelee noin 15...50 prosenttiin. Tämä puolestaan aiheuttaa vaihtelua geoteknisiin ominaisuuksiin. Humuspitoisuus ja huokosveden suolaisuus edustavat materiaalille tyypillisiä arvoja. Kuivakuo- ren alapuolella konsolidaatiokerroin vaihtelee noin  $4\cdots 8 \times 10^{-4} \text{ cm}^2/\text{s}$ . Ylikon- solidoituneen kuivakuoren alapuolin materiaali on normaalisti konsolidoitunutta tai lievästi ylikonsolidoitunutta.



Kuva 62. Siitepölystö ja kemialliset määritykset.



Kuva 63. Luokitus- ja lujuusominaisuudet.



Kuva 64. Painumisominaisuudet.

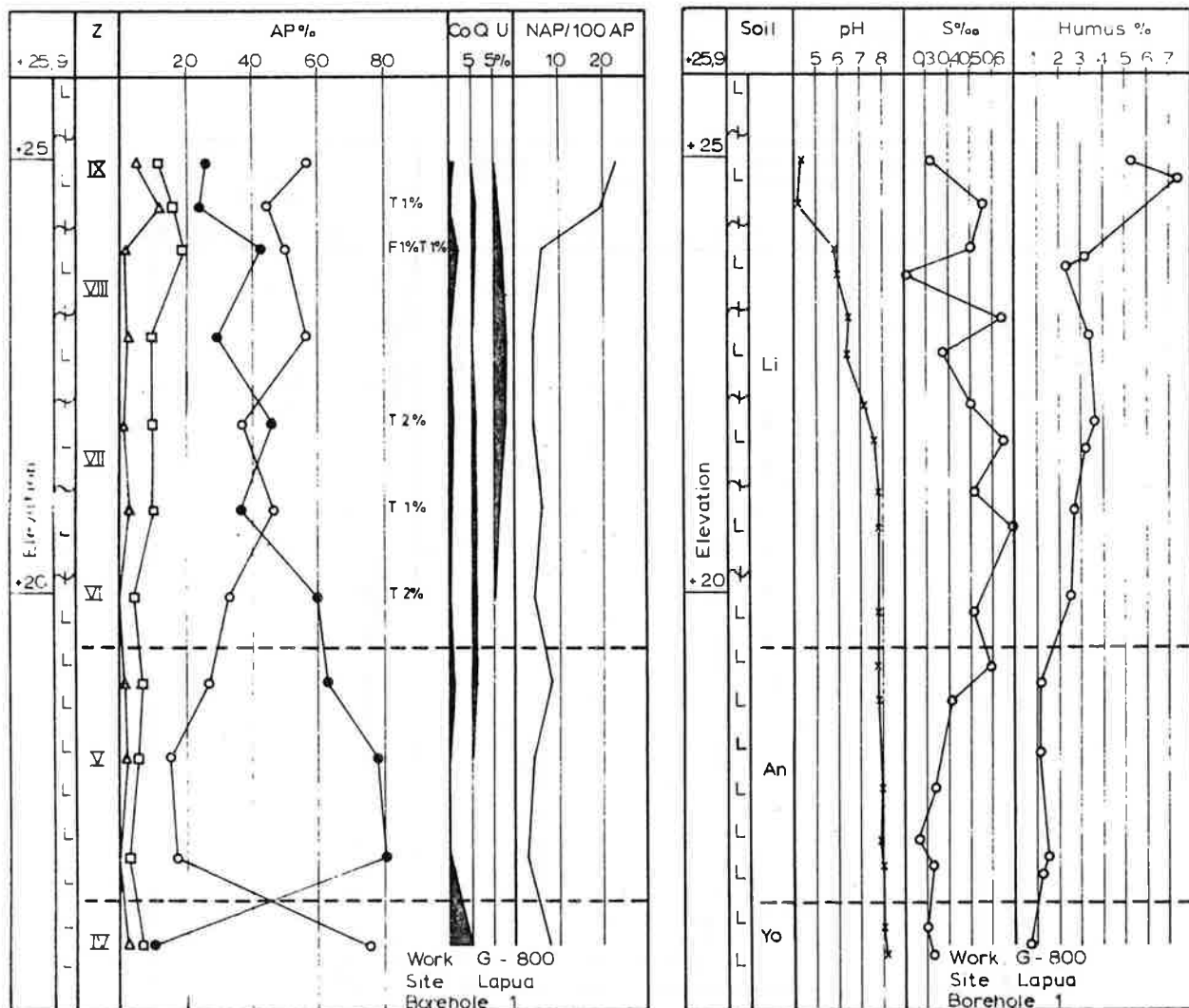
3.22 Lapua

$x = 699428$

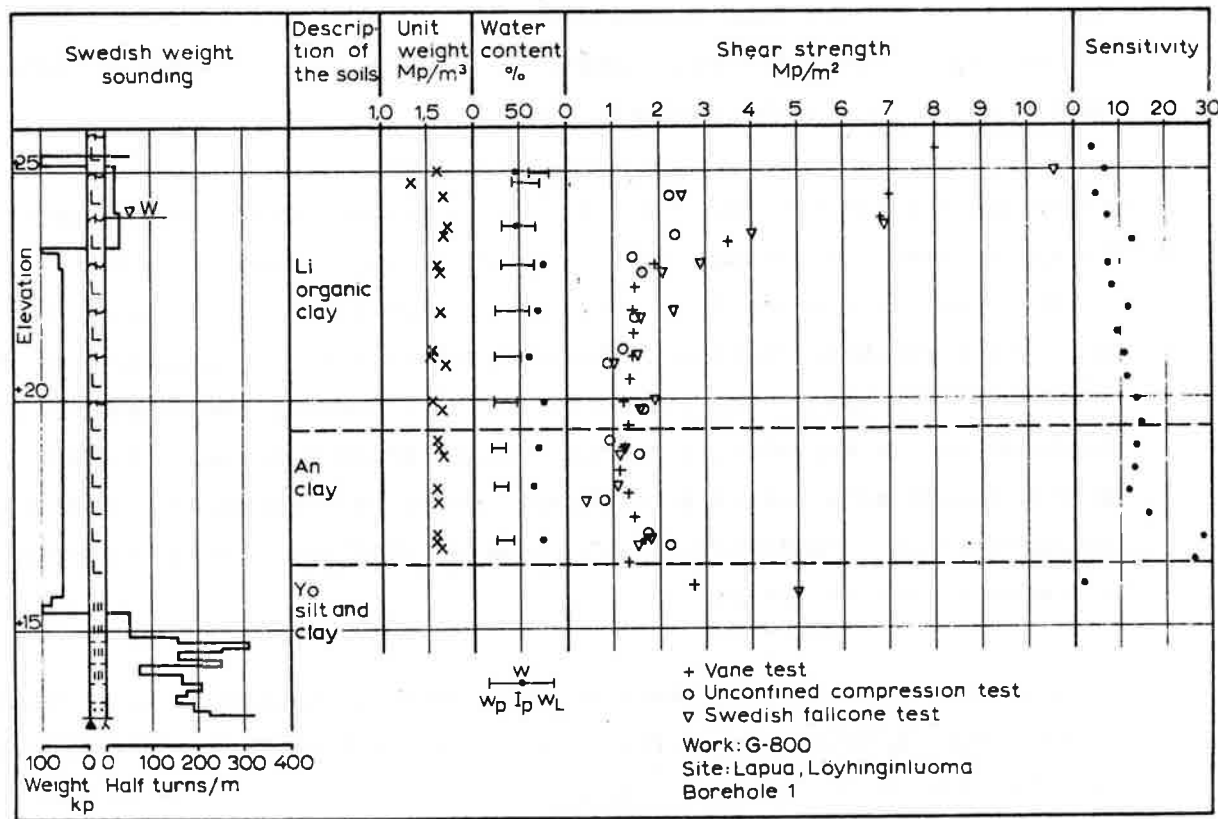
$y = 24^{\circ}/44456$

Tutkimuskohde sijaitsee Lapuan länsipuolisella savitasangolla Löyhinginluoman varressa. Maasto on ajoittaisista tulva-aluetta, maanpinnan korkeus on noin +29 m. Tutkimukset on suoritettu huhtikuussa 1968.

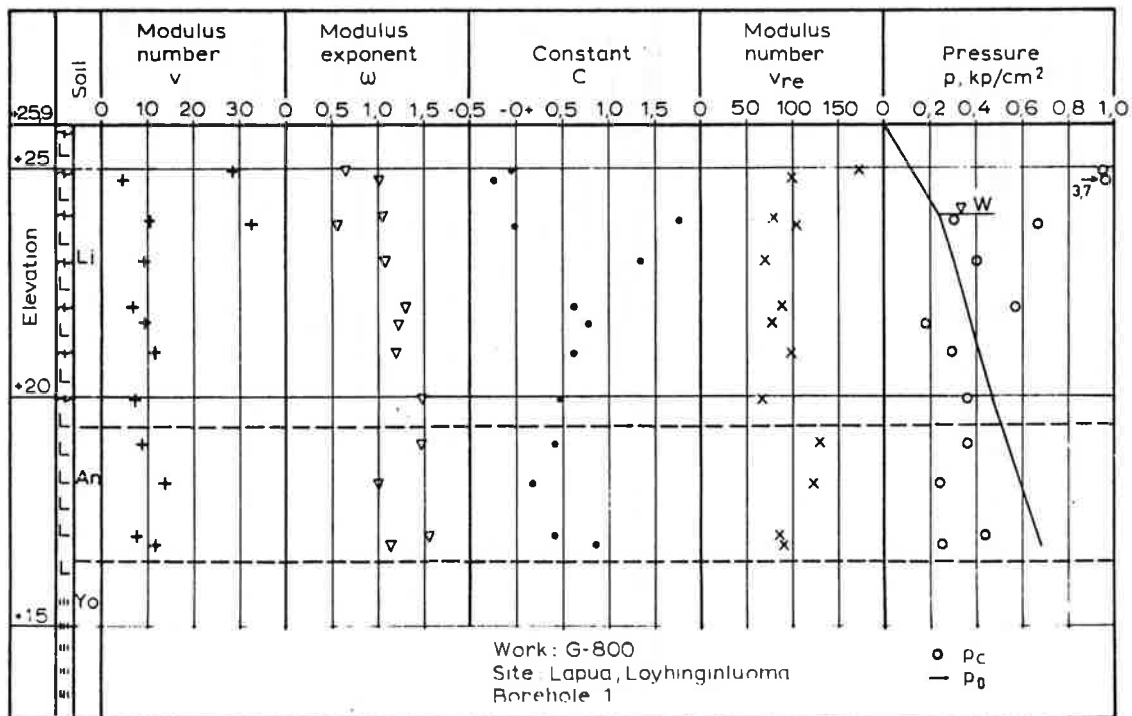
Sedimenttisarja on noin 11 m paksu. Pintaosa 6,5 m:n syvyyteen on litorinakauista liejusavea, jonka savipitoisuus on noin 30...35 %. Tämän alapuolella on 3 m paksu Aencylussavi, kerrostuman pohjaosa on sen sijaan Yoldiasavea. Kerros-sarja on kokonaisuudessaan rakenteeltaan lähes homogeeninen. Kuivakuoriosa on ympäristöön nähdien paksu, noin 2,5 m. Litorinakerroksen suolaisuus on suhteellisen vähäinen. Tähän on saattanut vaikuttaa kerrostuman sijainti Litorinameren matalavetisellä reuna-alueella. Ylikonsolidoituneen kuivakuoren alapuolista osaa on pidettävä normaalisti konsolidoituneena. Näennäinen alikonsolidotuminen joh-tunee näytteiden rikkoutumisesta. Kuivakuoren alapuolella ovat  $c_v$ -arvot noin  $1\cdots 3 \times 10^{-4} \text{ cm}^2/\text{s}$ .



Kuva 65. Siitepölystö ja kemialliset määritykset.



Kuva 66. Luokitus- ja lujuusominaisuudet.



Kuva 67. Painumisominaisuudet.

3.23 Loimaa

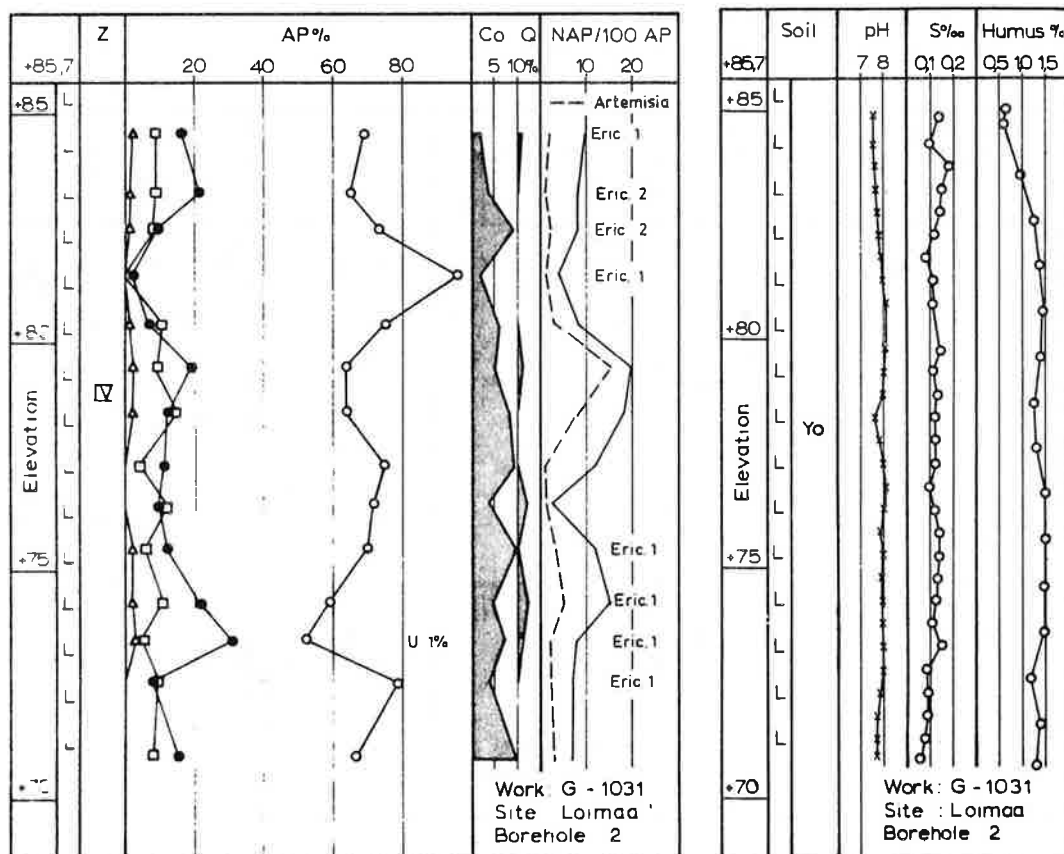
$x = 675060$

$y = 24^{\circ}/44852$

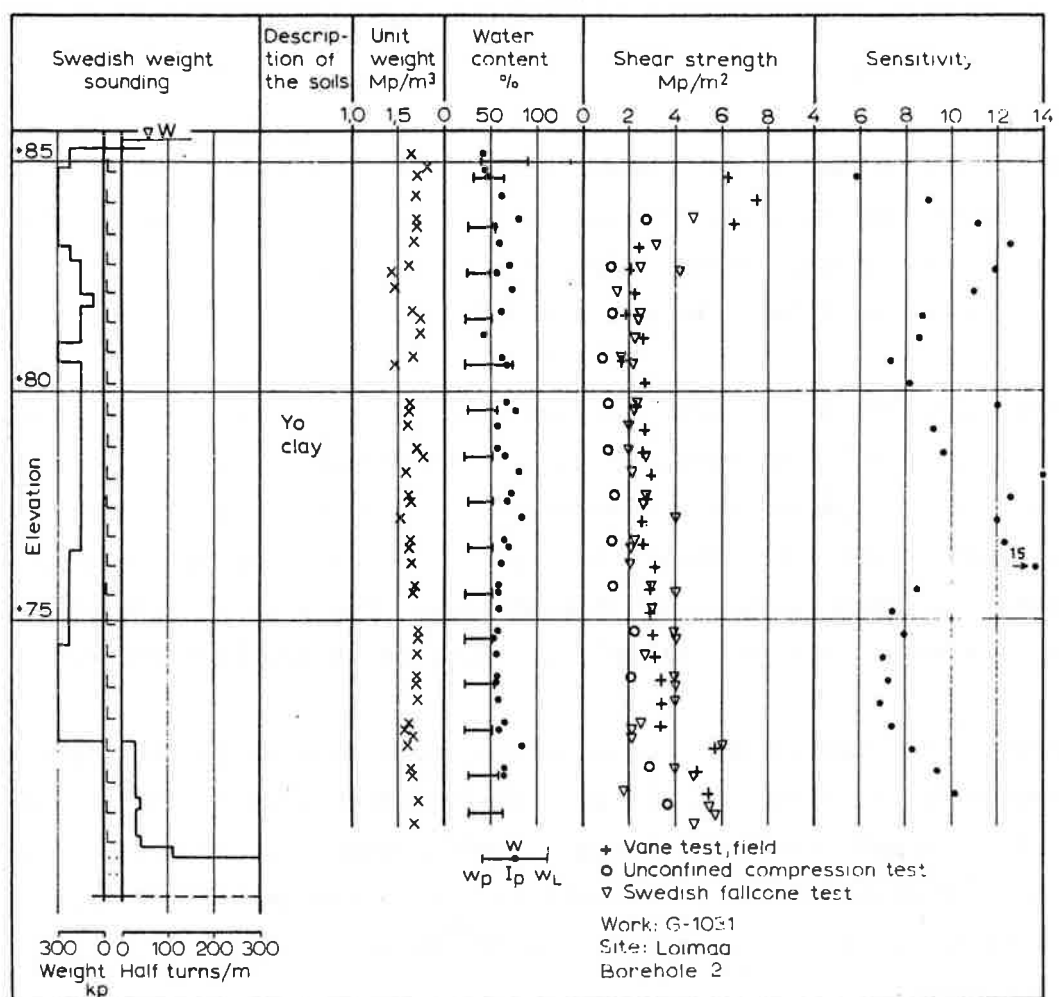
Näytesarja on otettu tammikuussa 1971 Loimaan keskustasta noin 1,5 km koilliseen. Alue on laajaa savitasankoa, maanpinnan korkeus on noin +86 m. Sedimenttikerrostuman paksuus on tutkimuspisteessä 16 m.

Kerrostuma edustaa kokonaisuudessaan Yoldiamereen kerrostunutta materiaalia. Maalaji on rakeisuudeltaan lihavaa savea, savipitoisuus vaihtelee noin 55...75 prosenttiin. Kerrostumassa on paikoin heikkoja symmiktistä kerrallisuutta. Lisäksi siinä esiintyy vaaleaa ja tummaa raidoituista sekä paikoin kapeita, vaaleanpunertavia kerroksia. Paikallisesti esiintyy tummia, breksiamaisia kappaleita. Osa raidoista ja kappaleista on muuta saviainesta kovempaa. Tummat osat kutistuvat runsaammin kuin vaalea perusaines. Pölystössä kiinnittyy huomio suurehkoon *Corylus*-määrään. Huokosveden suolaisuus on vähäinen, humuspitoisuus vastaa Yoldiasaven yleisiä arvoja.

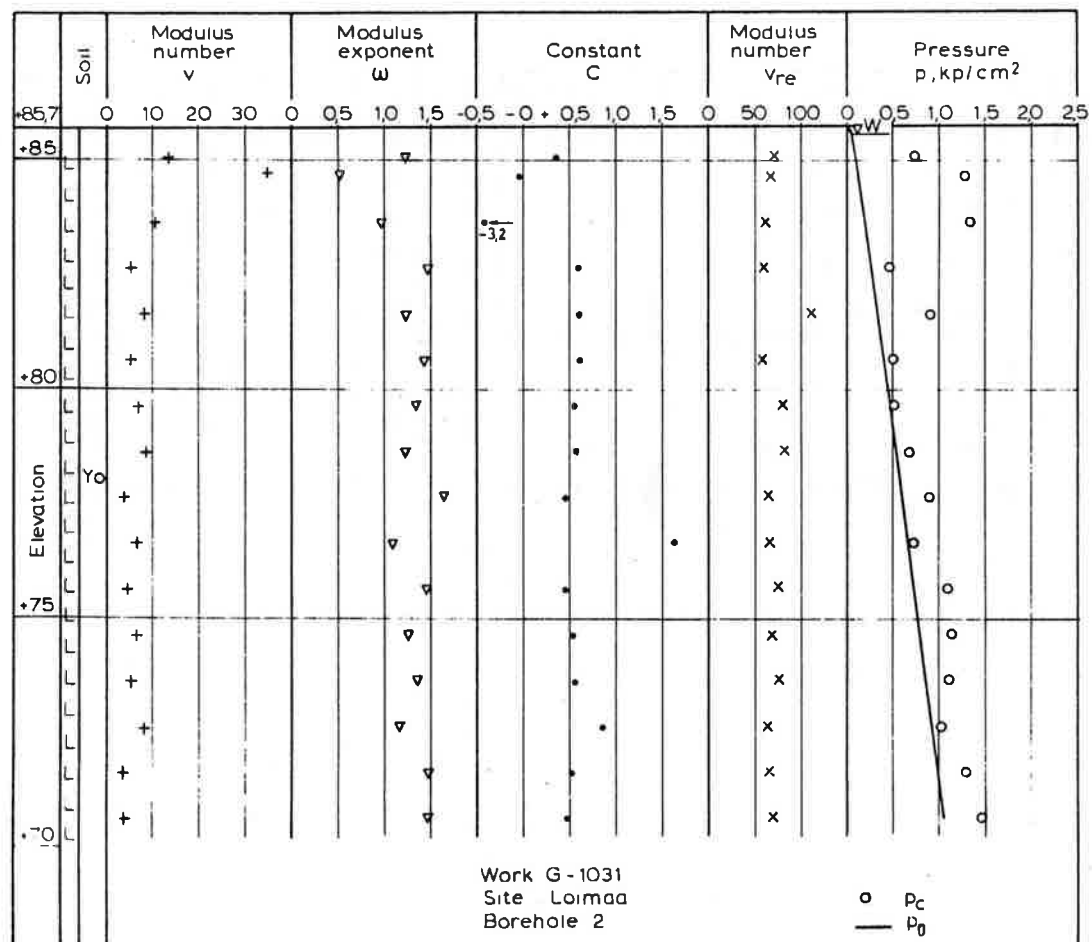
Lujuusominaisuksissa on raekoon nähdyn suurehko hajonta, mikä todennäköisesti johtuu saven rakenteesta. Kerrostuma on normaalisti konsolidoitunutta  $c_v$ -arvojen ollessa noin  $5\cdots20 \times 10^{-5} \text{ cm}^2/\text{s}$ .



Kuva 68. Siitepölystö ja kemialliset määritykset.



Kuva 69. Luokitus- ja lujuusominaisuudet.



Kuva 70. Painumisominaisuudet.

3.24 Lokalahti

x = 673018

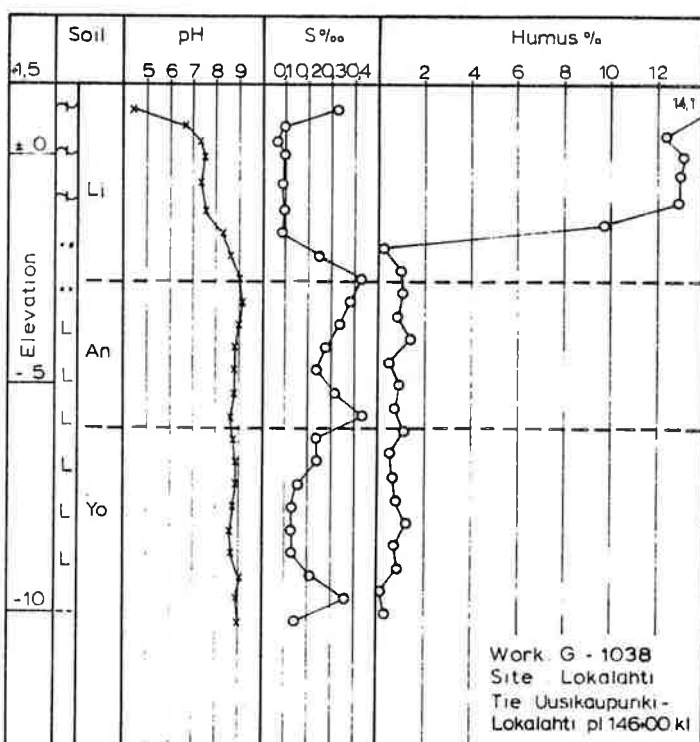
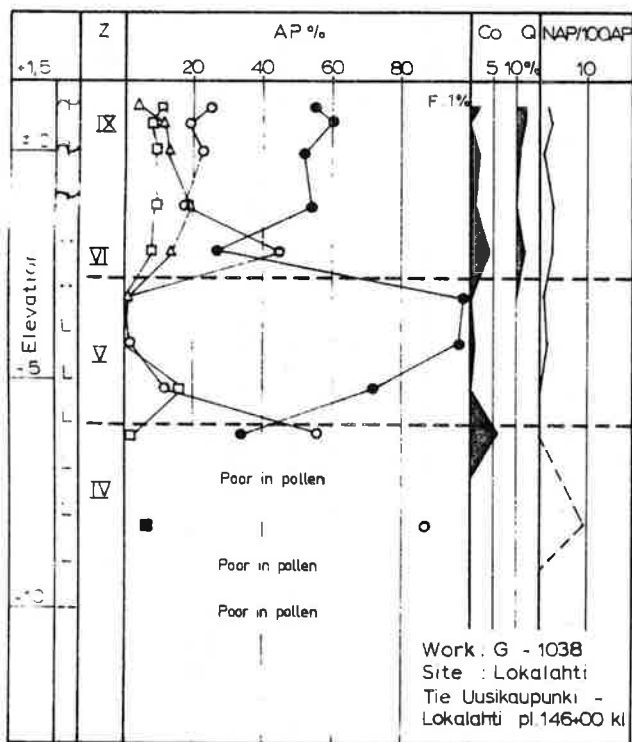
y = 21°/52626

Tutkimuskohde sijaitsee Lokalahden kirkolta noin 0,5 km itään. Alueen sedimenttikerrostumat sijaitsevat suhteellisen pienialaisissa, kalliomäkienväliissä laaksokohdissa. Maanpinnan korkeus on tutkimusalueella noin +1,5 m.

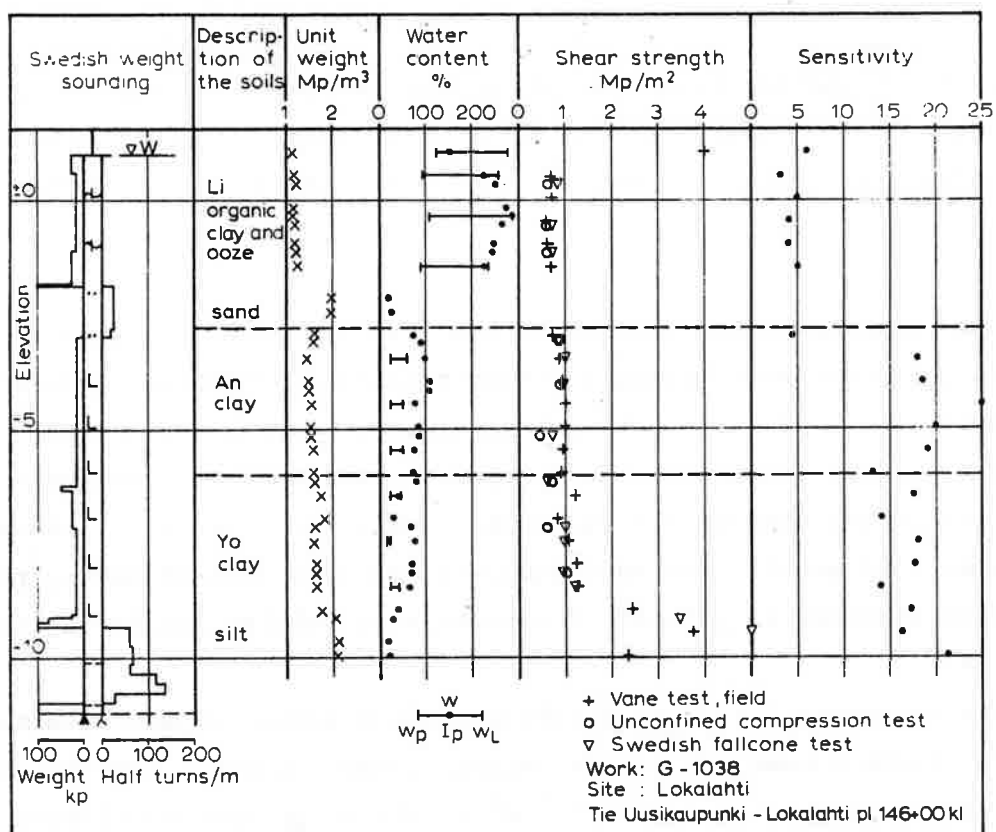
Tutkimukset on suoritettu kesäkuussa 1971.

Sedimenttikerrostuman kokonaispaksuus on noin 12 m. Kerrostuman yläosa käsitteää 4,3 m paksun Litorinakerroksen, joka on pääasiassa liejua. Kerroksen alaosassa on metrin paksuinen hiekkakerros. Lieju on tuoreena vihertävän harmaata ja siinä esiintyy hiusmaisia halkeamia. Hiekan alapuolella on 3 m paksu Aencylussavi, jossa esiintyy sulfidilaikkuja. Pohjaosa on symmiktistä ja lihaavaa Yoldiasavea. Lustot ovat paikoin kaltevia ja häiriintyneitä.

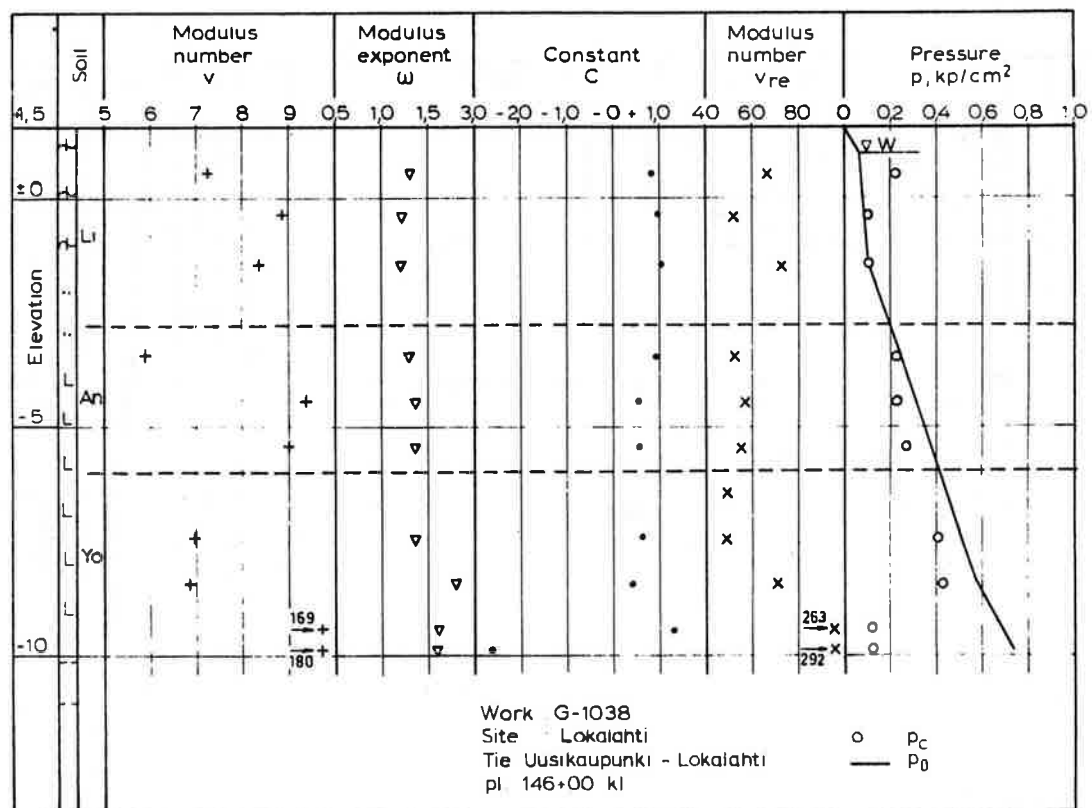
Humuspitoisen Litorinaliejun huokosveden suolaisuus on poikkeuksellisen vähäinen. On todennäköistä, ettei suolaisuuden määritykseen käytetty menetelmä soveltu täähän hyvin humuspitoiseen ainekseen. Tämän johdosta ei tulosta voi pitää luotettavana. Ödometrikokeiden mukaan kerrostuma on normaalista konsolidoitunut savikerrosten  $c_v$ -arvojen ollessa noin  $3 \times 10^{-5} \text{ cm}^2/\text{s}$ .



Kuva 71. Siitepölystö ja kemialliset määritykset.



Kuva 72. Luokitus- ja lujuusominaisuudet.



Kuva 73. Painumisominaisuudet.

3.25 Nurmijärvi

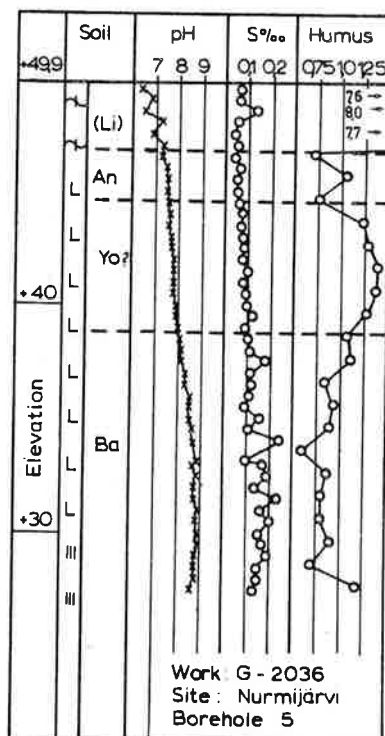
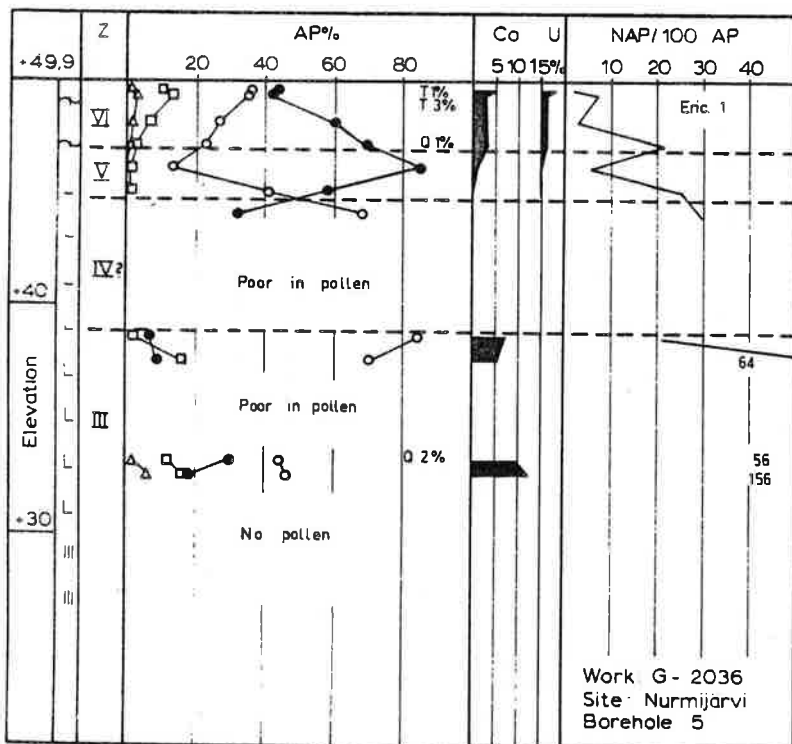
$x = 670342$

$y = 24^{\circ}/53902$

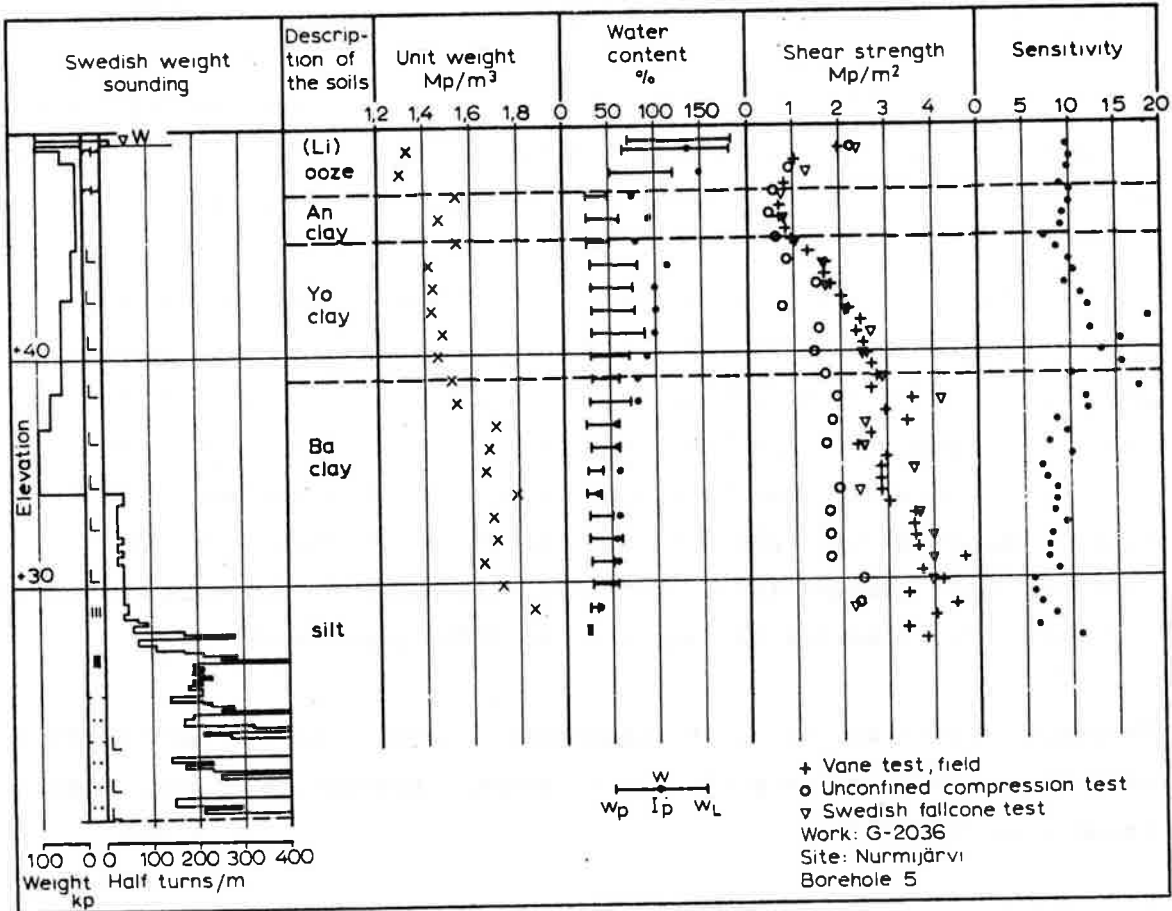
Tutkimuskohde sijaitsee laajahkon savialueen reunavyöhykkeessä, maanpinnan korkeus on noin +50 m. Lähistöllä esintyy ympäristöään matalampia maastopainanteita, jotka ovat vesijätöalueita. Näytetutkimukset on suoritettu huhtikuussa 1971.

Tutkimuspisteessä on hienorakeisen kerrostuman kokonaispaksuus noin 22 m. Kolme metriä paksu pintaosa muodostuu Litorinakautena erilliseen järvialtaaseen sedimentoituneesta liejusta. Liejukerroksessa esiintyy monin paikoin pieniä halkeamia. Liejun alapuolella on 2 m paksu, rakenteeltaan homogeninen *Ancylus*-savi, jossa on tuoreena mustia laikkuja. Tämän alapuolella on lihava, heikosti symmiktinen *Yoldias*savi. Pohjaosa muodostuu paikoin diataktisesta, paikoin lähes homogenisesta savesta, joka edustaa pääasiassa Baltian jäärven sedimenttiä.

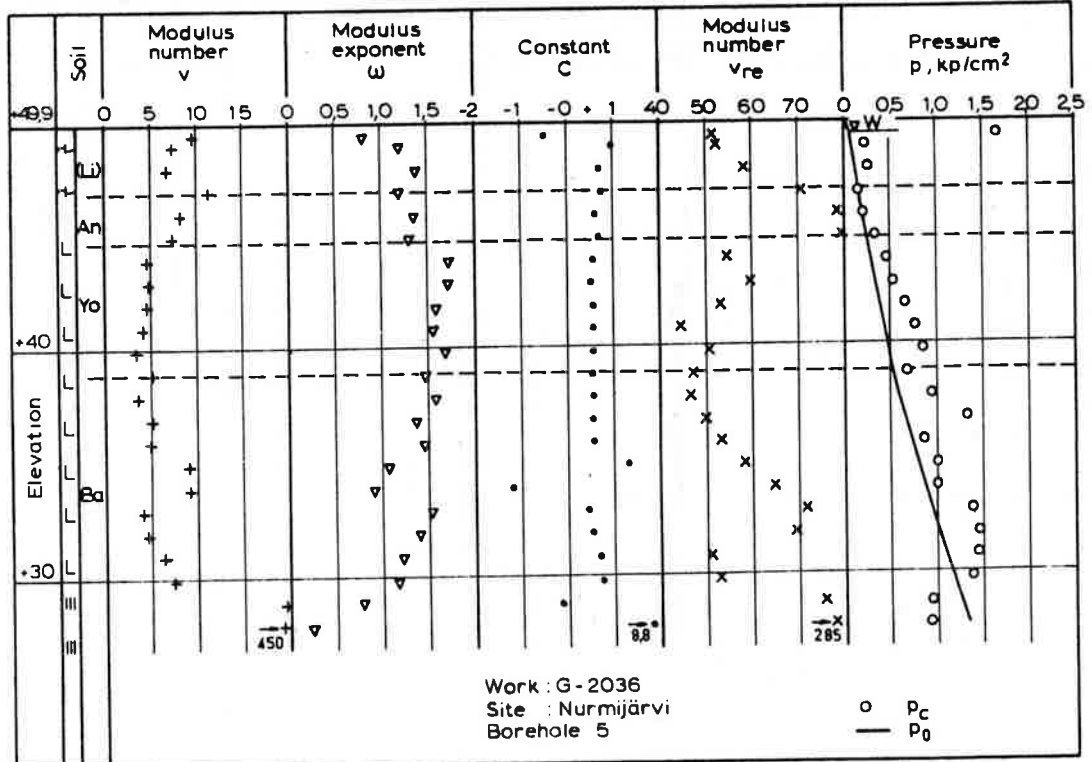
Kerrostuma on normaalista konsolidoitunutta pohjaosaa lukuunottamatta, joka ödometrikokeiden mukaan on lievästi ylikonsolidoitunutta. Kerrallisen pohjaosan  $c_v$ -arvot ovat noin  $2 \dots 7 \times 10^{-4} \text{ cm}^2/\text{s}$  pintaosan arvojen ollessa  $2 \dots 5 \times 10^{-5} \text{ cm}^2/\text{s}$ .



Kuva 74. Siitepölystö ja kemialliset määritykset.



Kuva 75. Luokitus- ja lujuusominaisuudet.



Kuva 76. Painumisominaisuudet.

3.26 Oulu

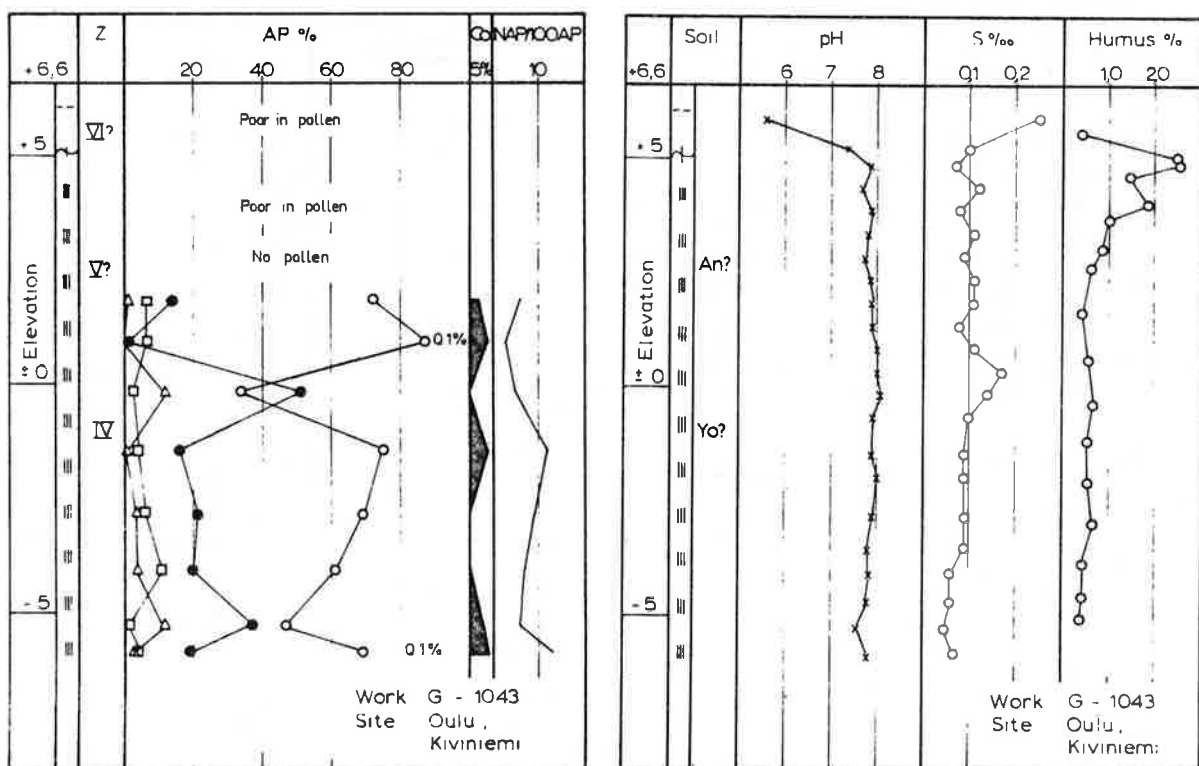
$x = 720794$

$y = 27^{\circ}/43020$

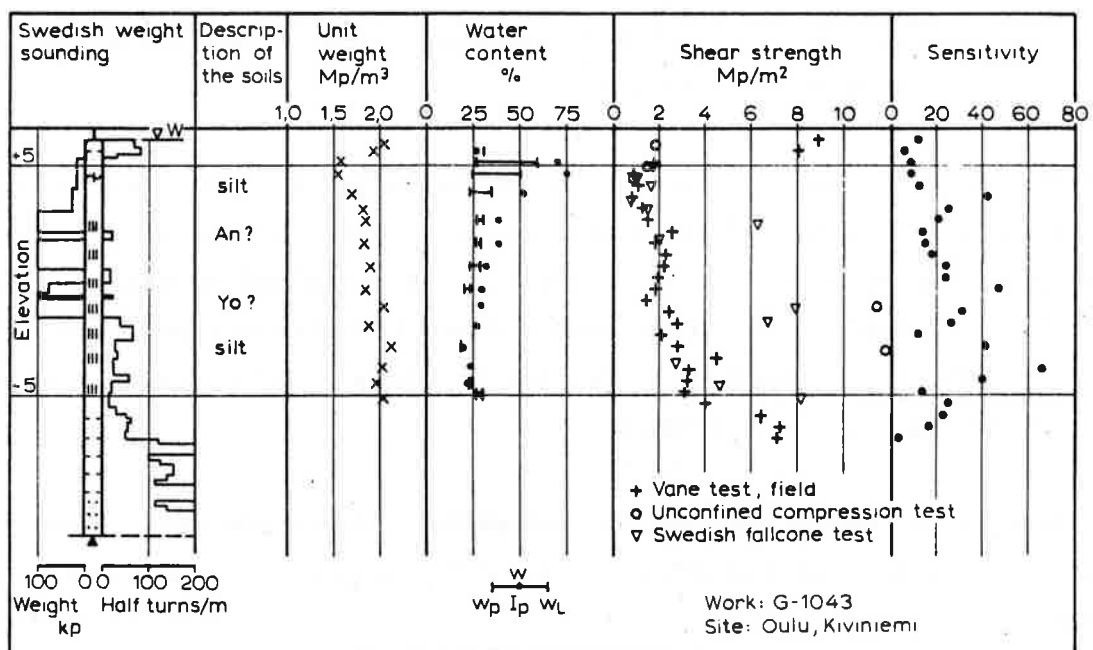
Näytesarja on otettu lokakuussa 1971 Kiviniemestä Oulun kaupungin eteläosasta Oulunlahden ranta-alueen läheisyydestä. Maasto on alueella lähes tasaista, maanpinnan korkeus on tutkimuspisteen kohdalla noin +6,6 m.

Hienorakeisen sedimenttisarjan paksuus on näytesarjan edustamalla kohdalla noin 12...13 m. Syvemmällä esiintyy hiekkavaltaisia maalajeja. Kerrossarja edustaa pääosiltaan *Yoldia*- ja *Ancylus*vaiheen sedimenttejä. Siitepölyjen vähäisyyden johdosta ei pintaosan ajoitusta kuitenkaan voida pitää luotettavana. Pintaosassa olevaa ohutta liejusavikerrosta lukuun ottamatta maalaji on hiesua, jonka savipitoisuus vaihtelee noin 5...25 prosenttiin (silttiä). Maalajit ovat rakenneeltaan lähes homogeenisia. Pintaosan liejusavi on tuoreena mustan ja harmaan kirjavaa. Silttikerros on tuoreena väristään punertavaa.

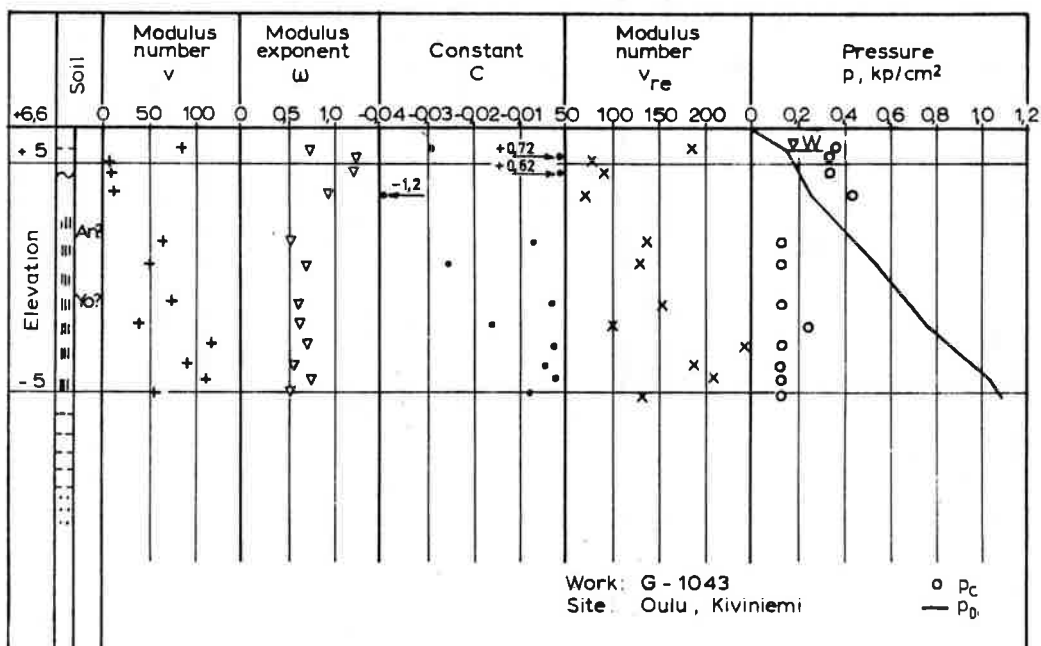
Maapohja on erittäin häiriintymisherkkää. Tämän johdosta määritettyjä lujuus- ja painuma-arvoja ei voida pitää luotettavina. Kerrostuma on monin paikoin huomattavan sensitiivistä.



Kuva 77. Siitepölystö ja kemialliset määritykset.



Kuva 78. Luokitus- ja lujuusominaisuudet.



Kuva 79. Painumisominaisuudet.

3.27 Peräseinäjoki

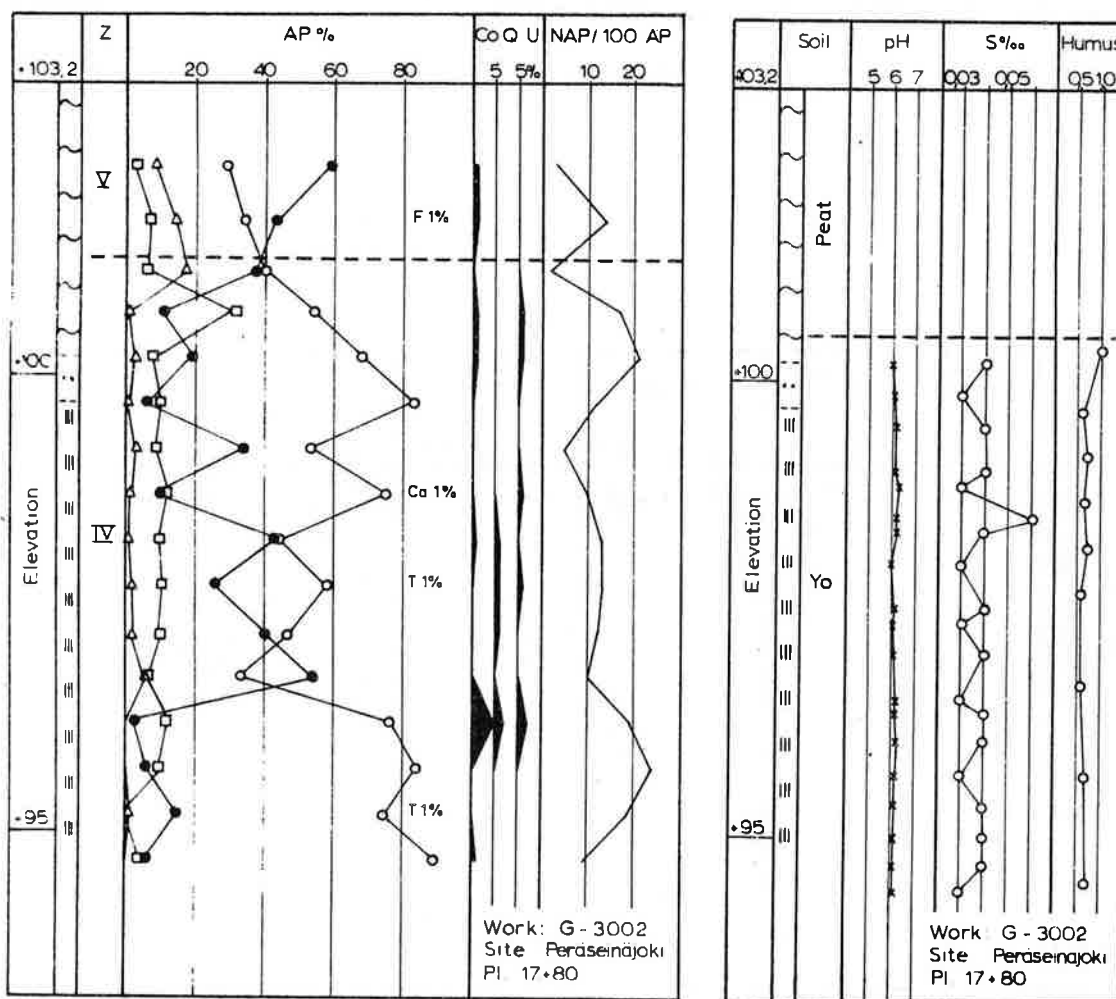
$x = 693784$

$y = 24^{\circ}/45548$

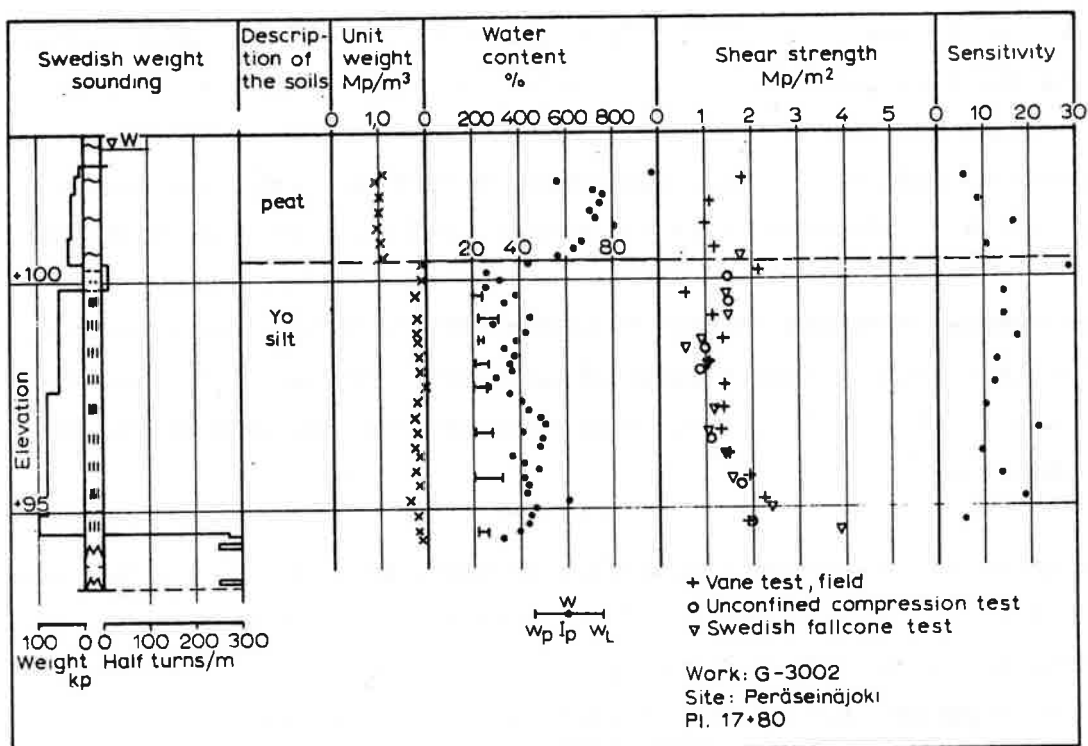
Näytesarja on otettu huhtikuussa 1969 Kalajärven tekoaltaan maapadon paalulta 17+80. Kohde sijaitsee matalien moreenikumpujen välisellä suoalueella, jossa maanpinnan korkeus on noin +103 m.

Turvekerroksen paksuus on näytesarjan kohdalla 2,8 m. Tämän alapuolella on noin 0,5 m paksu hiekkakerros, jonka alla on 5,5 m paksu hiesukerros. Hiesun savipitoisuus vaihtelee noin 10...20 prosenttiin ja siinä esiintyy hyvin heikkoa kerralisutta. Siitepölytutkimuksen sekä sedimentin rakenteen perusteella kerros on sedimentoitunut Yoldiakautena. Sen päällä oleva turvekerros edustaa sekä Yoldia- että Ancyluskautista kerrostumaa.

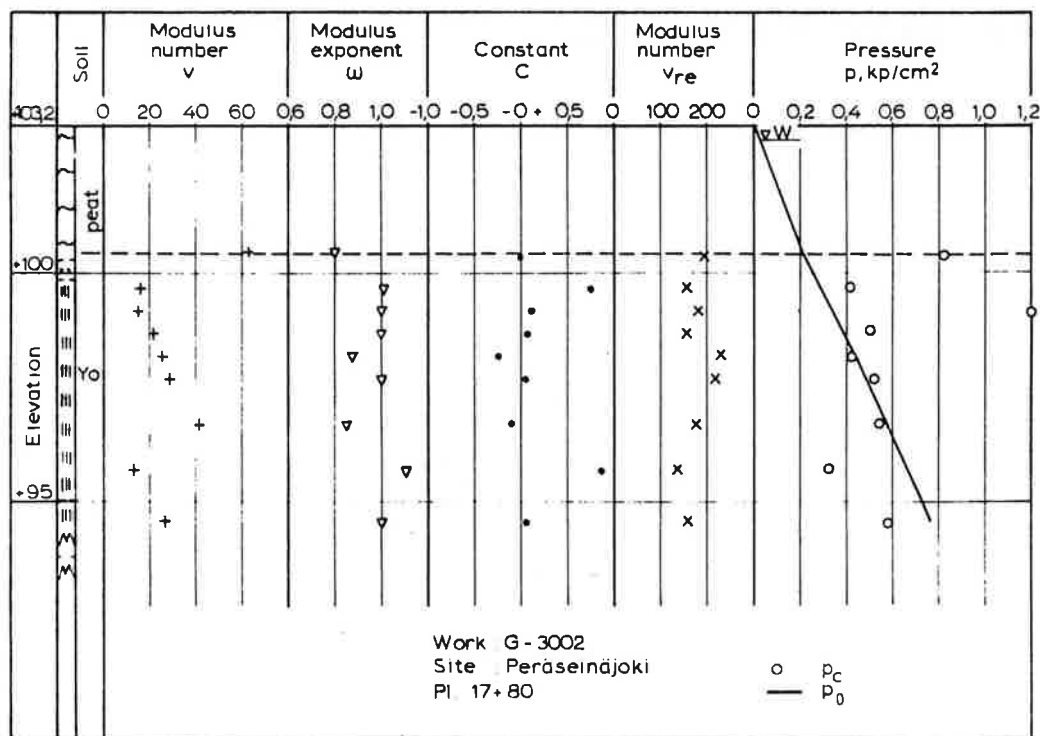
Hiesukerros on normaalisti konsolidoitunutta. Kerroksen sensitiivisyys on kohtalaisten suuri, mikä on vaikuttanut epäedullisesti mm. painumakokeiden luotettavuuteen.



Kuva 80. Siitepölystö ja kemialliset määritykset.



Kuva 81. Luokitus- ja lujuusominaisuudet.



Kuva 82. Painumisominaisuudet.

3.28 Pori

x = 681986

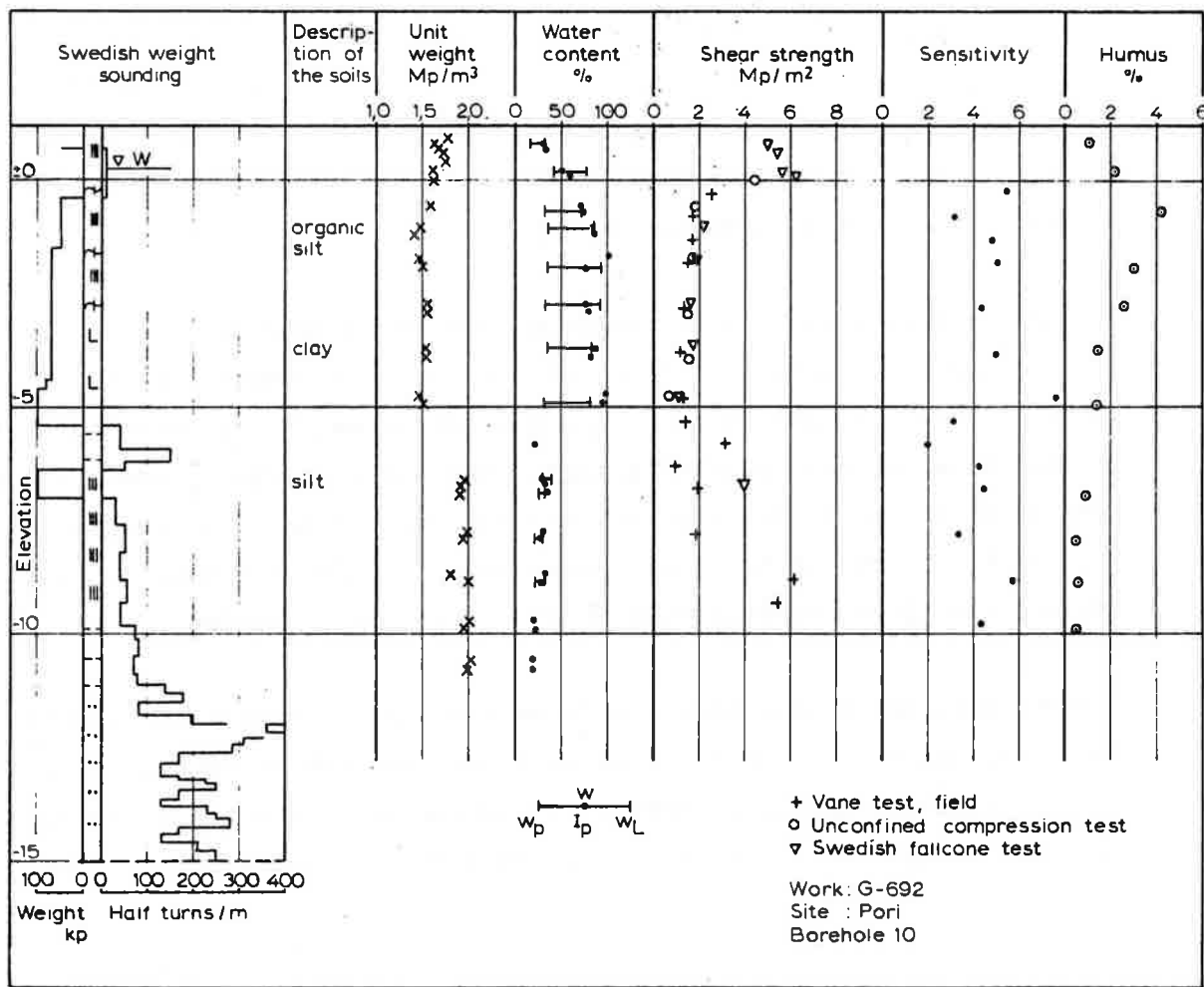
y = 21°/54378

Tutkittu näyttesarja on otettu syyskuussa 1966 Porin keskustan itäpuolella olevalta teollisuusalueelta. Piste sijaitsee noin 700 m Kokemäenjoen eteläpuolella. Maasto on tutkimuskohteessa ja sen lähialueella hyvin alavaa, maanpinnan korkeus on noin +2...+4 m. Tutkimuspisteessä on maanpinnan korkeus +1,4 m. Näytteistä ei ole suoritettu siitepöly- eikä huokosvesimääritystä.

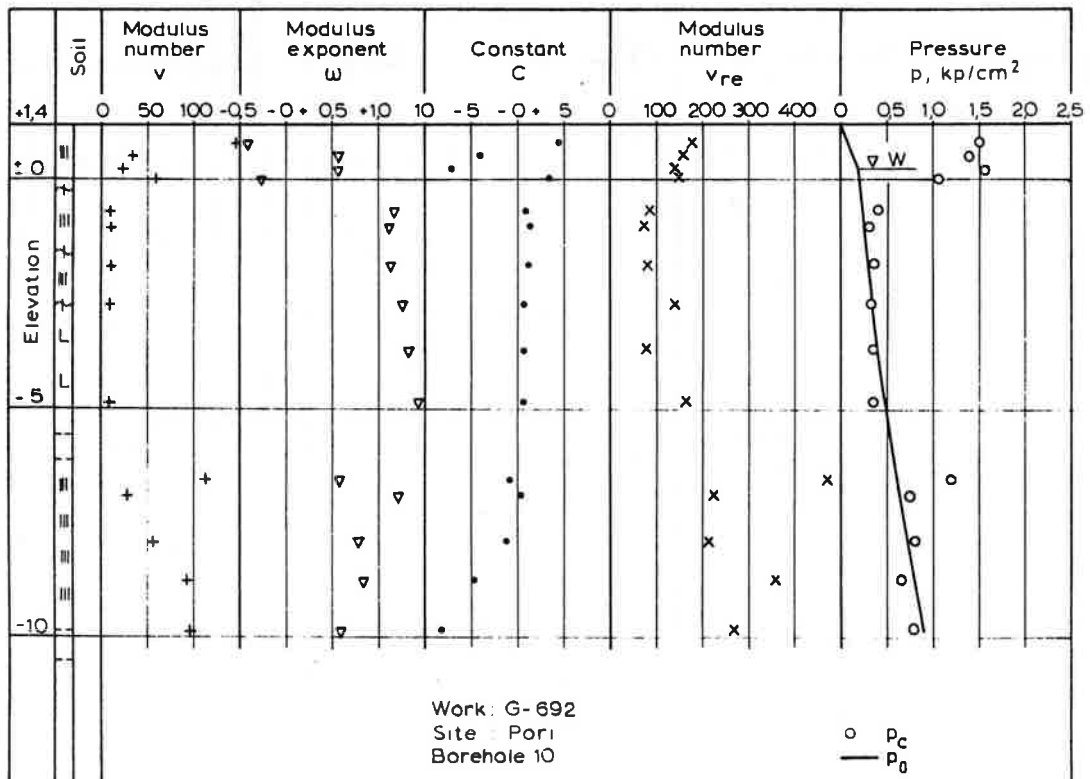
Kerrossarjan pintaosa on noin neljän metrin syvyyteen maanpinnasta lukien humuspitoista hiesua. Tämän humuspitoisuus vaihtelee noin 2...4 prosenttiin, savipitoisuus on 15...25 %. Humuspitoisuuden perusteella tämä kerros edustaa Litorina-sedimenttiä.

Humuspitoisen kerroksen alapuolella on kaksi metriä paksu savikerros, jossa savipitoisuus vaihtelee noin 45...80 prosenttiin. Saven alapuolella on hiesua ja hietaa kuuden metrin paksuudelta. Pohjaosistaan kerrostuma muuttuu hiekaksi. Savi-hiesukerros edustanevat Yoldia-Ancylus sedimenttejä.

Humuspitoisen pintakerroksen ja savikerroksen geoteknilliset ominaisuudet poikkeavat jyrkästi niiden alapuolisista hiesuvaltaisista kerroksista. Kerrosten ero ilmenee sekä lujuus- että painumaominaisuksissa. Ödometrikokeiden mukaan kerrossarja on normaalisti konsolidoitunutta. Hiesupitoisen pohjaosan konsolidaatiokerroimen ( $c_v$ ) arvot ovat noin  $3\cdots4 \times 10^{-3} \text{ cm}^2/\text{s}$ . Pintakeroksissa ovat vastaavat arvot noin  $7\cdots15 \times 10^{-5} \text{ cm}^2/\text{s}$ .



Kuva 83. Luokitus- ja lujuusominaisuudet.



Kuva 84. Painumisominaisuudet.

3.29 Porvoo

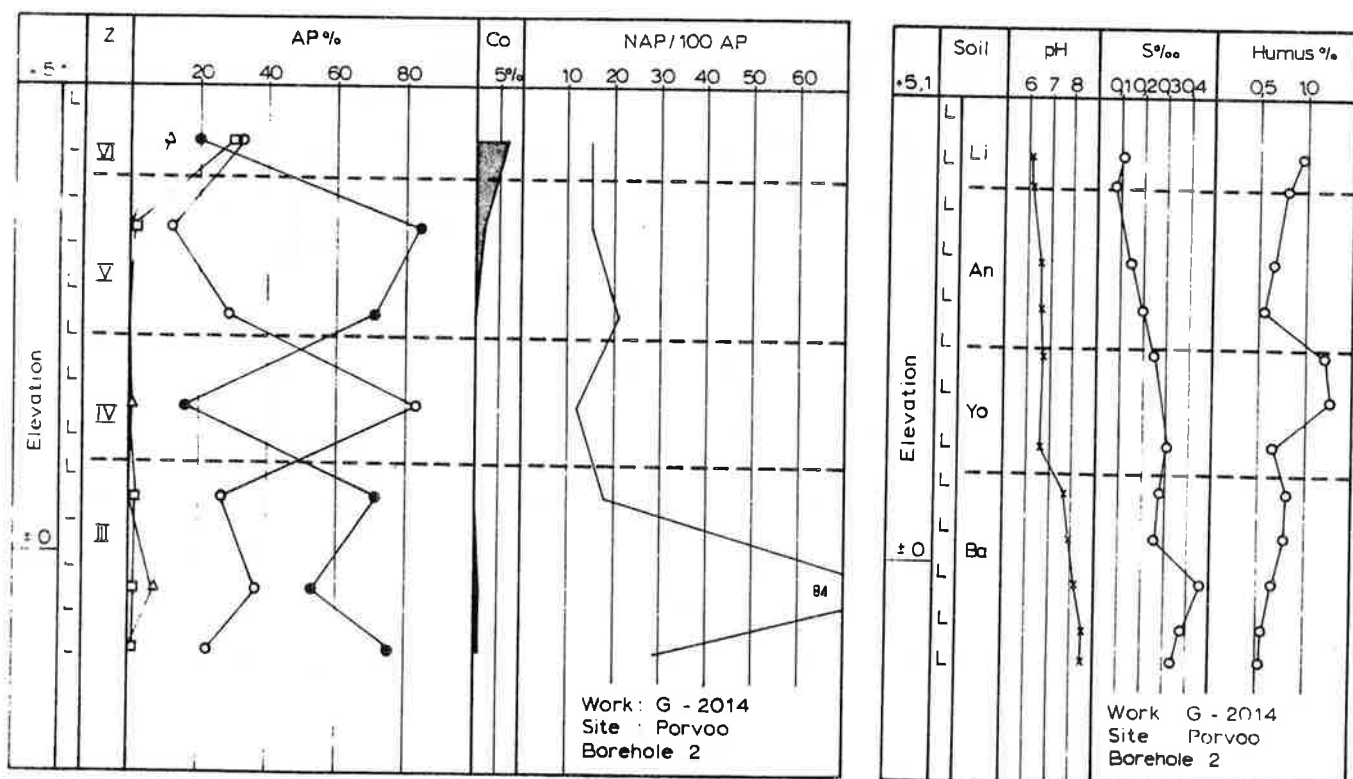
$x = 669822$

$y = 27^{\circ}/42596$

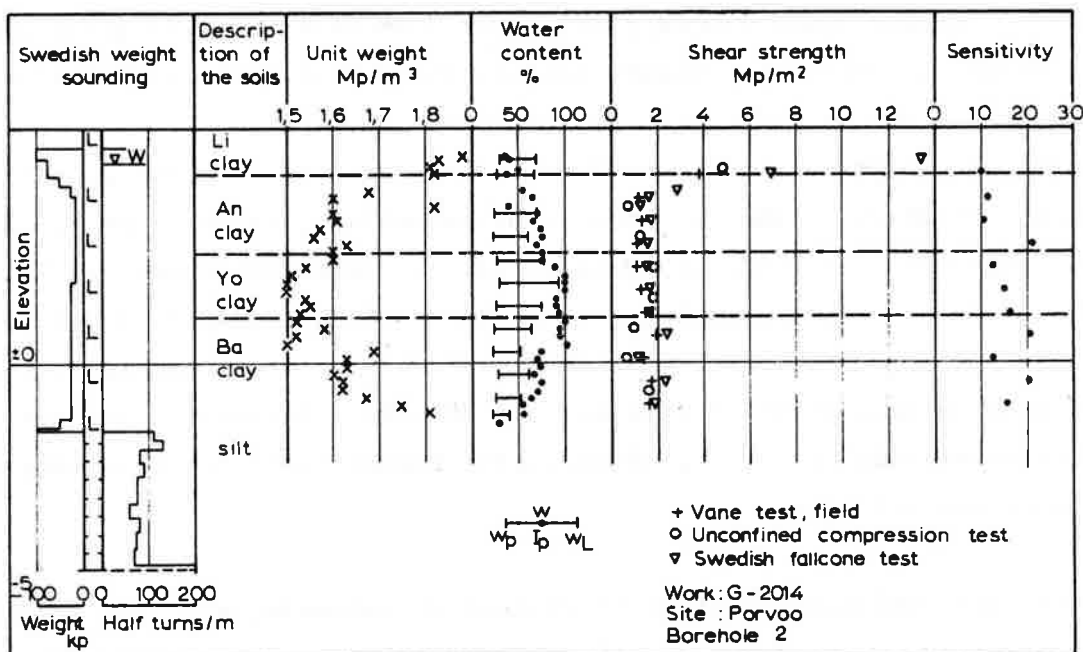
Tutkimuskohde sijaitsee Porvoossa noin 300 m länteen Porvoonjoesta. Alue on peltomaastoa, maanpinnan korkeus on muutamia metrejä + tason yläpuolella. Tutkimukset on suoritettu tammikuussa 1970.

Tutkimuspisteessä oleva hienorakeinen kerrostuma muodostuu savikerroksista, joiden paksuus on noin 6,5 m. Yhden metrin paksuinen kuivakuori on Litorinasedimenttiä. Sen alapuolella on noin 2 m:n paksuinen, homogeeninen Aencylussavi, jossa alaosassa esiintyy sulfidiraitoja. Kerroksen savipitoisuus on noin 45...55 %. Syvemmällä olevan Yoldiasaven paksuus on noin 1,5 m. Sen savipitoisuus on noin 70...80 %. Kerros on heikosti symmiktinen. Pohjaosa muodostuu Baltian jääjärvien savesta, jossa kerrallisuus voimistuu pohjaosaa kohden.

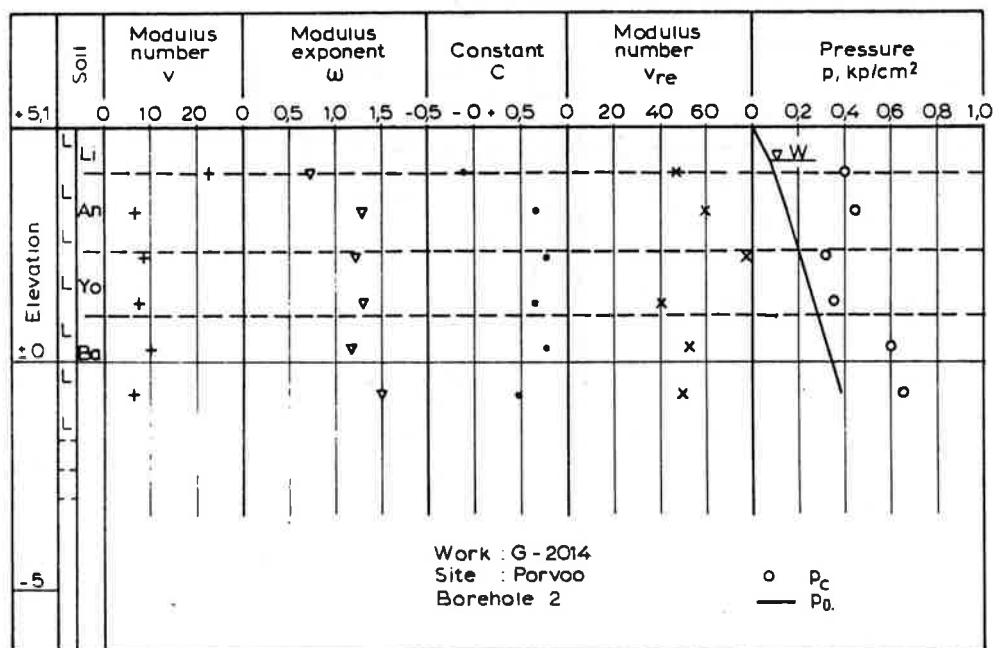
Ödometrikokeiden mukaan kerrossarja on lievästi ylikonsolidoitunutta. Kuivakuoren alapuolella olevan pehmeän saven konsolidaatiokertoimen arvot ovat noin  $3\cdots 6 \times 10^{-5} \text{ cm}^2/\text{s}$ . Kuivakuorta sekä karkearakeisempää pohjaosaa lukuun ottamatta eivät eri geologiset kerrokset poikkea geoteknisesti merkittävästi toisistaan.



Kuva 35. Siitepölystö ja kemialliset määritykset.



Kuva 86. Luokitus- ja lujuusominaisuudet.



Kuva 87. Painumisominaisuudet.

3.30 Raisio, Autolava

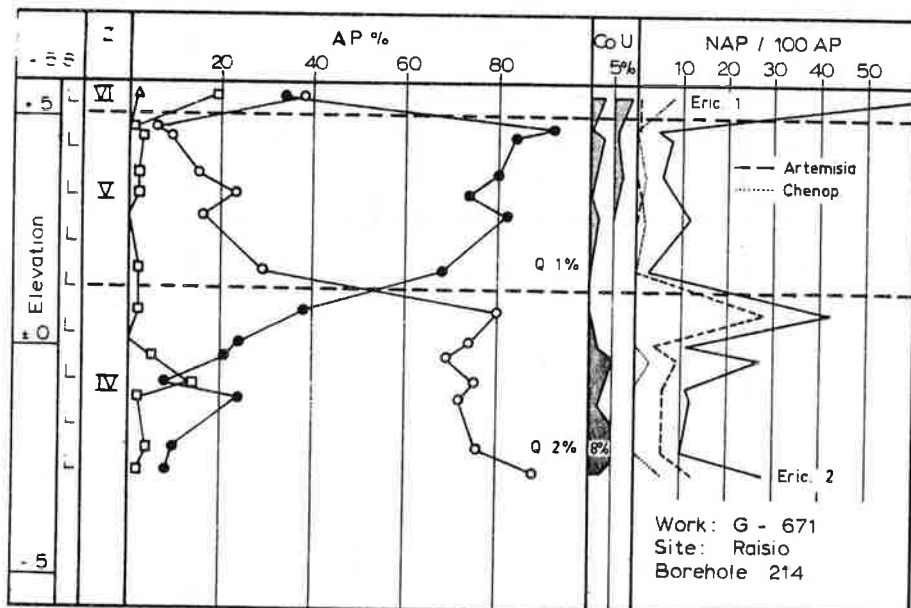
x = 670746

y = 21°/56308

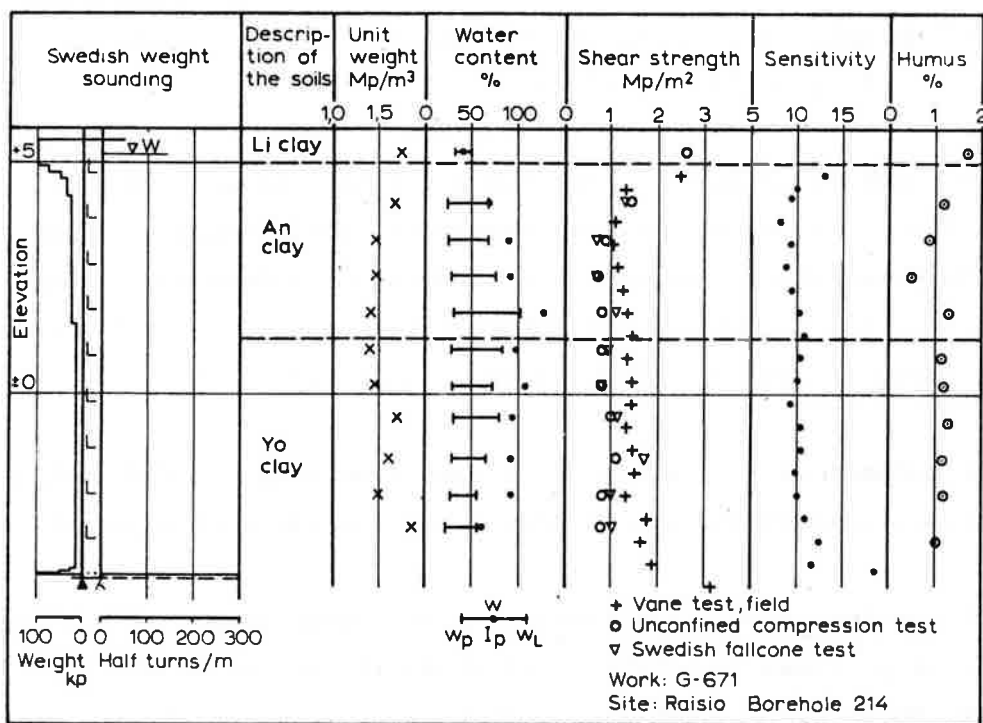
Näytesarja on otettu lokakuussa 1966 Autolavan alueelta pistestä 214. Alue sijaitsee Raisonlahden läheisyydessä noin 1 km pistestä 211 pohjoiseen. Maasto on laakeata laaksomuodostumaa, maanpinnan korkeus on noin +4...+6 m.

Savikerrostuman paksuus on noin 10 m. Aivan pintaosassa esiintyy noin 70 cm paksu Litorinasavi. Tämä on ainoa litorinakautinen kerros, joka on tavattu Raison alueelta otetuista näytesarjoista. Varsinainen pehmeä savikerrostuma muodostuu noin 4 m paksusta Aencylussavesta ja tämän alapuolella olevasta, noin 5 m paksusta Yoldiasavesta. Savikerrokset ovat rakenteeltaan lähes homogeenisia. Aencyluskerrostuman savipitoisuus on noin 30...40 % vastaavien arvojen ollessa Yoldiasavessa noin 50...65 %. Huokosveden suolaisuutta ja saviaineksen happamuutta ei ole tutkittu.

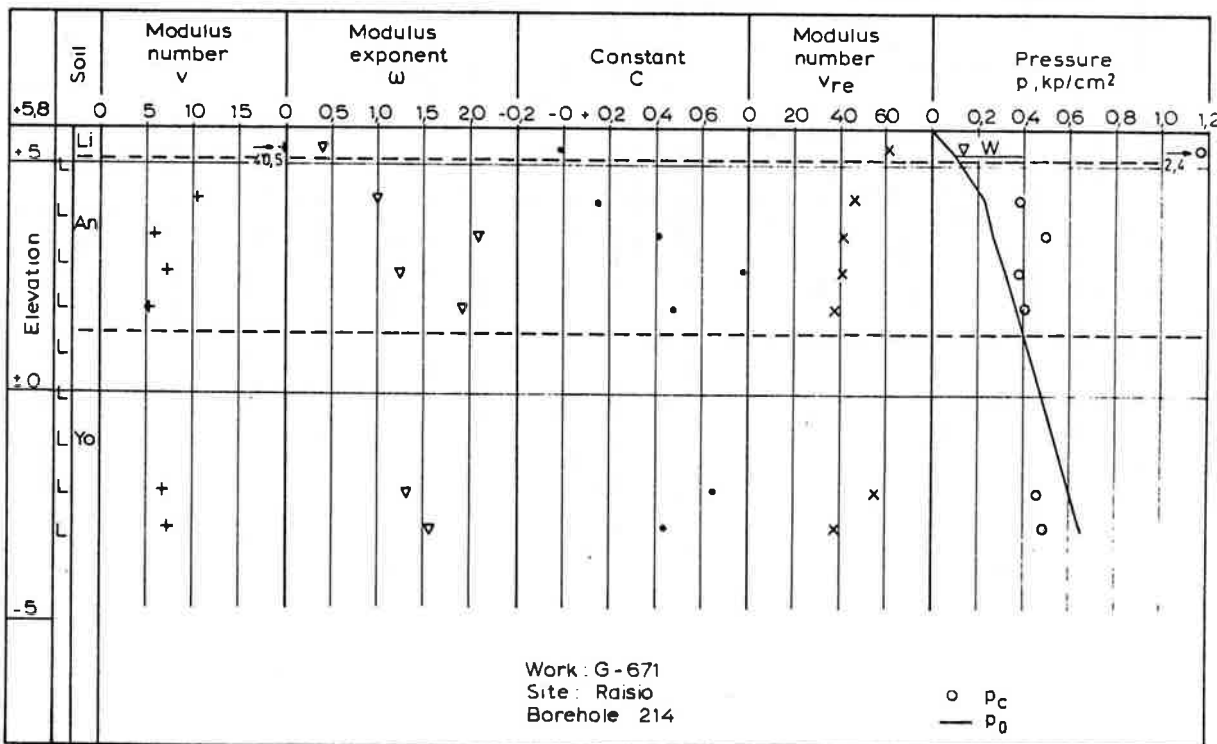
Geoteknisiltä ominaisuuksiltaan kerrostuma on homogeninen. Sen vesipitoisuus on huomattavan suuri (noin 100 %) sensitiivisyyden ollessa noin 10. Kerrostuma on normaalisti konsolidoitunut  $c_v$ -arvojen ollessa noin  $8\cdots20 \times 10^{-5} \text{ cm}^2/\text{s}$ . Mainitut arvot ovat tyypillisiä koko Raison alueen savikerrostumille.



Kuva 88. Siitepölystö.



Kuva 89. Luokitus- ja lujuusominaisuudet.



Kuva 90. Painumisominaisuudet.

3.31 Raisio, Krookila

$x = 670656$

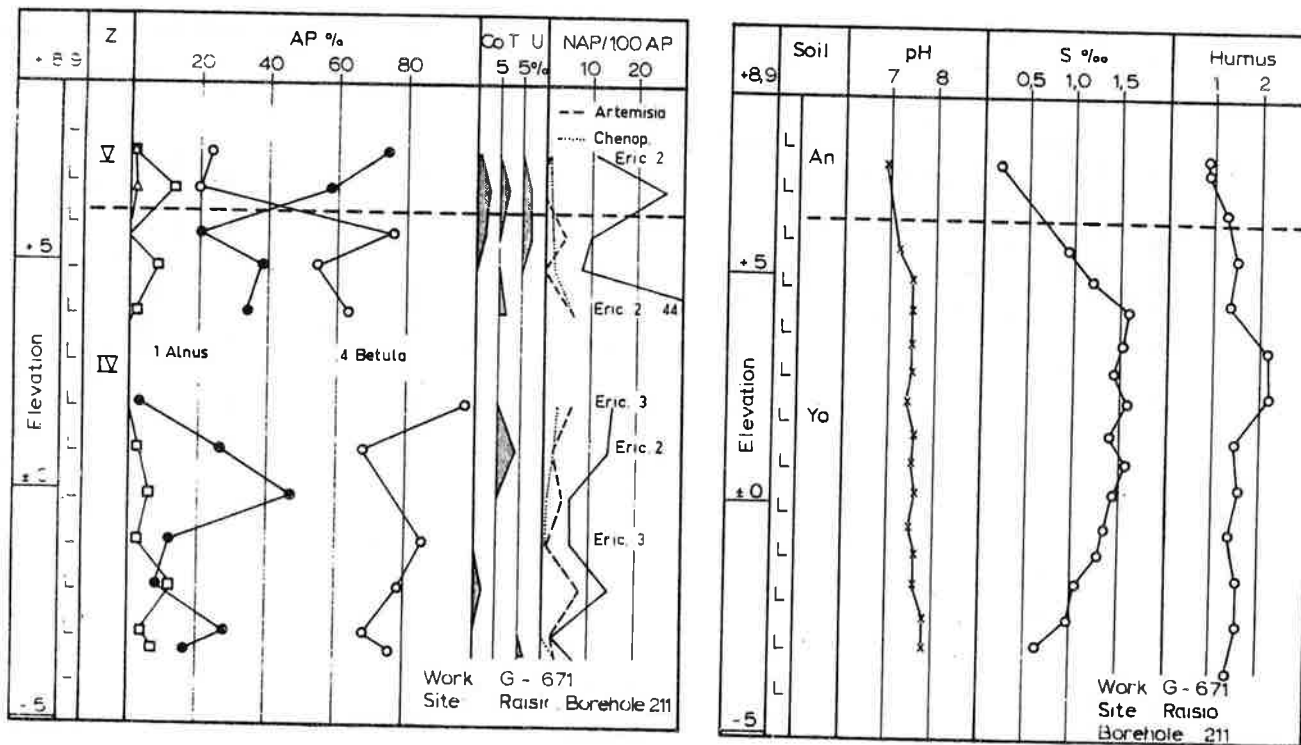
$y = 21^{\circ}/56308$

Näyttesarja on otettu helmikuussa 1969 Krookilan pientaloalueelta pistestä 211. Kohde sijaitsee kalliomäkiä välisessä, noin 600 m leveässä painanteessa. Maanpinnan korkeus on alueella +9...+10 m.

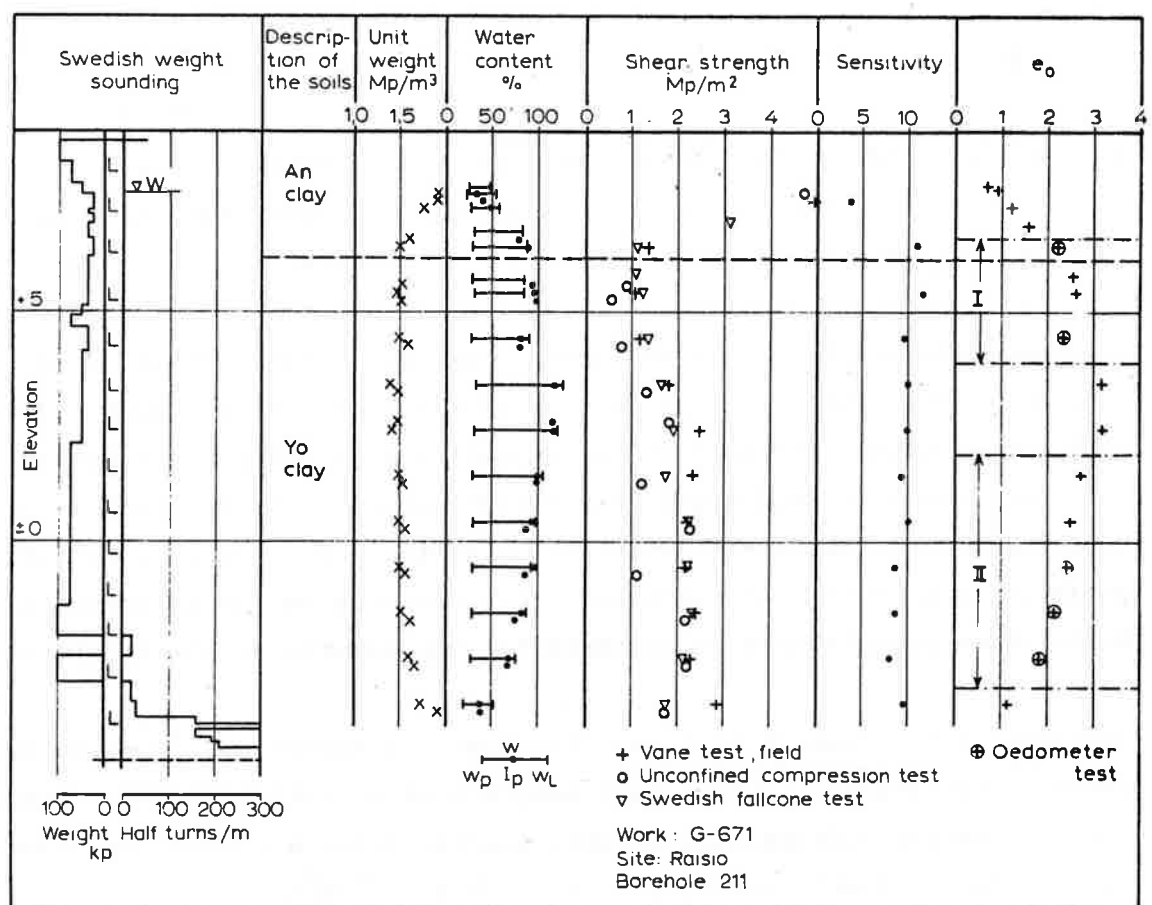
Tutkimuspisteessä on sedimenttikerrostuman kokonaispaksuus noin 13 m. Kerrostuman yläosa (noin 3 m) muodostuu Aencylussavesta, jonka savipitoisuus vaihtelee noin 40...70 prosenttiin. Syvempi osa muodostuu Yoldiasavesta. Tämän savipitoisuus on 70...90 %. Kerrokset ovat rakenteeltaan homogeenisia lukuun ottamatta pohjaosaa, jossa esiintyy heikkoa symmiktistä kerrallisuutta.

Yoldiasaven huokosveden suolaisuus on huomattavan suuri. Tämä selittyy kuitenkin sedimentoitumisajankohdasta sekä alueen maantieteellisestä sijainnista.

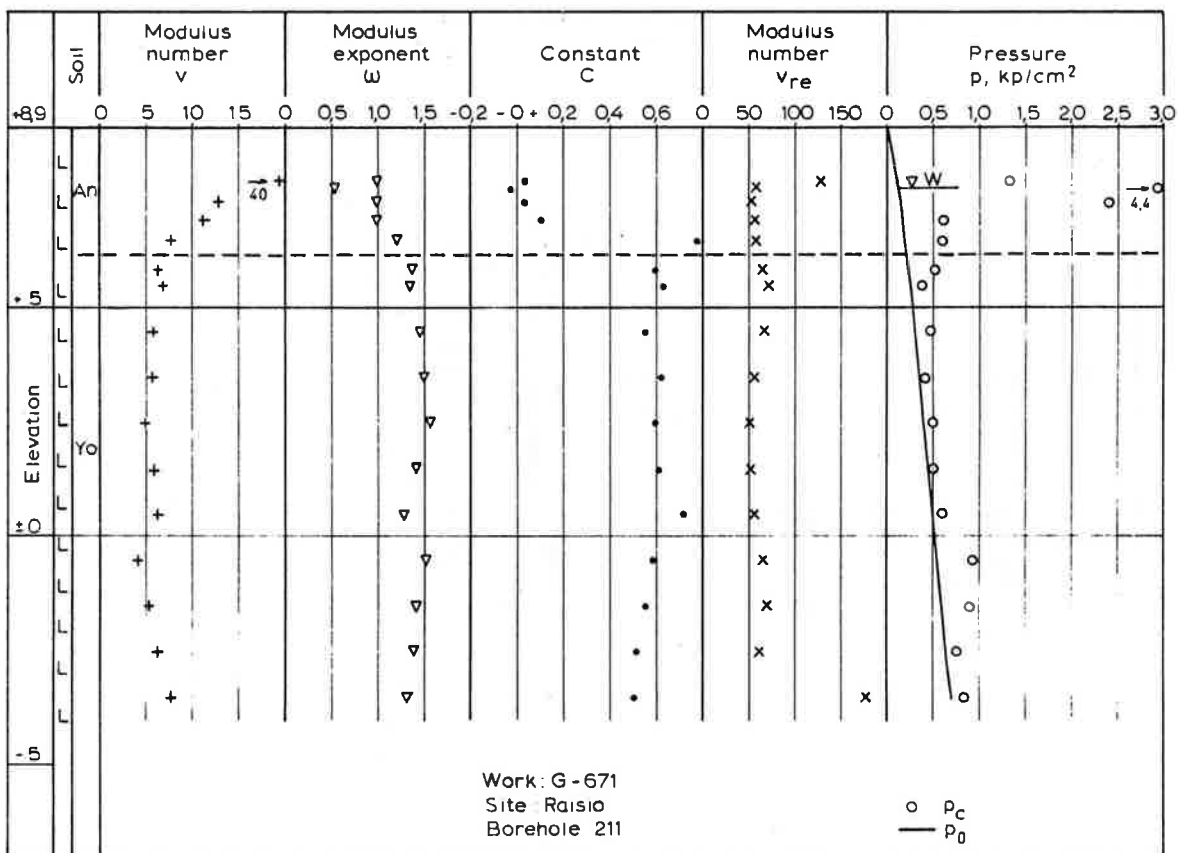
Geoteknisiltä ominaisuuksiltaan kerrostuma on homogeninen. Puristuskokeella mitattu lujuus poikkeaa kuitenkin osittain muilla menetelmillä mitatuista arvoista. Kerrostuma on normaalisti konsolidoitunut  $c_v$ -arvojen ollessa noin  $2\cdots 10 \times 10^{-5} \text{ cm}^2/\text{s}$ .



Kuva 91. Siitepölystö ja kemialliset määritykset.



Kuva 92. Luokitus- ja lujuusominaisuudet.



Kuva 93. Painumisominaisuudet.

3.32 Raisio, Ristimäki

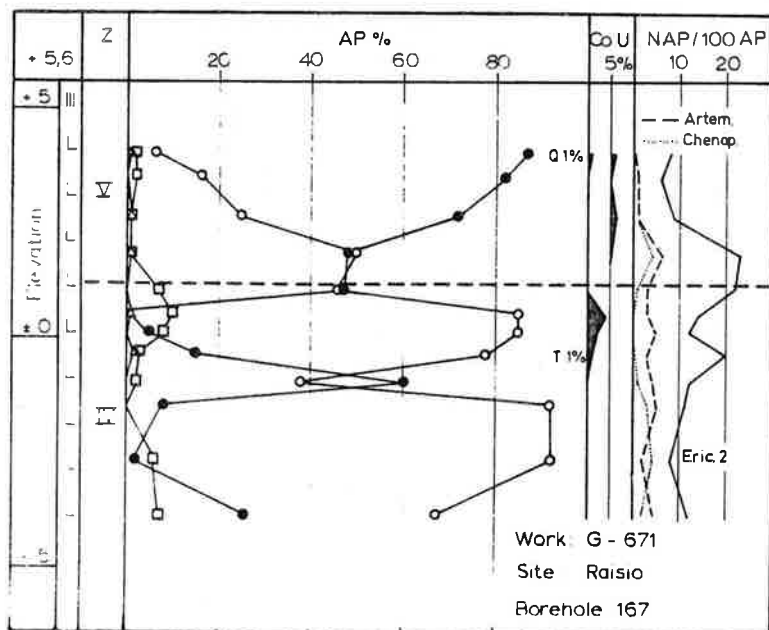
x = 670924

y = 21°/56168

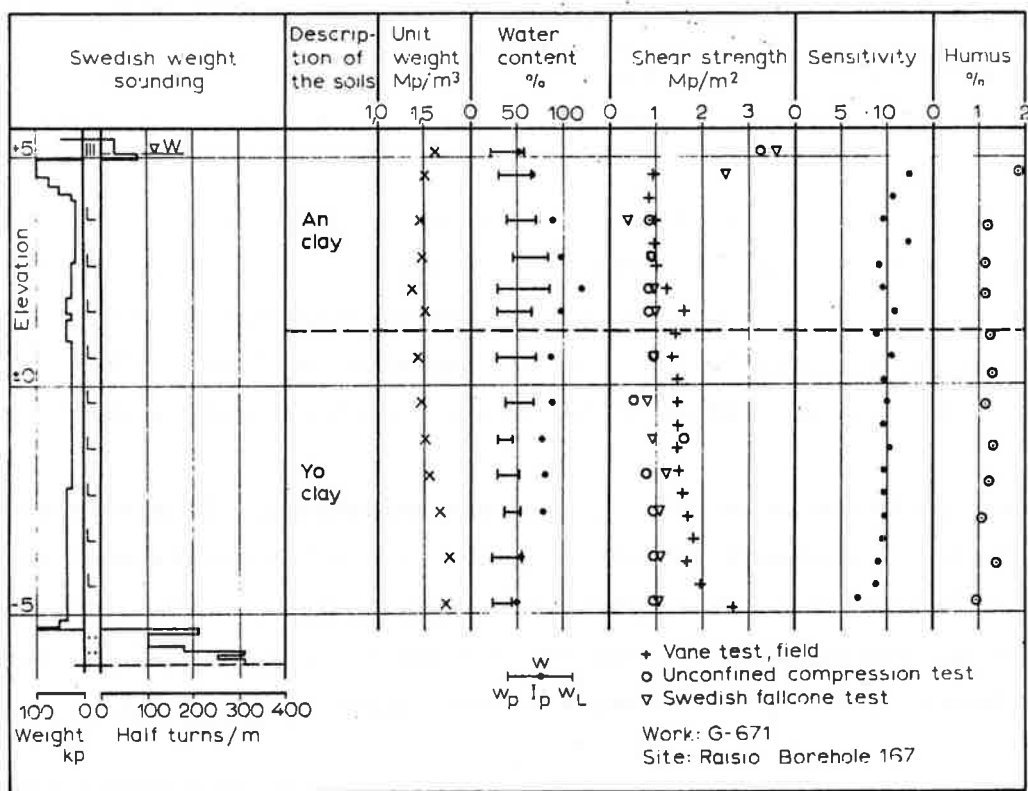
Näytesarja on otettu heinäkuussa 1966 pistestä 167 Raision Ristimäestä. Kohde sijaitsee Raisonlahden jatkeena olevassa pohjois-eteläsuuntaisessa savilaaksossa. Maanpinnan korkeus on laaksossa muutamia metrejä + tason yläpuolella.

Hienorakeisen sedimenttisarjan kokonaispaksuus on tutkimuspisteessä noin 11 m. Tämä muodostuu noin 4,5 m paksusta Aencylussavesta sekä sen alapuolella olevasta Yoldiasavesta. Savikerrostuman alapuolella esiintyy hiekkaisista maalajista. Sekä Aencylus- että Yoldiasavi ovat rakenteeltaan käytännöllisesti katsoen homogenisia. Aencyluskerroksessa vaihtelee savipitoisuus ohuen pintakerroksen alapuolella noin 50...85 prosenttiin. Yoldiasavessa on savipitoisuus noin 60...80 %. Huokosveden suolaisuutta ja saviaineksen happamuutta ei ole tutkittu.

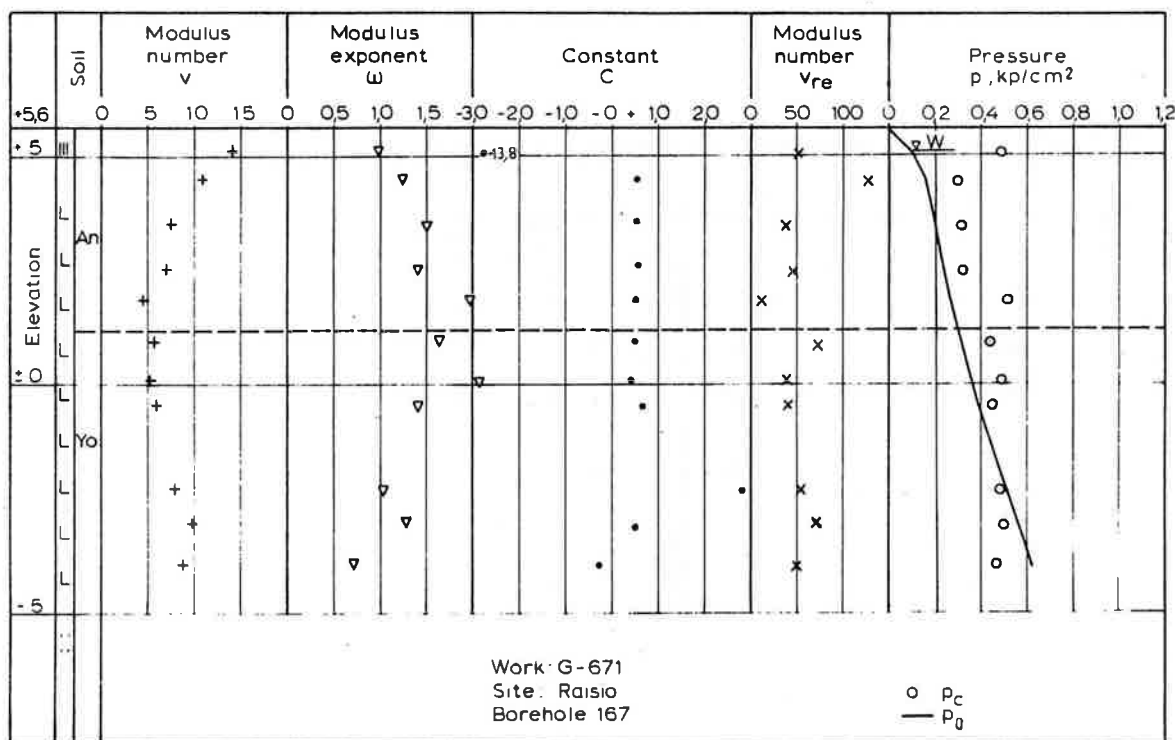
Geoteknisesti kerrokset edustavat homogenista maapohjaa, joten tuloksia voidaan pitää luotettavina. Lujuudeltaan maapohja on erittäin pehmeää. Kerrostuman yläosa on lievästi ylikonsolidoitunutta alaosan ollessa normaalisti konsolidoitunutta. Konsolidaatiosuhteet ovat  $1\cdots 4 \times 10^{-4} \text{ cm}^2/\text{s}$ .



Kuva 34. Siitepölystö.



Kuva 95. Luokitus- ja lujuusominaisuudet.



Kuva 96. Painumisominaisuudet.

3.33 Raisio, Siirinpelto

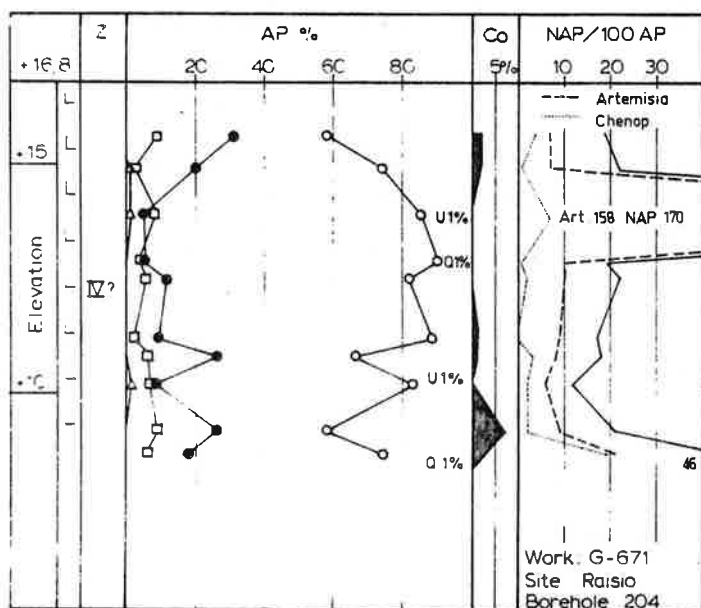
x = 670768

y = 21°/56498

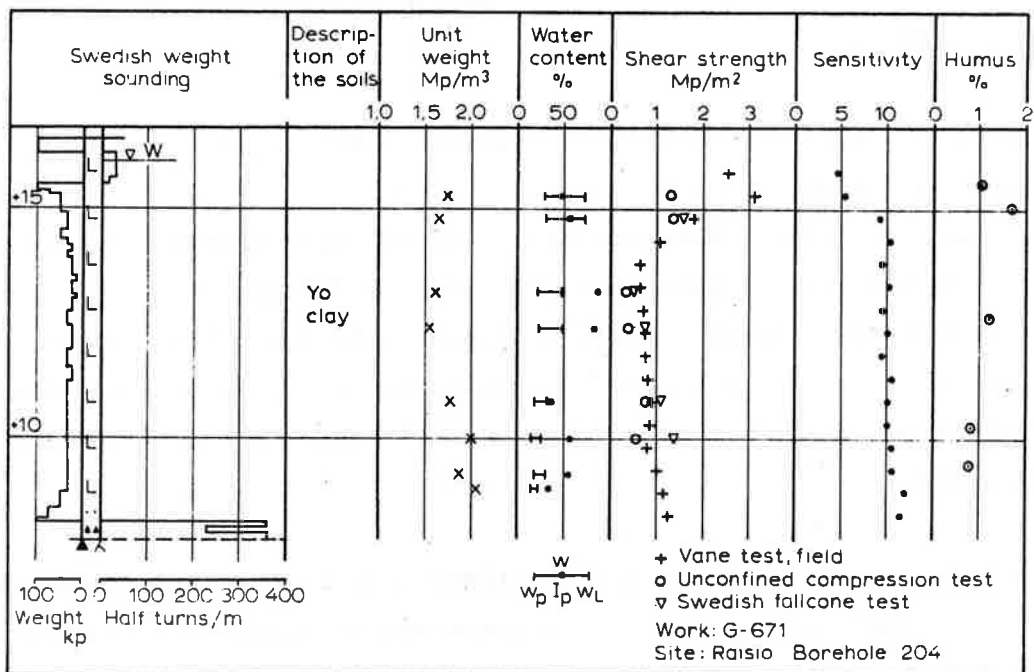
Näytesarja on otettu syyskuussa 1966 Raison Siirinpellon alueelta pisteestä 204. Tutkimuspiste sijaitsee pinnaltaan lähes tasaisen savialueen liepeessä noin 30 m:n etäisyydellä kalliorinteesta. Maanpinnan korkeus on tutkimuskohteessa noin +17 m.

Tutkimuspisteessä on savikerrostuman kokonaispaksuus noin 8,5 m. Tämä on kokonaisuudessaan rakenteeltaan homogenista Yoldiasavea. Savipitoisuus on noin 5,5 m:n syvyyteen 65...75 %. Pohjaosassa savipitoisuus vaihtelee noin 40...50 prosenttiin. Huokosveden suolaisuutta ja saviaineksen happamuutta ei ole tutkittu. Noin 6 m:n syvyydestä otetusta näytteestä on tavattu 2-3 cm suuruinen hiekkakivikappale.

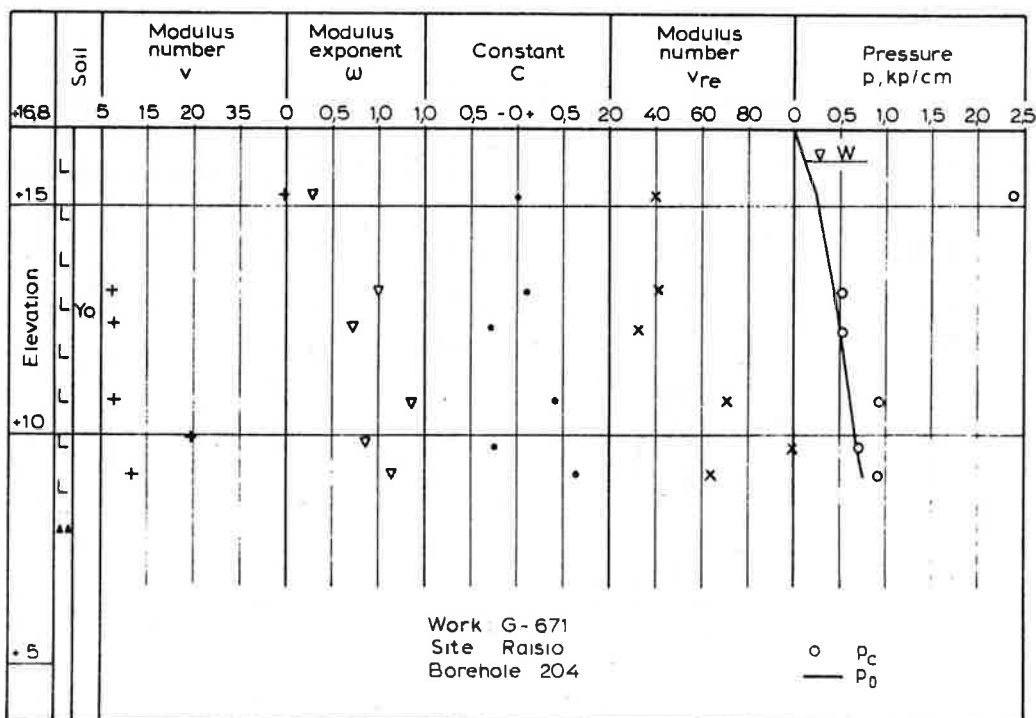
Kerrostuman pintaosassa on noin 1,5 m paksu kuivakuori. Tämä alueeseen nähdyn suhteellisen paksu kuivakuori johtunee pisteen sijainnista savialueen reunassa. Kuivakuoren alla savi on erittäin pehmeätä. Kerrostuma on normaalisti konsolidoituutta, konsolidatiokertoimet ovat pääosiltaan  $1\ldots 2 \times 10^{-4} \text{ cm}^2/\text{s}$ . Saven homogenisuuden vuoksi geoteknisiä tuloksia voidaan pitää luotettavina.



Kuva 97. Siitepölystö.



Kuva 98. Luokitus- ja lujuusominaisuudet.



Kuva 99. Painumisominaisuudet.

3.34 Riihimäki

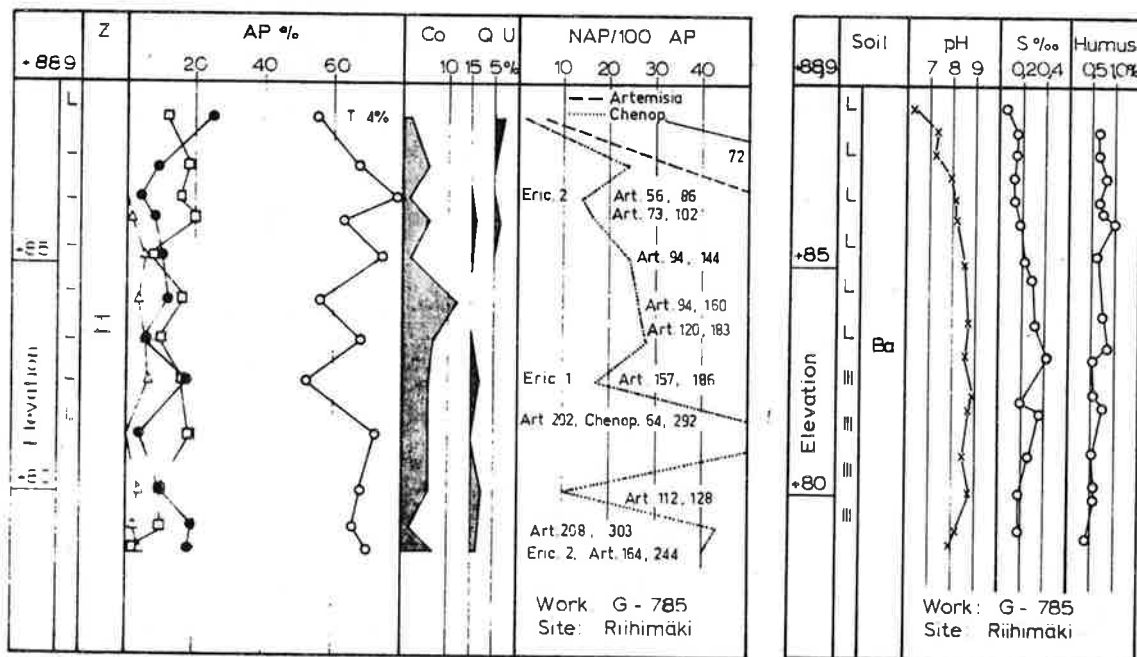
x = 673814

y = 24°/54160

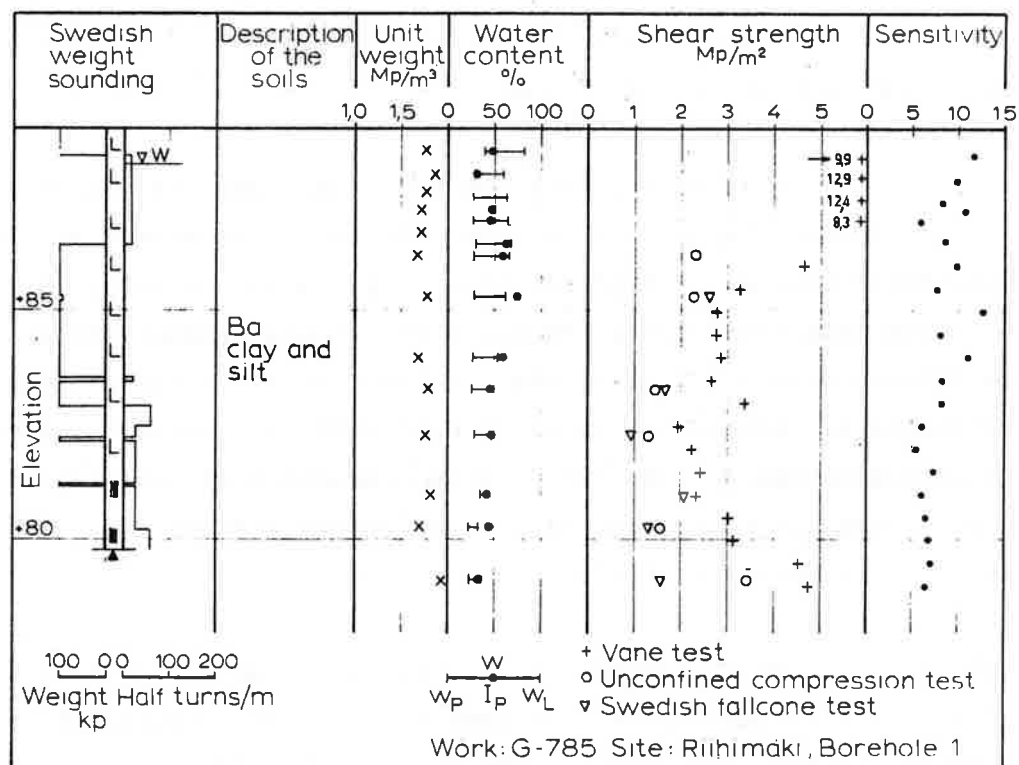
Tutkimuskohde sijaitsee Riihimäen keskustasta noin 1,5 km pohjoiseen olevalla saavutasanteella, jossa maanpinnan korkeus on noin +90 m. Näytesarja on otettu marraskuussa 1967.

Tutkimuspisteessä on sedimenttikerrostuman kokonaispaksuus noin 9,5 m. Maalaji on savea ja hiesua, savipitoisuus vaihtelee noin 25...45 prosenttiin. Sedimentissä esiintyy tyypillinen lustosaven kerrallinen rakenne. Tuoreissa näytteissä esiintyy paikallisesti punertavaa värisävyä. Siitepölystö sekä kerrallinen rakenne osoittavat aineksen sedimentoituneen pääasiassa Baltian jäätärveen. Siitepölystössä kiinnitetyt huomio sekundäärisenä pidettävien Coryluksen ja Alnuksen suureen määrään. Huokosveden vähäinen suolaisuus vastaa oletettuja sedimentoitumisolosuhteita.

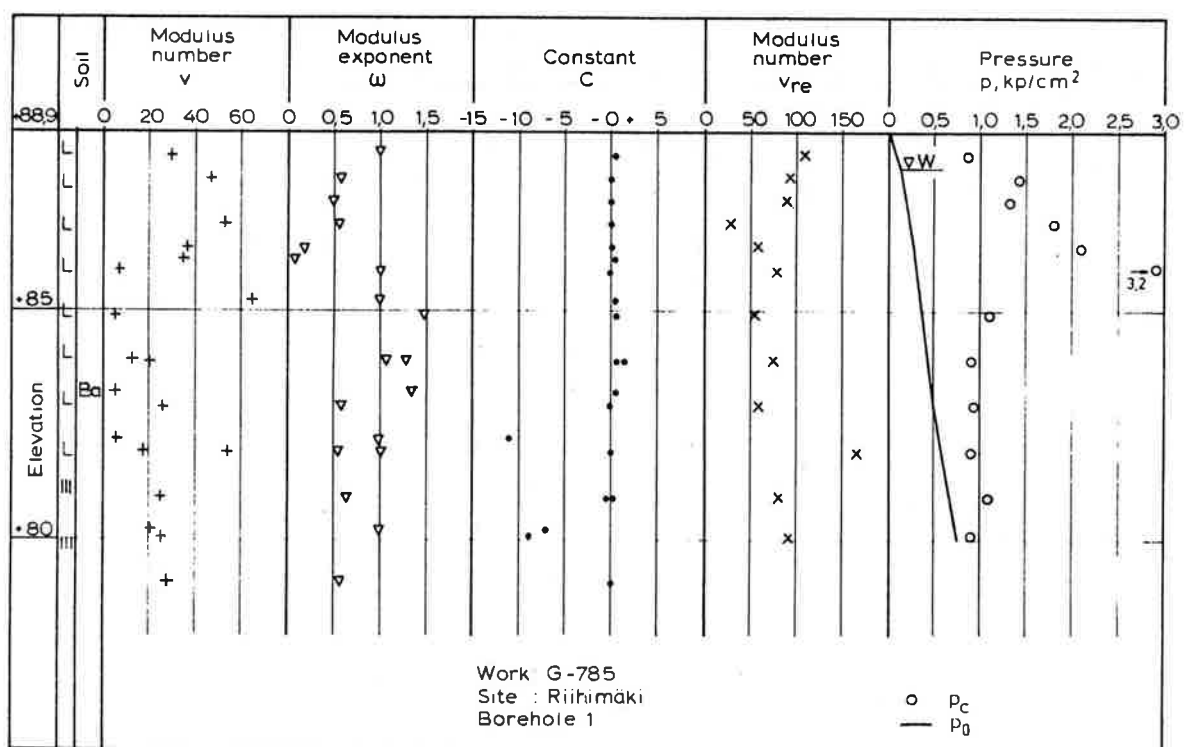
Pintaosassa on voimakkaasti ylikonsolidoitunut kuivakuori, jonka paksuus on 2,5...3 m. Myös kuivakuoren alapuolin osa on ödometrikokeiden mukaan ylikonsolidoitunutta. Konsolidaatiokertoimen arvot ovat tässä osassa noin  $1\cdots 5 \times 10^{-3} \text{ cm}^2/\text{s}$ . Kerrallinen rakenne aiheuttaa hajontaa lujuusarvoihin.



Kuva 100. Siitepölystö ja kemialliset määritykset.



Kuva 101. Luokitus- ja lujuusominaisuudet.



Kuva 102. Painumisominaisuudet.

3.35 Ryttylä

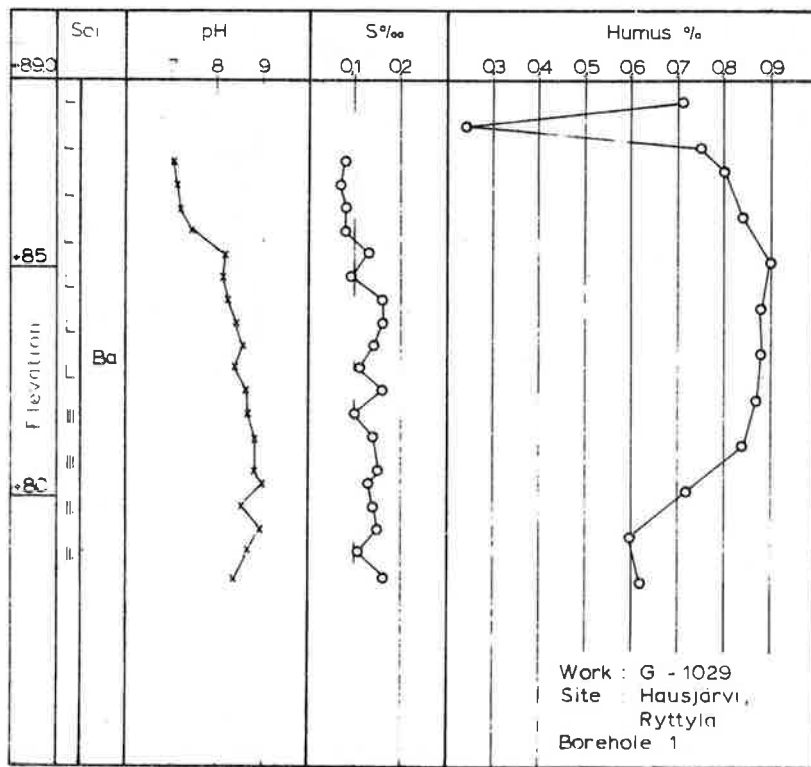
x = 674492

y = 24°/54264

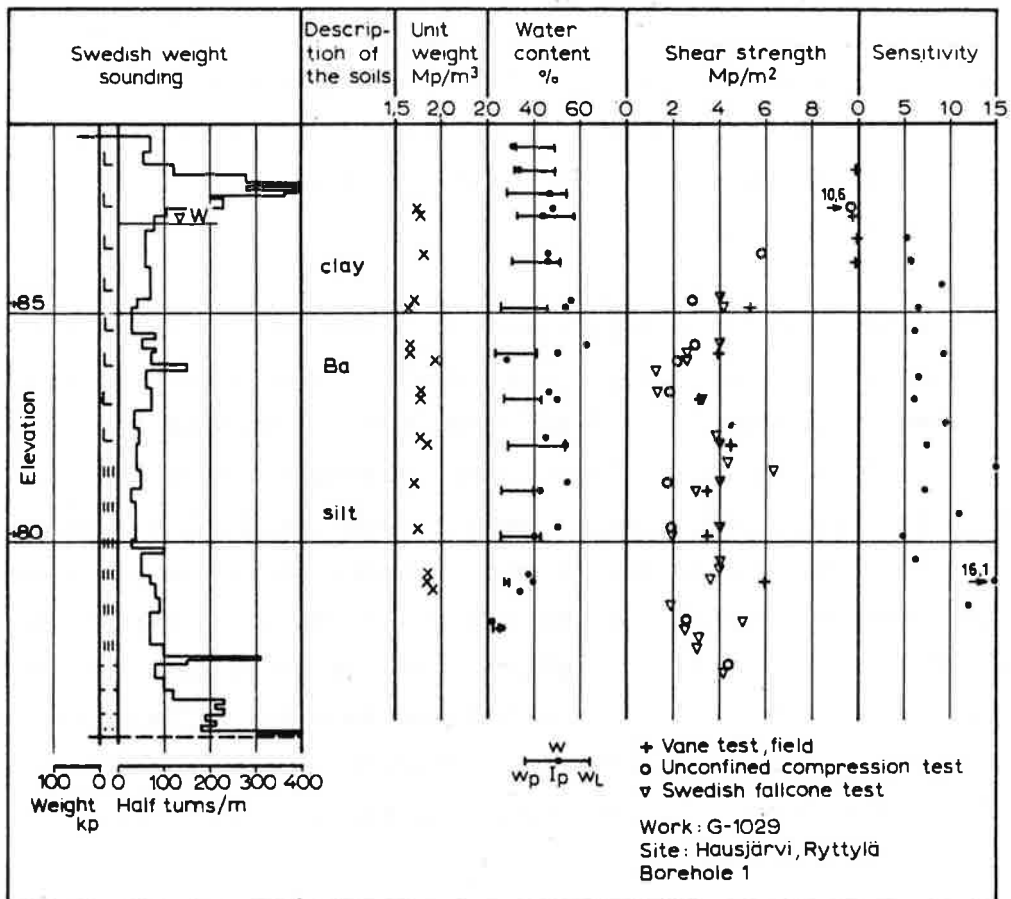
Näytesarja on otettu lokakuussa 1970 Ryttylän keskustasta noin 1,5 km itään olevalta peltoalueelta. Tämä muodostuu kahden harjuselänteen välisestä tasanteesta, jossa maanpinnan korkeus on noin +90 m.

Tutkimuspisteessä kerrostuma muodostuu savi-hiesukerroksista, joiden yhteispaksuus on noin 12 m. Näiden alapuolella esiintyy hietaa. Kerrostuman yläosassa savipitoisuus vaihtelee noin 25...40 prosenttiin. Syvemmällä on savipitoisuus 10...20 %. Pinnasta lukien noin 5 m:n syvyyteen esiintyy heikkoa symmiktistä kerrallisuutta pohjaosan ollessa selvästi diataktista. Paikoin esiintyy kerrallisuudessa heikkoa häiriintymistä. Aineksessa on ollut niin vähän siitepölyjä, ettei niitä ole voitu luotettavasti analysoida. Kerrallisen rakenteen perusteella on todennäköisesti, että aines edustaa pääsiltaan Baltian jäärven sedimenttiä. Osa symmiktisestä pintakerroksesta saattaa olla Yoldiavaiheen aikana sedimentoitunutta.

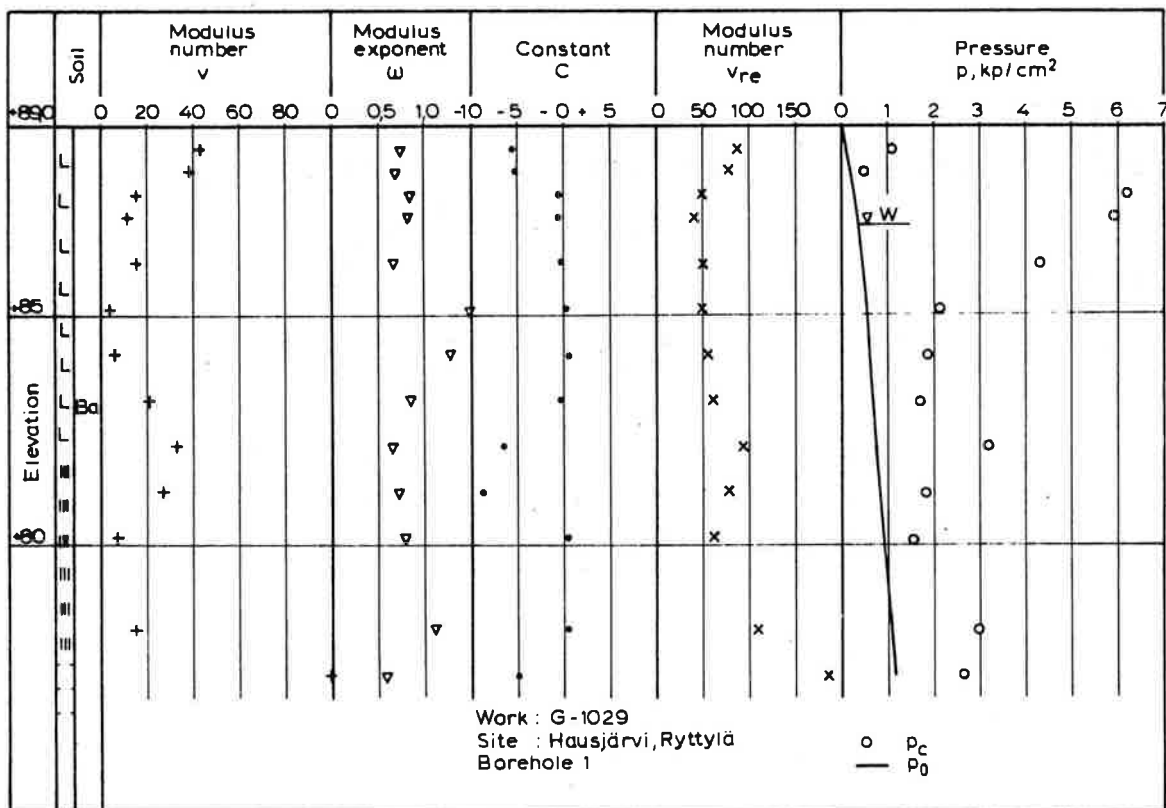
Kerrostuman pinnassa on voimakkaasti ylikonsolidoitunut kuivakuori, jonka paksuus on noin 3 m. Myös kuivakuoren alapuolin osa on ödometrikokeiden mukaan ylikonsolidoitunutta. Kerrallinen rakenne aiheuttaa geoteknisten ominaisuuksien hajontaa.



Kuva 103. Kemiaiset määritykset.



Kuva 104. Luokitus- ja lujuusominaisuudet.



Kuva 105. Painumisominaisuudet.

### 3.36 Saimaan kanava

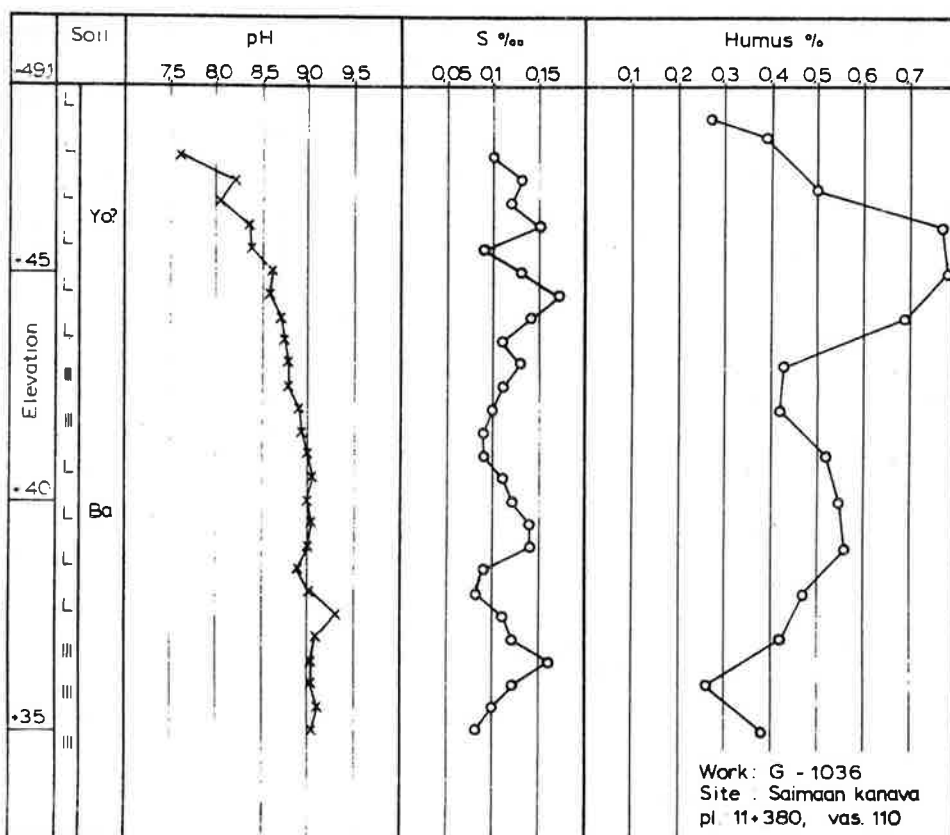
x = 676944

y = 27°/57760

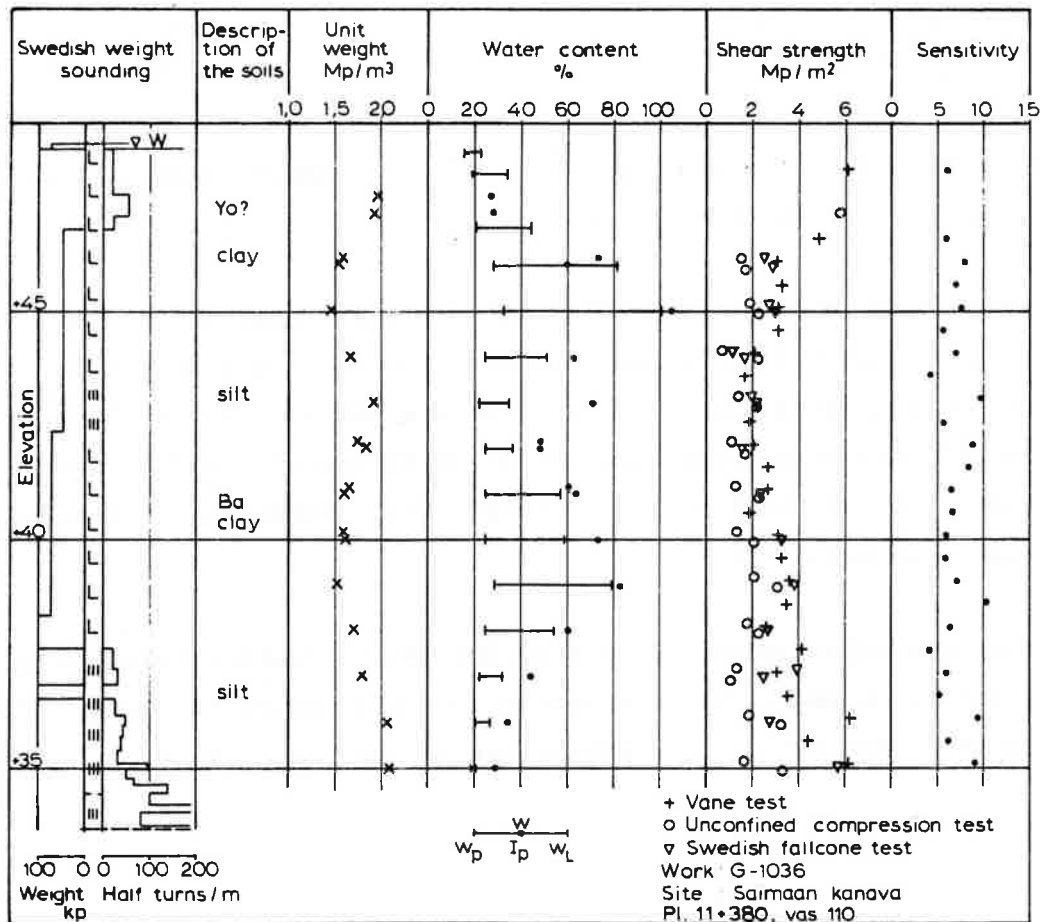
Näytesarja on otettu toukokuussa 1971 Saimaan kanavan rakennusaikaisen linjan paalulta 11+380, vasemmalle 110 m. Piste sijaitsee Tuomojalta noin 1,5 km kaakkoon kanavan itäpuolella. Maasto on tällä kohdalla tasaista peltos, maanpinnan korkeus on noin +49...50 m.

Tutkimuspisteessä esiintyy savi-hiesukerros, jonka paksuus on noin 15 m. Kerrostuman yläosassa noin 10 m:n syvyyteen esiintyy heikkoa symmiktistyyppistä kerralisutta. Tämä on selvempää 6...7 m:n syvyydessä. Pohjaosa 10...15 m:n syvyydessä on selvästi kerrallista. Lustot ovat paikoin loiva-asentoisia. Myös rae-kostumuksessa esiintyy vaihteluja. Savipitoisuus on 3...4 m:n ja noin 10 m:n syvyydessä 70...80 %. Muissa osissa savipitoisuus vaihtelee pääasiassa 20...45 prosenttiin. Raekoon vaihtelut kuvastuvat mm. vesipitoisuusarvoissa. Aineksessa on niin vähän siitepölyjä, että pölystöä ei ole voitu luotettavasti analysoida. Kerrostuma kuulunee kuitenkin pääosiltaan Baltian jäärven sedimenttiin, pintaosa on mahdollisesti Yoldiavaiheen sedimenttiä. Kanavan rakennustyön aikana on kerrallisessa savessa todettu runsaasti ns. imatranksiviä.

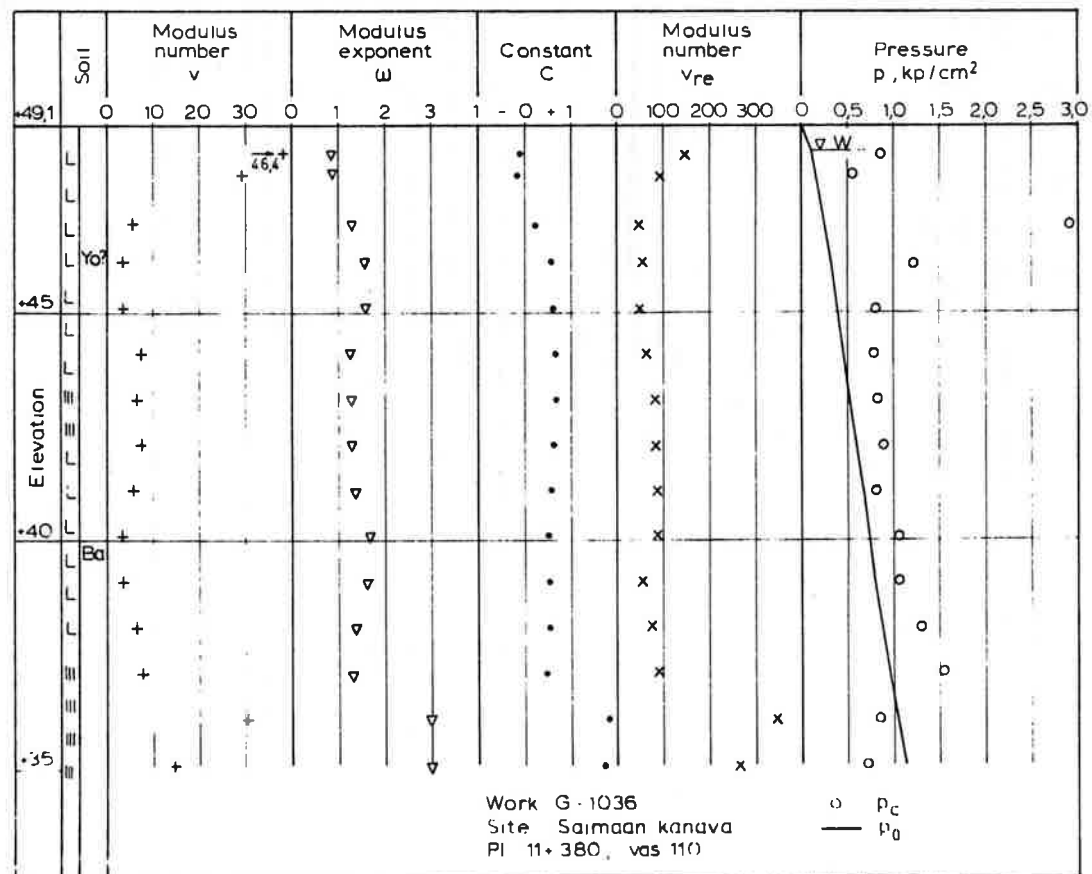
Ödometrikokeiden mukaan on savi myös kuivakuoren alla lievästi ylikonsolidoitunutta. Konsolidaatiokertoimen arvot vaihtelevat pääosiltaan noin  $5\cdots20 \times 10^{-5} \text{ cm}^2/\text{s}$ .



Kuva 106. Kemiaalliset määritykset.



Kuva 107. Luokitus- ja lujuusominaisuudet.



Kuva 108. Painumisominaisuudet.

3.37 Salo, Ohikulkutie

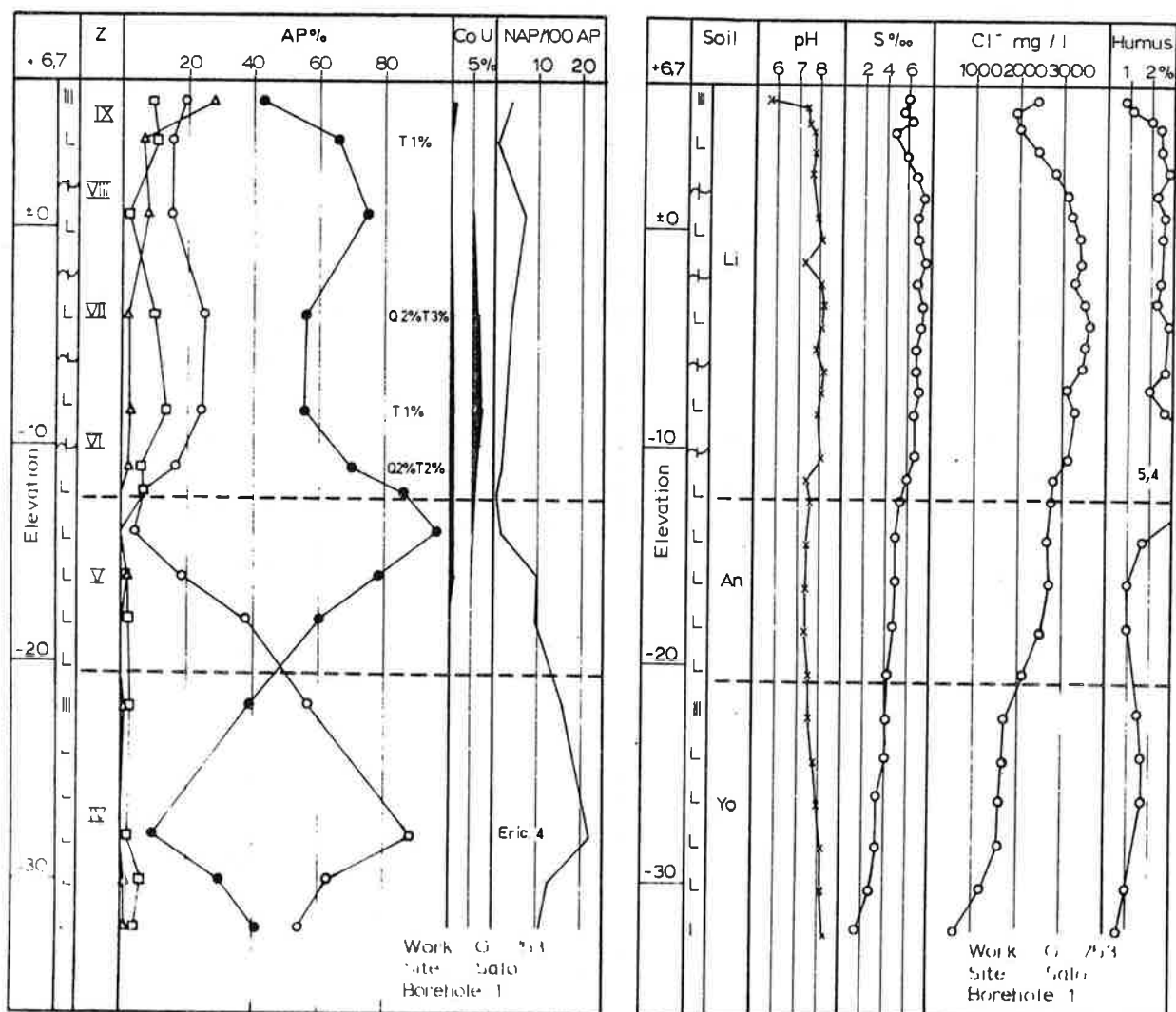
$x = 669810$

$y = 24^\circ / 45306$

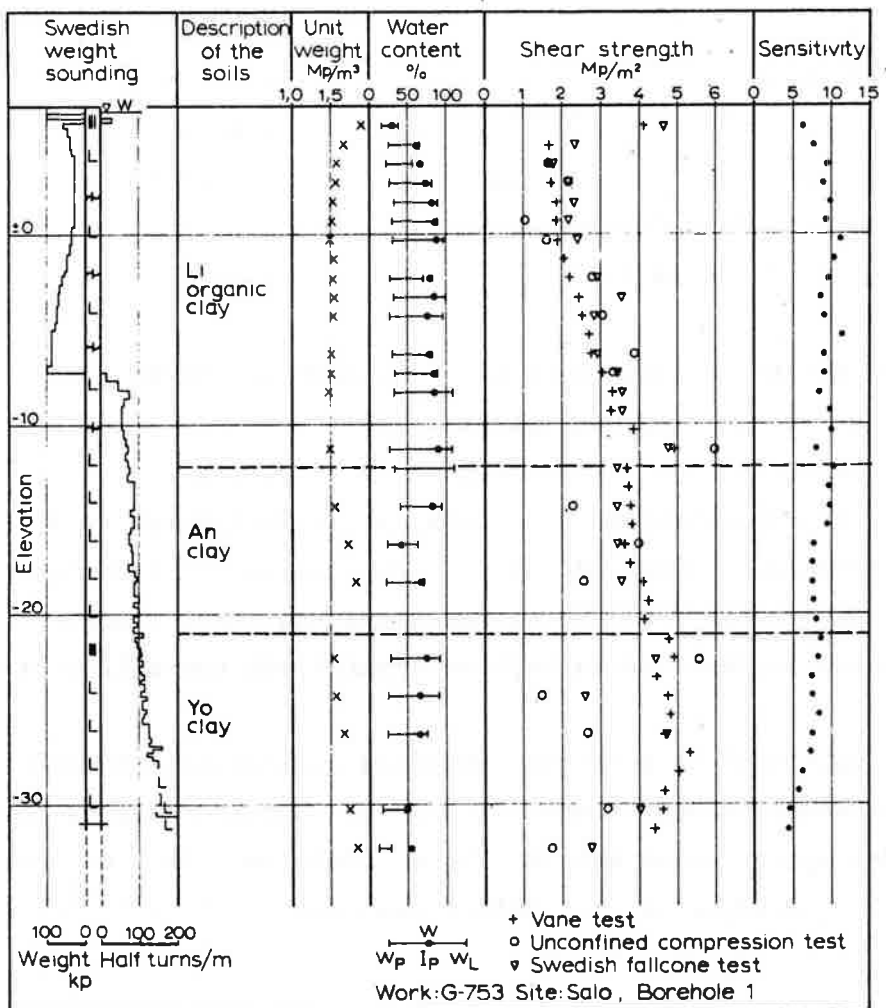
Näyttesarja on otettu syyskuussa 1967 välittömästi Salon keskusta-alueen koillispuolelta ohikulkutien paalulta 28+45. Alue on laakeaa laaksomuodostumaa, maanpinnan korkeus on kohteessa noin +7 m.

Tutkimuspisteenv kohdalla esiintyy noin 40 m paksu savikerrostuma. Tämän yläosa 19 m:n syvyyteen on litorinakautista liejusavea. Sen alapuolella esiintyy homogenista Aencylussavea noin 8 m. Kerrostuman pohjaosa (noin 12 m) muodostuu lihavasta Yoldiasavesta, jossa ainoastaan paikallisesti voidaan erottaa heikko symmiktistä kerrallisuutta. Välittömästi kerrostuman pohjaosassa on kerrallisuus kuitenkin selvempää.

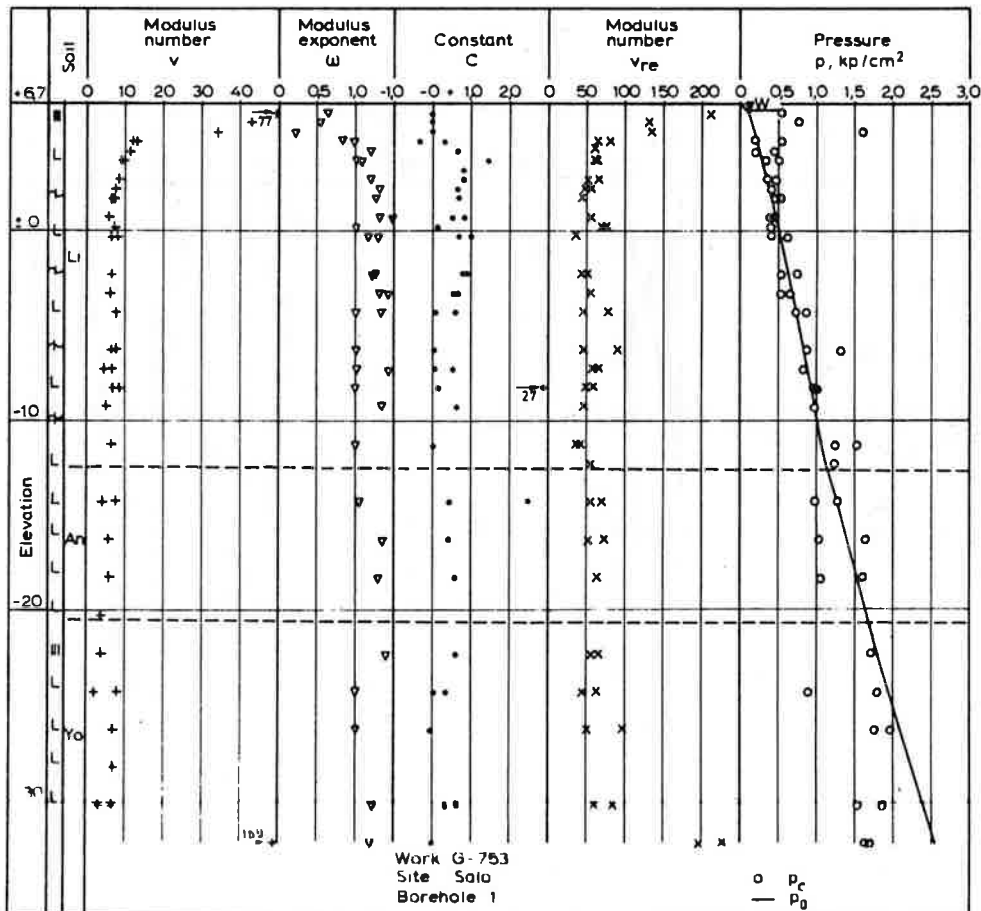
Geoteknisistä ominaisuuksista on silmiinpistävä leikkauslujuuden jyrkkä muutos humuspitoisuuden maksimiarvon alapuolella. Kerrostuma on normaalisti konsolidoitunutta  $c_v$ -arvojen ollessa pääasiassa  $5 \dots 10 \times 10^{-5} \text{ cm}^2/\text{s}$ .



Kuva 109. Siitepölystö ja kemialliset määritykset.



Kuva 110. Luokitus- ja lujuusominaisuudet.



Kuva 111. Painumisominaisuudet.

3.38 Salo, Salonkylä

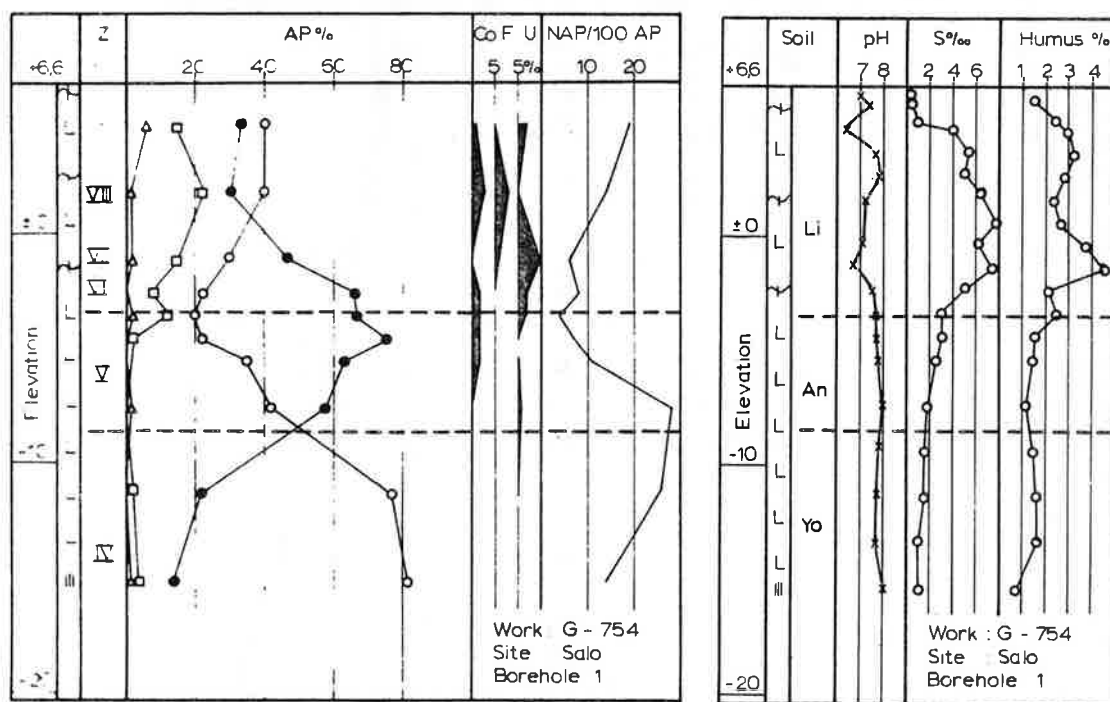
$x = 669630$

$y = 24^{\circ}/45282$

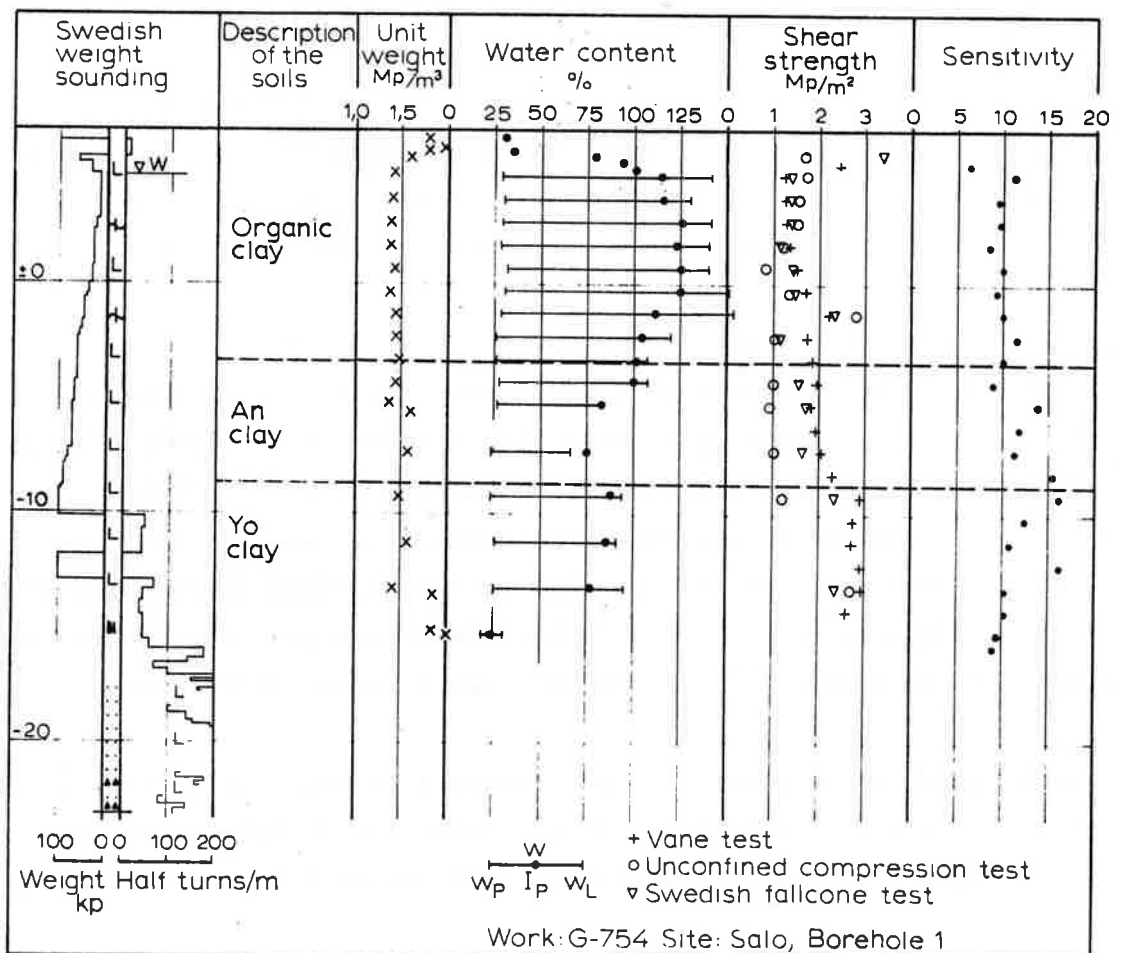
Tutkimuskohde sijaitsee noin 1,5 km Salon keskustasta kaakkoon Salo-Mustio tien alkuosalla. Alue on laakeaa peltomaastoa, maanpinnan korkeus on noin +5...+10 m. Näytesarja on otettu elokuussa 1967.

Tutkimuspisteessä savikerrostuman paksuus on noin 22 m. Kerrostuman yläosa muodostuu noin 10 m paksusta litorinakautisesta liejusavesta. Tämän alapuolella on noin 5 m:n paksuinen, rakenteeltaan homogeeninen Ancylussavi. Litorina- ja Ancylus sedimenttien rajavyöhykkeestä on tutkimusten yhteydessä tavattu Percea fluviatiliksen (ahvenen) jäähöökset [4]. Pohjimmaisen kerroksena on Yoldia-savi, jonka paksuus on noin 7 m. Se on rakenteeltaan lähes homogeenista lihavaa savea. Vain paikoin voidaan todeta heikkoa symmiktistä kerrallisuutta.

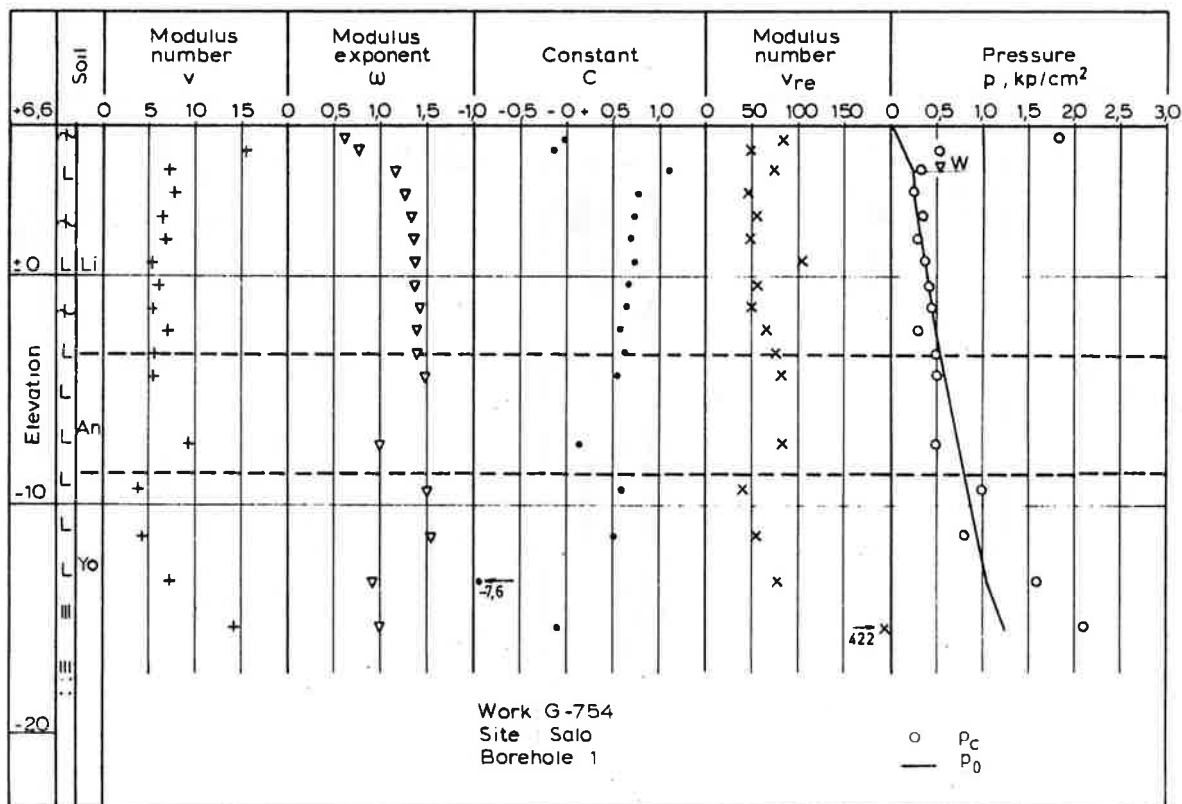
Geoteknissä ominaisuuksissa esiintyy muutoksia geologisten rajavyöhykkien läheisyydessä. Leikkauslujuudessa tapahtuu hyppäyksenomainen muutos humuspitoisuuden ja huokosveden suolaisuuden maksimiarvojen kohdalla. Savi on normaalisti konsolidoitunutta  $c_v$ -arvojen ollessa pääasiassa noin  $5\cdots 10 \times 10^{-5} \text{ cm}^2/\text{s}$ .



Kuva 112. Siitepölystö ja kemialliset määritykset.



Kuva 113. Luokitus- ja lujuusominaisuudet.



Kuva 114. Painumisominaisuudet.

3.39 Sipoo

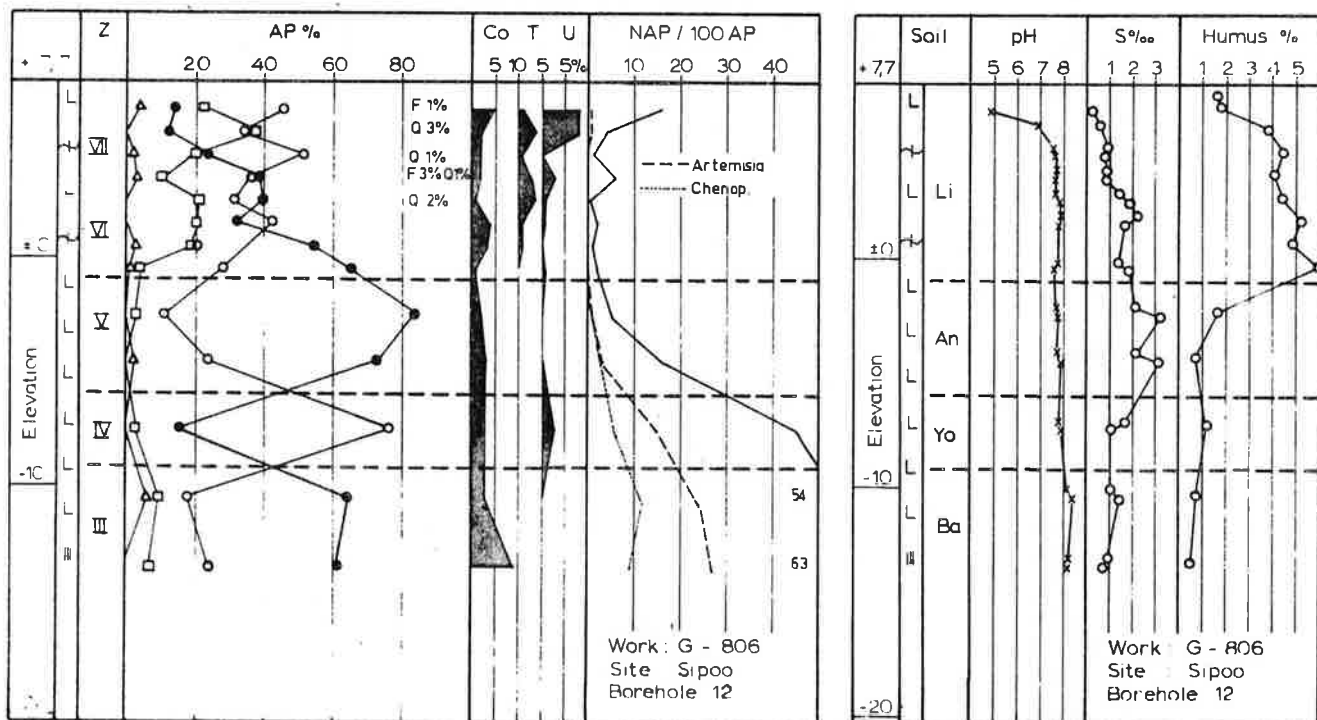
$x = 669576$

$y = 24^{\circ}/57006$

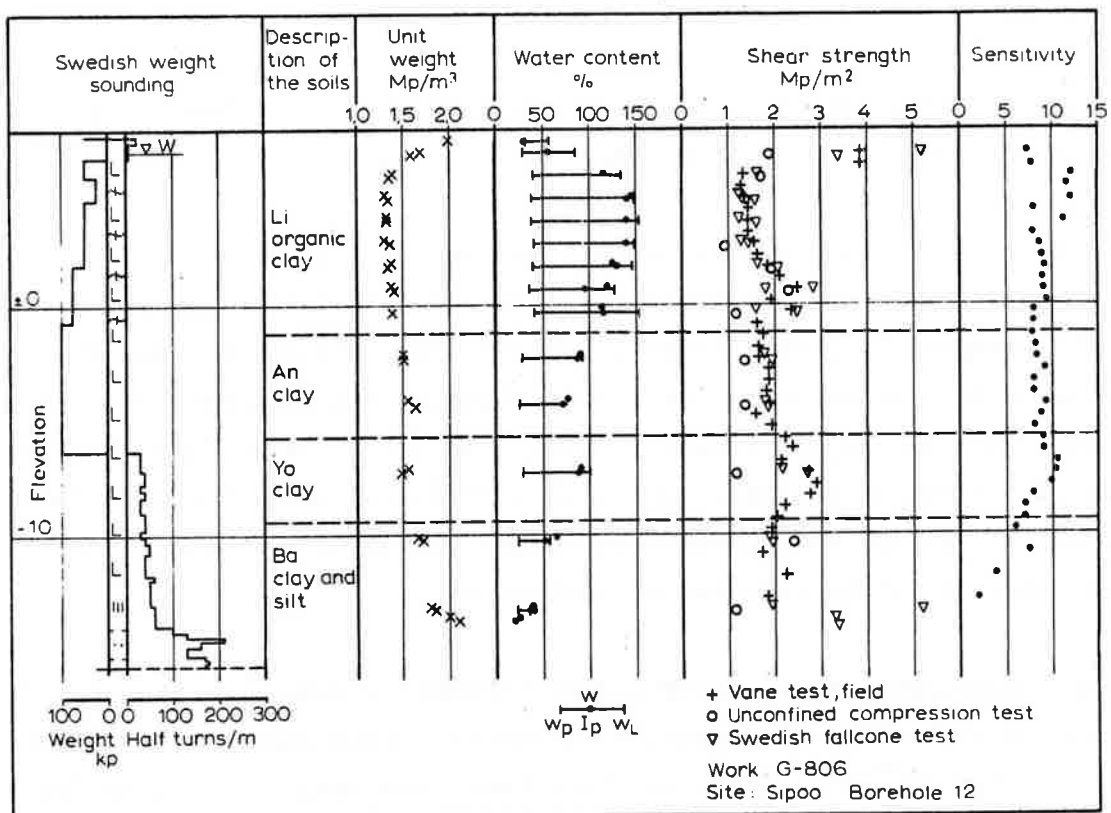
Tutkimuskohde sijaitsee Sipoossa Sipoonjoen varressa noin 1 km Nikkilän keskustasta etelään. Alue on loivasti jokeen viettävä laakso, maanpinnan korkeus on noin +8...+10 m. Näytesarja on otettu toukokuussa 1968.

Hienorakeisen kerrostuman kokonaispaksuus on noin 22 m. Pintaosa (9 m) muodostuu litorinakautisesta liejusavesta, joka on tuoreena hyvin tummaa. Liejusavessa esiintyy paikoin pieniä halkeamia. Litorinakerroksen alapuolella on rakenteeltaan homogeeniset Aencylussavi- ja Yoldiasavikerrokset. Niiden paksuudet ovat 5 ja 4 m. Pohjaosa muodostuu kerrallisesta Baltian jäätärven savesta. Litorina- ja Aencyluskerrosten savipitoisuus on 50...60 %, Yoldiasaven noin 80 % sekä kerrallisen pohjaosan noin 20 %. Huokosveden suolaisuuden maksimiarvon esiintyminen Aencyluskerrostumassa johtuu todennäköisesti ionien diffuusiosta.

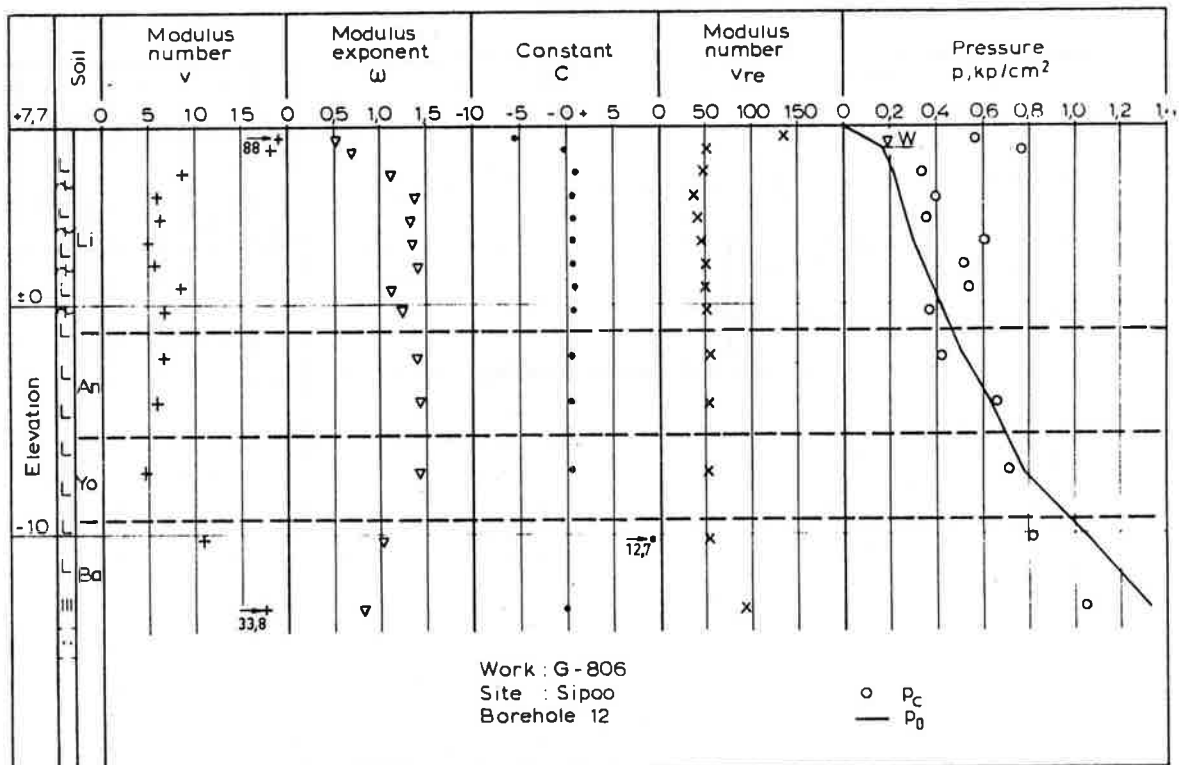
Geoteknisistä ominaisuuksista on huomattava erityisesti leikkauslujuuden muutos humuspitoisuuden maksimiarvon kohdalla sekä lievä ylikonsolidoituminen liejusavessa. Konsolidatiokertoimien arvot ovat pääasiassa noin  $4\cdots 10 \times 10^{-5} \text{ cm}^2/\text{s}$ .



Kuva 114. Siitepölystö ja kemialliset määritykset.



Kuva 116. Luokitus- ja lujuusominaisuudet.



Kuva 117. Painumisominaisuudet.

3.40 Sipoo

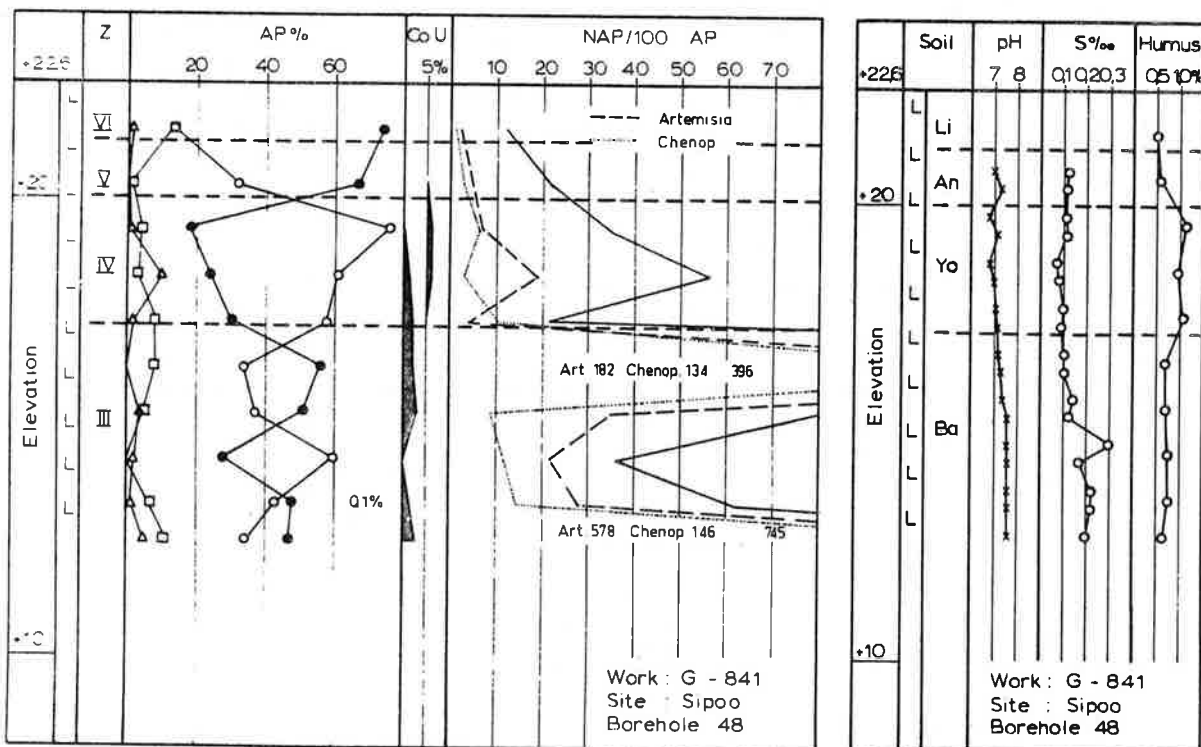
$x = 669706$

$y = 24^{\circ}/56950$

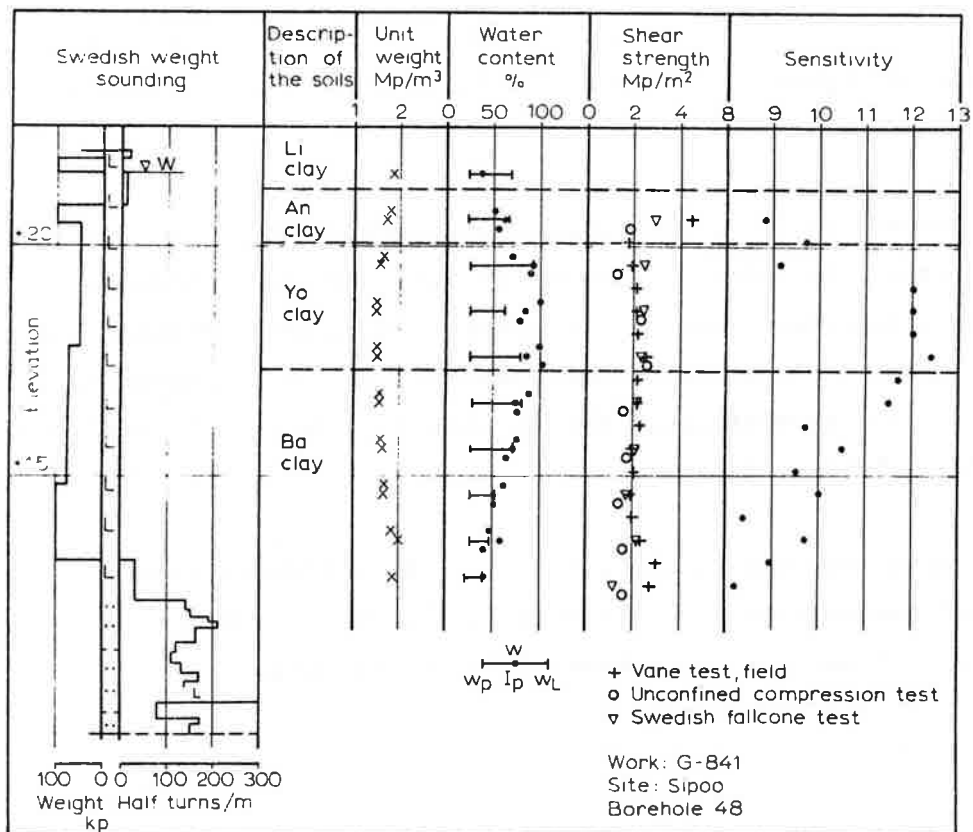
Näyttesarja on otettu lokakuussa 1968 Nikkilän keskustan länsiosassa olevalta mäki-alueelta. Maanpinnan korkeus on kohteessa noin +23 m. Maasto viettää pisteen läheisyydessä Sipoonjoen laaksoon.

Näytteenottopisteessä on savikerrostuman paksuus noin 10 m. Pintaosassa on noin yhden metrin paksuisen, kuivakuoreen sijoittuva Litorinakerros. Tämän alapuolella on samanpaksuisen Aencylussavi, joka on myös osittain kuivakuorta. Noin 3 m:n paksuisen Yoldiasavi on heikosti kerrallinen. Pohjaosa muodostuu selvästi kerrallisesta Baltian jäätijärven sedimentistä. Litorina- ja Aencyluskerroksen savipitoisuus on 50...60 %, Yoldiakerroksen 70...80 % sekä kerrallisen pohjaosan noin 40...60 %. Litorina- ja Aencyluskerrokset ovat niin pintaosassa, että niiden ominaisuuksia määräää kuivakuoren muodostuminen.

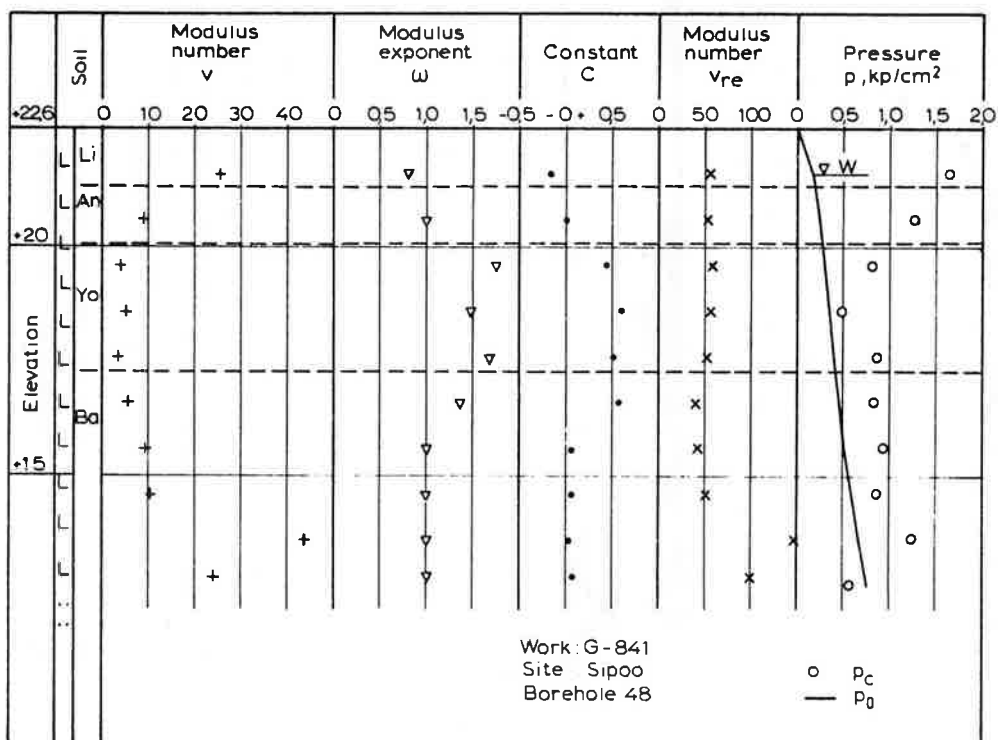
Ödometrikokeiden mukaan kerrostuma on lievästi ylikonsolidoitunut. Tähän saattaa vaikuttaa kerrostuman topografinen sijainti. Yoldiasaven konsolidaatiokerroin on noin  $3\cdots 7 \times 10^{-5} \text{ cm}^2/\text{s}$  ja kerrallisen lustosaven noin  $1\cdots 5 \times 10^{-4} \text{ cm}^2/\text{s}$ .



Kuva 118. Siitepölystö ja kemialliset määritykset.



Kuva 119. Luokitus- ja lujuusominaisuudet.



Kuva 120. Painumisominaisuudet.

3.41 Somero, Joensuu

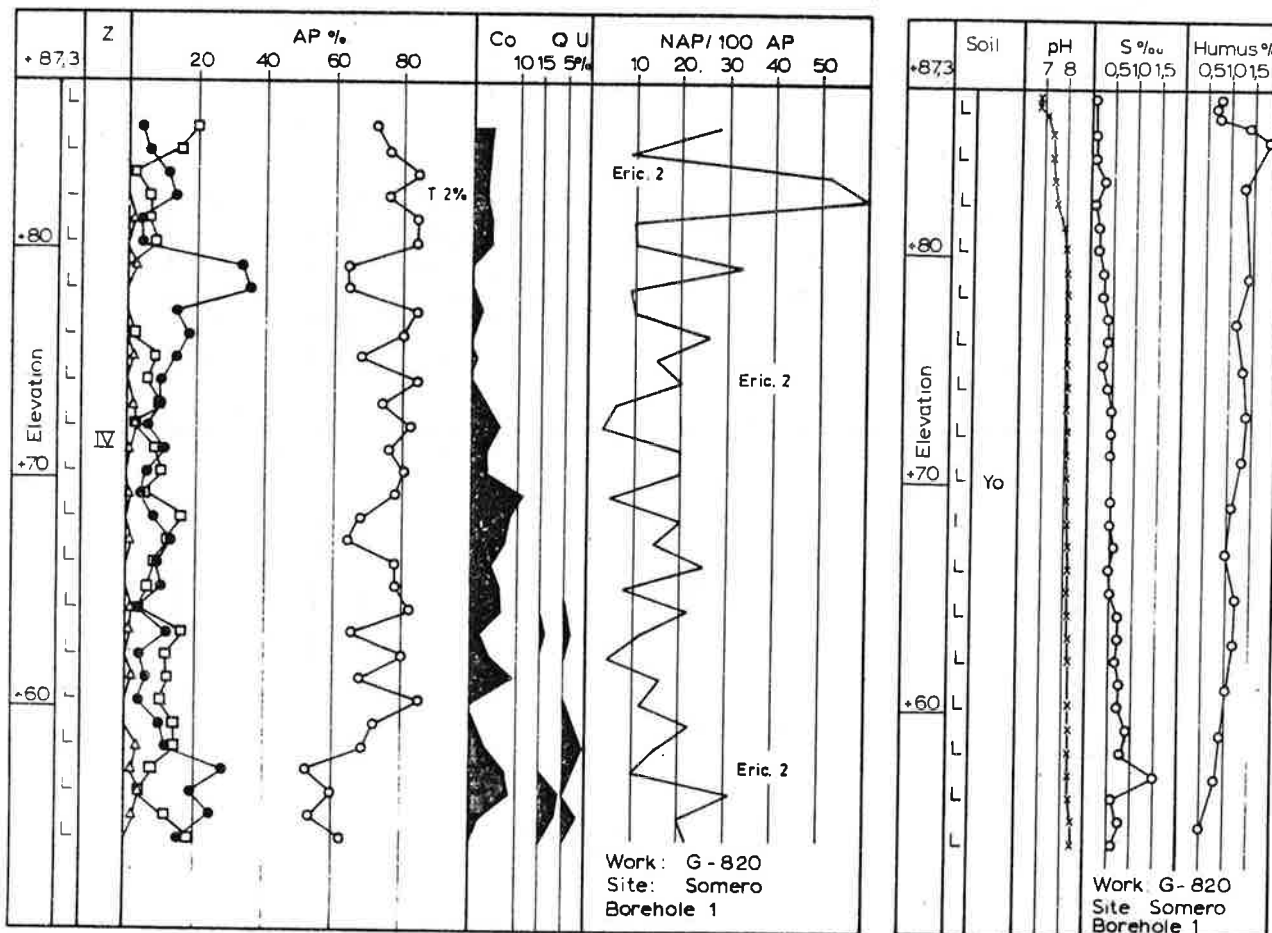
$x = 672346$

$y = 24^{\circ}/47526$

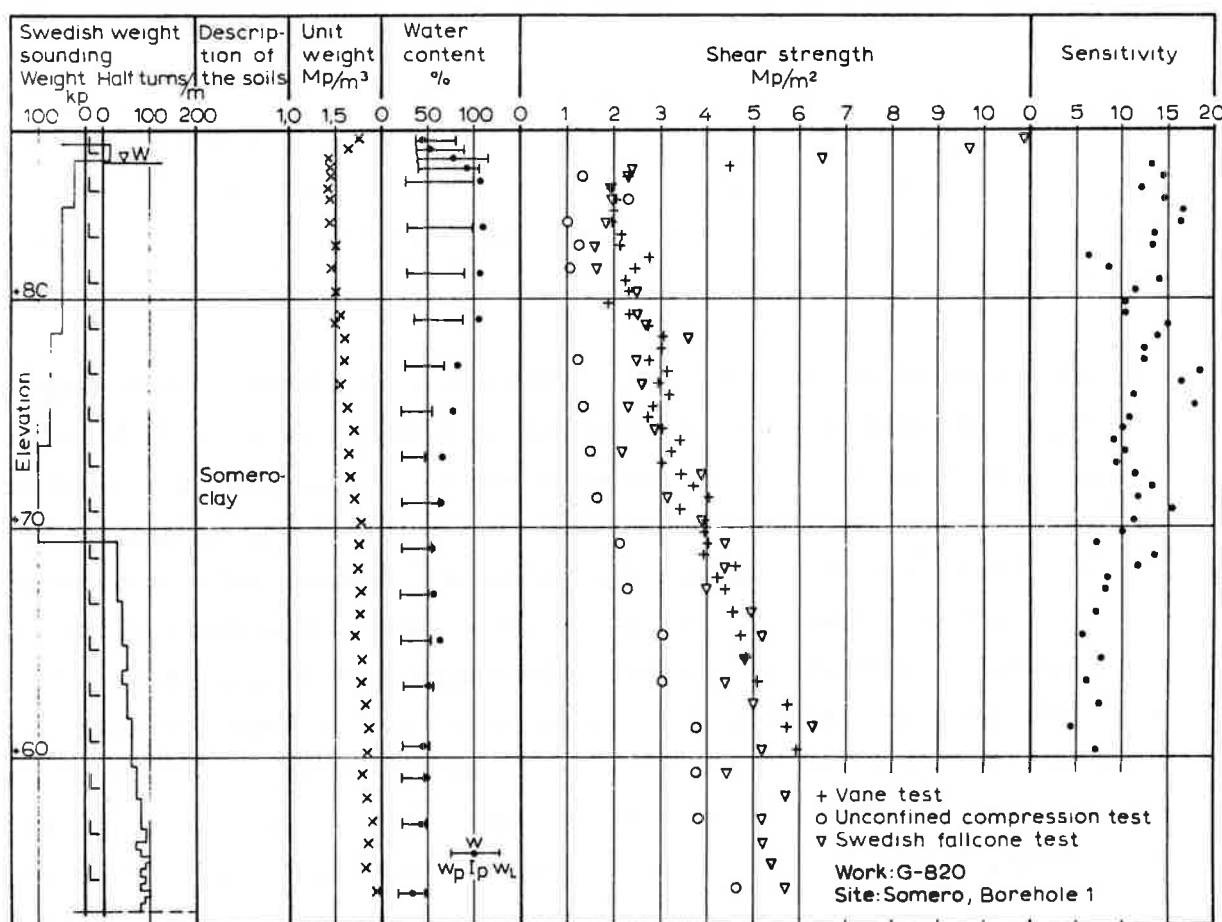
Näytesarja on otettu heinäkuussa 1968 Someronjoen pohjoispuolelta noin 1,5 km Someron keskustasta kaakkoon. Maasto on tasaista peltoalueutta, maanpinnan korkeus on noin +85...+90 m.

Tutkimuspisteessä esintyy 33 m paksu savikerros, jonka alapuolella on hietaa ja hiekkaa. Kerrostuman yläosassa esintyy vaaleiden ja tummien raitojen muodostamaa kerroksellisuutta. Noin 19 m:n syvyydeltä alkaen kerrokset esiintyvät "hamumaisina luiroina" muodostaen breksiamaisen rakenteen. Aineksen savipitoisuus vaihtelee 50...90 prosenttiin. Kerrostumaa on pidetty Yoldiavaiheen aikana uudelleen sedimentoituneena Eem-savena [2].

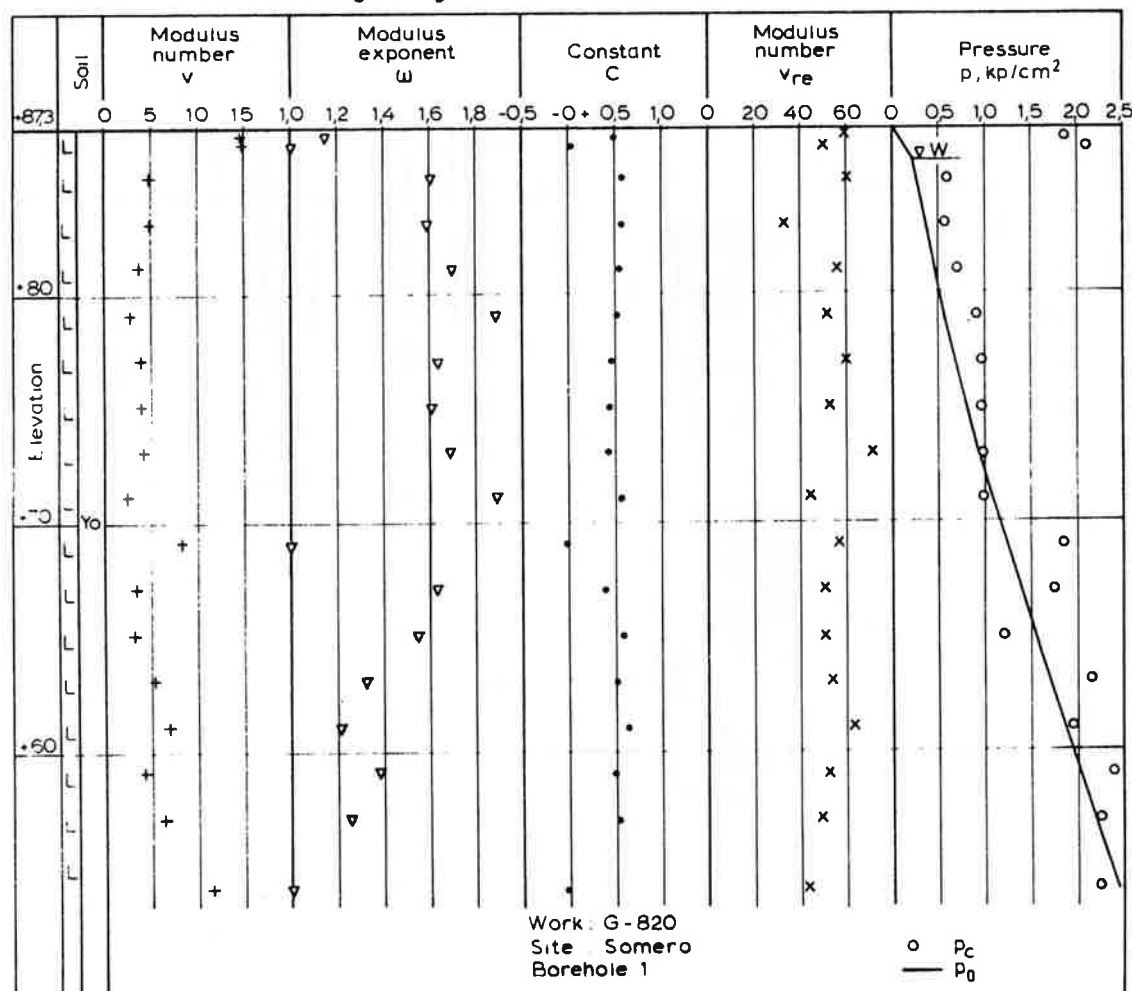
Savi on ödometrikokeiden mukaan lievästi ylikonsolidoitunutta. Konsolidaatiokerroimen arvot vaihtelevat noin  $3\cdots 30 \times 10^{-5} \text{ cm}^2/\text{s}$ . Lisäksi on otettava huomioon eri menetelmillä saatujen lujuusarvojen suuri hajonta.



Kuva 121. Siitepölystö ja kemialliset määritykset.



Kuva 122. Luokitus- ja lujuusominaisuudet.



Kuva 123. Painumisominaisuudet.

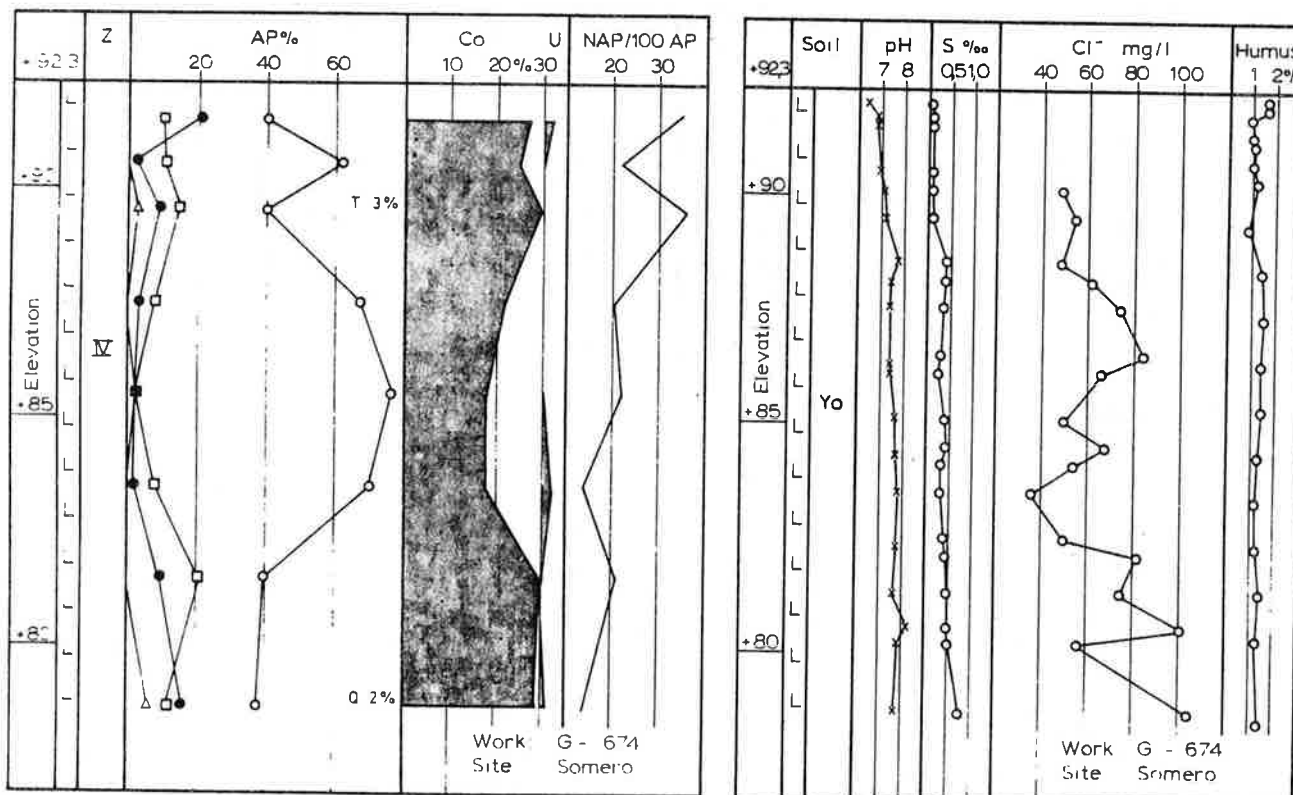
3.42 Somero, Kirkkonkylä

$x = 672448$

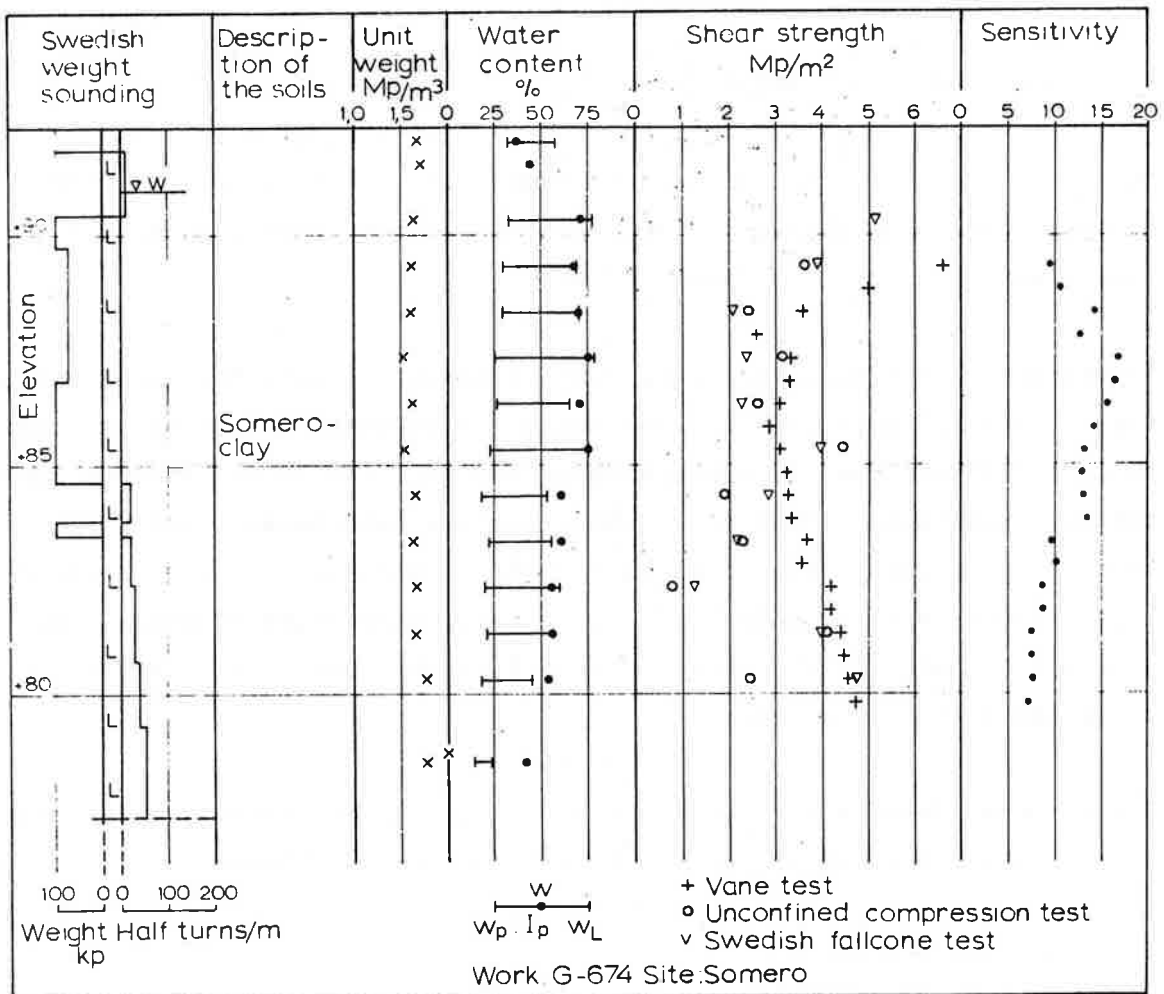
$y = 24^{\circ}/47272$

Näyttesarja on otettu elokuussa 1967 noin 0,5 km Someron keskustasta länteen. Maasto on loivasti Kirkkojärveen viettävää tasannetta, maanpinnan korkeus on noin +90...+93 m.

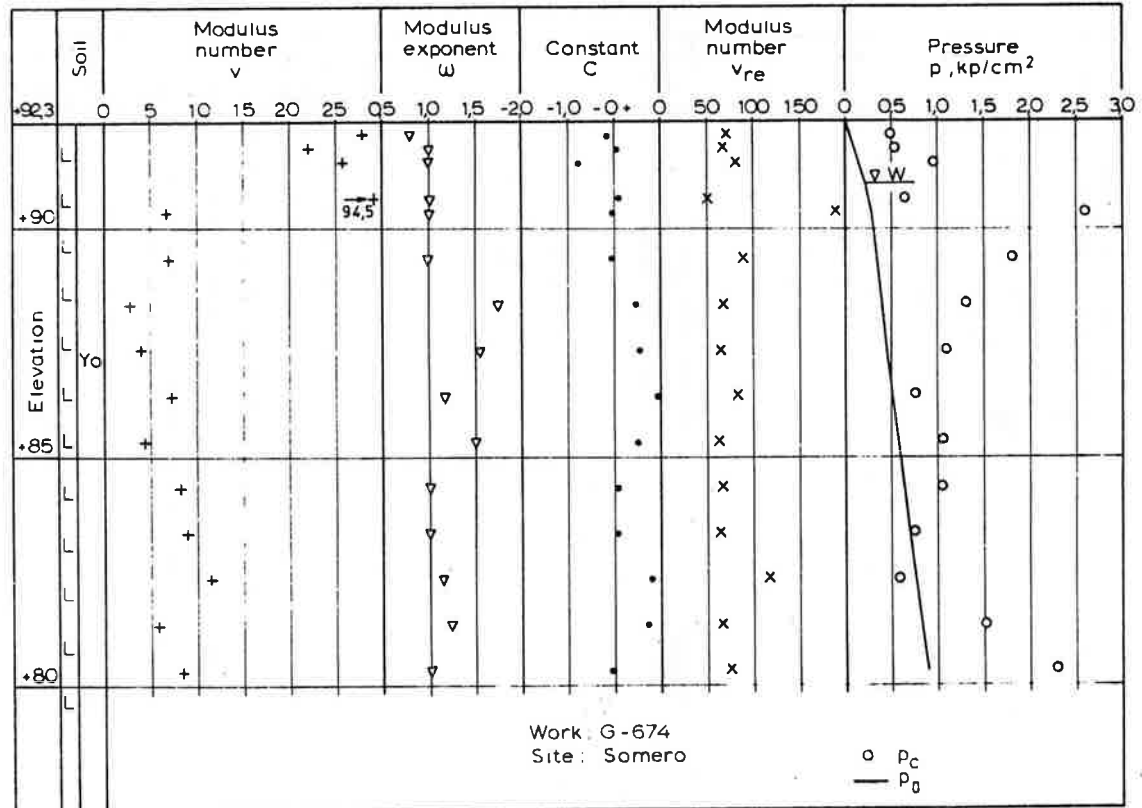
Tutkimuspisteessä esiintyy noin 14 m paksu savikerrostuma, jonka alapuolella hietä- ja hiekkakerrostumia. Savi sisältää keskimäärin noin 70 % savilajitetta. Pohjaosan makroskooppisessa rakenteessa esiintyy vaaleiden ja tummien kerrosten vaihtelua. Ylemmissä kerroksissa esiintyy sen sijaan "breksiamaisen" rakenne, joka erottuu erilaisen tummuusasteen johdosta. Tummien osien humuspitoisuus on suurempi kuin vaaleiden. Niiden raekoossa ei sen sijaan ole todettu vaihtelua. Siitepölystössä on Coryluksen määrä poikkeuksellisen suuri. Pintaosissa ei piileviä esiinny juuri lainkaan. Pohjaosassa on vallitsevana suolainen piilevästäö, jossa on eräitä harvinaisia lajeja [5]. Kerrostumaa on pidetty Yoldiavaiheen aikana uudelleen sedimentoituneena Eem-savena [2]. Geoteknisistä ominaisuuksista on otettava huomioon ensisijaisesti kerrostuman ylikonsolidoituminen.



Kuva 124. Siitepölystö ja kemialliset määritykset.



Kuva 125. Luokitus- ja lujuusominaisuudet.



Kuva 126. Painumisominaisuudet.

3.43 Somero, Pajulanjoki

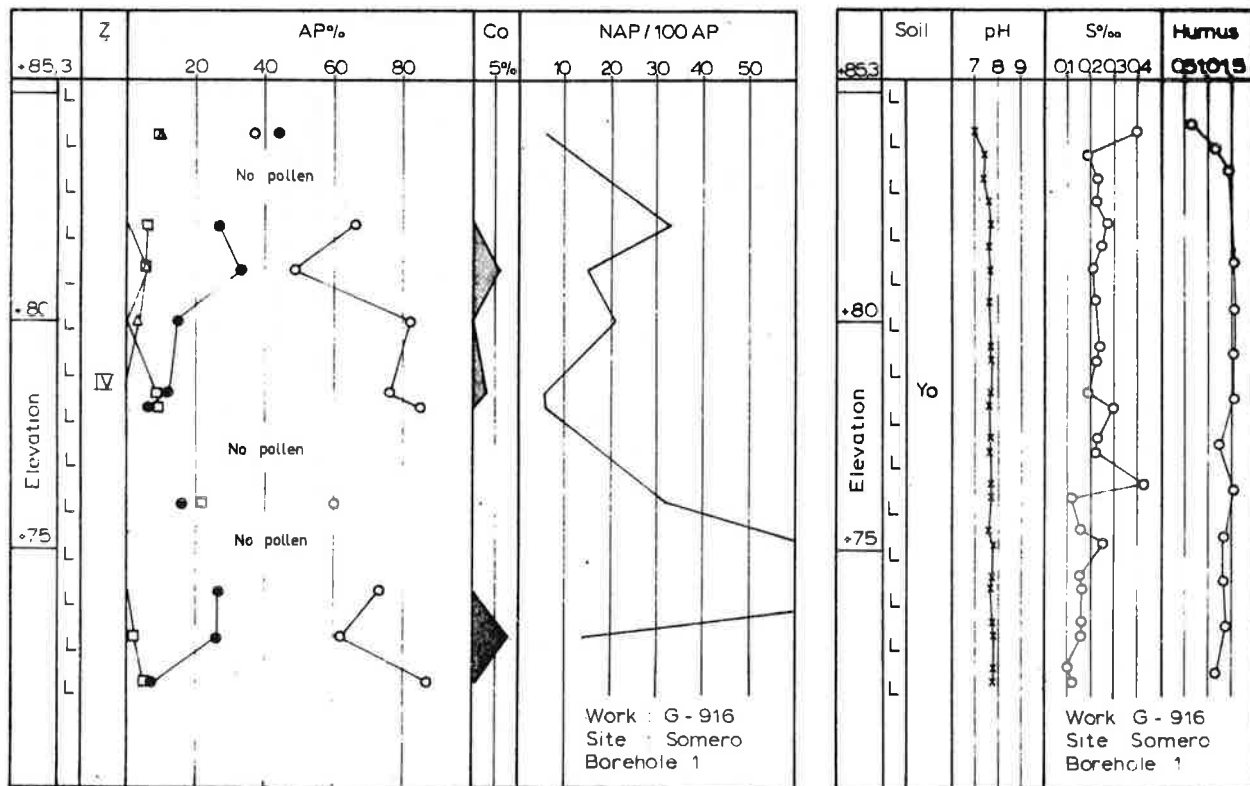
$x = 672612$

$y = 24^{\circ}/47792$

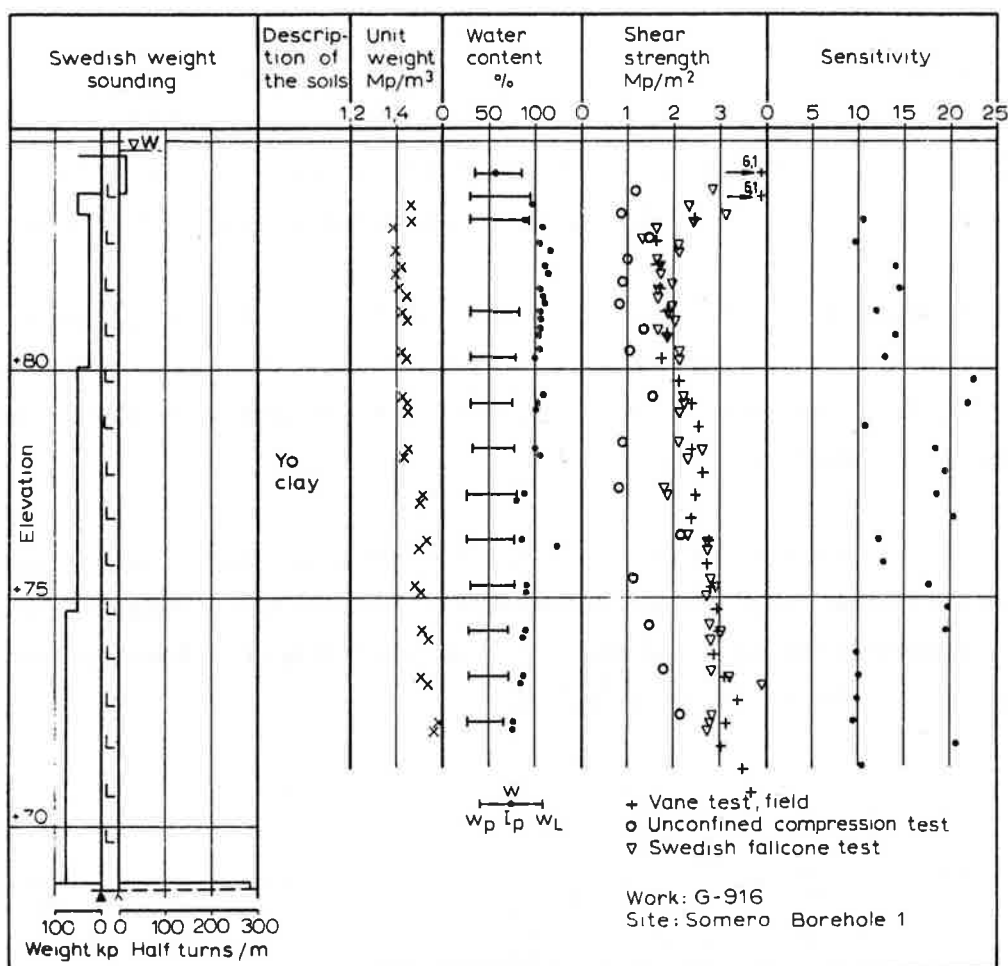
Tutkimuskohde sijaitsee Pajulanjoen laaksossa noin 5 km Someron keskustasta koilliseen. Maasto on alavaa jokilaaksoa, maanpinnan korkeus on noin +85...+90 m. Tutkimukset on suoritettu kesällä 1969.

Näytteenottopiste sijaitsee noin 100 m etelään jokiuomasta, jonka kohdalla esiintyy yli 25...30 m paksuja savikerroksia. Tutkimuspisteessä on savikerroksen paksuus noin 17 m. Savi on rakenteeltaan homogeenista ja sen väri on tuoreena tummahan ruskeltavaa. Paikoin esiintyy heikkoa punertavaa sävyä. Savi on erittäin lihavaa, savipitoisuus on 80...90 %. Aineksessa on paikoin vähän siitepölyjä. Rakenteensa ja pölystönsä perusteella kerrostuma edustanee Yoldiavaiheen aikana sedimentoitunutta ainesta ja on todennäköisesti samaa alkuperää kuin Someron keskusta-alueen savet [2].

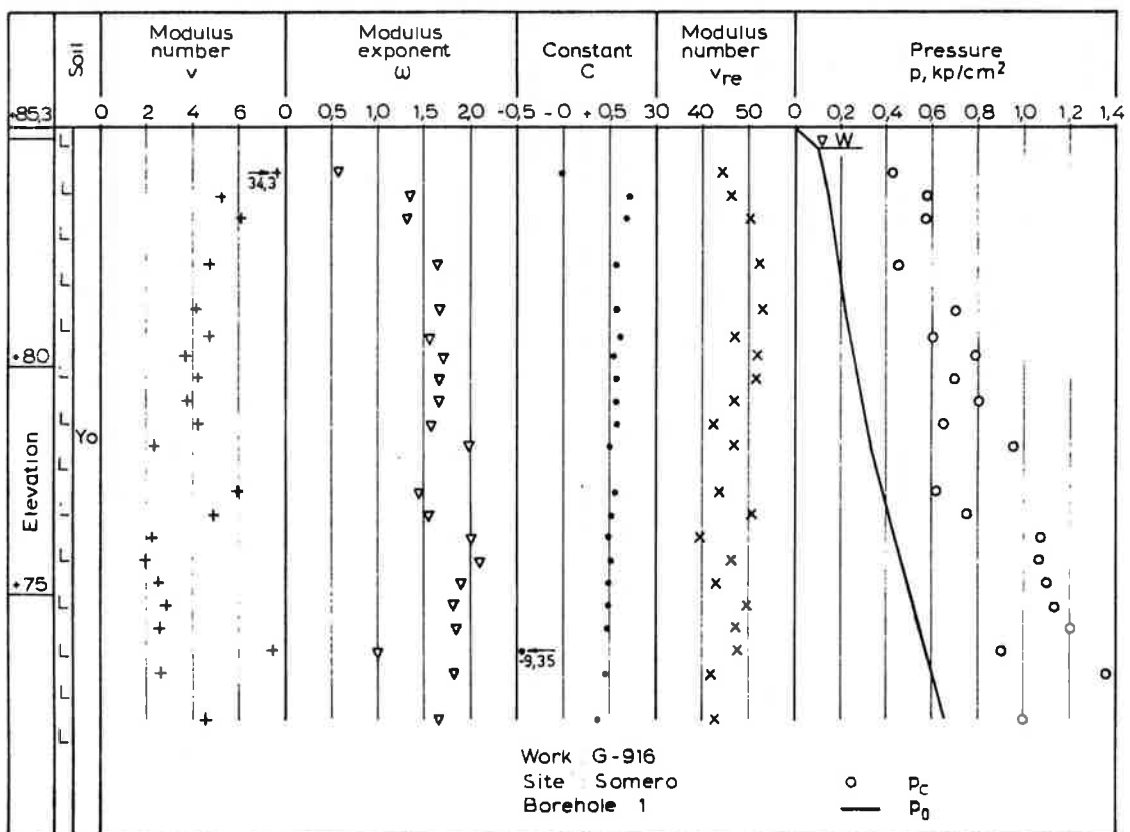
Rakenteensa johdosta kerrostuma on geoteknisiltä ominaisuuksiltaan melko homogeninen. Ödometrikokeiden mukaan on savi ylikonsolidoitunutta. Sen konsolidaatiokertoimen arvot ovat noin  $2\cdots 5 \times 10^{-5} \text{ cm}^2/\text{s}$ .



Kuva 127. Siitepölystö ja kemialliset määritykset.



Kuva 128. Luokitus- ja lujuusominaisuudet.



Kuva 129. Painumisominaisuudet.

3.44 Tampere

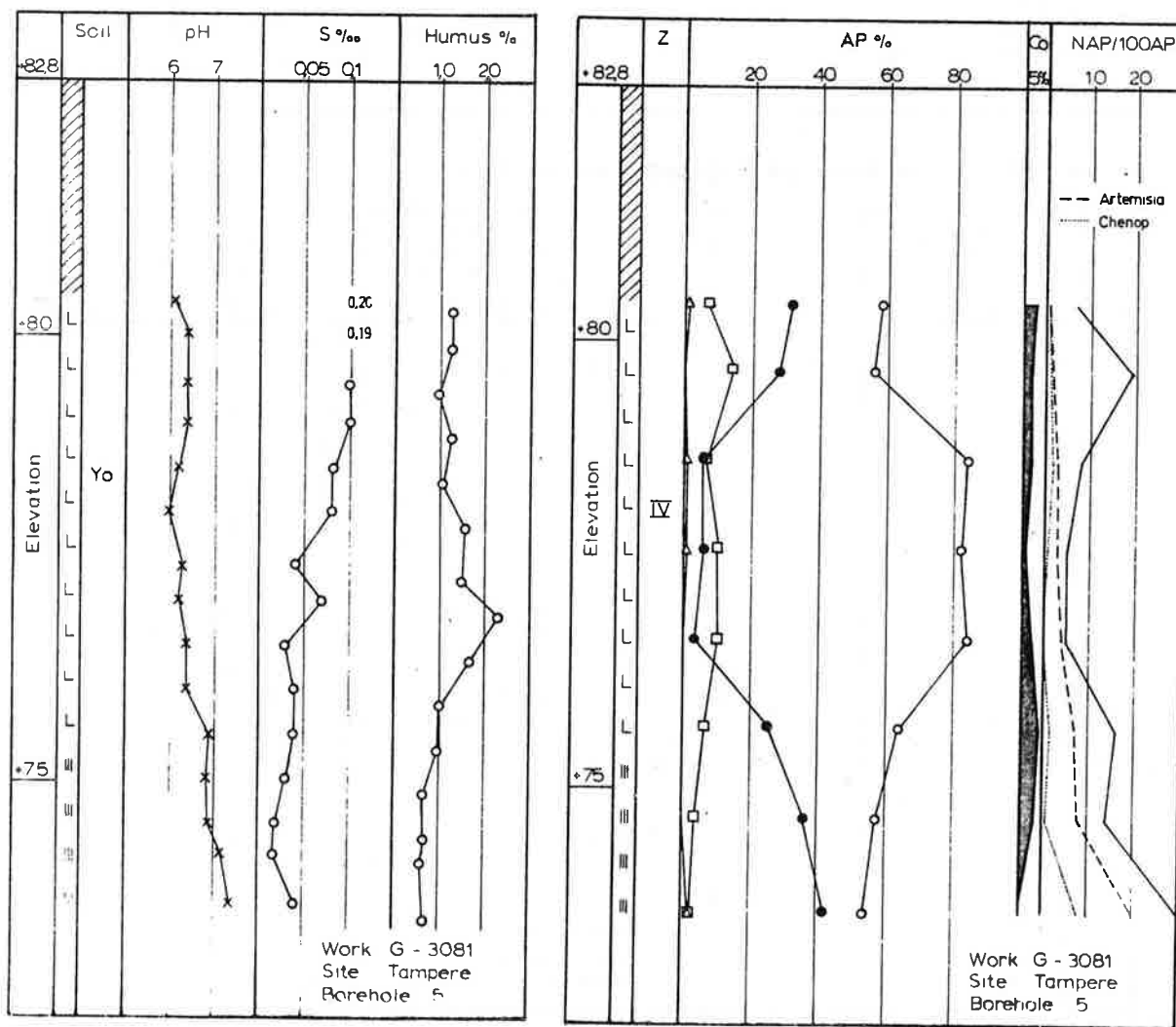
$x = 681936$

$y = 24^{\circ}/48836$

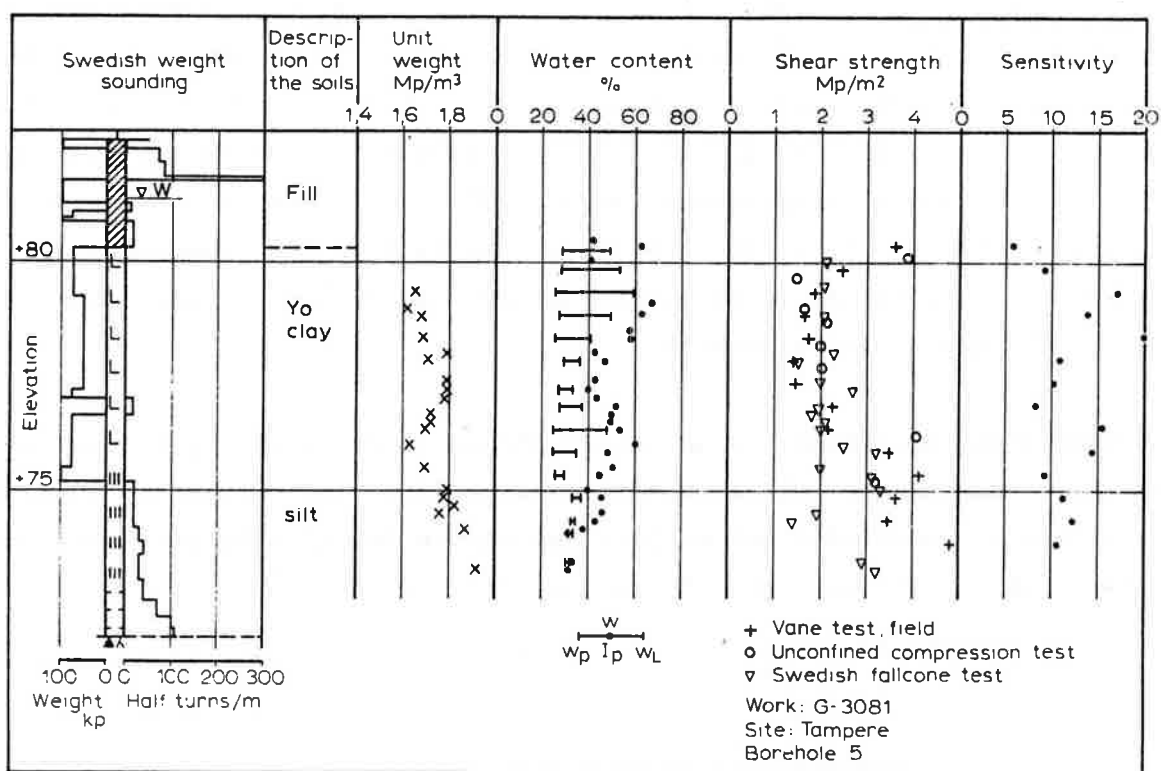
Näytesarja on otettu marraskuussa 1970 Viinikan alueelta. Kohde on tasaista pihamaata, jonka korkeus on noin +83 m. Alueella esiintyy 2,5 m paksu täytekero.

Täytteen alapuolella on noin 7 m paksu savi-siltilkerrostuma, jossa esiintyy symmiktistä kerrallisuutta. Kerrostuman yläosassa savipitoisuus on 40...60 %, alaosassa 5...30 %. Rakenteensa ja siitepölystönsä perusteella kerrostuma edustaa Yoldiavaiheen sedimenttiä.

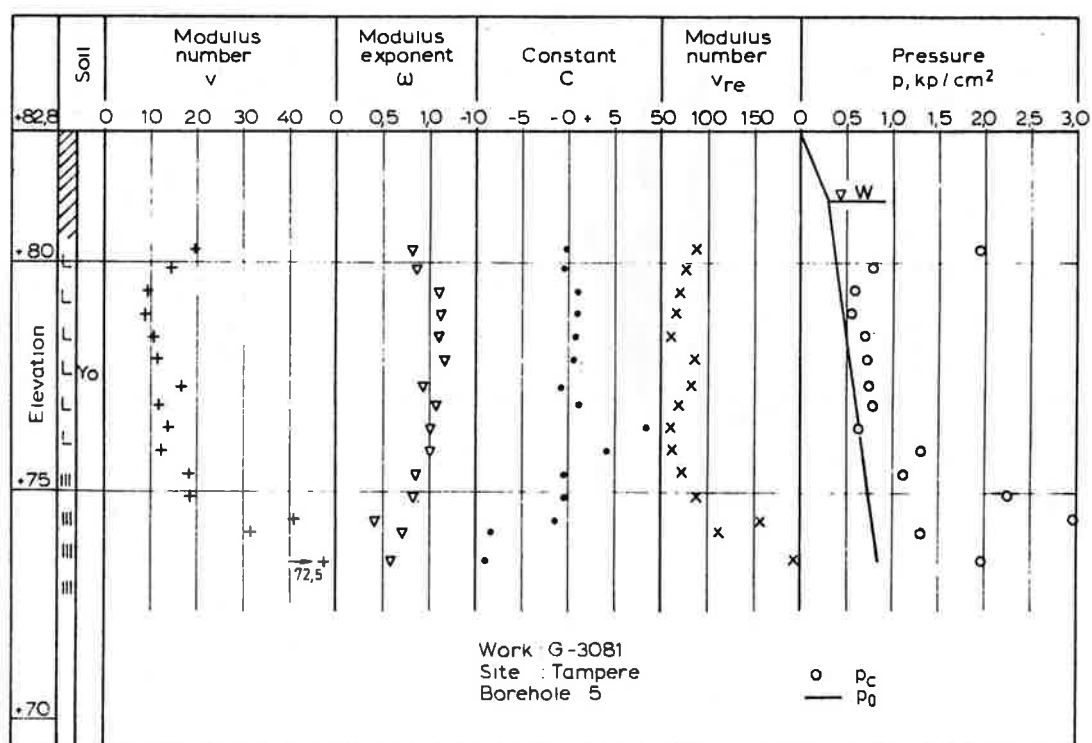
Pohjaosan suuri siltipitoisuus aiheuttaa huomattavaa hajontaa leikkauslujuusarvoihin. Kerrostumaa on pidettävä normaalisti konsolidoituneena pohjaosaa lukuun ottamatta, joka saattaa olla osittain ylikonsolidoitunut. Konsolidatiokertoimet ovat pääosiltaan noin  $1\ldots6 \times 10^{-3} \text{ cm}^2/\text{s}$ .



Kuva 130. Siitepölystö ja kemialliset määritykset.



Kuva 131. Luokitus- ja lujuusominaisuudet.



Kuva 132. Painumisominaisuudet.

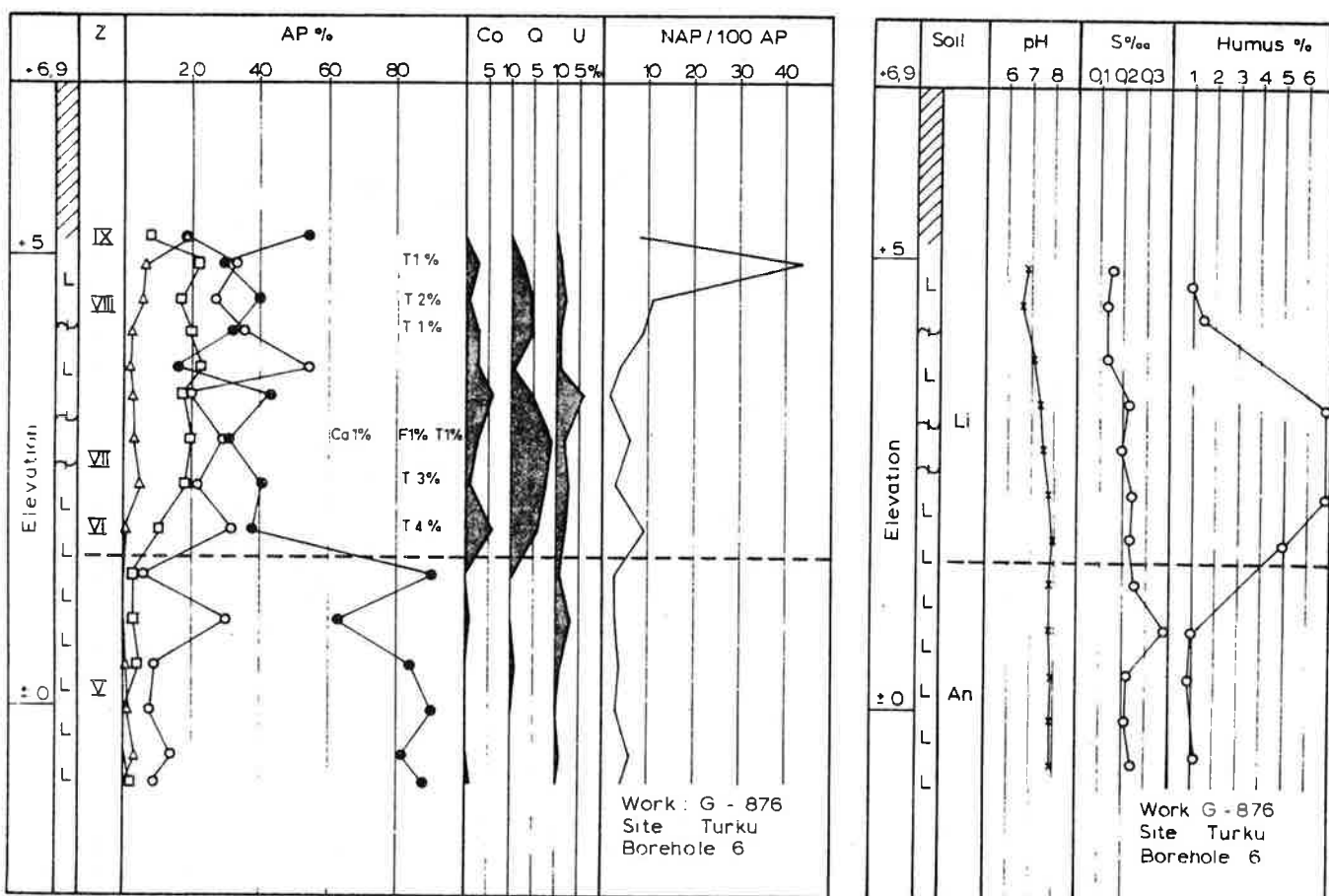
3.45 Turku

$x = 670500$

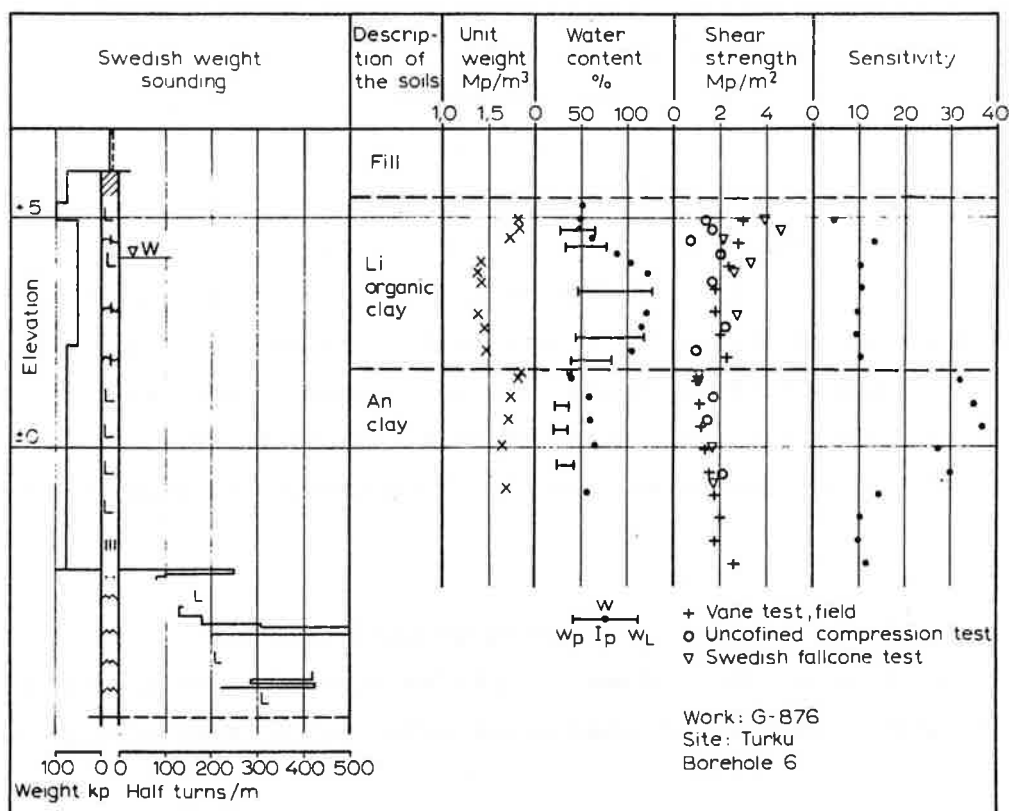
$y = 21^{\circ}/56964$

Näytesarja on otettu toukokuussa 1969 Turun postitalon pihamaalle, jonka korkeus on ollut noin +7 m. Alueella on 1,5 m paksu täytemaakerros. Tämän alapuolella on 8 m paksu hienorakeinen kerrostuma, jonka yläosa (4 m) on litorinakauista liejusavea ja liejua. Liejusaven alapuolella on rakenteeltaan homogeeninen Aencylussavi, jonka savipitoisuus on noin 35...45 %. Lähialueen rakennustoimissa johdosta pohjavesi on ollut suhteellisen syväällä (2,7 m) maanpinnasta. Litorinasedimentin huokosveden pieni suolaisuus saattaa johtua asutuksen pohjavesiolosuhteita muuttavasta vaikutuksesta.

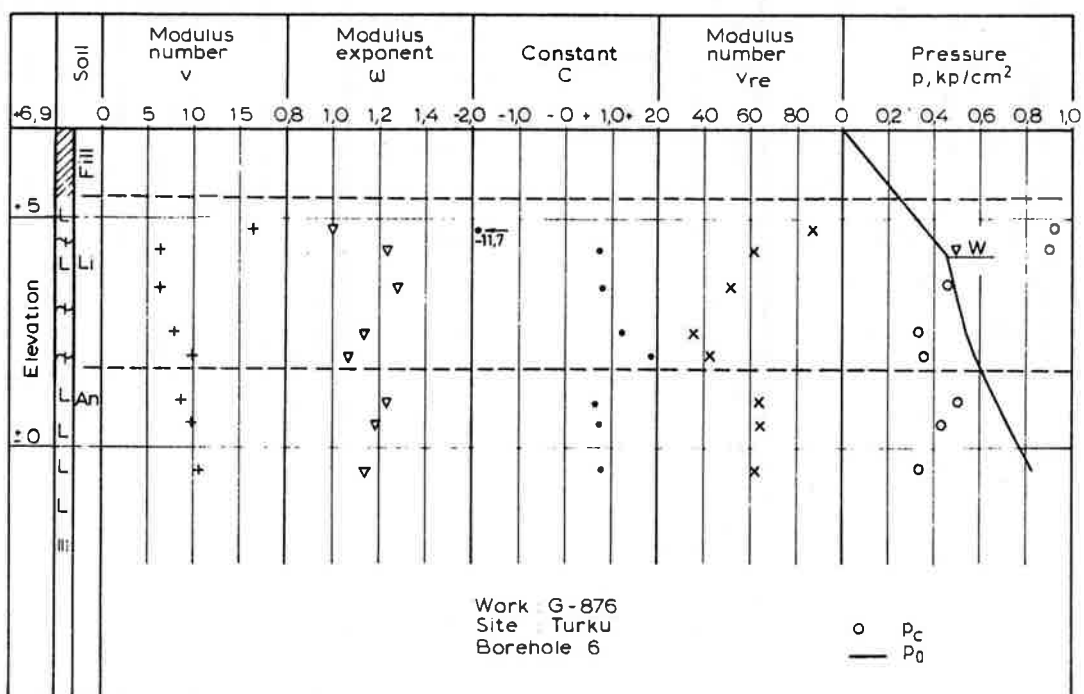
Geoteknisten ominaisuuksien muutokset geologisessa rajavyöhykkeessä ovat hyvin selvät. Aencylussaven yläosa on poikkeuksellisen sensitiivinen. Ödometrikokeiden osoittama alikonsolidoituminen johtunee näytteiden häiriintymisestä. Kerrostuman konsolidaatiokertoimet ovat pääosiltaan  $3\cdots 6 \times 10^{-5} \text{ cm}^2/\text{s}$ .



Kuva 133. Siitepölystö ja kemialliset määritykset.



Kuva 134. Luokitus- ja lujuusominaisuudet.



Kuva 135. Painumisominaisuudet.

3.46 Vihti

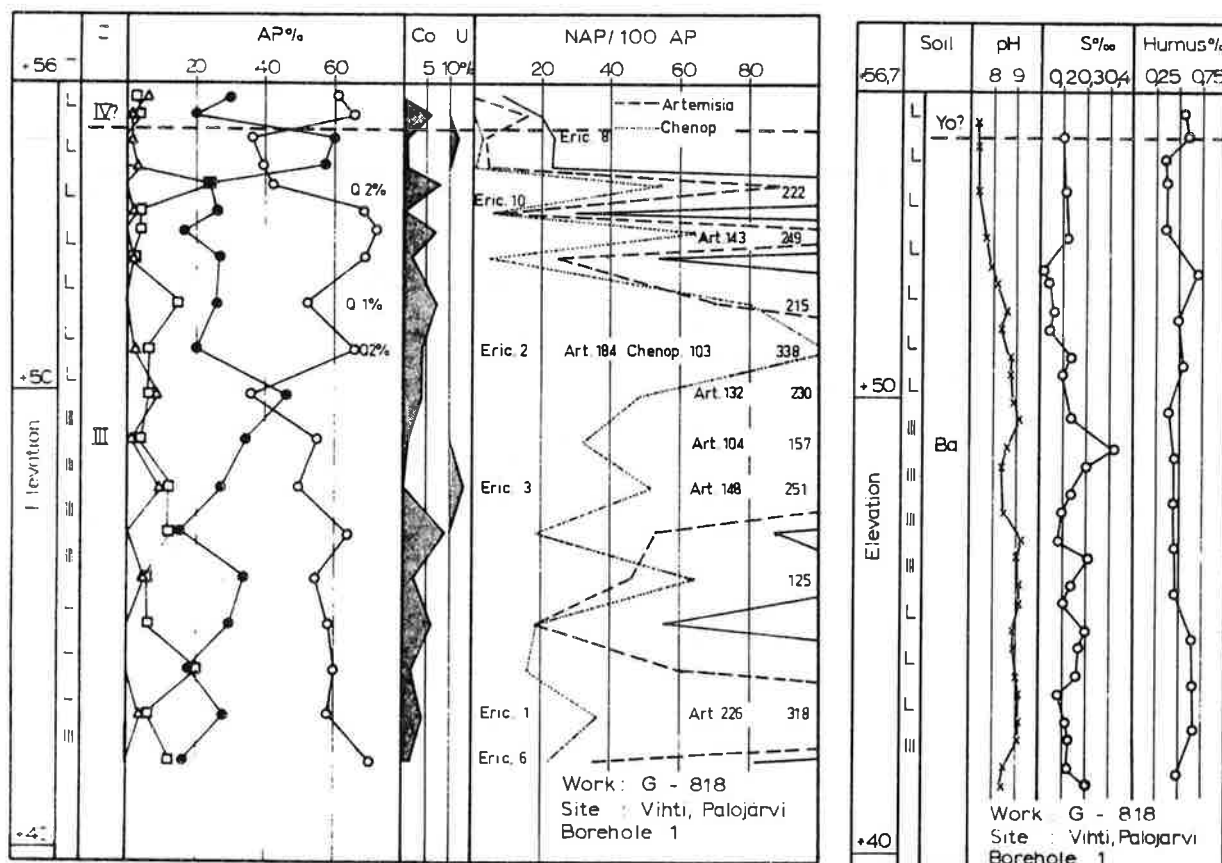
$x = 668894$

$y = 24^{\circ}/51948$

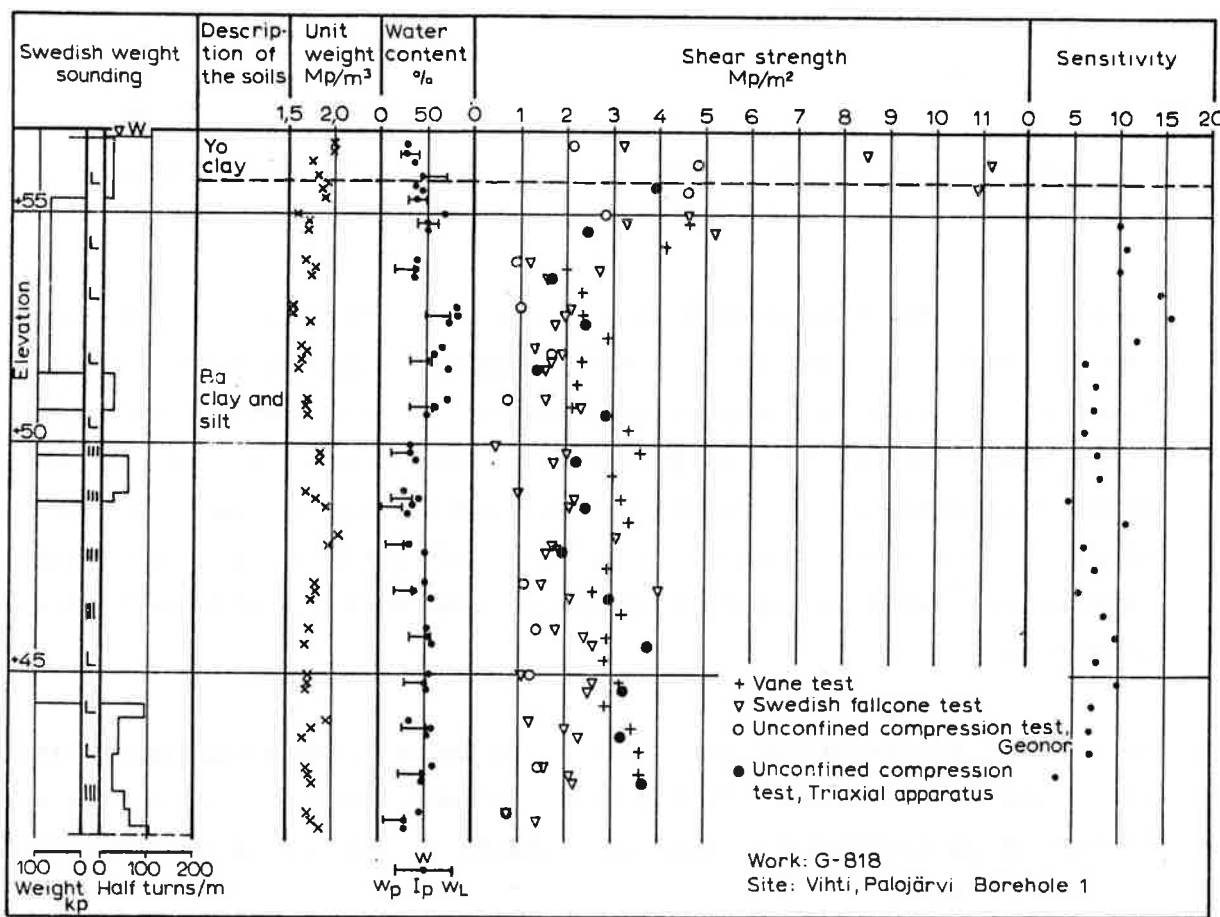
Tutkimuskohde sijaitsee Palojärvellä Palojärvi-Olkkala tielinjan paalulla 24+20. Maasto edustaa kalliomäkiä välisiä savinotkelmia, maanpinnan korkeus on kohteessa noin +57 m. Tutkimukset on suoritettu toukokuussa 1968.

Tutkimuspisteessä olevan sedimenttikerrostuman paksuus on noin 15 m. Kerrostuma kuuluu käytännöllisesti katsoen kokonaan Baltian jääjärven sedimenttiin. Ainoastaan aivan pintaosa edustaa Yoldiasedimenttiä. Kerrostuman rakenne on selvästi kerrallinen (diataktinen). Monin paikoin voidaan sedimentissä todeta kerralisen rakenteen häiriintymistä, mikä johtunee ilmeisesti kerrosten liukumisesta. Aineksen savipitoisuus vaihtelee noin 10...70 prosenttiin, pääasiassa se on 20...45 %.

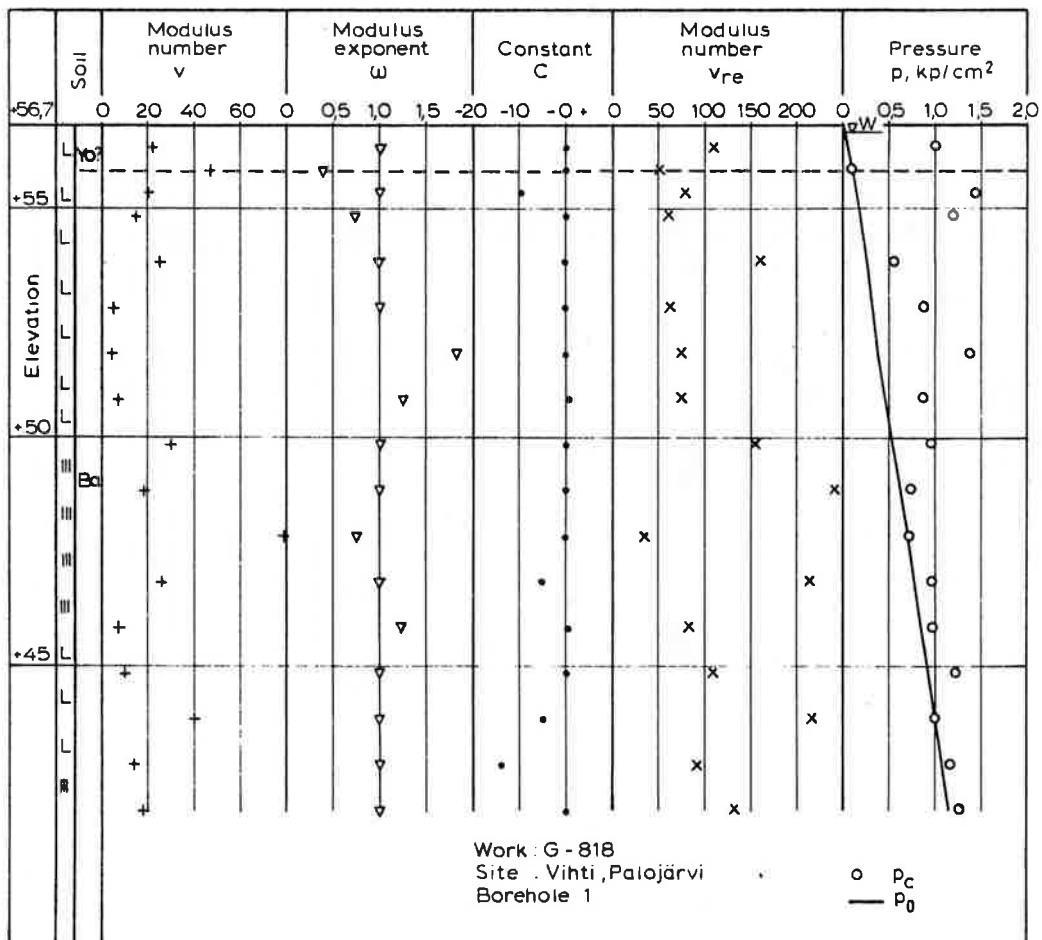
Geoteknisissä ominaisuuksissa on huomattavaa hajontaa, mikä johtuu pääasiassa kerrallisesta rakenteesta. Kerrostuma on myös kuivakuoren alapuolella osittain ylikonsolidoitunutta. Konsolidaatiokertoimen arvot vaihtelevat noin  $2\cdots 12 \times 10^{-4} \text{ cm}^2/\text{s}$ .



Kuva 136. Siitepölystö ja kemialliset määritykset.



Kuva 137. Luokitus- ja lujuusominaisuudet.



Kuva 138. Painumisominaisuudet.

3.47 Viiala

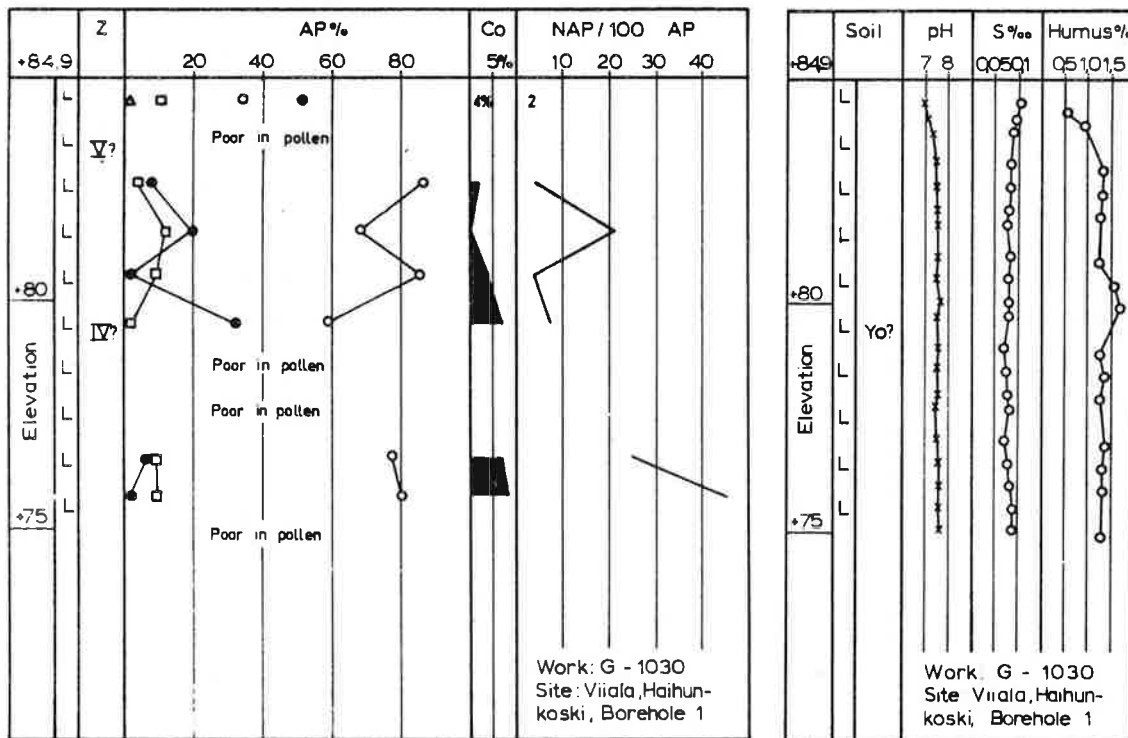
x = 678738

y = 24°/48822

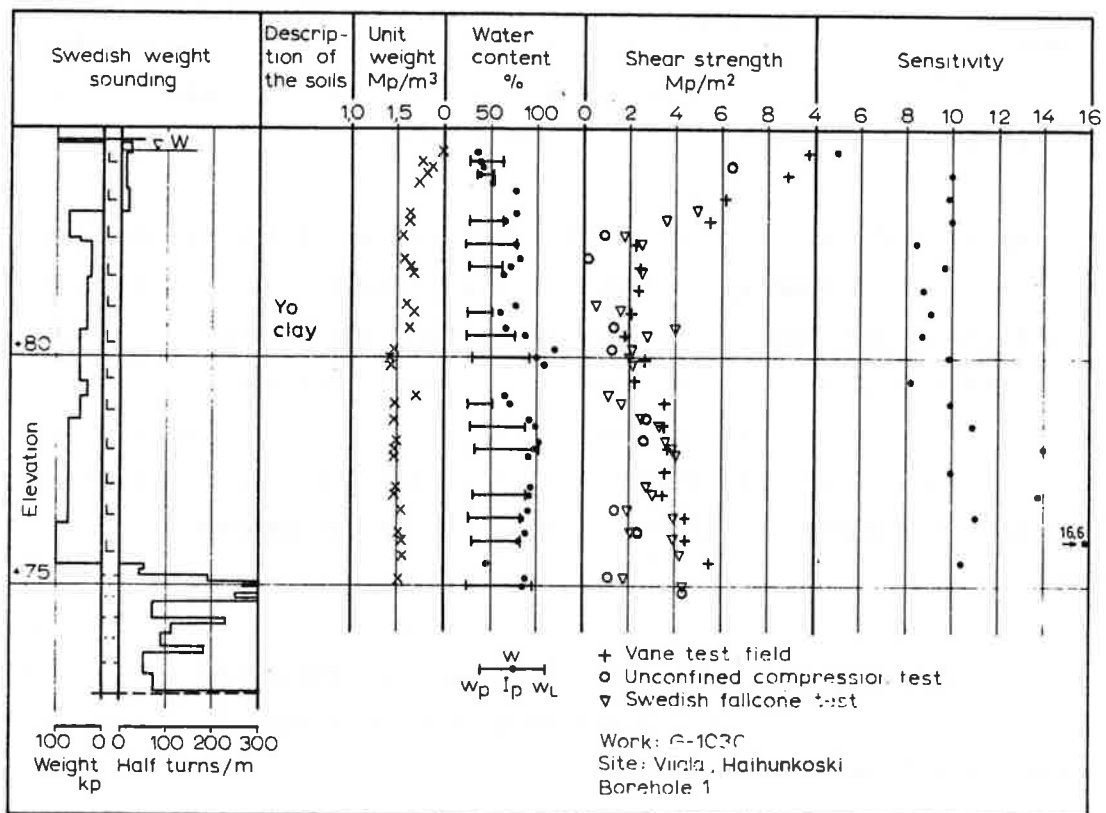
Näyttesarja on otettu joulukuussa 1970 Viialan keskustan eteläpuolelta Haihunkosken alueelta. Maasto on tasaista pelloa, maanpinnan korkeus on noin +85 m.

Tutkimuspisteen kohdalla on noin 10 m paksu savikerros, jonka alapuolella on hietaa ja hiekkas. Kohteessa on todettu paineellista pohjavettä. Noin 6 m:n syvyyteen savi on osittain homogeenista, osittain symmiktistä. Kerroksissa esiintyy paikallisesti selvää häiriintymistä ja poimuttumista. Pohjaosa on tuoreena tummempaa kuin pintaosa. Tummassa perusmassassa esiintyy vaaleita raitoja 1...3 cm:n välein. Savipitoisuus vaihtelee noin 65...85 prosenttiin. Saviaineksessa on paikoin vain vähän siitepölyjä, mutta se edustanee pääosiltaan Yoldiavaiheen sedimenttiä.

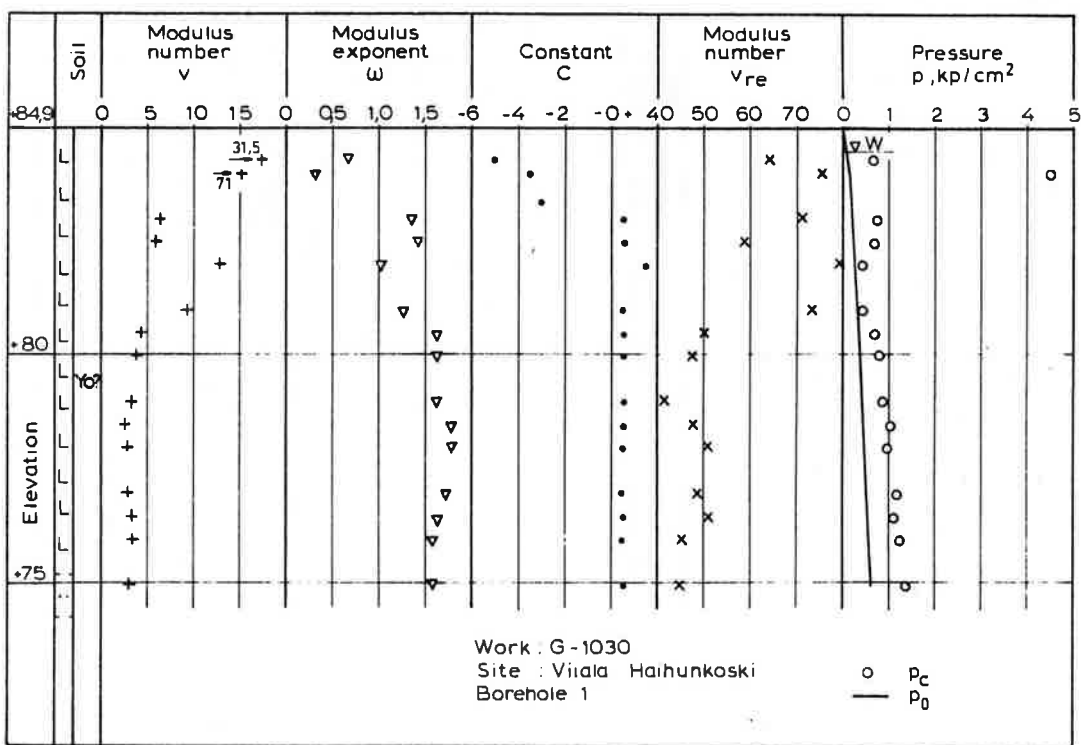
Kerrostuman geoteknisissä ominaisuuksissa kuten leikkauslujuudessa esiintyy paikoin suurehkoa hajontaa. Tämä johtunee ainakin osittain sedimentin rakenteesta. Kerrostuma on normaalisti konsolidoitunutta  $c_v$ -arvojen vaihdellessa pääosiltaan  $3\cdots 8 \times 10^{-5} \text{ cm}^2/\text{s}$ .



Kuva 139. Siitepölystö ja kemialliset määritykset.



Kuva 140. Luokitus- ja lujuusominaisuudet.



Kuva 141. Painumisominaisuudet.

3.48 Vöyri

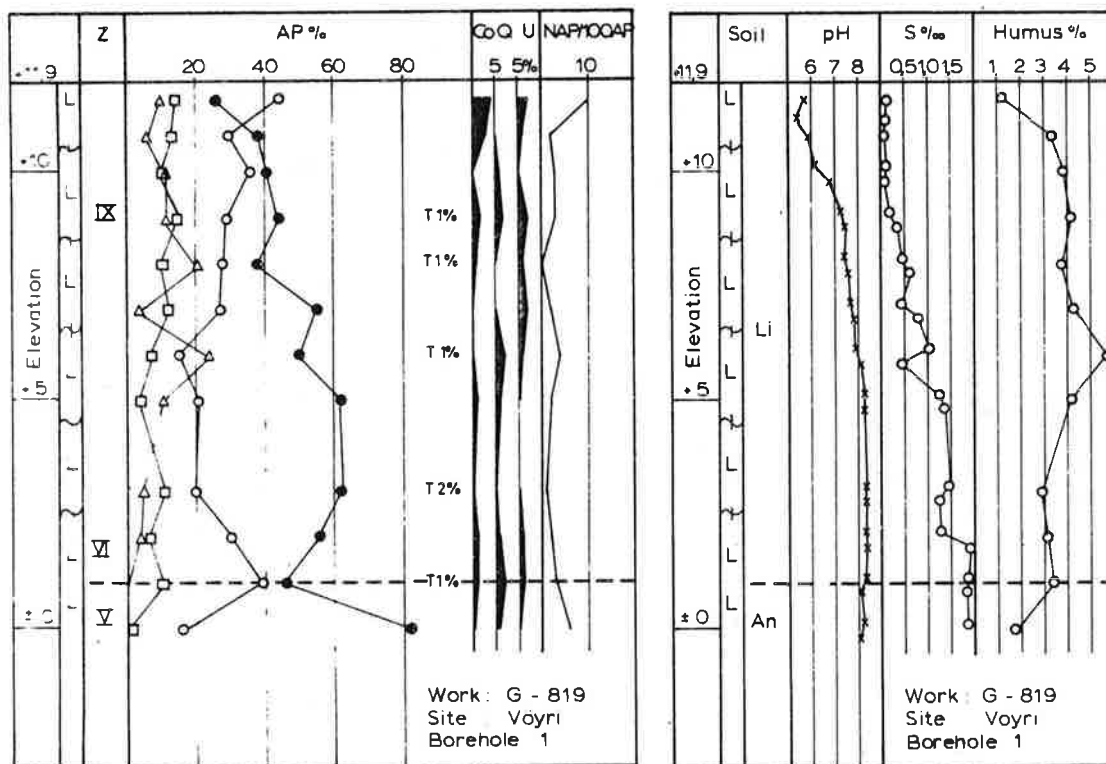
$x = 700352$

$y = 21^{\circ}/56354$

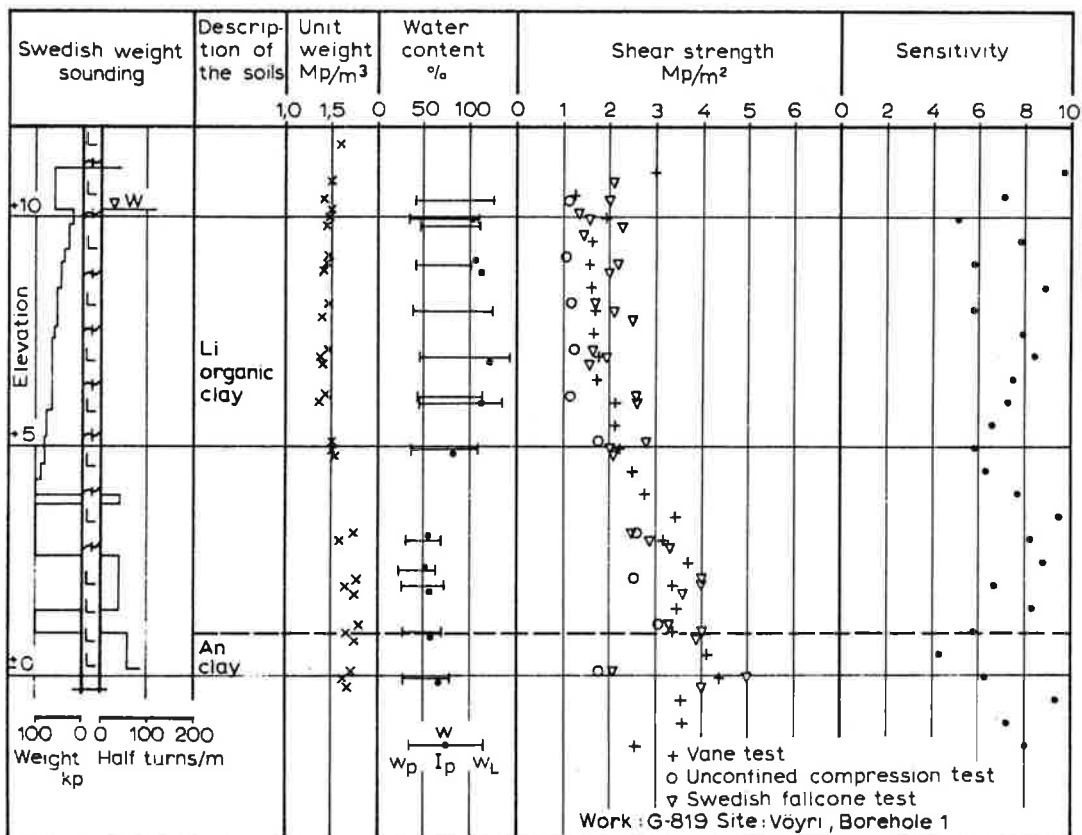
Näytesarja on otettu elokuussa 1968 Vöyrin keskustasta Vöyri-Ylihärmä tielinjalta. Alue on pohjois-etelä suuntaista savilaaksoa, maanpinnan korkeus on tutkimuspisteessä noin +12 m.

Tutkimuspisteessä esiintyy noin 13 m paksu sedimenttikerrostuma, joka muodostuu lähes kokonaisuudessaan litorinakautisesta liejusavesta. Tämän alapuolella on noin 2 m paksu Ancylussavi. Liejusavi on tuoreena tummaa ja laikullista. Siinä on monin paikoin pieniä, reunoiltaan hapettuneita halkeamia. Lisäksi sedimentissä esiintyy paikoin runsaasti pieniä kotiloita ja niiden kappaleita. Huokosveden suolaisuus vähenee huomattavasti Litorinakauden loppua kohden. Tämä saattaa johtua maankohoamisen seurauksena alueelle suuntautuneesta makean veden virtauksesta.

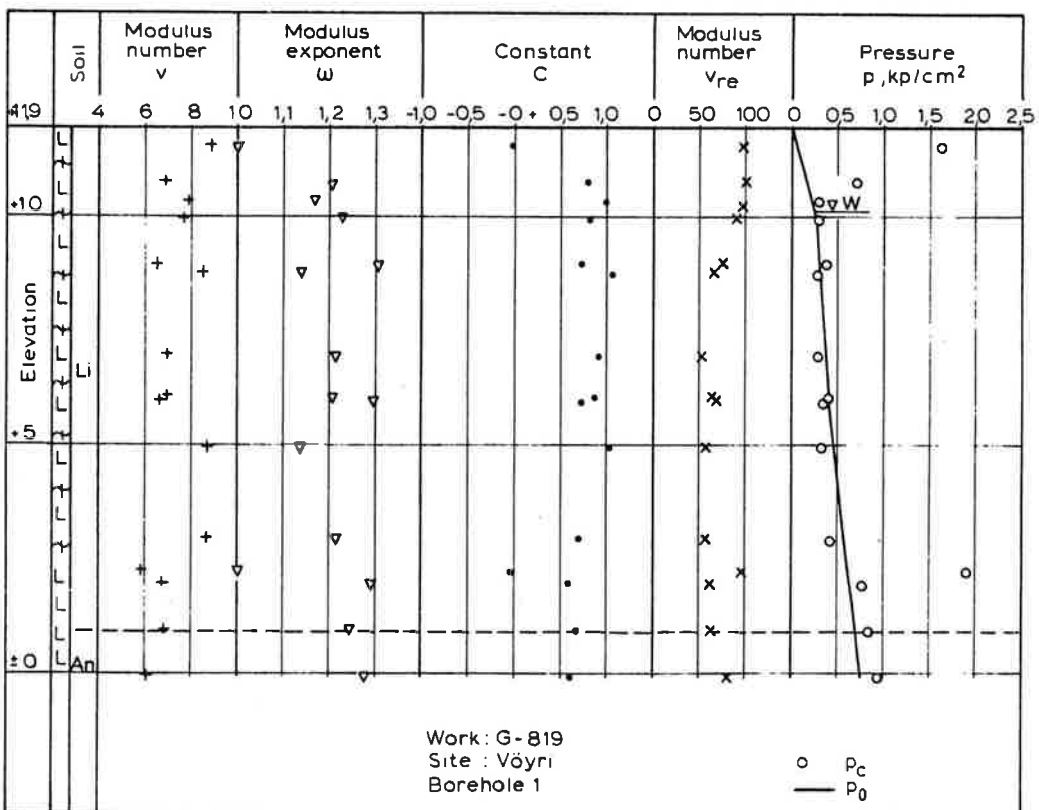
Lujuusarvojen suurehko hajonta johtuu ainakin osittain sedimentissä olevista halkeamista ja kotiloista. Kerrostuma on normaalisti konsolidoitunutta  $c_v$ -arvojen ollessa pääosiltaan  $8 \cdots 15 \times 10^{-5} \text{ cm}^2/\text{s}$ .



Kuva 142. Siitepölystö ja kemialliset määritykset.



Kuva 143. Luokitus- ja lujuusominaisuudet.



Kuva 144. Painumisominaisuudet.

Tutkimusaineiston siitepölyanalysoinnit ovat suorittaneet fil.maist. B. Eriksson sekä fil.lis. T. Grönlund. Fil.tri R. Tynni on toiminut asiantuntijana siitepöly-analyysien tulkinnassa.

## KIRJALLISUUS

1. Assarson, G. & Granlund, E., En metod för pollenanalys av mineregrena jordarter. Stockholm 1924. Geol. Fören. Stockholm Förh. 46, s. 76-82.
2. Donner, J.J. & Gardemeister, R., Redeposited Eemian marine clay in Somero, south-western Finland. Helsinki 1971. Bull. Geol. Soc. Finland 43, s. 73-88.
3. Ericsson, B., The chlorinity of clays as a criterion of the palaeosalinity. Stockholm 1972. Geol. Fören. Stockholm Förh. 94, Part 1, s. 5-21.
4. Gardemeister, R., Aencyluskaatut Percea fluviatilis savikerrostumassa Sa- lossa. Geologi (1967) 8, s. 104.
5. Gardemeister, R., Etelä-Suomen hienorakeisista sedimenteistä ja niiden omi- naisuuksista. Helsinki 1968. Helsingin Yliopisto, lisensiaattitut- kimus, julkaisematon, 147 s.
6. Jackson, M.L., Soil chemical analysis. London 1962, 498 s.
7. Jerbo, A., Bottniska lersediment, en geologisk-geoteknisk översikt. Stock- holm 1965. Meddelande från Statens järnvägars centralförvaltning. Geotekniska kontoret, Nr. 11, 159 s.
8. Korhonen, K-H., Muodonmuutosfunktioit geotekniikassa. Rakenteiden Mekaniik- ka 2 (1969) 1, s. 4-16.
9. Kotzias, P., Die Zusammendrückbarkeit von Schluff. Aachen 1963. Mitteilungen aus dem Institut für Verkehrswasserbau, Grundbau und Bodenmechanik der Technischen Hochschule Aachen, Heft 28, 131 s.
10. Ohde, J., Zur Theorie der Druckverteilung im Baugrund. Bauingenieur (1939) 33/34, s. 451-458.
11. Ohde, J., Vorbelastung und Vorspannung des Baugrundes und ihr Einfluss auf Setzung, Festigkeit und Gleitwiderstand. Bautechnik (1949), H. 5, s. 129-134, H. 6, s. 163-167.
12. Suomen Geoteknillinen Yhdystys. Kairausopas I. Helsinki 1968, 28 s.
13. Suomen Geoteknillinen Yhdystys. Kairausopas II. Helsinki 1972, 19 s.
14. Söderblom, R., Some investigations concerning salt in clay. London 1957. Proc. 4th Int. Conf. Soil Mech. Found. Engng. Vol. I, s. 111-115.
15. Talme, O. & Pajuste, M. & Wenner, S., Secondary changes in the strength of clay layers and the origin of sensitive clays. Stockholm 1966. Rapport från Byggforskningen 46, 138 s.
16. Valtion teknillinen tutkimuslaitos, geotekniikan laboratorio. Laboratorio- tutkimukset. Helsinki 1970. TVH. Maarakennusalan tutkimus- ja suunnitteluhjeita, osa II, s. 1-74.
17. Voipio, H. & Hässinen, E., Relationships between chlorinity, density and specific conductivity in Baltic waters. Helsinki 1962. Ann. Acad. Scient. Fennicae. Ser. A. II. 111, 18 s.

